

**KOCAELİ ÜNİVERSİTESİ \* FEN BİLİMLERİ ENSTİTÜSÜ**

28218

**HVDC ENERJİ İLETİM SİSTEMLERİNİN  
BULANIK MANTIKLA KONTROLÜ**

**DOKTORA TEZİ**

**Y.Müh.Ercan ÖLÇER**

**Tezin Enstitüye Verildiği Tarih : 22 Haziran 1998  
Tezin Savunulduğu Tarih : 21...Temmuz.1998..**

<b>Tez Danışmanı</b> <b>Prof.Dr. Atif URAL</b> (.....)	<b>Üye</b> <b>Prof.Dr. Nesrin Tarkan</b> (.....)	<b>Üye</b> <b>Prof.Dr.Galip CANSEVER</b> (.....)
<b>Üye</b> <b>Doç.Dr.Hüseyin KARABELLİ</b> (.....)	<b>Üye</b> <b>Yrd.Doç.Dr.Bekir ÇAKIR</b> (.....)	

**HAZİRAN 1998**

## **HVDC ENERJİ İLETİM SİSTEMLERİNİN BULANIK MANTIKLA KONTROLÜ**

Ercan ÖLÇER

**Anahtar Kelimeler :** HVDC, HVDC Modeli, Benzetşim, Doğrultucu, Evirici, Kontrol, Bulanık Mantık, PID

**Özet :** AA iletim sistemleri üretimlerinin kolay olması, motor karakteristiklerine uygunlukları ve genliklerinin transformatör yardımıyla kolayca değiştirilmesi nedeniyle elektrik kaynaklarının-da önemli bir yer tutarlar. HVDC iletimi, daha hafif ve daha ucuz yapılan üç yerine bir veya iki iletken, ancak karmaşık ve pahalı üç bağlantıları gerektirir. Ancak, enerjinin uzun mesafelere iletilmesinin gerektiği yerlerde, ya havai hat ya da kablolarla, veya iki farklı frekanstaki sistemlerin birleştirilmesinde, HVDC sistemleri ekonomik hale gelebilir. Bu ise dünya üzerinde bir çok yerde megavatlar mertebesinde güçte ve  $\pm 500$  kV veya daha büyük gerilimlerde çalışan HVDC sistemlerinin kurulmasına neden olmuştur.

Bu çalışmada da HVDC sistemleri gerek kuramsal gerekse deneysel açıdan incelenmiştir. İşletim esnasında ortaya çıkabilecek sorunlar incelenmiş ve bu sorunların giderilmesi için çözüm önerileri verilmiştir. Bu amaçla HVDC sisteminin laboratuar modeli tristörlerle gerçekleştirilmiş ve yazılım geliştirilmiştir. Sistemin güç ve frekans kontrolü için bilgisayar tabanlı kontrol sistemi geliştirilmeye çalışılmıştır.

Yeni bir kontrol teknigi olan bulanık mantık yöntemleri sistem modelinin benzetimi yapılmış ve geleneksel kontrol yöntemlerine göre üstünlükleri idelenmiştir.

## FUZZY CONTROL OF HVDC ENERGY TRANSMISSION SYSTEMS

Ercan ÖLÇER

**Keywords:** HVDC, HVDC Model, Simulation, Rectifier, Inverter, Control, Fuzzy Logic Control , PID Control

**Abstract:** AC transmission dominates in electricity supplies by virtue of ease motor characteristics generation and the ability to change voltage magnitudes using transformers. HVDC transmission uses a lighter and cheaper construction, with one or two conductors instead of three, but requires complex and expensive terminal arrangements. However, where power is to be transmitted over long distances, either overhead or with cables, or when a connection is required between systems operating at different frequencies, HVDC may become economic. This has led to the installation, a number of world wide HVDC links operating at powers of giga watts with voltages of  $\pm 500$  kV DC or higher.

The main objective of this research work is to investigate the performance of HVDC systems both theoretic and experimentally. Possible problems, which can be faced during the system operation, were studied and solutions for these problems were suggested. For this purpose a computer program was developed and a laboratory model of HVDC system was implemented by using thyristor. Microcomputer base control system was developed to control the power and the frequency of the system.

A simulation of the system using fuzzy logic control is designed. The Traditional method and fuzzy logic method are compared.

## **ÖNSÖZ VE TEŞEKKÜR**

Endüstride ve günlük yaşamımızda enerji ve enerji tasarrufu oldukça önemlidir. En yaygın enerji, elektrik enerjisidir. Elektrik enerjisinin üretimi ve iletimi genelde alternatif akım ve gerilim şeklinde yapılmaktadır. Fakat iletim hattında meydana gelen kayıplar da toplam üretim içerisinde hiçte küçümsenmeyecek kadar fazladır. Bazı üstünlükleri nedeniyle büyük güçlerin uzak mesafelere iletilmesinde yüksek gerilimli doğru akım kullanılması daha ekonomik olabilir. Ancak bu enerji iletim sistemi farklı bir teknoloji gerektirmektedir.

Bu sistemin incelenmesinde, AA/DA ve DA/AA dönüştürücüler için tristör kullanılarak laboratuar modeli gerçekleştirilmiştir. Tristörlü laboratuar modelinde tüm kontroller bilgisayar destekli kontrol kartı aracılığı ile yapılmıştır. Bu kontrol sistemi ile tristörlerin tetikleme açısı değiştirilmekte ve şebekedeki genlik düşmesi, frekans değişimi gibi olaylarda tristörlerin iletme ve kesime girmeleri gerekli şekilde ayarlanabilmektedir. Ayrıca sistemin bulanık mantık kontrol yöntemleri kullanılarak bilgisayarda benzetimi yapılmış ve PID kontrol gibi geleneksel kontrol yöntemlerine göre karşılaştırması yapılmıştır.

Gelecek yıllarda, enerji tasarrufu için Türkiye'de de HVDC enerji iletim sistemi, yüksek gerilimli alternatif akım sistemine uzun mesafeli iletimlerde karşılık olarak düşünülebilir. Ayrıca Kuzey Kıbrıs Türk Cumhuriyeti'nin enerji gereksiniminin Türkiye'den HVDC denizaltı kablosu ile karşılanması da gündeme gelebilir.

Bu konudaki çalışmalarım sırasında her türlü yardımı sağlayan sayın tez hocam Prof. Dr. Atif URAL'a, ayrıca çalışmalarım sırasında yardımcılarını esirgemeyen sayın Arş. Gör. Bülent KARAGÖZ, Öğr. Gör. Ercüment KARAKAŞ ve Öğr. Gör. Engin ÖZDEMİR'e teşekkürlerimi sunarım.

## **İÇİNDEKİLER**

ÖZET .....	ii
ABSTRACT.....	iii
ÖNSÖZ ve TEŞEKKÜR .....	iv
İÇİNDEKİLER .....	v
SİMGELER DİZİNİ VE KISALTMALAR.....	x
ŞEKİLLER DİZİNİ.....	xii
TABLOLAR DİZİNİ .....	xvi
BÖLÜM 1. GİRİŞ .....	1
1.1. HVDC Enerji İletim Sistemlerinin Gelişimi .....	3
1.2. HVDC Enerji İletim Sisteminin Avantajları .....	5
1.3. HVDC Sisteminin Yaygın Olarak Kullanılmama Nedenleri .....	8
1.4. DA İletim Hatlarının Mahzurları.....	9
1.4.1. DA İletim Sisteminden İstenen Özellikler.....	10
1.4.2. Genelde Görülen Problemler .....	10
1.4.3. Kontrol Sistemi Etkileyen Durumlar.....	10
BÖLÜM 2. HVDC ENERJİ İLETİM SİSTEMİ.....	11
2.1. HVDC İletim Hatlarının Tipleri .....	11
2.1.1. Tek Kutuplu Hatlar.....	11
2.1.2. İki Kutuplu Hatlar.....	12
2.1.3. Aynı Kutuplu İkili Hatlar.....	12
2.2 HVDC İletim Sistemindeki Ana Birimler .....	13
2.2.1. Dönüştürüçüler ve Eviriciler .....	14
2.2.2. Söndürme Reaktörleri.....	14
2.2.3. Harmonik Filtreler .....	15
2.2.4. Reaktif Güç Kaynağı .....	15
2.2.5. Elektrotlar .....	15
2.2.6. DA Hatlar .....	15
2.2.7. Devre Kesiciler .....	16

2.2.8. Transformatörler .....	16
2.2.9. Tristörler .....	16
2.3. HVDC Sisteminin Kullanılabilirliği .....	17
2.4. Çok Terminalli HVDC Sistemleri.....	18
2.4.1. ÇTDA Ağ Yapısı.....	19
2.4.2 ÇTDA Sistemlerinin Kontrolü .....	20
2.4.3 Paralel Bağlı Sistemler .....	20
2.4.4. Seri Bağlı Sistemler.....	22
<b>BÖLÜM 3. ÜÇ FAZLI DÖNÜŞTÜRÜCÜLER.....</b>	<b>24</b>
3.1 Üç Fazlı Orta Nokta Bağlantılı Doğrultucu .....	24
3.2 Üç Fazlı Köprü Bağlantılı Doğrultucu.....	26
3.2.1 Direnç Yükü .....	28
3.2.2 Doğru Gerilimin Ortalama Değeri.....	29
3.3. Direnç-Endüktans Yükü (RL) .....	31
3.3.1. Doğru Gerilimin Ortalama Değeri.....	32
3.4. Doğrultucularda Gerilim Düşümü.....	33
3.5. Üç Fazlı Eviriciler .....	34
3.5.1 Gerilim Dalga Biçimleri .....	35
3.5.2 Akım Dalga Biçimleri .....	36
3.5.3 Devrenin Çalışması .....	36
3.5.3.1. 120 Derece iletim durumu.....	39
3.5.3.2. 180 Derece iletim durumu.....	39
3.6. AA / DA Dönüşürücünün Benzetişimi .....	43
3.7 DA/AA Eviricinin Benzetişimi .....	50
3.8. HVDC Enerji İletim Sisteminin Benzetişimi .....	55
<b>BÖLÜM 4. HVDC SİSTEMİNİN KONTROLÜ .....</b>	<b>59</b>
4.1. Kontrolün Temel Prensipleri.....	59
4.2. Kontrol Seçim Kriterleri.....	61
4.3. Kontrol Karakteristikleri .....	62
4.3.1. İdeal Karakteristikler .....	63
4.3.2. Gerçek Karakteristikler.....	63
4.4. Tam Doğrultucu ve Evirici Karakteristikleri.....	66



5.1.7. Bulanık İşlemler .....	98
5.2. Bulanık Denetim .....	102
5.3. Sistemin Bulanık Mantıkla Denetimi.....	106
5.3.1 Dönüştürücünün Benzetimi .....	106
5.3.1.1. Dönüştürücünün PID kontrolü .....	109
5.3.1.2. Dönüştürücünün bulanık mantıkla kontrolü.....	112
5.3.2. EVİRİCİNİN BENZETİMİ.....	118
<b>BÖLÜM 6. AA VE DA SİSTEM HATALARI.....</b>	<b>123</b>
6.1 DA Hattı Hataları .....	123
6.2 Normal Kontrol İşleminin Davranışı.....	123
6.3 Hızlı Değişim Etkilerinden Hattın Korunması.....	124
6.4. Dönüştürücü Hataları .....	125
6.5 AA Sistem Arızaları.....	125
6.5.1 Doğrultucu Tarafı AA Sistem Arızaları .....	126
6.5.2 Evirici Tarafı AA Sistem Arızaları.....	126
6.5.3 AA Sistem Arızalarının Giderilmesi .....	127
6.5.4 İyileşmeye Yardım Eden Özel Ölçümler.....	128
6.6 AA/DA Sisteminin AA Sistem Üzerindeki Etkileri.....	128
6.6.1 Reaktif Güç ve AA Sistem Dayanıklılığı .....	129
6.6.2 Düşük KDO Sistemleri İle İlgili Sorunlar .....	130
6.6.2.1 Yüksek Dinamikteki Aşırı Gerilimler .....	130
6.6.2.2 Kararlı Olmayan Gerilimler.....	131
6.6.2.3 Harmonik Rezonansı .....	131
6.6.2.4 Gerilim Dalgalanması.....	131
6.6.3 Zayıf Sistemlere İlişkin Sorunların Çözümleri.....	132
<b>BÖLÜM 7. DÜNYADA VE TÜRKİYE'DE HVDC ENERJİ İLETİM SİSTEMİNİN UYGULANMASI.....</b>	<b>133</b>
7.1 HVDC Enerji İletim Sisteminin Dünyadaki Uygulamaları .....	133
7.2 HVDC Enerji İletim Sisteminin Türkiye'deki Uygulama İmkanları .....	140
7.2.1 $\pm 500$ kV HVDC Sistemi Yerine Neden 420 kV AA Sistemi Kullanıldı ?.....	141
7.2.2 HVDC Enerji İletim Sisteminin Türkiye'de Uygulama İmkanları..	143

SONUÇLAR ve ÖNERİLER.....	145
KAYNAKLAR .....	147
EKLER.....	155
EK - A.....	156
EK - B .....	159
EK - C .....	172
EK - D.....	174
EK - E .....	193
EK - F.....	202

## SİMGELER DİZİNİ VE KISALTMALAR

E	:Bağımsız gerilim kaynağı vektörü
R <sub>c</sub>	:Dönüştürücü transformatörünün direnci
L <sub>c</sub>	:Dönüştürücü transformatörünün endüktansı
R <sub>2</sub>	:İletim hattı T eşdeğerindeki eşdeğer seri direnç
L <sub>2</sub>	:İletim hattı T eşdeğerindeki eşdeğer seri endüktansı
C	:İletim hattı T eşdeğerindeki eşdeğer paralel kapasite
R <sub>1</sub>	:İletim hattı π eşdeğerindeki eşdeğer seri direnç
L <sub>1</sub>	:İletim hattı π eşdeğerindeki eşdeğer seri endüktansı
C <sub>1</sub>	:İletim hattı π eşdeğerindeki eşdeğer paralel kapasite
R'₂	:RLC yüklü AA/DA dönüştürücüde yük direnci
L'₂	:RLC yüklü AA/DA dönüştürücüde yük endüktansı
C'	:RLC yüklü AA/DA dönüştürücüde yük kapasitesi
R''₂	:RL yüklü AA/DA dönüştürücüde yük direnci
L''₂	:RL yüklü AA/DA dönüştürücüde yük endüktansı
C''	:Doğrultma kapasitesi
R <sub>s</sub>	:Snubber devresi direnci
C <sub>s</sub>	:Snubber devresi kapasitesi
E <sub>1</sub>	:Dönüştürücü tarafındaki kaynak geriliminin genliği
E <sub>2</sub>	:Evirici tarafındaki kaynak geriliminin genliği
R <sub>ds</sub>	:Düzelme reaktörü direnci
L <sub>ds</sub>	:Düzelme reaktörü endüktansı
L <sub>d</sub>	:Anahtarlama elemanı (diyot, tristör) endüktansı
V <sub>dor</sub>	:Dönüştürücü girişindeki eşdeğer doğru gerilim
V <sub>doi</sub>	:Evirici girişindeki eşdeğer doğru gerilim
R <sub>cr</sub>	:Dönüştürücü eşdeğer direnci
R <sub>ci</sub>	:Evirici eşdeğer direnci

$R_L$	:İletim hattı direnci
$V_{dr}$	:Dönüştürücü çıkış gerilimi
$V_{di}$	:Evirici giriş gerilimi
$P_{dr}$	:Dönüştürücü terminali gücü
$P_{di}$	:Evirici terminali gücü
$I_d$	:İletim hattı akımı
$V_d$	:İletim hattı üzerindeki doğru gerilim
CEA	:Sabit söndürme açısı değeri
CC	:Sabit akım değeri
CIA	:Sabit tetikleme açısı değeri
$t_q$	:Tristörün iletme girme süresi
$I_{ord}$	:Düzenleme akımı
$I_{dmax}$	:Maksimum hat akımı
$V_m$	:Maksimum faz gerilimi

## **ŞEKİLLER DİZİNİ**

Şekil 1.1.a) Mesafe ve maliyet ilişkisi .....	7
b) İletim hattı kayipları .....	7
Şekil 1.2. İletim gerilimleri ve tel kesitleri .....	8
Şekil 2.1. Tek kutuplu hattın genel yapısı.....	12
Şekil 2.2. İki kutuplu hattın genel yapısı .....	12
Şekil 2.3. Aynı kutuplu iki hatlı sistemin genel yapısı .....	13
Şekil 2.4. İki kutuplu bir HVDC iletim sistemin ana birimleri (ABB,1996).....	14
Şekil 2.5. Tristörün sembolü.....	17
Şekil 2.6. Radial DA şebekede iki kutuplu paralel ÇTDA'nın blok gösterimi.....	19
Şekil 2.7. Mesh tipi DA şebekede iki kutuplu paralel ÇTDA'nın blok gösterimi....	20
Şekil 2.8. Seri bağlı ÇTDA'nın blok gösterimi .....	20
Şekil 2.9. Bireysel dönüştürücü karakteristikleri .....	21
Şekil 2.10. Tüm karakteristiklerin gösterimi .....	22
Şekil 2.11.a) Seri sistemde bireysel kontrol karakteristikleri .....	22
b) Seri sistemde tüm kontrol karakteristiklerinin gösterimi .....	22
Şekil 3.1. Üç fazlı orta nokta bağlantılı doğrultucu .....	24
Şekil 3.2. Faz ve faz arası gerilimlerin zamanla değişimleri .....	25
Şekil 3.3. Üç fazlı köprü bağlantılı doğrultucu devresi .....	26
Şekil 3.4. Üç fazlı köprü doğrultucunun çalışma aralıkları .....	27
Şekil 3.5. $\alpha = 0^0$ için tetikleme darbelerinin konumu ve doğru gerilim.....	28
Şekil 3.6. Denetim eğrisi.....	30
Şekil 3.7. Üç fazlı köprü bağlantılı doğrultucuda direnç yükünde dalga biçimleri ...	31
Şekil 3.8. Denetim Eğrisi.....	32
Şekil 3.9. Üç fazlı köprü bağlantılı doğrultucu devresinde, endüktans yükünde dalga biçimleri .....	33
Şekil 3.10. Gerilim düşümleri.....	34
Şekil 3.11 Üç fazlı gerilim beslemeli evirici devresi .....	35
Şekil 3.12 Üç fazlı eviricinin üçgen bağlı yükte çıkış gerilimi dalga biçimleri.....	36
Şekil 3.13 Üç fazlı evericinin üçgen bağlı direnç-endüktans yüküne bağlanması durumunda akım dalga biçimleri.....	38
Şekil 3.14. Üç fazlı evirici ilkesel devresi .....	39
Şekil 3.15. Üç fazlı evirici ilkesel devresi .....	40
Şekil 3.16. 120 derece iletim durumunda açılış dalga biçimleri.....	40
Şekil 3.17. 180 derece iletim durumunda çıkış dalga biçimleri.....	41
Şekil 3.18. Yıldız bağlı dengeli direnç yükünde 180 derece iletimde şekil 3.17 için gerilim ve akım dalga biçimlerinin belirlenmesi.....	42
Şekil 3.19. RLC yüklü 6 vuruşlu AA/DA dönüştürücü modeli .....	43
Şekil 3.20.a) RLC yüklü 6 vuruşlu AA/DA dönüştürücü modelinin benzetişim sonuçları .....	44
b) RLC yüklü 6 vuruşlu AA/DA dönüştürücü modelinin benzetişim sonuçları .....	45

c) RLC yüklü 6 vuruşlu AA/DA dönüştürücü modelinin benzetişim sonuçları .....	46
Şekil 3.21. RL yüklü 6 vuruşlu AA/DA dönüştürücünün modeli.....	47
Şekil 3.22.a) RL yüklü AA/DA dönüştürücünün çıkış eğrileri.....	48
b) RL yüklü AA/DA dönüştürücünün alfa=30 derece için çıkış eğrileri..	49
c) RL yüklü 6 vuruşlu AA/DA dönüştürücünün alfa=60 derece için çıkış eğrileri .....	50
Şekil 3.23. 6 vuruşlu DA/AA eviricinin modeli .....	51
Şekil 3.24.a) 6 vuruşlu DA/AA evirici modelinin benzetişim sonuçları Lc=20 mH, Rc=0.5 ohm, alfa=0 .....	52
b) 6 vuruşlu DA/AA evirici modelinin benzetişim sonuçları Lc=1 H, Rc=0.5 ohm, alfa=0 .....	53
c) 6 vuruşlu DA/AA evirici modelinin benzetişim sonuçları Lc=20 mH, Rc=100 ohm, alfa=0 .....	54
d) 6 vuruşlu DA/AA evirici modelinin benzetişim sonuçları Lc=1 H, Rc=0.5 ohm, alfa=30 .....	55
Şekil 3.25. HVDC enerji iletim sisteminin modeli.....	56
Şekil 3.26. HVDC enerji iletim sistemi modelinin benzetişim sonuçları.....	58
Şekil 4.1. Şematik gösterim .....	59
Şekil 4.2. Eşdeğer devre.....	60
Şekil 4.3. İletim hattındaki gerilim değişimi .....	60
Şekil 4.4. İdeal kararlı durum Akım-Gerilim karakteristiği.....	63
Şekil 4.5. Akım düzenleyicisinin gösterimi .....	64
Şekil 4.6. Dönüştürücü kararlı durum karakteristiği.....	64
Şekil 4.7. Her bir dönüştürücünün işletim karakteristiği.....	66
Şekil 4.8.a) Evirici sabit gerilim kontrol modu .....	67
b) Evirici sabit $\beta$ kontrol modu.....	67
Şekil 4.9.a) İdeal çalışma.....	68
b) Kararsızlık bölgesinin gösterimi .....	68
Şekil 4.10.a) Mod kararlılığı için olması gereken gerilim-akım (V-I) karakteristiği değişimi.....	69
b) Geri beslemeli kontrol karakteristiği .....	69
Şekil 4.11.a) Alternatif gerilimin bir fonksiyonu olarak GBAKS .....	71
b) Doğru gerilimin bir fonksiyonu olarak GBAKS .....	71
Şekil 4.12. GBAKS'li sürekli hal karakteristiği, minimum akım.....	71
Şekil 4.13. HVDC sisteminin temel kontrolü.....	75
Şekil 4.14. İletim gerilimleri ve tristör akımları .....	78
Şekil 4.15. IPC'li dönüştürücü karakteristikleri .....	79
Şekil 4.16. Eşit aralıklı darbe kontrol sisteminde akım kontrolü.....	81
Şekil 4.17. Köprüleme tristörü ve anahtarları .....	82
Şekil 4.18. HVDC enerji taşıma sisteminin kontrol blok diyagramı .....	88
Şekil 4.19. Ek E'de verilen gerçekleştirilmiş HVDC sisteminin blok şeması.....	89
Şekil 5.1. Klasik kümə teorisi .....	91
Şekil 5.2. Bulanık kümə teorisi.....	92
Şekil 5.3. Bulanık küməde örtüşüm .....	93
Şekil 5.4. Bulanık giriş değişkeninin üyelik derecesi .....	93
Şekil 5.5. Çeşitli tiplerde üyelik fonksiyonları .....	94
Şekil 5.6. Bulanık çıkarım .....	95

Şekil 5.7. İki bulanık kuralla bulanık çıkarım.....	96
Şekil 5.8. Orta alma durulaştırma metodu .....	97
Şekil 5.9.a) Geleneksel küme kullanarak sıcaklık gösterimi .....	99
b) Bulanık küme kullanarak sıcaklık gösterimi .....	99
Şekil 5.10.a) İki bulanık kümenin,.....	101
b) birleşimi.....	101
c) kesişimi.....	101
d) tümleyeni .....	101
Şekil 5.11. Bulanık denetleyici temel yapısı.....	103
Şekil 5.12. Bulanık kontrolcü çıkışın mekanizması.....	104
Şekil 5.13. Bulanık kontrol sisteminin genel yapısı .....	105
Şekil 5.14. Dönüştürücünün PID kontrolü için düzenlenmiş basit kontrol diyagramı .....	107
Şekil 5.15. Dönüştürücünün bulanık mantık denetleyici için düzenlenmiş basit kontrol diyagramı .....	109
Şekil 5.16. Kontrolsüz dönüştürücünün açık çevrim ortalama çıkış eğrisi gerilim(Volt)/zaman(sn).....	110
Şekil 5.17. $V_{req}=300$ volt için PID kontrollü dönüştürücünün ortalama çıkış eğrisi gerilim(Volt/sn).....	110
Şekil 5.18. $V_{req}=300$ volt için PID kontrollü dönüştürücünün hata ve hata değişimi (keskin çizgili) gerilim (Volt/sn).....	111
Şekil 5.19. PID kontrolü esnasında doğrultulmuş çıkışın değişiminden bir periyot (volt/sn) .....	111
Şekil 5.20. Bulanık denetleyicinin blok diyagramı.....	112
Şekil 5.21. Bulanık mantık denetleyicisinin 'e' hata girişi için üyelik fonksiyonu(üyelik derecesi/volt) .....	112
Şekil 5.22. Bulanık mantık denetleyicisinin de 'hata' değişimi girişi için üyelik fonksiyonu(üyelik derecesi/volt) .....	113
Şekil 5.23. Bulanık mantık denetleyicisinin de çıkış üyelik fonksiyonu (üyelik derecesi/ms).....	113
Şekil 5.24. Bulanık mantık kontrollü sistemin 20 ms sürede hata değişimi(volt/s) .....	115
Şekil 5.25. Bulanık mantık kontrollü sistemin 20 ms sürede çıkış gerilimi (volt/s) .....	116
Şekil 5.26. Bulanık mantık kontrollü sistemin 1 s sürede çıkış gerilimi ve hata değişimleri (volt/sn) .....	116
Şekil 5.27. $C=100\mu F$ için $I_c$ akımı ve $V_c$ gerilimi.....	117
Şekil 5.28. $C=1000\mu F$ için $I_c$ akımı ve $V_c$ gerilimi.....	117
Şekil 5.29. Evirici Modeli.....	118
Şekil 5.30. Eviricinin giriş frekansının değişmesiyle çıkış frekans değişimini gösteren çıkış grafiği.(frekans(Hz)/s) .....	119
Şekil 5.31. Sabit frekans girişi için çıkış frekans değişimi .(frekans(Hz)/s).....	119
Şekil 5.32. Van A fazı-nötr gerilim eğrisi (Volt/sn) .....	120
Şekil 5.33. Van B fazı-nötr gerilim eğrisi (Volt/sn) .....	120
Şekil 5.34. Van C fazı-nötr gerilim eğrisi (Volt/sn) .....	120
Şekil 5.35. $V_{ab}$ Afazı-Bfazı gerilim eğrisi (Volt/sn).....	121
Şekil 5.36. $V_{bc}$ Bfazı-Cfazı gerilim eğrisi (Volt/sn) .....	121
Şekil 5.37. $V_{ca}$ Cfazı-Afazı gerilim eğrisi (Volt/sn) .....	121
Şekil 6.1. DA hattı gerilim profili (1) Normal işletim (2). DA hat arızası ve normal kontrol (3). Hızlı hat korumalı .....	124

Şekil A.1. Deneysel olarak gerçekleştirilen programın akış diyagramı.....	156
Şekil A.2. Deneysel olarak gerçekleştirilen programın akış diyagramı (Devamı)...	157
Şekil A.3. Deneysel olarak gerçekleştirilen programın akış diyagramı (Devamı)...	158
Şekil D.1. Dengeli AA Şebekede $\alpha=0$ için doğrultucunun çıkışları $R=39$ ohm ..	174
Şekil D.2. Diren yükünde dengesiz AA girişte $\alpha=10$ dereceden dönüştürücü çıkışları $R=39$ ohm ..	175
Şekil D.3. Diren yükünde dengesiz AA girişli sinyalin $\alpha= 15$ ve $\alpha=45$ derecede dönüştürücü çıkışları $R=39$ ohm ..	176
Şekil D.4. Diren-endüktans yükünde dengesiz AA girişte $\alpha=10$ derecede dönüştürücü çıkışları $R=47$ ohm ..	177
Şekil D.5. Dengesiz AA şebekenin endüktans yükünde $\alpha=60$ derece için doğrultucunun çıkışları $L=82$ mH ..	178
Şekil D.6. Diren yükünde R-Mp evirici çıkışları .....	179
Şekil D.7. R yükünde S-Mp evirici çıkışları $R=51$ ohm.....	180
Şekil D.8. Diren yükünde T-Mp evirici çıkışları $R=51$ ohm ..	181
Şekil D.9. R yükünde R-S evirici çıkışları $R=47$ ohm.....	182
Şekil D.10. R yükünde S-T evirici çıkışı $R=47$ ohm ..	183
Şekil D.11. R yükünde T-R evirici çıkışı $R=47$ ohm.....	184
Şekil D.12. R yükünde RS-TS evirici çıkışı $R=39$ ohm ..	185
Şekil D.13. R yükünde RS-TS evirici çıkışı $R=39$ ohm ..	186
Şekil D.14. R yükünde TR-SR evirici çıkışı $R=39$ ohm.....	187
Şekil D.15. R yükünde RT-ST evirici çıkışı $R=39$ ohm ..	188
Şekil D.16. Endüktans yükünde $\alpha=5$ ve $\alpha=110$ derecede evirici çıkışı $L=82$ mH ..	189
Şekil D.17. Alfa=0 ve alfa=110 derecede eviricinin filtreli çıkışları.....	190
Şekil D.18. Alfa=0 ve Alfa=18 derecede eviricinin filtreli çıkışları.....	191
Şekil D.19. Alfa=0 derecede filtreli evirici çıkışları.....	192
Sekil E.1. HVDC sisteminin güç kaynağı.....	193
Sekil E.2. HVDC sisteminin güç kaynağı 2.....	194
Sekil E.3. HVDC sisteminin karşılaştırma devresi.....	195
Sekil E.4. AA'dan DA'ya tristörlerin tetiklenmesi.....	196
Sekil E.5. DA giriş için geri besleme.....	197
Sekil E.6. Frekans ve gerilim kontrolü .....	198
Sekil E.7. DA'dan AA'ya tristörlerin tetiklenmesi.....	199
Sekil E.8. Evirici devresi .....	200
Sekil E.9. DA/AA ana dönüştürücü devresi .....	201
Sekil F.1. Dönüşürücü Blok diyagramı.....	202
Sekil F.2. Kesişim Noktası Yakalayıcısı.....	203

## **TABLOLAR DİZİNİ**

Tablo 7.1. Dünya üzerindeki HVDC Sistemlerinin dağılımı.....	135
Tablo 7.1. (Devamı) Dünya üzerindeki HVDC Sistemlerinin dağılımı .....	136
Tablo 7.1. (Devamı) Dünya üzerindeki HVDC Sistemlerinin dağılımı .....	137
Tablo 7.1. (Devamı) Dünya üzerindeki HVDC Sistemlerinin dağılımı .....	138
Tablo 7.1. (Devamı) Dünya üzerindeki HVDC Sistemlerinin dağılımı .....	139
Tablo 7.1. (Devamı) Dünya üzerindeki HVDC Sistemlerinin dağılımı .....	140

## BÖLÜM 1. GİRİŞ

Elektrik enerjisinin üretim merkezlerinden tüketicilere ekonomik ve kaliteli olarak ulaştırılabilmesi için, özellikle çok uzak mesafelerde enerji iletimi mümkün olduğu kadar yüksek gerilimlerle yapılmalıdır.

Üretim aşamasında, generatör tasarıımı açısından çok yüksek gerilim değerlerine çıkışması pratik ve ekonomik olmadığından üretimin orta gerilim düzeyinde tutulup, üretilen elektriğin genliğinin transformatörler yardımıyla üretimin ekonomik kılındığı gerilim seviyelerine yükseltilmesi yoluna gidilir. Sabit bir elektrik enerjisini, dolayısıyla sabit bir elektrik gücünü en az kayıp ile en verimli bir şekilde iletебilmek temel amaçtır. Bu sebeple geriliyi yükseltip, rezistif ve endüktif kayıplara sebep olan akım değerlerinin düşürülmesi de temel bir yöntem olmuştur. Ancak yalıtılm problemleri, gerilim değerlerinin belirli sınırlar içinde kalmasını gerektirir. Elektrik enerjisine olan gereksinimin giderek artması ve iletildiği enerji miktarındaki artışlar, dünya enerji kaynaklarının giderek azalması ve buna paralel enerji kayıplarının da azaltılmaya çalışılması enerji iletimindeki yeni yöntemlerin geliştirilmesine neden olmuştur. Bu yöntemlerin en önemli yüksek gerilimli doğru akımla iletmeektir.

Bu sistemde, elektrik enerjisi üretim merkezinde AA akım şeklinde üretilen üç fazlı gerilimin genliği, transformatörlerle yükseltilerek yüksek gerilimlere çıkarılır. Yüksek gerilim (YG) doğrultularla doğrultularak doğru gerilim halinde iki hattı enerji hattından yük merkezine ilettilir. ((AA) enerji iletim sisteminde üç ya da altı iletim hattı kullanılmaktadır.) Yük merkezinde doğru gerilim alternatif gerilime çevrilip, transformatörlerle genliği düşürüлerek dağıtılmaktadır. Enerji iletiminde, yüksek genlikli doğru gerilim kullanıldığından sisteme yüksek gerilimli doğru akım (HVDC) enerji iletim sistemi denilmektedir. Büyük güçlerin uzak mesafelere iletildiğinde HVDC enerji iletimi daha ekonomiktir. Ekonomiklik 500 km



uzaklıktan başlamaktadır. Bu uzaklık su altı için daha da kısalıdır (30-50 km arası değişir). Ayrıca geçici olay kararlılığındaki düzelse ve sistemdeki osilasyonların söndürülmesi gibi etkenlerle HVDC tercih edilebilir. Farklı frekanslarda veya senkron olmayan iki AA sistemi HVDC sistemiyle birleştirilebilir. (Kimbark, 1971)

HVDC sisteminin uygulanmasındaki artış sistemin problemlerinin incelenmesini gerektirmektedir. Sistemin incelenmesinde bilgisayar benzetişiminin kullanılması, kontrolün bilgisayar yardımıyla gerçeklenmesi problemlerin çözümünü daha ekonomik kılmakta ve sistemin çalışmasını da daha güvenli kılmaktadır.

Bugüne kadar yapılan çalışmalar, HVDC enerji iletim sistemlerine oldukça büyük önem verildiğini göstermektedir. 1996 yılı sonuna kadar literatürde bu konu ile ilgili yaklaşık 1000 kadar bildiri görülmektedir. Bunların çoğu kontrole yönelik bildirilerdir ve genellikle doğrultucu ve evirici kısımların kontrolü ile uğraşılmıştır. Kontrol teorileri oluşturulurken daha çok doğrultucu tekniğinden faydalananmış ve genel olarak fazların sıfır geçişleri yakalanarak tetikleme işlemi gerçekleştirilmiştir. Güvenlik sınırları akım ve gerilim karakteristiklerine göre belirlenmiştir.(Hingorani et al,1968, Payidar and Sachhidanand,1989)

Yüksek gerilim doğru akım (High Voltage Direct Current = HVDC) enerji taşıma sistemlerinde yüksek gerilimler ve güçler nedeniyle kontrol elemanı olarak tristörler kullanılmaktadır. Bu elemanların iletim, kesim tetikleme ve koruma düzenekleri oldukça problemli ve hassastır. Özellikle değişken gerilim ve frekanslarda bu sorunlar daha fazla kendini göstermektedir. Elemanların kendi iç kayıpları, hat kayıpları ve ortam etkileri de bu problemlerin artmasına sebep olmaktadır. Bütün bu etkiler kontrol sistemini oldukça fazla giriş-çıkış ile donatır. Bu nedenle kontrol işleminde A/D - D/A veri eldesi kartı (Data Acquisition Card ) kullanılmış ve bu kartın kontrolü C++ dilindeki bir yazılımla desteklenmiştir. Değişken gerilim ve frekanslarda oluşabilecek tetikleme hataları da fazların sıfır geçişleri yerine, kesim noktalarının yakalanması ile en aza indirilmeye çalışılmıştır.

Günümüzde bulanık mantık kontrol uygulamalarının sayısı hızla artmaktadır. Özellikle bulanık mantık kontrolünün uygulandığı sistemler karmaşık, doğrusal

olmayan yapıdadır. Yüksek gerilim doğru akım enerji taşıma sistemleri de ikinci dereceden doğrusal olmayan bir yapıya sahip olduğundan, bulanık mantık kuralları ile bu sistemin kontrol edilebileceği düşünülerek bilgisayar benzetişimi de yapılmıştır.

### **1.1. HVDC Enerji İletim Sistemlerinin Gelişimi**

Ekim 1879'da Edison'un ilk elektrik lambasını buluşu aydınlatma amacı ile ilk elektrik şebekelerinin kuruluşuna sebep olmuştur. 1882'de New York'ta Pearl Street denilen istasyon bölgesinde aydınlatma amacı ile kurulan ilk şebekede elektriksel özellikler: 3 iletken, 220/110 V doğru akım ve 30 kW idi. Görüldüğü üzere elektrik enerjisi iletiminde kullanılan ilk şekil doğru akımdır. Ancak 1890'da Edison'un bağlı bulunduğu 'General Electrics''e rakip kuruluş Westinghouse transformatörleği ve dolayısıyla AA akımı geliştirince DA akımın kullanılma olanakları birden kısıtlanmıştır. Bunun başlıca nedenleri, AA'da kolaylıkla gerilim ayarlama olanakları ve AA generatör ve motorlarının nispeten daha ucuz olmaları idi. Genelde AA uygulamalarının üstünlükleri günümüze kadar gelmektedir. DA ile iletim sistemi ise ancak 1954'te Gotland'ta kurulan ticari hat ile bir atılım gösterebilmiştir. Doğru akımla enerji iletimi üzerindeki ilk çalışmalar 1920'li yılların sonrasında araştırma düzeyinde başlamıştır. Bu çalışmalarda cıva arkı dönüştürücüler kullanılmıştır. 1944'te 10 kV düzeyinde gerilim değerlerine ulaşmış ve ilk çalışmalara göre sistem kararlılığında da oldukça önemli gelişmeler kaydedilmiştir. İlk uygulama 1946'da Mellerud ve Irollhattan arasında uygulanmış ve 90 kV'luk gerilimle 60 km boyunca 6,5 MW'lık güç iletimi gerçekleştirilmiştir. İlk ticari uygulama ise 1954'te Gotland'ta kurulmuş ve 100 kV'ta 20 MW'lık güç iletimi gerçekleşmiştir. 1958 yılında, Gotland'ta kullanılan iki paralel anottan oluşan dönüştürücü elemanları yerine dört anotlu anahtarlama elemanları geliştirildi. Güç değerlerinin gittikçe artması beraberinde anahtarlama elemanlarının soğutma problemlerini de getirdi ve 1965 yılında Yeni Zelanda'da kurulan hatta hava soğutmalı yerine su soğutmalı anahtarlama elemanları kullanılmaya başlandı. Artık anma değerleri 1400 A ve

125 kV değerlerine ulaşmıştı. 1970 yılında dört yerine altı paralel anotlu dönüştürücüler kullanılmaya başlanılmış ve 1800 A, 133 kV anma değerlerine çıkmıştır. 1970'lerde cıva arkı anahtarlama elemanlarının yerini tristörler almış ve dönüştürücü istasyonları da tristörlerle kurulmaya başlanmıştır.

Tristörlerin cıva arkı elemanlara göre çok üstün olmaları, daha pratik ve de ekonomik olmaları sistemin uygulanabilirliğini arttırmış ve HVDC enerji iletim sistemleri de daha hızlı gelişmeye başlamıştır.

Tristörlerin kullanılmaya başlanması ile hat gerilimi 150 kV'a ve hattan iletilen güçte 300 MW'a çıkmıştır. İlk hava soğutmalı tristör gurubu Norveç ile Danimarka arasında kullanılmış ve 250 kV, 1000 A değerleriyle çalışılmıştır. 1977 yılında Cabbora Bassa'da yapılan iki kutuplu Itapu enerji nakil hattında 600 kV, 3150 MW değerlerinde çalışan su soğutmalı tristörler kullanılmıştır. Bu tristörlerin akım kapasiteleri ise 2,6 kA'dır. Akım kapasitesi Vermount - Quebec hattında ise 3,6 kA'dır.

Günümüzde de devam eden bu hızlı gelişim sonucunda doğru akımla enerji iletiminin giderek yaygınlaşacağı söylenebilir. Yarı iletken teknolojisindeki, güç elektroniğindeki ve kontrol teorisindeki gelişmelerin neticesinde her geçen gün, seri ve paralel bağlanan eleman sayısı azalmakta ve sistem daha basit ve daha güvenli hale gelmektedir. Bütün bunların neticesi olarak da HVDC enerji iletim sistemi gelecekte sadece uzun mesafeler ve özel hatlar için değil, enerji iletim hatlarındaki problemlerin çözümünde de kolaylıklar sağlayacak ve AA hatlarının yerine kullanılabilecektir.

## **1.2. HVDC Enerji İletim Sisteminin Avantajları**

Bu sistemin avantajlarını kısaca aşağıdaki maddelerde toplayabiliriz.

1. Alternatif akımdaki periyodik değişim sonucu ortaya çıkan endüktif gerilim düşümüne ve reaktif güç kayıplarına sebep olan, hat omik direnci yanında oldukça baskın olan hattın endüktif reaktansını etkisiz kılar, bu da işletme verimini arttırmır (Şekil 1.a). Dönüştürücü istasyonlarında %1-1.5 oranında kayıplar olsa da bunlar AA hatlardaki toplam kayıplar yanında oldukça düşüktür.
2. Alternatif akım sistemlerinde olmayan kullanım ve tasarım özellikleri sağlanabilir. Güç akışının sürekli kontrolü ve karalılığı buna bir örnektir.
3. Yeraltı ve denizaltı iletiminin yapılması daha basit ve ekonomiktir. Kara da 500 km., denizaltında 30 km'den sonra hat maliyeti daha düşüktür (Şekil 1.b).
4. Farklı frekans ve işletme şartlarına sahip iki veya daha çok sayıdaki enerji iletim sistemlerinin enterkonnekte çalışması durumunda ve çok uzun enerji iletimi projelerinde, deniz altı enerji iletiminde alternatif akımda ortaya çıkabilecek uyuşmazlık ve kararsızlık problemleri, doğru akımın kullanılması ile daha ekonomik ve daha kolay çözülebilir.
5. Hat yapımı daha basittir. Alternatif akımda üç veya altı tel ile yapılması zorunlu olan iletim hatları; tek veya çift kutuplu, toprak geri dönüşlü veya dönüşsüz gibi daha esnek olarak tasarlanabilir. Böylece işletme ve ortam şartlarına en uygun, optimizasyona daha yakın bir enerji iletimi yapılmış olur (Şekil 1.2). DA hattın yapımı 1/3 daha ekonomiktir.
6. Çift kutuplu hatlarda, hatlardan birinde oluşabilecek arızalarda, enerjinin yarısı arızasız hat ve toprak dönüşü üzerinden iletilebilir. Bu özellik sisteme önemli bir üstünlük sağlar.
7. Kısa devre akımları en aza indirgenir.
8. Alternatif akımda görülen, frekans etkisi ile akımın iletken içerisinde homojen olmayan, iletken çeperlerinde yoğunlaşacak şekilde dağılması sonucu ortaya çıkan etkin dirençteki artış ve görülen kesit küçülmesi doğru akımda söz konusu değildir. Bu yolla aynı büyüklükteki akım daha düşük kesit ile taşınabilir.

9. Doğru akım enerji iletim hattının altındaki güvenlik bölgesi, alternatif akım hattına göre daha kısa mesafelerdedir. 400 kV AA hattın güvenlik bölgesi 96 metre iken,  $\pm 500$  kV'luk DC hattın güvenlik bölgesi 46 metredir.

10. Reaktif güç akışı DA iletkenlerinde olmayacağından kompanzasyon sorunu yoktur. DA ile iletimde şarj akımından ve hat reaktansından problemler doğmaz. Bunun sonucu olarak DA hatları ve kabloları AA hatları ve kablolarından daha ucuzdur.

11. HVDC sistemleri güç akış yönü, miktar ve hız olarak kontrol edilebilir. Bu da farklı AA şebekelerinin kararlılığının sağlanmasıında kullanılır.

12. Doğru gerilim, alternatif gerilimin tepe değerine eşit olduğundan, doğru akımla iletilen güç, tek fazlı AA sisteminden iki kat, üç fazlı AA sisteminden %50 daha fazladır.

Bunu şöyle gösterebiliriz:

AA sisteminde;

$$U_a = \text{Faz-faz gerilimi}$$

$$V_A = \text{Faz gerilimi}$$

$$I_a = \text{Faz akımı}$$

$$\cos \phi = \text{Güç faktörü}$$

$$P_a = \text{Güç ise}$$

$$P_a = \sqrt{3} \cdot U_a \cdot I_a \cdot \cos \phi \quad U_a = \sqrt{3} \cdot V_A$$

$$P_a = \sqrt{3} \cdot \sqrt{3} \cdot V_A \cdot I_a \cdot \cos \phi$$

$$P_a = 3 \cdot V_A \cdot I_a \cdot \cos \phi \quad (1.1)$$

olur.

DA sisteminde;

$$V_d = \text{Toprağa göre hat gerilimi}$$

$$I_d = \text{Hat akımı}$$

$$P_d = \text{Güç ise}$$

$$P_d = V_d \cdot I_d \text{ dir.} \quad (1.2)$$

$$I_a = I_d \text{ ve } V_d = \sqrt{2} \cdot V_A$$

varsayımlarına göre

$$\frac{P_d}{P_a} = \frac{\sqrt{2}V_A I_a}{3V_A \cdot I_a \cos\phi} \cos\phi = 0.943$$

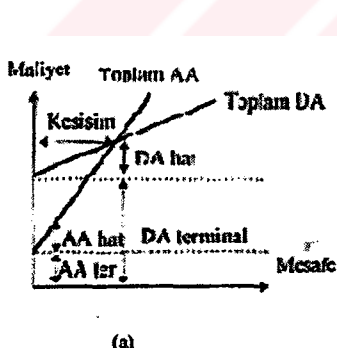
alınırsa

$$\frac{P_d}{P_a} = \frac{1.42}{2.829} = 0.5$$

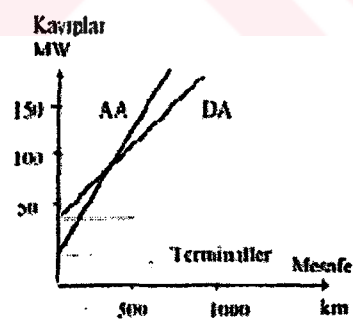
$$P_d = P_a / 2 \quad (1.3)$$

eşitliği elde edilir.

Üç fazlı AA sistemi yerine iki iletkenli ve toprak telli bir DA sistemi kullanılarak aynı gücün taşınabileceği yukarıdaki hesaptan görülebilmektedir. DA ile iletimdeki güç kaybı AA ile olan iletimdeki güç kaybının  $2/3$ 'ü kadar olacaktır. Ayrıca DA ile iletimde izolatör sayısında  $2/3$  oranında azalma, taşıma direklerinde ucuzluk, basitlik ve direklerin daha ince olmalarına imkan vardır. Isının etkisi yanında güç taşıma kapasitesini belirleyen diğer etkilerde göz önüne alınırsa, AA sisteminde bir iletkene, DA ile iletimdeki gücün dört katı kadar bir güç düşebilir.

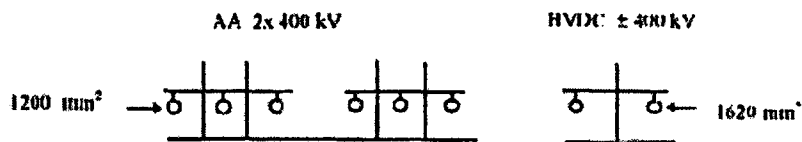


(a)



(b)

Şekil 1.a). Mesafe ve maliyet ilişkisi  
b). İletim hattı kayıpları



Şekil 1.2. İletim gerilimleri ve tel kesitleri

### 1.3. HVDC Sisteminin Yaygın Olarak Kullanılmama Nedenleri

Bu sistemin yaygın olarak kullanımını engelleyen sebepleri de kısaca şöyle sıralayabiliriz:

1. Çok uzun hatlar, farklı frekanslardaki hatlar ve özel hatlar dışında, yüksek teknoloji gerektirmesi bakımından ilk kuruluş maliyeti klasik hatlara göre daha fazladır.
2. Gerilim ve akım değerlerinin yüksek olması ve şu anki anahtarlama elemanlarının tek başlarına bu kontrol için yeterli olmayışı çok sayıda elemanın seri ve paralel bağlanması gerektir. Bu ise kontrolün zorlaşması demektir. Ayrıca tasarım aşamasında fiziksel sistemin aslına en yakın şekilde yansıtıldığı modeller üzerinde tüm işletme şartlarının kapsamlı şekilde incelenmesi gereklidir. Bu işletme şartları; açma kapama olayları, geçici ve sürekli hal davranışları, bağlantı yapılacak alternatif akım şebekelerine etkileri, kısa devre arızaları, dönüştürücülerde oluşacak arızalar, reaktif güç tüketimi ve kompanzasyonu olabilir. Bu inceleme de ancak üst düzeyde yazılım ve donanım imkanlarına sahip bilgisayar benzetimleri ile sağlanabilir.
3. Alternatif akım şebekelerinin doğru akım şebekeleri ile birleştirilmesi halinde doğru akımla enerji iletim sisteminin kontrolü, alternatif akım şebekesini önemli ölçüde etkilemeye ve kararlılık problemleri ortaya çıkarmaktadır.
4. Bugüne kadar uygulamalarda görülen özel problemlerin çözümüne yönelik çalışmalar yapılmış, üretim ve uygulamadaki standartlaşmada yetersiz kalınmıştır.
5. Kesicilerin akım kesmelerinin çok güç olması ve kesici gücünün büyük ölçüde sınırlanmasıdır.

6. Dönüştürücü guruplarındaki tristörlerin açma ve kapama sırasında oluşturduğu yüksek frekanstaki gerilimler radyo ve TV yayınlarını etkileyebilmektedir. Bunu önlemek için koruyucu ve ayırcılarda metal topraklama gerekmektedir.

#### 1.4. DA İletim Hatlarının Mahzurları

DA enerji iletim hatlarının AA enerji iletim hatlarına göre daha az kullanılmasına rağmen, DA hatları kullanıldığından da bir takım sorunlarla karşılaşılır. Bu sakıncaları kısaca;

1. Yüksek maliyetli DA dönüştürücülerinden dolayı DA akım elde etmenin zorluğu.
  2. Yüksek gerilim seviyeleri elde etmek için transformator kullanmanın mümkün olmaması
  3. Çevirici elemanların yüksek maliyeti
  4. AA ve DA filtreler gerektiren harmonik üretimin çevirici istasyonlarının maliyetine eklenmesi
  5. Kontrolün karmaşıklığı
- şeklinde sıralayabiliriz.

Bu dezavantajlar günümüzde aşağıdaki konuların geliştirilmesiyle kısmen giderilmiştir.

1. DA kiyıcılarının gelişimi
2. Tristörlerin modüler hale gelmesi
3. Dönüşürücülerin 12 tristörlü yapılara dönüştürülmesi
4. Metal oksit yapıların kullanımı
5. Dijital elektronığın uygulanması ve dönüşürücülerin kontrolünde fiber optik kullanımı

#### **1.4.1. DA İletim Sisteminden İstenen Özellikler**

1. Sistem gücünün sabit bir değere ayarlanması, sistemdeki güç akışının gerilim ve akımdaki dalgalanmalara rağmen değişmemesi
2. DA gücünün kontrolünü mümkün olduğunda hızlı sağlama
3. Güvenlik sınırları dahilinde hattı ve istasyonda kullanılan elemanları koruma
4. Akım ve gerilim karakteristiğine uyma
5. Ani yük değişimlerinden etkilenmemme
6. İletim hattı kayıplarını minimumda tutma

#### **1.4.2. Genelde Görülen Problemler**

1. DA hat hataları
2. AA hat hataları
3. Güç kesilmesi ve azalması

Bu nedenle çözüm için,

1. DA hat hataları hızlı bir şekilde iyileştirilmeli
2. Güç akışı ve kararlı çalışma sağlanmalı
3. AA geriliminin değişimiyle komütasyon hataları oluşabilir. Bu nedenle DA gücünün kaybolması engellenmeli
4. DA gücündeki artımın çok hızlı olması yüzünden AA geriliminin azalması ve komütasyon hatalarının oluşması engellenmelidir.

#### **1.4.3. Kontrol Sistemi Etkileyen Durumlar**

1. Komuta istasyonlarının değişim istekleri
2. Dinamik aşırı gerilim
3. Harmonik üretimi ve filtre tasarımını
4. Spikey akımları ile taşıyıcı frekansın girişimi

## **BÖLÜM 2. HVDC ENERJİ İLETİM SİSTEMİ**

HVDC, yüksek gerilim ve doğru akımla güç iletiminde kullanılan bir enerji iletim sistemidir. Alternatif akım enerji iletim sistemlerinin bir karşıtı olarak özellikle uzun mesafelerde kullanılan bir sistemdir. İletilecek enerjinin noktadan noktaya olması veya iletim esnasında değişik terminallere dağıtılp dağıtılmaması ve hattın geçtiği güzergah ile işletim şartlarına göre değişik tiplerde kurulabilir.

AA sistem ile HVDC sistemi arasındaki en önemli fark DA hattı üzerindeki gücün miktar, hız ve yön olarak kontrol edilebilir olmasıdır. Bir HVDC enerji iletim sistemi çok karmaşık düzeneklerin birbirine bağlanması ve bütün bunların çok düzenli bir şekilde kontrolünü gerektirir. Bu işlemin düzgün bir biçimde yapılması sistemin kullanılabilirliğini ve dolayısıyla güvenliğini artıracaktır. Ayrıca sistemin ticari boyutu da kullanılabilirliği ile direkt ilgilidir (Hingorani, 1996)

### **2.1. HVDC İletim Hatlarının Tipleri**

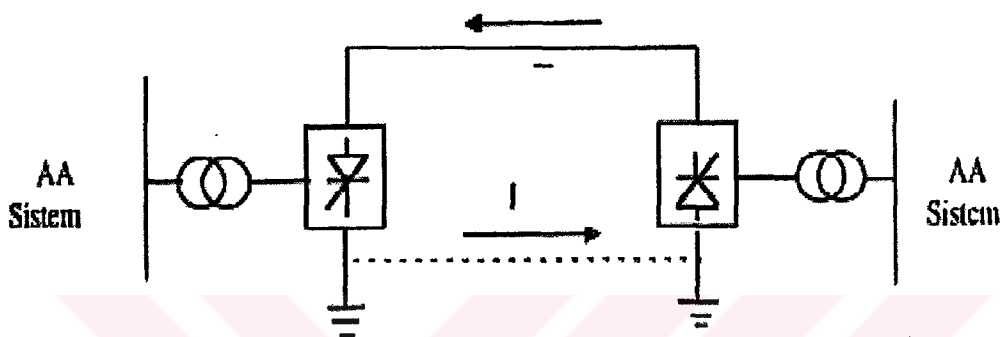
HVDC iletim sisteminde kullanılan hatları genelde üç kategoride toplamak mümkündür.

#### **2.1.1. Tek Kutuplu Hatlar**

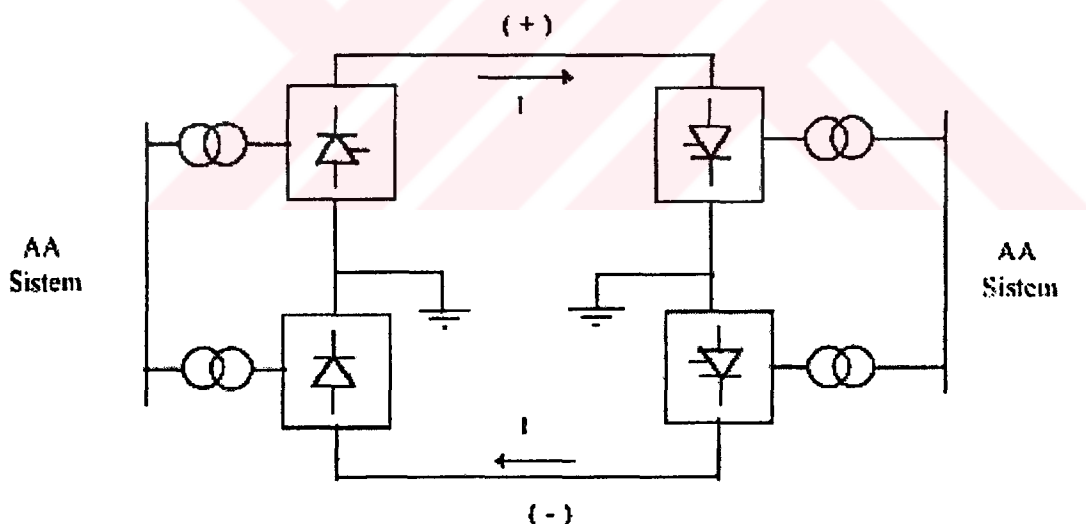
Bu tip bir DA hatta ilk grup tristörler uygun zamanlamada ateşlenerek alternatif gerilim doğrultulur ve doğru akım elde edilir. Elde edilen doğru akım uzun mesafelerde hat üzerinden taşındıktan sonra alıcı tarafta yine uygun tristör tetiklemeleriyle alternatif gerilim elde edilir. Tek kutuplu hat, tek iletkenli ve negatif işaretlidir, dönüş hattı olarak toprak veya denizi kullanır (Şekil 2.1).

### 2.1.2. İki Kutuplu Hatlar

Bu yapıda terminallerdeki dönüştürücüler seri bağlanmış ve her dönüştürücünün eşit oranda yüklenmesi sağlanmıştır. Ayrıca iki dönüştürücü arasındaki bağlantı da topraklanmıştır. Her iki kutupta istenirse birbirinden bağımsız çalıştırılabilir. Eğer kutuplardan biri arızalanırsa sistem yarımda güçte diğerini üzerinden çalıştırılabilir (Şekil 2.2).



**Şekil 2.1.** Tek kutuplu hattın genel yapısı

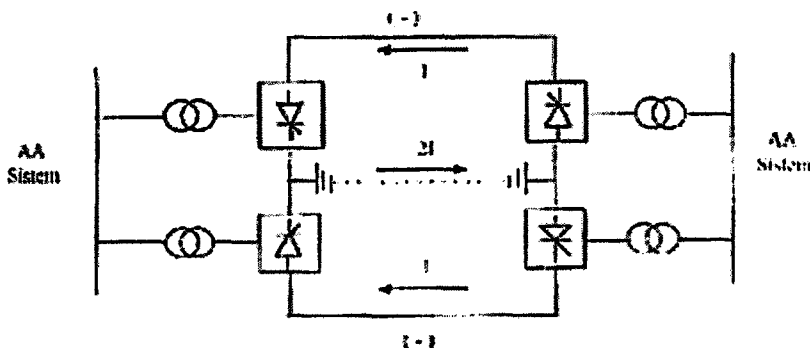


**Şekil 2.2.** İki kutuplu hattin genel yapısı

### **2.1.3. Aynı Kutuplu İkili Hatlar**

Tek kutuplu hatlarda aynı işaretli iki veya daha fazla iletken kullanılır. İletim genellikle negatif işaretle yapılır. Dönüş yolu olarak toprak tercih edilir. Bu sistemde

hatlardan biri arızalandığında dönüştürücü istasyonlardan biri devre dışı bırakılıp yarımcı güçle sistemin çalıştırılması mümkündür.

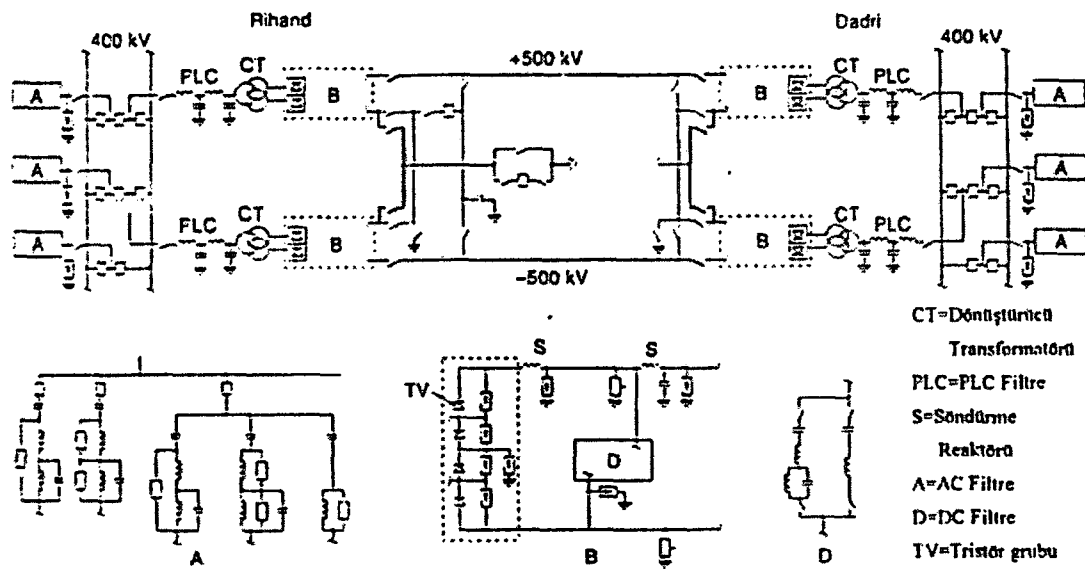


Şekil 2.3. Aynı kutuplu iki hatlı sistemin genel yapısı

Genelde ikili hatlar toprak üzerinden dönüş etkisi olmadığından daha çok kullanılır. Tek kutuplu hatların yalıtım maliyetlerinin düşürülmesi nedeniyle avantajı vardır (Şekil 2.3).

## 2.2 HVDC İletim Sistemindeki Ana Birimler

HVDC sisteminin ana kısımları aşağıdaki şekilde gösterilmiştir. Bunlara kısaca göz atmakta sistemi tanımak açısından fayda vardır. Bu birimler Rihand-Dadri hattı için kurulan iki kutuplu bir hat için şekil 2.4'te gösterilmiştir.



Şekil 2.4. İki kutuplu bir HVDC iletim sistemin ana birimleri (ABB,1996)

### 2.2.1. Dönüştürücüler ve Eviriciler

AA/DA ve DA/AA çevrimler için kullanılırlar ve tristör grupları ile transformatörlerden oluşurlar. 6 veya 12 vuruşlu olarak tasarılanırlar. Transformatörler AA/DA kısmında gerilimi yükseltirken, DA/AA kısmında da düşürmeye yararlar. DA hattı oluşturmak için de dönüştürücülerin (+) ve (-) kutupları birleştirilir (Nasar,1995).

### 2.2.2. Söndürme Reaktörleri

Bunlar dönüştürücü istasyonlarının her bir kubuna seri olarak bağlanan endüktanslardır. Bunların amaçlarını söyle özetleyebiliriz:

1. DA hattaki voltaj ve akımın harmoniklerini azaltmak,
2. Dönüştürücülerdeki komütasyon hatalarını önlemek,
3. Küçük yüklerde akımın sürekliliğini sağlamak,
4. DA hatlarındaki kısa devrelerde dönüştürücülerden geçen yüksek akımları sınırlamak.

### **2.2.3. Harmonik Filtreler**

Dönüştürücüler AA ve DA hatların her ikisinde de harmonik voltaj ve akımlarını üretirler. Bu harmonikler generatör ve kapasitörlerde aşırı ısınmalara sebep olurlar. Filtreler hem AA hem de DA hat taraflarına koyulur (Rashid,1988).

### **2.2.4. Reaktif Güç Kaynağı**

Dönüştürücüler doğal olarak reaktif gücüde absorbe ederler. Normal şartlarda transfer edilen aktif gücün %50'sini reaktif güç içerir. Tüketilen reaktif güç geçiş durumlarında çok daha fazla olabilir. Bu yüzden sisteme reaktif güç kaynakları eklenmiştir. Güçlü AA sistemler için bunlar şönt kapasitörler şeklinde olmalıdır. AA ve DA hattın ihtiyacına bağlı olarak, reaktif güç kaynağının bir kısmı senkron kapasiteler veya statik VAR kompanzatörler şeklinde olabilir. AA filtrelerde kullanılan kapasitörlerde reaktif gücün bir kısmını karşılar.(Bausiere,1993)

### **2.2.5. Elektrotlar**

DA hatların birçoğunda dönüştürücülerin orta noktaları toprağa bağlanarak sıfırlanır. Bağlantı noktaları akım yoğunluğunu azaltmak için toprakta mümkün olduğunca geniş yüzeylere yayılarak yapılır. Eğer toprağa akan akımın sınırlanması gerekiyorsa metal dönüş iletkeni DA hatlarının bir parçası olarak kullanılabilir.

### **2.2.6. DA Hatlar**

Bunlar yükün taşıdığı hatlar veya kablolardır. Gerçekte AA hatlara oldukça benzerler.

### **2.2.7. Devre Kesiciler**

Dönüştürücülerin kontrolü esnasında traflarda oluşacak hatalardan hatları korumak için kullanılırlar.

### **2.2.8. Transformatörler**

Transformatörler dört çeşit olarak üretilir. Bunlar;

1. 3 faz 3 sargılı
2. 3 faz 2 sargılı
3. 1 faz 3 sargılı
4. 1 faz 3 sargılı

şeklindedir.

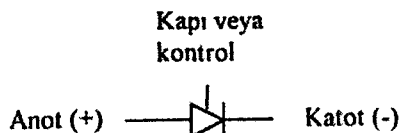
Bu transformatör tipleri mekaniksel olarak farklı olsalar bile aralarında elektriksel olarak herhangi bir fark yoktur. Transformatörler AA ile DA arasında izolasyon görevi yaparlar ve de iletilecek DA gerilimin değerini kaba olarak ayarlamada kullanılırlar.

### **2.2.9. Tristörler**

Tristörler dönüştürücü sistemlerinin merkezini oluştururlar. HVDC iletim sisteminde kullanılan tristörler, çalışma prensibi olarak diğer güç elektroniği devrelerinde kullanılan tristörlerden farklı olmayan elektronik anahtarlardır. Bu tristörlerde diğerleri gibi küçük gerilimlerle kapıdan kontrol edilirler ve anot-katot yönündeki akımları iletirken, katot-anot yönündeki akımları iletmezler. (El-Hawary,1986)

Dünya üzerinde kullanılan HVDC sistemlerinde 1000 - 2000 A arası akımlarda çalışan ve 50-150 kV tepe gerilimlerine dayanabilecek tristör grupları kullanılmaktadır. Ancak bunların oldukça geniş bir yer kapaması ve ağır olması (bir

tanesi yaklaşık 200 kg) dezavantajdır. Şu anda yeni uygulamalarda kullanılmak üzere 3000 A' e kadar akım geçirebilecek tristör grupları yapılmıştır. Tristörler yüksek akım veya gerilimleri taşımak için seri veya paralel bağlanabilir. Soğutma işlemleri de değişik biçimlerde yapılabilir. Bunlar: Hava soğutmalı, hava yalıtımlı; yağ soğutmalı, yağ yalıtımlı; su soğutmalı, hava yalıtımlı; freon soğutmalı, SF<sub>6</sub> yalıtımlıdır.(Ramshaw,1993)



Şekil 2.5. Tristörün simbolü

### 2.3. HVDC Sisteminin Kullanılabilirliği

Bir HVDC sisteminin kullanılabilirliği, verilen bir dönem (genellikle bir yıl) boyunca enerjiyi iletme kapasitesi olarak tanımlanabilir ve normal olarak tam güçte çalıştırıldığında, o dönemde iletebileceği enerjinin yüzdesi olarak ifade edilir. Böylece, programlanmış (örneğin planlı bakım) veya zorunlu (örneğin donanım arızasından kaynaklanan) olduğuna bakılmaksızın bütün kayıplar, kullanılabilirlikten çıkarılır.

Modern HVDC sistemlerinin (1975'ten buyana olanlar) kullanılabilirliği daha öncekilerden oldukça yüksektir. Bu HVDC teknolojisinin yerleştiğini ve hızla geliştiğini gösterir. Ayrıca tristör guruplarında çok sayıda tristörlerin olması nedeniyle, tristör arızalarından kaynaklanan kayıplar günümüzde oldukça azalmıştır. Bununla birlikte, proje kullanılabilirliği yalnızca çevirici istasyonu tasarıminın bir fonksiyonu olmayıp, aynı zamanda hem koruyucu bakımın niteliğine ve sıklığına hem de benimsenen yedek parça politikasına da bağlıdır. Dönüştürücü transformatörleri ve düzeltici reaktörler gibi donanımın ana parçalarının arıza olasılığı çok düşüktür (Danahue and Fischer,1993).

Temin garantileri HVDC projelerinin şartnamelerinde giderek daha fazla yer almaktadır. Cross Channel projesinde GEC tarafından temin edilen dönüştürücü terminal donanımının bulunabilirliğinin %98'in üzerine çıkacağı öngörmektedir. Bulunamama durumu da, bakımın, maksimum koruyucu bakım için gerekli süresinin üç veya dört günü içerisinde kalmaktadır.

Firmaların verdiği değerlere göre kullanılabilirlik, hattın yılda 10-15 kez devre dışı kaldığı varsayılsa tek kutuplu bir hat için %98.5 ve %99.7 arasında değişebilmekte ancak uygulamada buna uymayan durumlarla da karşılaşılabilmektedir. Örneğin kurulduğu günden buyana oldukça sorunlu olan Zaire'deki Inga-Shaba HVDC sisteminin devre dışı kalma yüzdesi isteneni bir türlü verememesi yüzünden oldukça yüksektir. Yine de ortalama olarak tek kutuplu bir çevirici istasyonunun devre dışı kalma süresi 16 saat/yıl (%0.2) ve çift kutuplu bir çevirici istasyonunun devre dışı kalma süresi %100 güçte 50 saat/yıl ve %50 güçte 2 saat/yıl (%0.02)'dır İstasyonun devre dışı kalma süresi ya da servis süresini yüzde cinsinden ifade edersek, servis yüzdesi:

$$\text{Servis yüzdesi} = (1 - \text{servis dışı olma süresi} / \text{toplam çalışma süresi} \times 100)$$

olarak tanımlanabilir.

#### **2.4. Çok Terminalli HVDC Sistemleri**

Çok terminalli HVDC sistemleri (ÇTDA), ekonomik ve teknik olarak HVDC sistemlerinin avantajlarını artırmak için tasarlanılmışlardır. Bu sistemle hat boyunca enerji ihtiyacı olan istasyonlara enerji sağlanır (Electric Power Development Co.,1991)

İlk ÇTDA sistemi Sardinya-Corsica-İtalya arasında gerçekleştirilmiş ve iki terminalli sisteme daha sonra üçüncü bir terminal eklenmiştir.

#### 2.4.1. ÇTDA Ağ Yapısı

ÇTDA sistemlerinde iki tür bağlantı mümkündür:

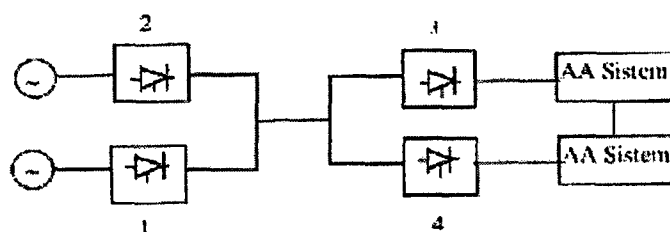
1. Sabit gerilim paralel bağlantısı
2. Sabit akım seri bağlantısı

Paralel bağlantıda dönüştürücüler, şekil 2.6'da gösterildiği gibi Radial veya 2.7'de gösterildiği gibi Mesh tipinde paralel bağlanır ve ortak bir gerilim değerinde çalıştırılır.

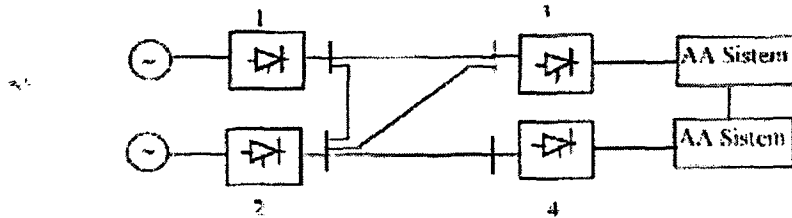
Seri bağlantılar, dönüştürücülerin, bütün terminallerinden ortak bir akım geçecek biçimde seri bağlanmasıyla oluşturulur. Bağlantı şekli 2.8'de verildiği gibidir.

Hem paralel hem de seri bağlı dönüştürücü istasyonlarını içeren ÇTDA sistemleri de oluşturulabilir. ÇTDA sistemlerinin büyük çoğunluğu şekil 2.6'da görüldüğü gibi radial tip paralel bağlı sistemlerdir.

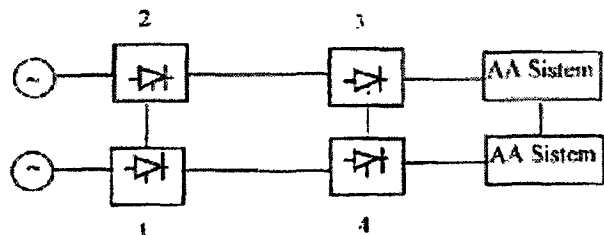
Seri bağlantılı ÇTDA sistemleri küçük güçlü sistemler için düşünülmüştür. Ancak daha az sorun çıkardığı için paralel bağlantı daha çok ilgi görmektedir. Seri bağlantı ile karşılaşıldığında, kolay kontrol, daha az hat kaybı ve gelişmelere daha esnek olması bakımından paralel bağlantı daha avantajlıdır.(Nakajima,1993)



Şekil. 2.6. Radial DA şebekede iki kutuplu paralel ÇTDA'nın blok gösterimi



Şekil 2.7. Mesh tipi DA şebekede iki kutuplu paralel ÇTDA'nın blok gösterimi



Şekil 2.8. Seri bağlı ÇTDA'nın blok gösterimi

#### 2.4.2 ÇTDA Sistemlerinin Kontrolü

ÇTDA sisteminin temel kontrol prensibi, iki terminalli sistemin genelleştirilmesi ile elde edilebilir. Her bir dönüştürücünün kontrol karakteristiği, sabit akım ve sabit tetikleme açısı kontrollerini içerir. Ek olarak sabit gerilim kontrolü de eklenebilir. Dönüştürücü karakteristikleri DA ağ yapısı ile birlikte, sistemin işletim noktasını belirler (ElectricPower Development Co., 1991).

#### 2.4.3 Paralel Bağlı Sistemler

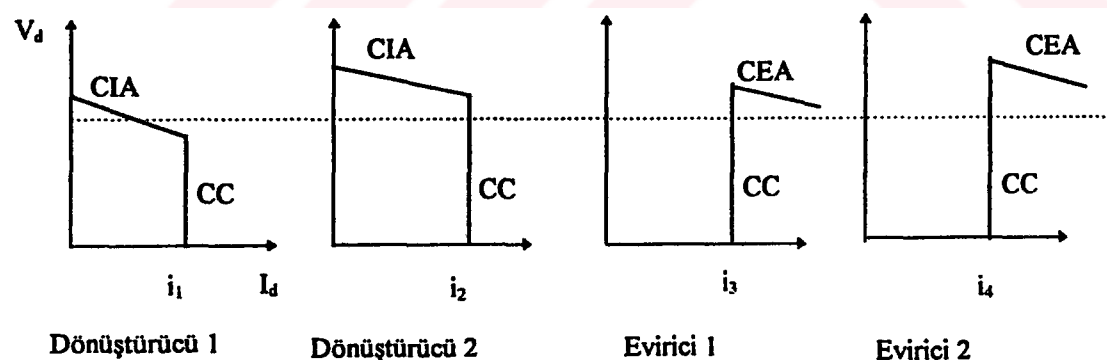
Paralel bağlı bir sistemde, terminallerden biri DA sisteminin işletim gerilimini belirler, diğer terminaler sabit akım kontrolü ile çalışır. Dört terminalli DA sistemi için gerilim-akım karakteristikleri şekil 2.9'da verilmektedir. Şekil 2.10'da ise bütün karakteristiklerin toplamı verilmiştir.

Şekil 2.9'da birinci doğrultucu gerilim ayarlayıcı terminal olarak kabul edilmiştir. Uç değiştirici açıları istenen aralıkta tutar. Bunun yanında karali işletimi sağlamak için, pozitif akım sınırları da belirlenmelidir

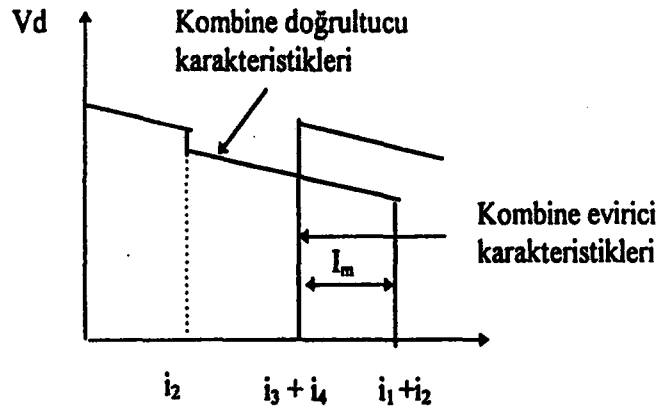
Eğer bir evirici gerilim kontrollü ise, aşırı yüklemeden kaçınılmalıdır. Çünkü, sistem bozulmaları ve yük değişimleri durumunda akımı kontrol etmek zordur. Diğer taraftan sistem gerilimini bir doğrultucu belirliyorsa, işletim daha kararlıdır. Bütün eviriciler akımı kontrol eder. Gerilim kontrollü doğrultucu diğer istasyonların aşırı yüklenmesine sebep olmadan kendini koruma kabiliyetine sahiptir. Sistem yüksek hızlı haberleşmeye daha az bağımlıdır. Bundan dolayı da daha güvenlidir. Genelde büyük doğrultucu terminalerindeki gerilim kontrollü daha iyi sonuç verir (CGEE uygulama notları)

Paralel bağlı ÇTDA sistemlerinin mahsurlarını ise şöyle sıralayabiliriz:

1. DA sistemindeki herhangi bir bozucu etki (hat arızası veya komütasyon arızası) tüm DA sistemini etkiler.
2. Herhangi bir terminaldeki gücün yön değişimi mekanik anahtar gerektir.
3. İki veya daha fazla seri bağlı köprüden meydana gelen dönüştürücü istasyonundaki bir tek köprünün bloke edilmesi, tüm sistemin düşük gerilimde işletimini ya da etkilenen istasyonun devre dışı kalmasını gerektirir.
4. Bir eviricideki komütasyon arızası, diğer terminallerden akım çeker ve iyileşmeyi etkiler.



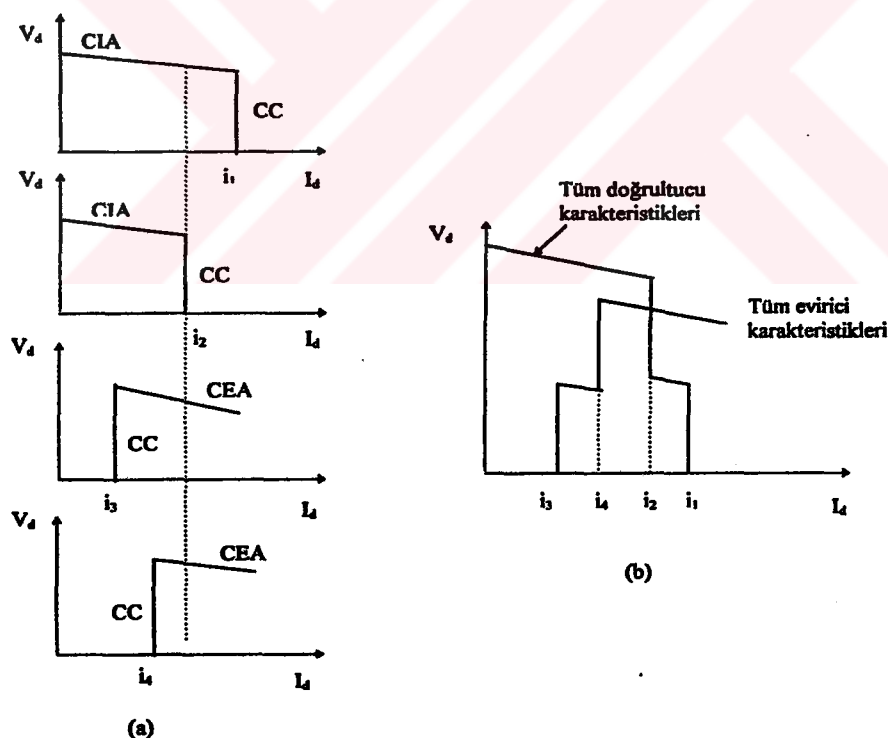
Şekil 2.9 Bireysel dönüştürücü karakteristikleri



Şekil 2.10 Tüm karakteristiklerin gösterimi

#### 2.4.4. Seri Bağlı Sistemler

Seri bağlı bir sistemde akım tek bir terminalden kontrol edilir ve diğer bütün terminaler sabit açı kontrolü ( $\alpha$  veya  $\gamma$ ) ile veya düzenlenmiş gerilimle işletilir.



Şekil 2.11.a) Seri sistemde bireysel kontrol karakteristikleri  
b) Seri sistemde tüm kontrol karakteristiklerinin gösterimi

Seri bağlı ÇTDA sistemlerinin mahsurlarını ise şöyle sıralayabiliriz:

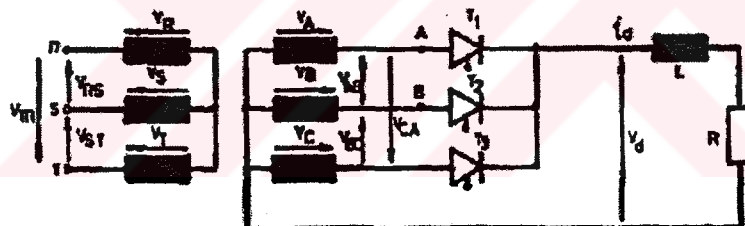
1. Sistemin birçok bölümündeki toprağa karşı gerilim farklı olduğundan izolasyon koordinasyonu karmaşık ve pahalıdır. Düşük gerilimli bölümlerde kayıplar fazladır.
2. Geçici hat arızaları tüm sistemin kesintisine sebep olur.
3. İleriki gelişmeler için esneklik sınırlıdır.

## BÖLÜM 3. ÜÇ FAZLI DÖNÜŞTÜRÜCÜLER

Adından da anlaşılacağı gibi üç fazlı dönüştürücüler, üç fazlı gerilim kaynağından beslenerek doğru gerilim ya da alternatif gerilim dalga biçimleri üreten güç elektroniği devreleridir. Alternatif akımı doğru akıma çeviren devreler doğrultucu ve doğru akımı alternatif akıma çeviren devreler de evirici olarak incelenmiştir.

### 3.1 Üç Fazlı Orta Nokta Bağlantılı Doğrultucu

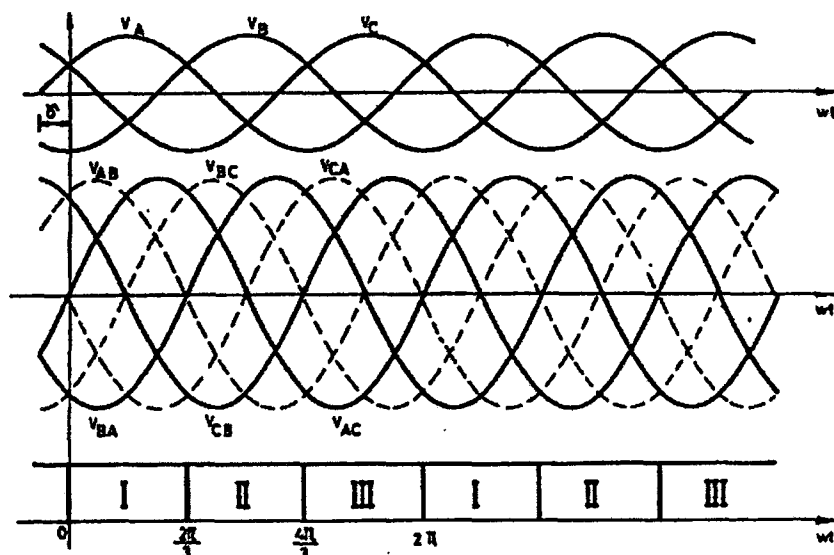
Üç fazlı orta nokta bağlantılı doğrultucu devresi şekil 3.1'de verilmiştir. Bu devre, her faz ucuna bağlanan birer tristör yardımıyla üç adet yarındalga doğrultucunun paralel bağlanmasıyla elde edilir (Moahn et al., 1989).



Şekil 3.1. Üç fazlı orta nokta bağlantılı doğrultucu

Devrenin çalışma ilkesini açıklayabilmek için önce devrenin tristörler yerine diyotlardan olduğunu (ya da tristörlerin doğal ateşleme noktasında tetiklendiğini) varsayıyalım. Şekil 3.1'de görüldüğü gibi devredeki yarı iletken elemanların katotları aynı potansiyeldedir. Bu durumda anot potansiyellerinin anlık değerleri hangi diyodun (ya da tristörün) iletme gireceğini belirler. Anot potansiyeli en artı olan eleman iletme girer. Elemanlar üzerindeki gerilim düşümleri yok sayılırsa, diyotların katotları da sözü edilen en artı potansiyele geleceğinden diğer iki diyodun anot katot potansiyeli eksi olur. Şekil 3.2'de doğrultucu girişindeki faz ve faz arası

gerilimlerinin zamanla değişimleri ve bunlara göre devrenin çalışma aralıkları verilmiştir.



Şekil 3.2 Faz ve faz arası gerilimlerin zamanla değişimleri

Şekil 3.2'de görüldüğü gibi,  $0 < \omega t < 360^\circ$  dönemi boyunca devrenin üç ayrı çalışma aralığı söz konusudur.

I)  $0 < \omega t < 120^\circ$  aralığında  $V_A > V_B, V_C$  dir. Bu nedenle  $T_1$  tristörü iletme girecektir. Bu durumda çıkış gerilimi  $V_d = V_A$  ve  $T_1$  tristörü üzerinde düşen gerilim  $V_{T1} = 0$  olur.

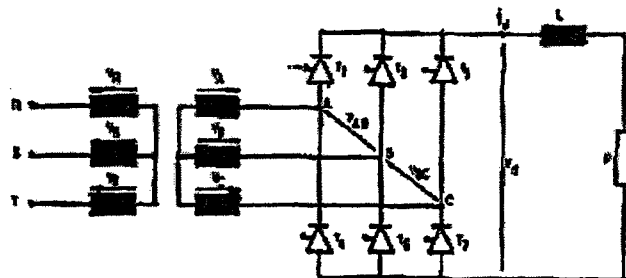
II)  $120^\circ < \omega t < 240^\circ$  aralığında en büyük faz gerilimi  $V_B$ 'dir. II. aralıkta çıkış gerilimi  $V_d = V_B$ , tıkamaya giren  $T_1$  tristörü üzerinde düşen gerilim ise  $V_{T1} = V_A - V_B = V_{AB}$  olur.

III)  $240^\circ < \omega t < 360^\circ$  aralığında ise,  $V_d = V_C$  ve  $V_{T1} = V_A - V_C = V_{AC}$  olur.

Gördüğü gibi doğru gerilim, faz gerilimlerini izlerken, tıkalı durumdaki bir tristör (ya da diyot) üzerinde ters yönde faz arası gerilimler düşer.(Kasakian et al,1991)

### 3.2 Üç Fazlı Köprü Bağlantılı Doğrultucu

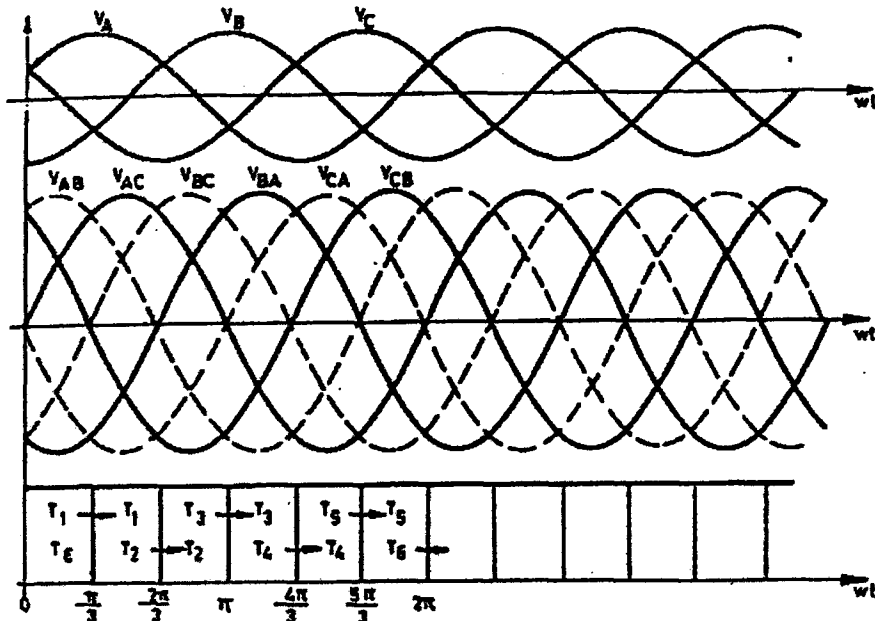
Üç fazlı köprü bağlantılı doğrultucu devresi şekil.3.3'te verilmiştir.



Şekil.3.3. Üç fazlı köprü bağlantılı doğrultucu devresi

Devrede  $T_1, T_3$  ve  $T_5$  tristörlerin katotları,  $T_2, T_4$  ve  $T_6$  tristörlerinin de anotları ortak olarak bağlanmıştır. Sözü edilen tristör grupları ayrı birer dalga doğrultucu gibi çalışmaktadır. Köprü doğrultucularda herhangi bir anda, katotları ortak tristörlerden yalnızca biri, anotları ortak tristörlerden de yalnızca biri iletimde olabilir. Devrenin çalışmasını daha kolay kavrayabilmek için önce tristörlerin doğal ateşleme noktasında ( $\alpha=0$ ) tetiklendiğini kabul edelim. Bu durumda devre diyonotlu doğrultucu gibi çalışacaktır. A, B ve C noktalarının potansiyellerinin anlık değerleri, devredeki elemanların hangi anda iletme gireceklerini belirler (Gönen, 1988). Şekil.25'te girişeki faz ve faz arası gerilimlerin zamanla değişimleri ve devrenin çalışma aralıkları gösterilmiştir.

$0 < \omega t < \pi/3$  aralığında katotları ortak olan tristör grubundan anot potansiyeli en artı olan  $T_1$  tristörü  $T_3$  ve  $T_5$  tristörlerine göre iletme girmeye daha elverişli olduğundan iletme girecektir.  $T_1$ 'in iletme girmesiyle, ortak katot noktası A noktasının potansiyeline yükselecektir. Anotları ortak olan tristörlerden, katot potansiyeli en küçük olan  $T_6$  tristörü de  $T_2$  ve  $T_4$  tristörlerine göre iletme girmeye daha elverişli olacağından iletme girecek ve ortak anot noktası B noktasının potansiyeline düşecektir. Bu durumda yük gerilimi  $V_d = V_{AB}$  olacaktır.

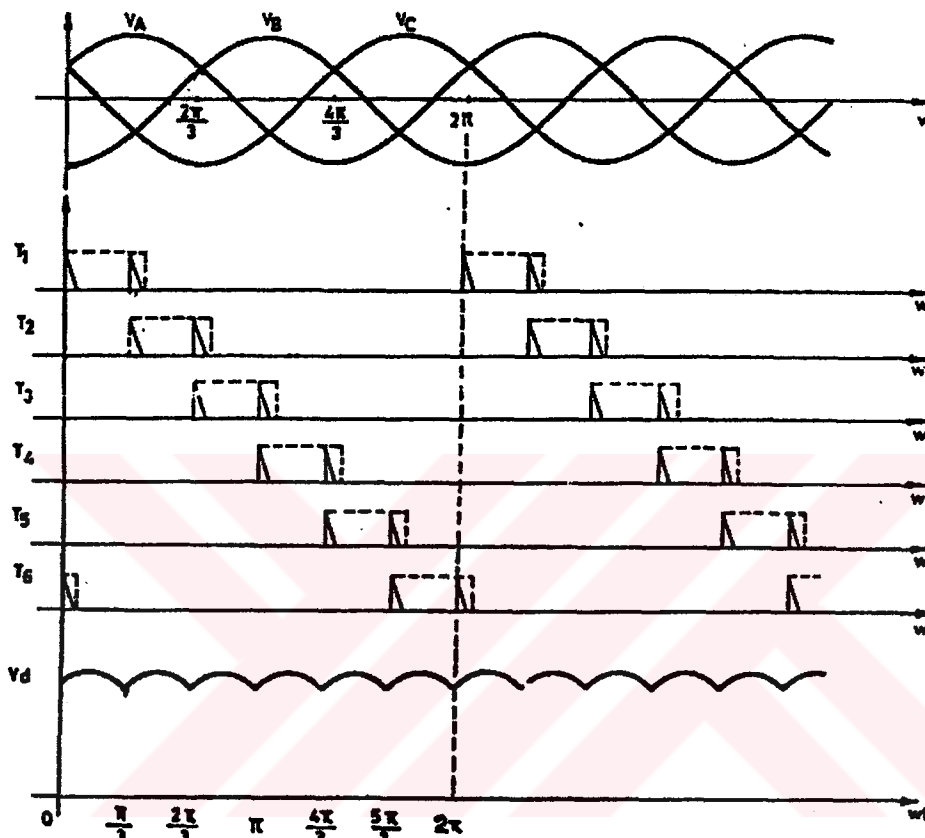


Şekil.3.4 Üç fazlı köprü doğrultucunun çalışma aralıkları

- $\pi/3 < wt < 2\pi/3$  aralığında da en artı potansiyel A noktasında olduğundan  $T_1$  tristörü iletimini südürecektir . Buna karşılık aynı aralıkta en eksi potansiyel C noktasının potansiyeli olduğundan,  $T_2$  tristörü  $T_6$  tristörüne göre iletme girmeye daha elverişli olduğu için akımı  $T_6$  tristöründen devralır. Bu aralıkta çıkış gerilimi  $V_d = V_{AC}$  olur.
- $2\pi/3 < wt < \pi$  aralığında benzer nedenlerle  $T_2$  ve  $T_3$  tristörleri ileter.  $V_d = V_{BC}$  olur.
- $\pi < wt < 4\pi/3$  aralığında,  $T_3$  ve  $T_4$  tristörleri iletimdedir.  $V_d = V_{BA}$  olur
- $4\pi/3 < wt < 5\pi/3$  aralığında,  $T_4$  ve  $T_5$  tristörleri iletimdedir ve  $V_d = V_{CA}$  olur.
- $5\pi/3 < wt < 2\pi$  aralığında,  $T_5$  ve  $T_6$  tristörleri iletimdedir ve  $V_d = V_{CB}$  olur.

Yukarıda anlatılanlardan da görüleceği gibi üç fazlı köprü bağlantılı doğrultucunun, giriş geriliminin bir periyodu içerisinde altı farklı çalışma durumu vardır. Bir başka deyişle çıkış işaretinin bir darbe dönemi, giriş işaretinin bir döneminin  $1/6$ 'sı kadardır. Devredeki tristörler (ya da diyotlar)  $120^\circ$  derece süresince iletimde kalırlar. Ancak bu sürenin ilk yarısında başka ikinci yarısında ise başka bir elemanla birlikte

iletimde olurlar. Bu nedenle devreyi denetleyecek olan tetikleme devresinin herhangi bir tristör için üreteceği kapı darbesinin ya  $60^0$  aralıkta yinelenen iki darbeden oluşması, yada en az  $60^0$  süreli olması gerekmektedir. Bu durum şekil 3.5'te  $\alpha=0$  için gösterilmiştir.



Sekil 3.5  $\alpha = 0^0$  için tetikleme darbelerinin konumu ve doğru gerilim

### 3.2.1 Direnç Yükü

Üç fazlı köprü bağlantı doğrultucunun direnç yükünde dalga biçimleri şekil 3.7'de verilmiştir. Devrenin doğal ateşleme noktası orta nokta bağlantılı devre için tanımlanan noktadır. Yük direnç olduğundan,  $\omega t = 2\pi/3$  anında  $V_{AB} = I_d = 0$  olur. Bu nedenle  $\alpha > \pi/3$  ise,  $2\pi/3 < \alpha < \pi/3$  aralığında çıkış gerilimi  $V_d = 0$  olacaktır. Söz edilen durumun daha iyi gözlenmesi için şekil 3.7'de  $\alpha = \pi/6$  ve  $\alpha = \pi/2$  ateşleme açıları için dalga biçimleri verilmiştir.

### 3.2.2 Doğru Gerilimin Ortalama Değeri

Dalga biçimlerinden de görüldüğü gibi, yük üzerinde doğru gerilim faz arası gerilimlerin parçalarından da oluşmaktadır. Örneğin bu kesiksiz çalışmada  $\alpha < wt < \pi/3$  aralığında  $V_d = V_{AB}$

ya da kesikli çalışmada

$\alpha < wt < 2\pi/3$  aralığında  $V_d = V_{AB}$

$2\pi < wt < 4\pi/3$  aralığında  $V_d = 0$

değerlerini almaktadır. Yine dalga biçimlerinden yararlanarak  $V_d$ 'nin  $T=\pi/3$  döneli bir değişim olduğu görülmektedir. Bu durumda doğal ateşleme noktasına göre;

$$\begin{aligned} V_{AB} &= V_A - V_B = \sqrt{2}V_2 \sin(wt + \pi/6) - \sqrt{2}V_2 \sin(wt + \pi/6 - 2\pi/3) \\ &= \sqrt{3} \sqrt{2}V_2 \sin(wt + \pi/6 + \pi/6) \\ &= \sqrt{6}V_2 \sin(wt + \pi/3) \end{aligned} \quad (3.1)$$

$0 < \alpha < \pi/3$  aralığında

$$V_{d\alpha} = \frac{3}{\pi} \int_{\alpha}^{\alpha+\pi/3} \sqrt{6}V_2 \sin(wt + \pi/3) dt = \frac{3\sqrt{6}V_2}{\pi} \cos\alpha \quad (3.2)$$

$\pi/3 < \alpha < 2\pi/3$  aralığında

$$V_{d\alpha} = \frac{3}{\pi} \int_{\alpha}^{\pi} \sqrt{6}V_2 \sin(wt + \pi/3) dt = \frac{3\sqrt{6}V_2}{\pi} (1 + \cos(\alpha + \pi/3)) \quad (3.3)$$

$\alpha < 2\pi/3$  aralığında

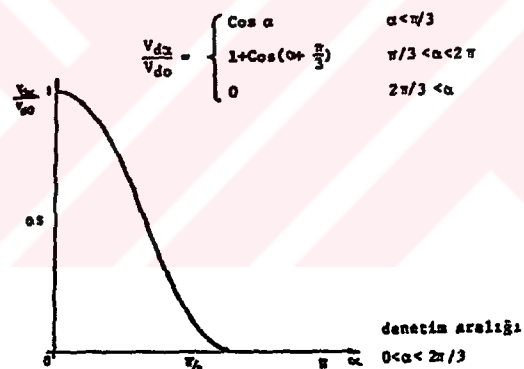
$$V_{d\alpha} = 0 \quad (3.4)$$

elde edilir.

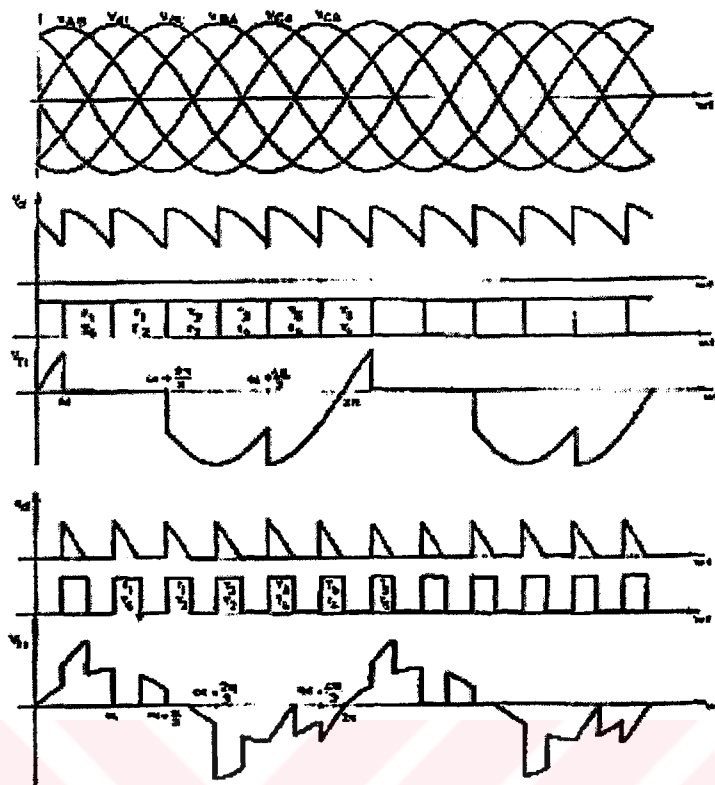
$\alpha = 0$  için

$$V_{d0} = V_{d\alpha} \mid_{\alpha=0} = 3\sqrt{6}V_2 / \pi \quad (3.5)$$

elde edilir. (3.1) ve (3.2) bağıntıları kullanılarak, üç fazlı köprü bağlantılı doğrultucunun denetim eğrisi elde edilir.



Şekil 3.6. Denetim eğrisi



Şekil 3.7 Üç fazlı köprü bağlantılı doğrultucuda direnç yükünde dalga biçimleri

### 3.3. Direnç-Endüktans Yükü (RL)

Üç fazlı, köprü bağlantılı doğrultucunun, direnç-endüktans yükünde çalışmada ( $wL \gg R$  varsayımlıyla) dalga biçimleri şekil 3.9'da gösterilmiştir.

Yük endüktans niteliğinde olduğundan, yük akımının dalga biçimini gerilimden bağımsızdır. Yani gerilimin sıfır geçişlerinde akım sıfır değerine düşmeyeceğinden tristör çiftleri doğal olarak tikanmazlar. Ancak bir sonraki tetikleme anında iletme yeni giren tristör uygun tristörden yük akımını devralır. Endüktans nitelikli yükte çalışmada her tristör  $120^\circ$  süreyle iletimde kalır.(Rashid,1993)

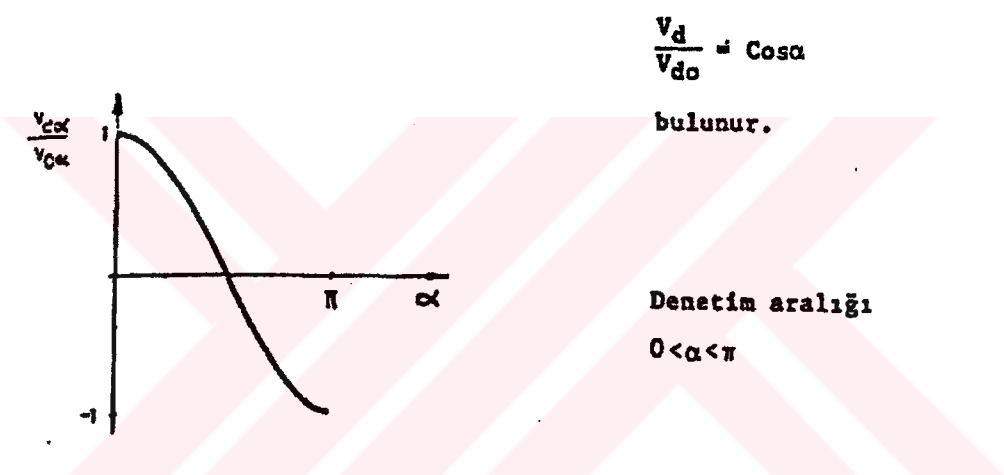
### 3.3.1. Doğru Gerilimin Ortalama Değeri

$$V_{d\alpha} = \frac{3}{\pi} \int_{\alpha}^{\alpha+\pi/3} \sqrt{6} V_2 \sin(wt + \pi/3) dt = \frac{3\sqrt{6}V_2}{\pi} \cos\alpha \quad (3.6)$$

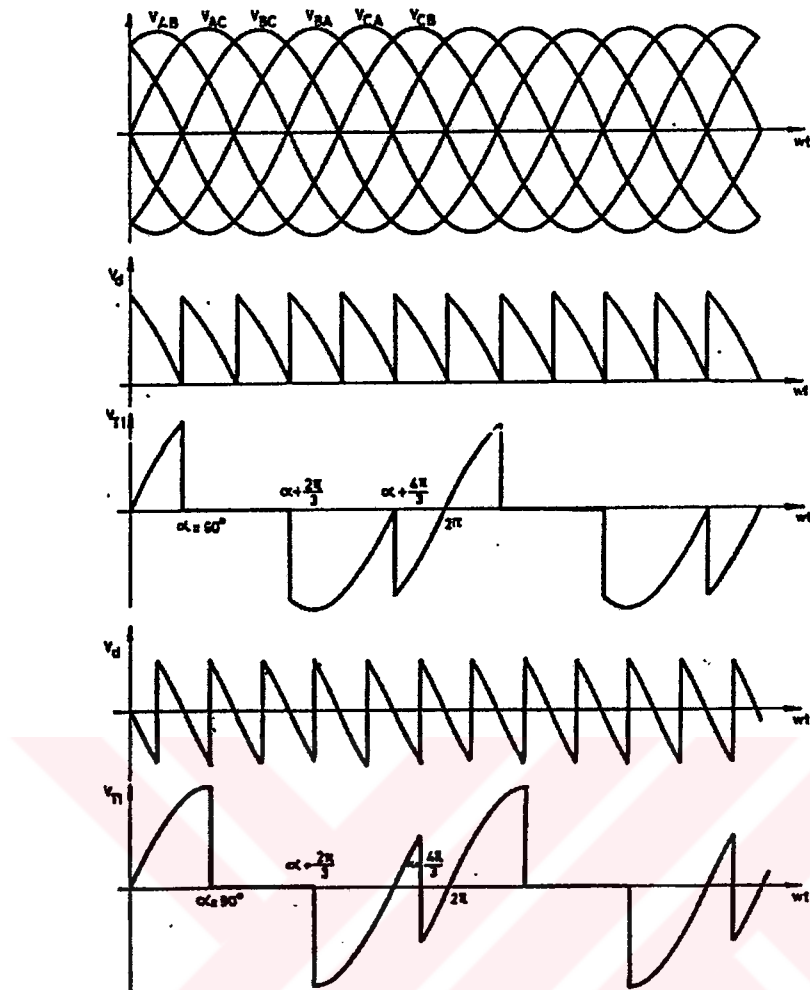
$\alpha = 0$  için

$$V_{do} = V_{d\alpha} |_{\alpha=0} = 3\sqrt{6}V_2 / \pi \quad (3.7)$$

elde edilir. (3.4) ve (3.5) bağıntıları kullanılarak denetim eğrisi şekil 3.8'deki gibi olur.



Şekil 3.8 Denetim Eğrisi



Şekil 3.9 Üç fazlı köprü bağlantılı doğrultucu devresinde, endüktans yükünde dalga biçimleri

### 3.4. Doğrultucularda Gerilim Düşümü

Doğrultucularda oluşan gerilim düşümlerini üç ana gurupta toplayabiliriz:

- Diyot ve tristörler üzerinde düşen eşik gerilimi  $V_f$ , akımından bağımsız olup yaklaşık olarak her eleman için 0.6V-1V olarak alınabilir
- Direnç gerilim düşümleri akıma bağlıdır. Elemanların iletim yönündeki dirençleri, bağlantılı dirençleri ve giriş transformatörlerinin sağı dirençlerinin tümünü oluşturduğu eşdeğer direnç  $R_k$  ise, direnç gerilim düşümü

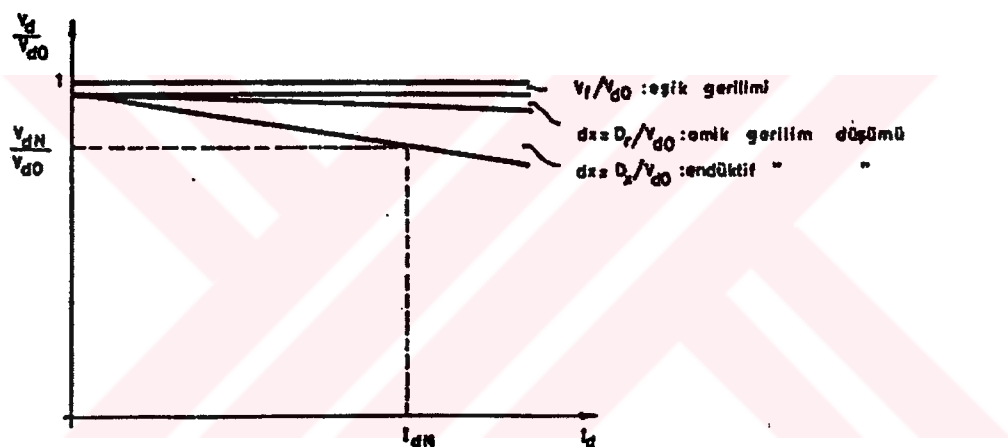
$$D_f = R_k \cdot I_d \quad (3.8)$$

olarak tanımlanabilir.

- Doğrultucularda gerilim düşümlerinin önemli bir bölümü aktarım sırasında endüktanslar üzerinde oluşan gerilim düşümüdür. Girişteki değişken gerilimin frekansı  $f$  ve giriş işaretinin bir dönemi boyunca devrede oluşan aktarım sayısı  $p$  ise, birim zamanda devrede  $p.f$  kez aktarım olacaktır. Bu durumda aktarım gerilim düşümü,

$$D_v = p.f.L_k.I_d \quad (3.9)$$

biciminde tanımlanır.



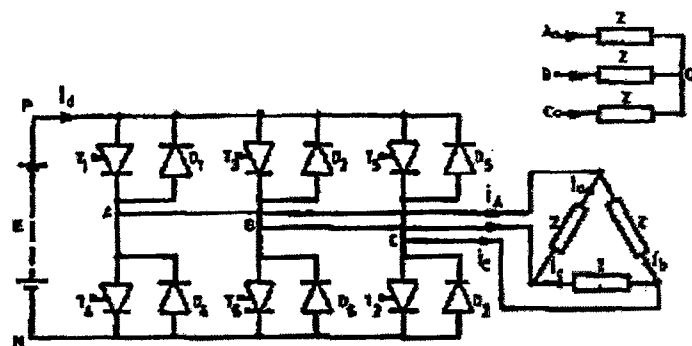
**Sekil 3.10. Gerilim düşümleri**

### **3.5. Üç Fazlı Eviriciler**

Şekil 3.11'de tristörlü üç fazlı gerilik beslemeli köprü evirici devresi verilmiştir. Bu bağlantıda aktarım devreleri gösterilmemiş olup aktarım devresi bir fazlı evirici devrelerinde açıklanan devrelerden oluşur. Üç fazlı evirici devreleri, bir fazlı tam dalga köprü eviriciye bir paralel kol daha eklenecek şekilde edilmiştir.

Bu devrede  $T_1, T_2, T_3, T_4, T_5, T_6$  tristörleri sırayla her biri 120 -180 derece iletimde olacak biçimde tetiklenmektedir. Dolayısıyla evirici çıkış dalga biçimleri bu iletim

sürelerine göre değişmektedir. İletimde olan tristör öyle ayarlanmalıdır ki üç fazın gerilimleri toplamı her an sıfır olmalıdır. Köprüün altı tristöründen herhangi birinin yanlış tetiklemesi veya iletim zamanını uzatarak kendinden sonra iletme geçecek tristörün iletim zamanında da iletimde kalması eviricinin güç devresini oluşturan köprüde istenmeyen kısa devrelere yol açacaktır.(Payidar,1990)



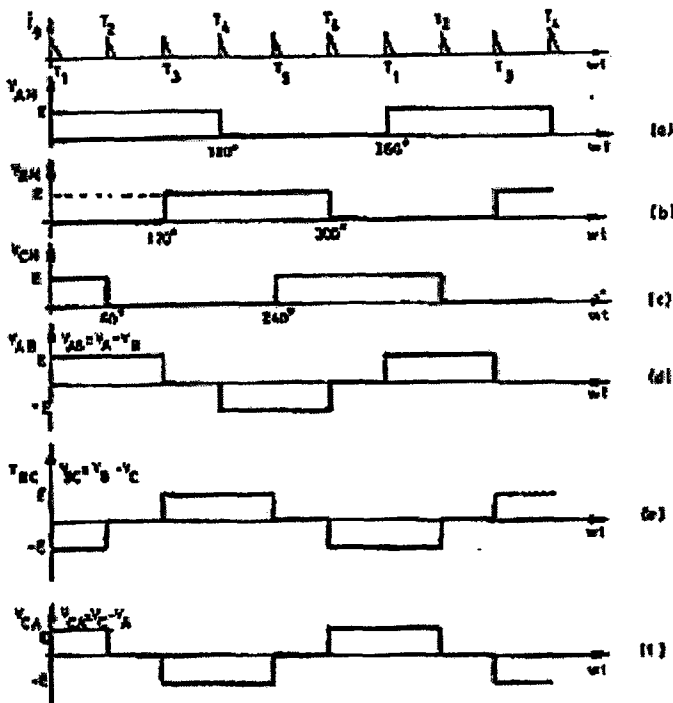
Şekil 3.11 Üç fazlı gerilim beslemeli evirici devresi

Üçgen bağlı direnç-endüktans yükü durumunda üç fazlı evirici devresi çalışması aşağıdaki şekillerde incelenebilir.

### 3.5.1 Gerilim Dalga Biçimleri

Aktörünün düşüncel olarak gerçekleştiği varsayımla  $V_{AN}, V_{BN}, V_{CN}$  gerilimleri şekil 3.12'de görüldüğü gibi olur geri beslenme diyonları yükte biriken enerjiyi kaynağa geri vermek için kullanılmıştır. Eviricinin çıkış frekansı, tristörlerin tetikleme frekansı ile belirlenir.

Fazlar arası gerilimler, faz gerilimlerinin birbirinden çıkarılması ile elde edilebilirler.



Şekil 3.12 Üç fazlı eviricinin üçgen bağlı yükte çıkış gerilimi dalga biçimleri

### 3.5.2 Akım Dalga Biçimleri

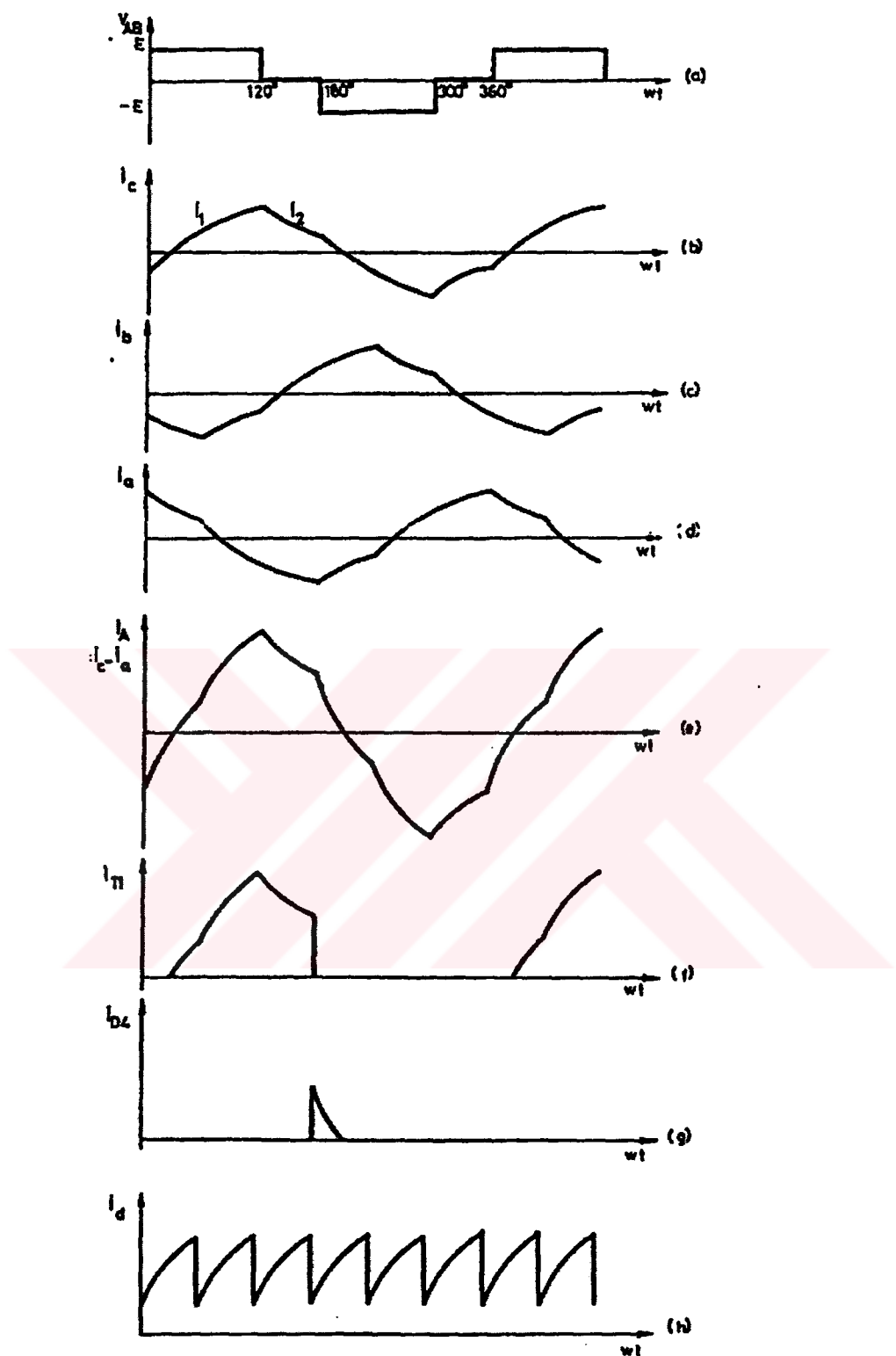
Dengeli üçgen bağlı, direnç-endüktans yük ve düşüncel olarak aktarımın gerçekleştiği varsayımla evirici devresinin akımları incelenebilir. Faz akımları, fazlara uygulanan gerilim basamağı değişikçe oluşan bir dizi üstel akımdan oluşmaktadır. Şekil 3.13'te üçgen bağlı bir direnç-endüktans yükünün faz ve hat akımlarının dalga biçimleri gösterilmiştir.

### 3.5.3 Devrenin Çalışması

$T_4$ ,  $T_5$ ,  $T_6$  tristörlerinin ilerimde olduğu varsayılsa  $T_1$  tristörünün tetiklenip  $T_4$ 'ün susturulduğu an zaman başlangıcı olarak seçilebilir. O zaman, yükün C fazına uygulanan gerilim ilk  $120^0$  için  $+E$  olur (Şekil 3.13(a)). Bu, üstel olarak artan  $i_1$  akımını üretir (Şekil 3.13(b)). Yük zaman sabiti göz önüne alındığında  $T_3$  tetiklenip  $T_6$  susturulduğunda faz akımının akmakta olduğu görülür. Bu, C fazının her iki

ucunu da kaynağın (+) ucuna bağlar ve faz gerilimini sıfıra indirir. Bununla birlikte endüktif akım  $T_1$  ve  $D_3$  elemanları üzerinden dolaşımını sürdürür. Bunun sonucu olarak, faz akımı ( $i_2$ ) üstel olarak sıfıra doğru azalır (Şekil 3.13(b)). 180 derecede  $T_4$  tetiklenip yarı dönem sona erince C fazının uçlarına E gerilimi ters yönde uygulanır. Diğer fazların dalga biçimlerinde bu fazın dalga biçimlerinin 120 derece ve 240 derece kaydırılması ile çizilebilir. Hat akımı  $\dot{I}_A$ ,  $\dot{I}_A = \dot{I}_C - \dot{I}_A$  dan bulunur (Şekil 3.13 (e)).

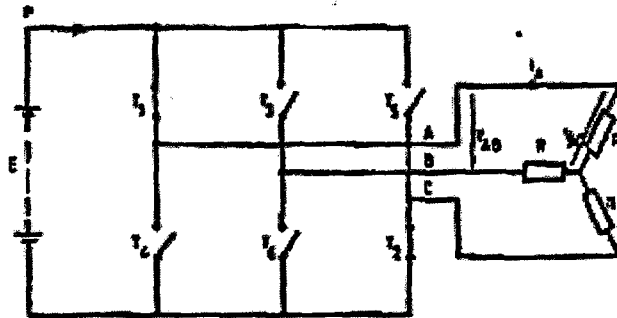
Üç fazlı eviricide anahtarlama elemanlarının her birinin 120 derece iletimde olması veya 180 derece iletimde olması durumlarında, evirici çıkış dalga biçimleri değişmektedir. Bu iki çalışma durumunu ayrı ayrı inceleyelim.



Şekil 3.13 Üç fazlı evericinin üçgen bağlı direnç-endüktans yüküne bağlanması durumunda akım dalga biçimleri

### **3.5.3.1. 120 Derece iletim durumu**

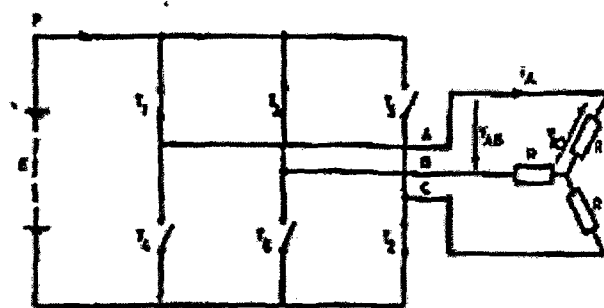
Bu durumda her bir anahtarlama elemanı bir dönemde 120 derece iletimde kalmaktadır. Bu dönemde süresince bir başka tümleşik anahtarlama elemanlarıyla 60 derece iletimde kalmaktadır. Şekil 3.14'te bu ilkeye göre çalışan üç fazlı evirici ilkesel devresi ve çıkış dalga biçimleri verilmiştir.



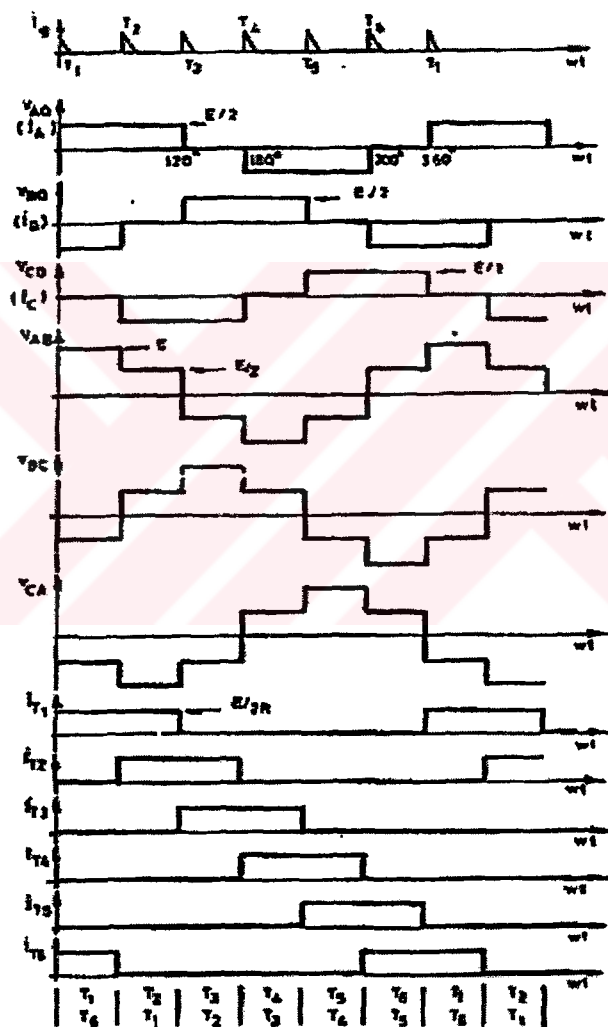
Şekil 3.14 Üç fazlı evirici ilkesel devresi

### **3.5.3.2. 180 Derece iletim durumu**

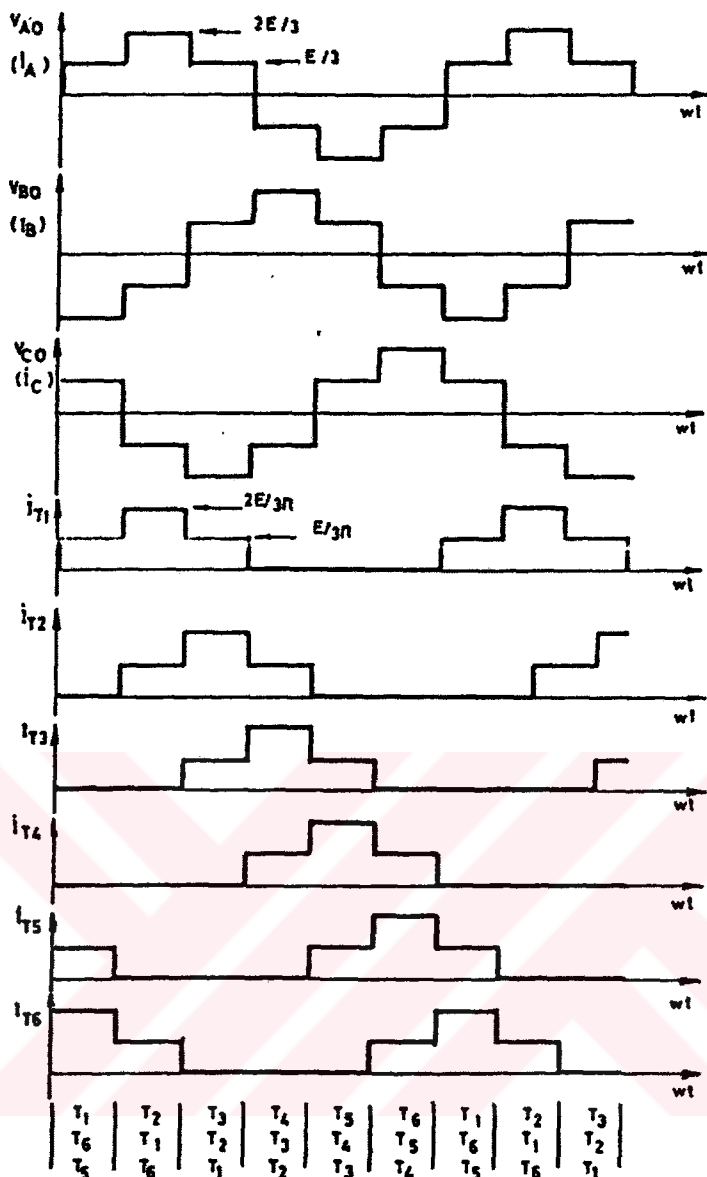
Her bir anahtarlama elemanı bir dönemde 180 derece iletimde kalmaktadır. Bu dönemde süresince diğer tümleşik anahtarlama elemanlarıyla 120 derece iletimde kalmaktadır. Şekil 3.15'te bu ilkeye göre çalışan üç fazlı ilkesel devresi ve çıkış dalga biçimleri, şekil 3.16'da faz akım ve gerilim dalga biçimlerinin belirlenmesi için yapılan analiz verilmiştir.



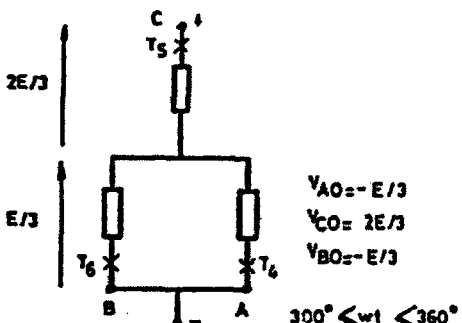
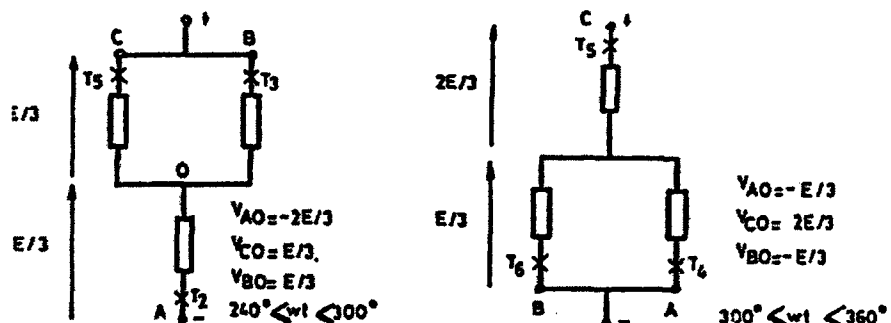
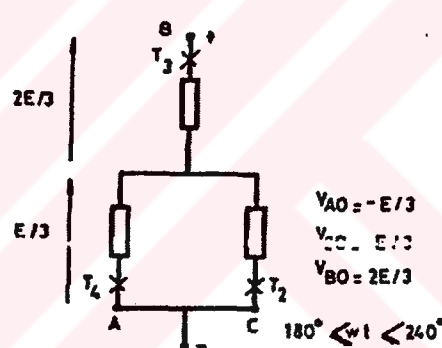
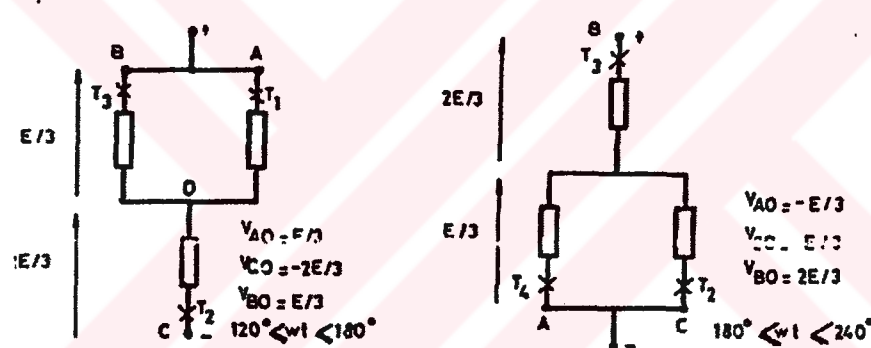
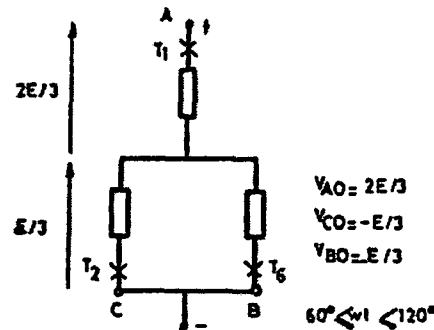
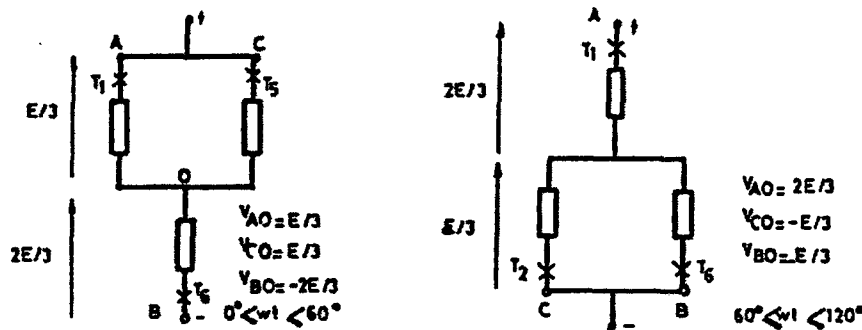
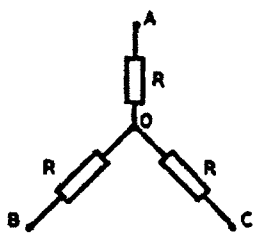
Şekil 3.15. Üç fazlı evirici ilkesel devresi



Şekil 3.16. 120 derece iletim durumunda açılış dalga biçimleri



Şekil 3.17. 180 derece iletim durumunda çıkış dalga biçimleri



Şekil 3.18. Yıldız bağlı dengeli direnç yükünde 180 derece iletimde şekil 3.17 için gerilim ve akım dalga biçimlerinin belirlenmesi

### 3.6. AA / DA Dönüştürücünün Benzetişimi

Şekil 3.19'da gösterilen RLC yüklü 6 vuruşlu bir AA/DA dönüştürücünün Tablo Yönteminden (TÜBİTAK EEAG-52, 1996) faydalananarak benzetişimi yapılmıştır. Bu devrede kullanılan eleman değerleri :

**AA Kaynaklar :**

$$e_{R1} = E_1 \sin \omega t, \quad e_{S1} = E_1 \sin(\omega t + 120^\circ), \quad e_{T1} = E_1 \sin(\omega t + 240^\circ), \quad E_1 = 42,8 \text{ kV}$$

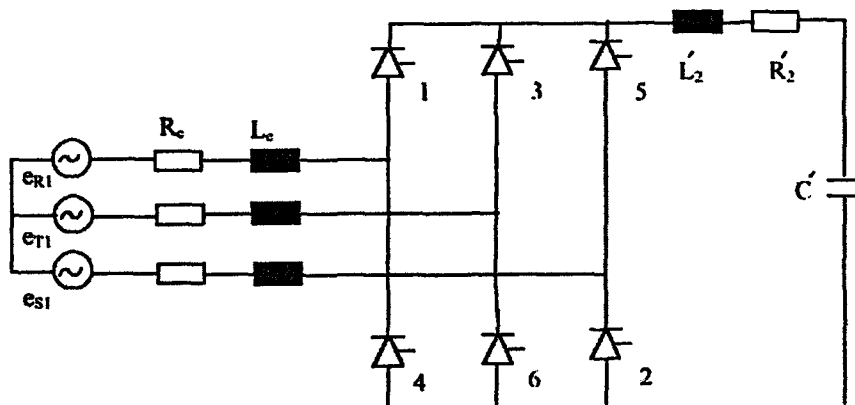
$$R_c = 0,5 \text{ ohm}, \quad L_c = 20 \text{ mH}$$

Tristör eşdeğer parametresi :  $L_d = 1 \text{ mH}$

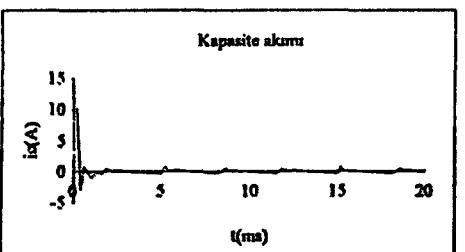
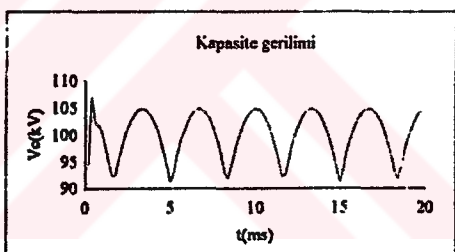
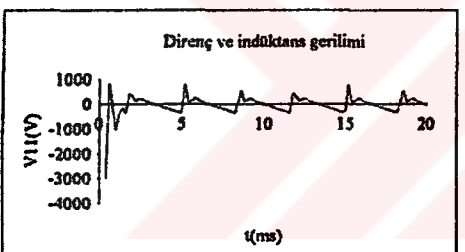
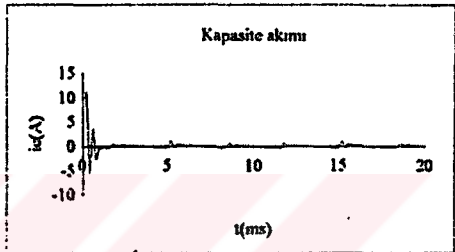
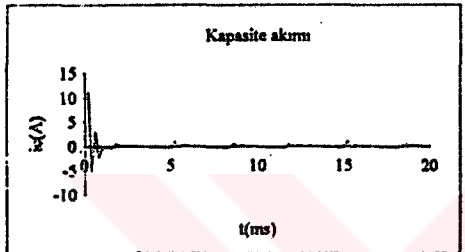
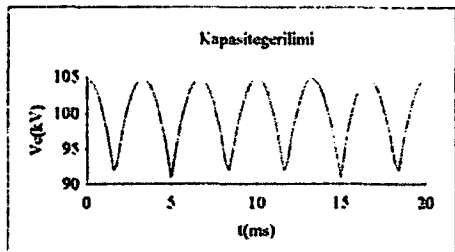
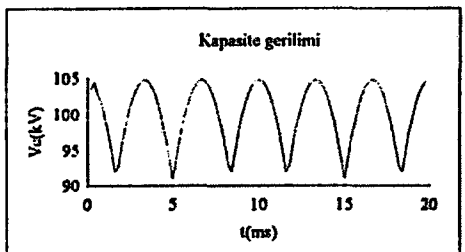
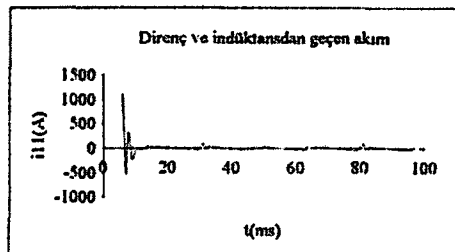
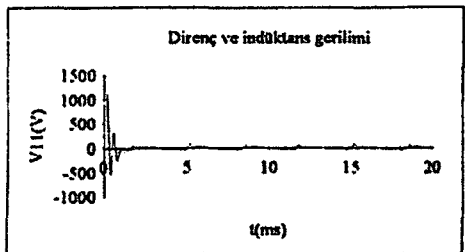
**Yük :**

$$R_2 = 2,16 \text{ ohm}, \quad L_2 = 13 \text{ mH}, \quad C = 21,6 \mu\text{F}$$

Bazı devre parametreleri ve  $\alpha$  ateşleme açısı değiştirilerek çıkışlar hesaplanmıştır. Sonuçlar şekil 3.20'de verilmiştir.

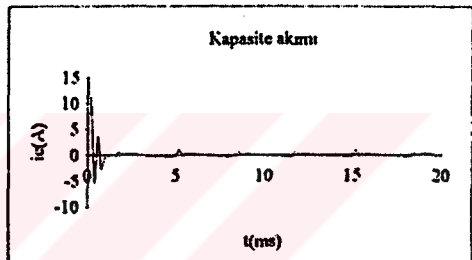
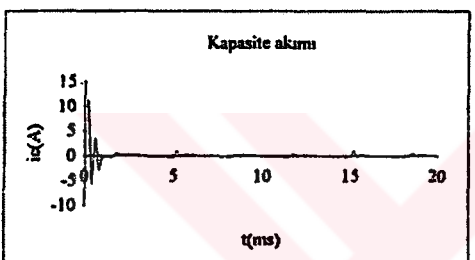
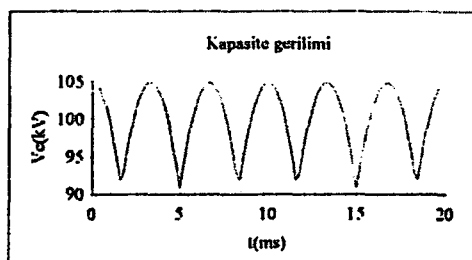
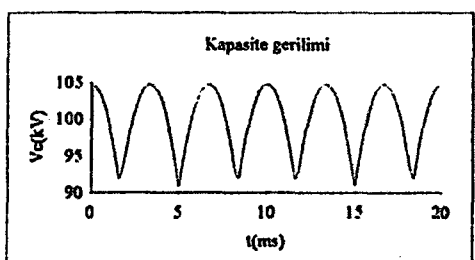
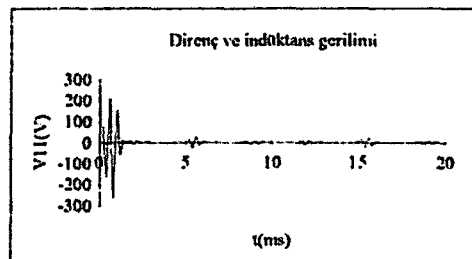
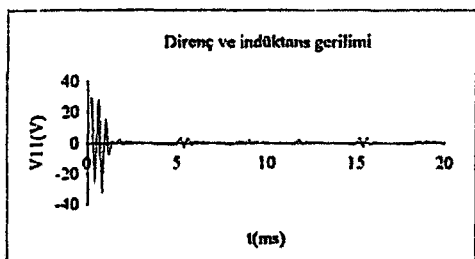


Şekil 3.19 RLC yüklü 6 vuruşlu AA/DA dönüştürücü modeli



$R_2 = 10, 100, 1000 \text{ Ohm}$   
 $L_2 = 13\text{mH}, C=21,6 \text{ mikroF}, \alpha = 0$

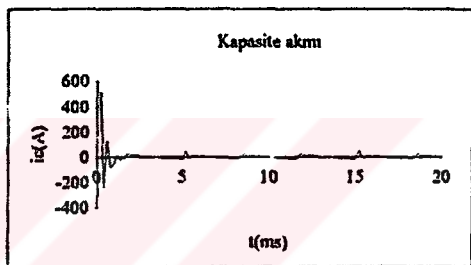
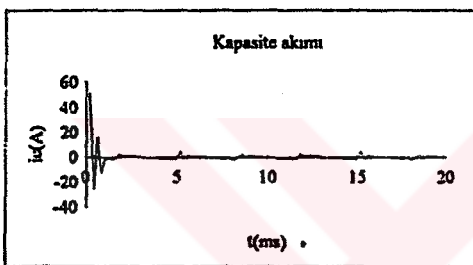
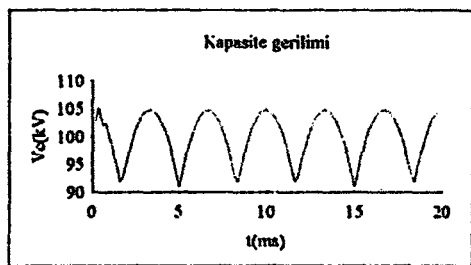
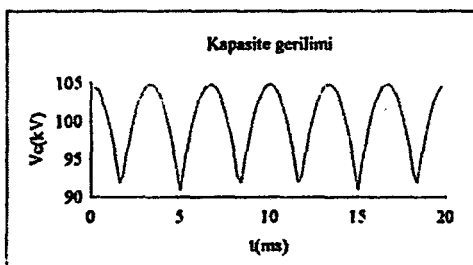
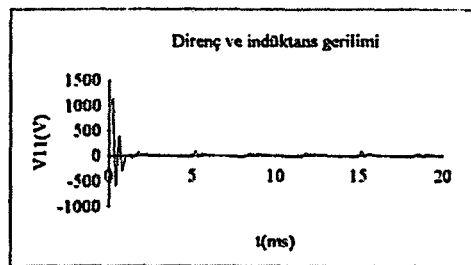
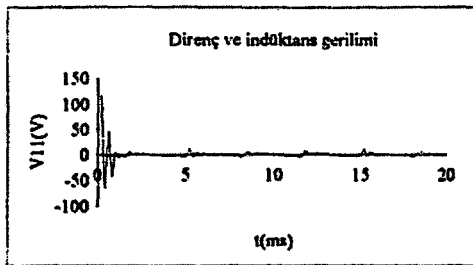
Şekil 3.20.a) RLC yüklü 6 vuruşlu AA/DA dönüştürücü modelinin benzetişim sonuçları



$L_2 = 100 \text{ mH}$

$L_2 = 1 \text{ H}$

Şekil 3.20.b) RLC yüklü 6 vuruşlu AA/DA dönüştürücü modelinin benzetim sonuçları



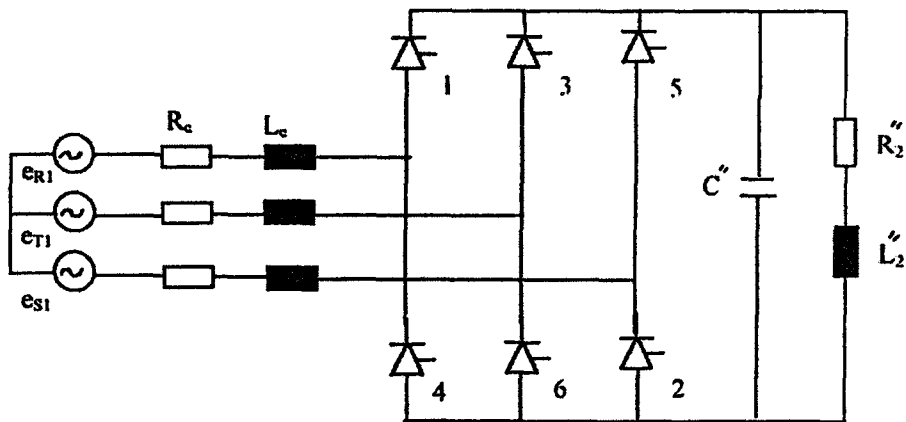
$$C=100 \text{ mikroF}$$

$$C=1000 \text{ mikro F}$$

$$C_2 = 0,1, 1\text{mF}, R=2,6 \text{ Ohm}, L_2 = 13 \text{ mH}, \alpha = 0$$

Şekil 3.20.c) RLC yüklü 6 vuruşlu AA/DA dönüştürücü modelinin benzetişim sonuçları

RL yüklü bir AA/DA dönüştürücüde şekil 3.21'de gösterilmiştir. Bu dönüştürücünün tablo denklemi ile çözümü yapılmış, sonuçlar şekil 3.22'de verilmiştir. Devrede değiştirilen parametreler şekillerde belirtilmiştir.  $L_2$  endüktansının değeri arttıkça yük akımındaki dalgalılığın azaldığı görülür.



Şekil 3.21. RL yüklü 6 vuruşlu AA/DA dönüştürücünün modeli

Bu devrede kullanılan eleman değerleri de şekil 3.19 ile aynıdır.

**AA Kaynaklar :**

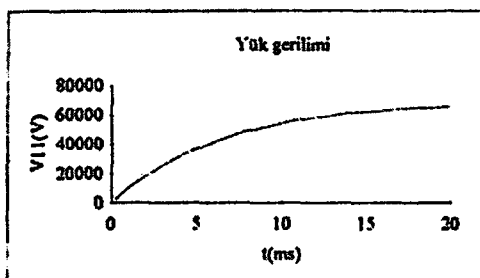
$$e_{R1} = E_1 \sin \omega t, \quad e_{S1} = E_1 \sin(\omega t + 120^\circ), \quad e_{T1} = E_1 \sin(\omega t + 240^\circ), \quad E_1 = 42,8 \text{ KV}$$

$$R_c = 0,5 \text{ ohm}, \quad L_c = 20 \text{ mH}$$

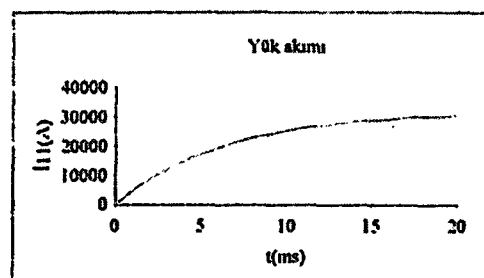
Tristör eşdeğer parametresi :  $L_d = 1 \text{ mH}$

**Yük :**

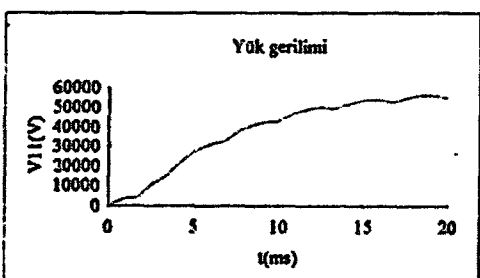
$$R_2 = 2,16 \text{ ohm}, \quad L_2 = 13 \text{ mH}, \quad C = 21,6 \mu\text{F}$$



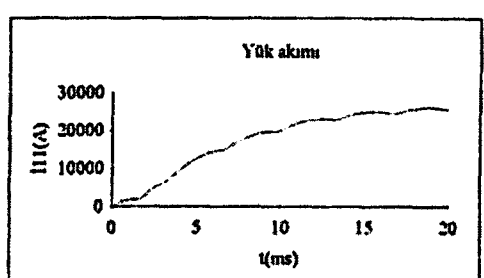
$L_2=10\text{ H}$ ,  $\alpha=0$



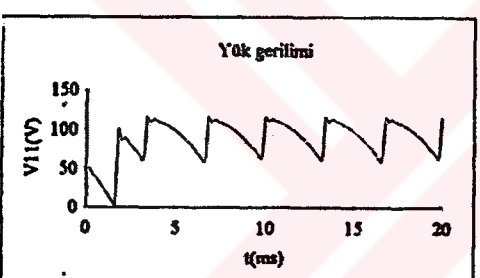
$L_2=10\text{ H}$ ,  $\alpha=0$



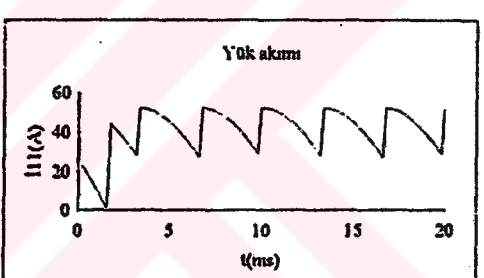
$L_2=10\text{ H}$ ,  $\alpha=30$



$L_2=10\text{ H}$ ,  $\alpha=30$

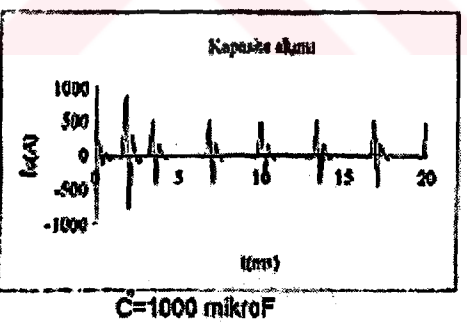
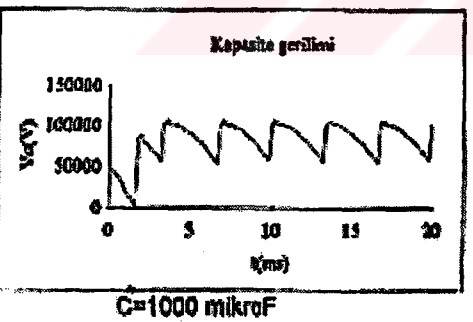
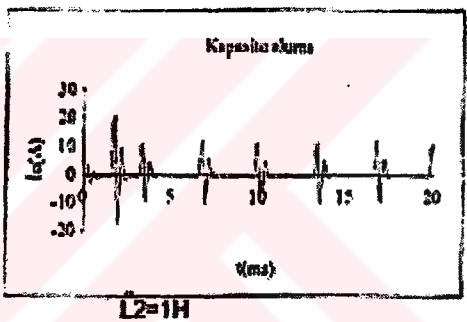
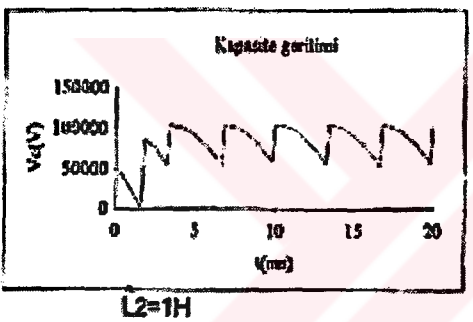
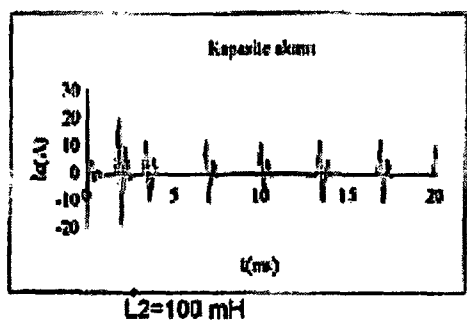
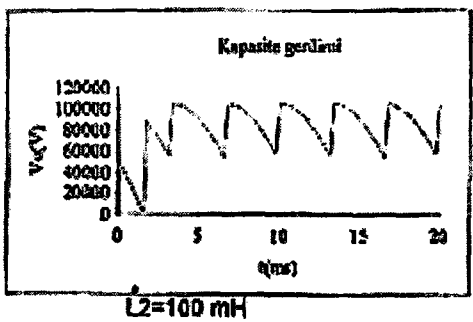
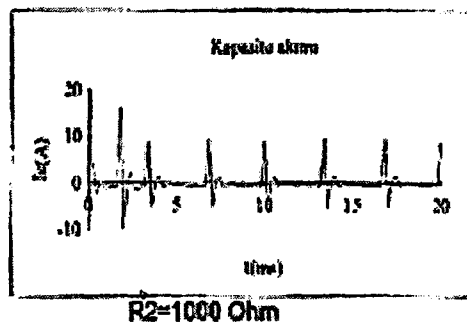
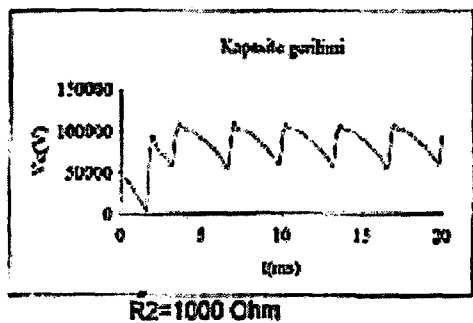


$R_2=1\text{ K}$ ,  $\alpha=30$

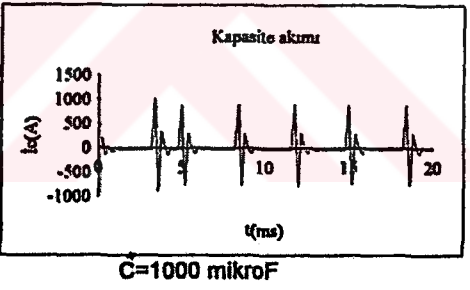
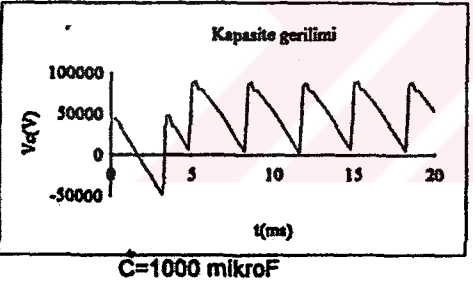
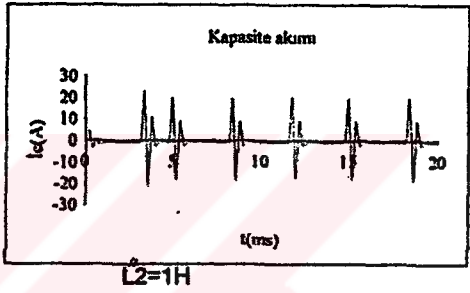
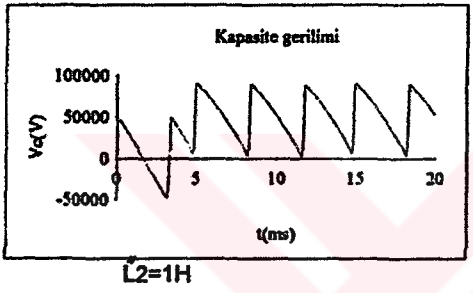
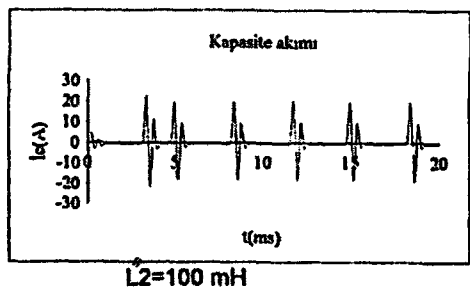
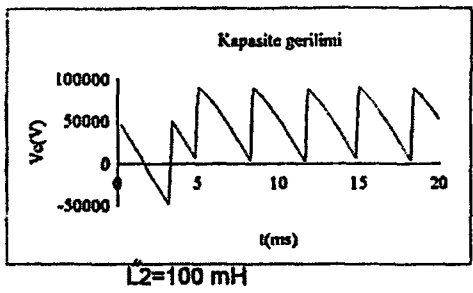
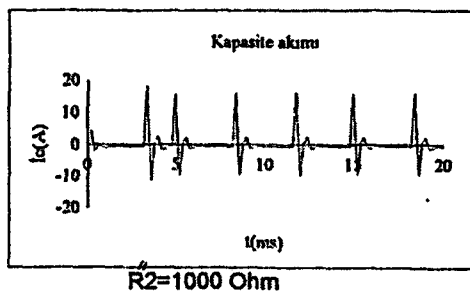
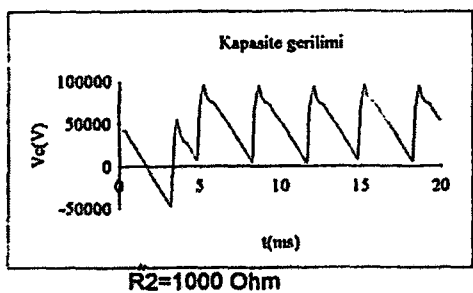


$R_2=1\text{ K}$ ,  $\alpha=30$

Şekil 3.22.a) RL yüklü AA/DA dönüştürücünün çıkış eğrileri



Şekil 3.22.b) RL yüklü AA/DA dönüştürücünün  $\alpha=30$  derece için çıkış eğrileri

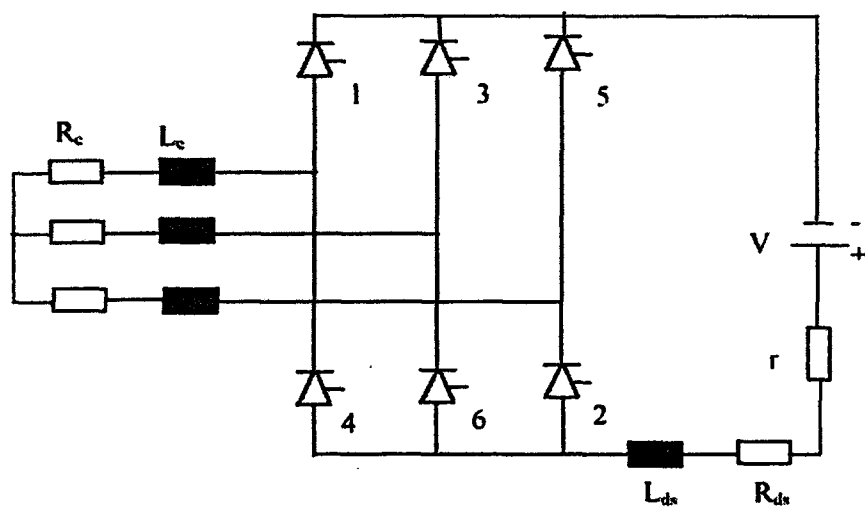


Şekil 3.22.c) RL yüklü 6 vuruşlu AA/DA dönüştürücünün  $\alpha=60$  derece için çıkış eğrileri

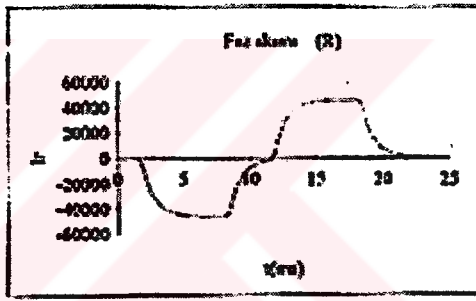
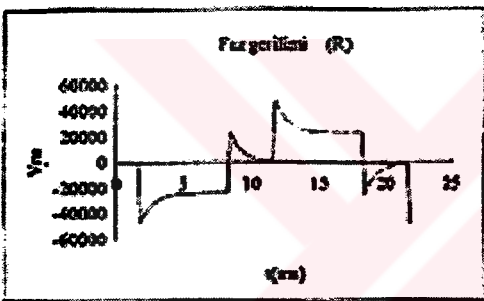
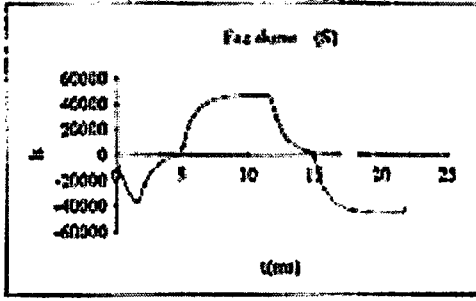
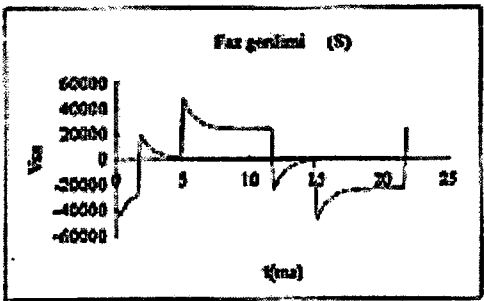
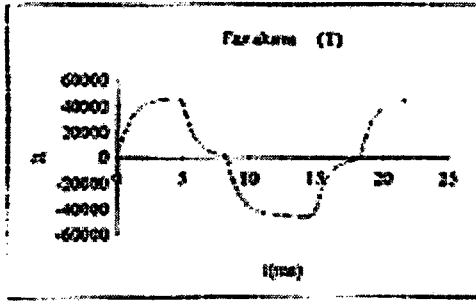
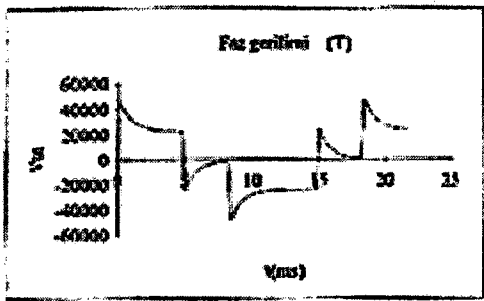
### 3.7 DA/AA Eviricinin Benzetişimi

Şekil 3.23'te görülen eviricinin tablo yönteminden faydalananarak benzetişimi yapılmıştır.

$R_{ds} = 2.16$  ohm,  $L_{ds} = 13$  mH,  $L_d = 1$  mH ve  $V = 100$  kV parametreleri sabit alınıp,  $R_c$  ve  $L_c$  değerlerini değiştirerek elde edilen çıkış gerilim ve akım sonuçları şekil 3.24'te verilmiştir.

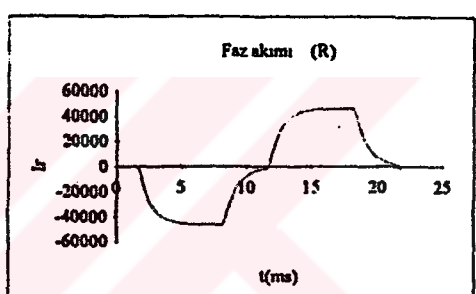
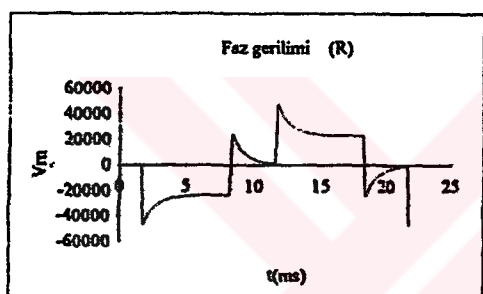
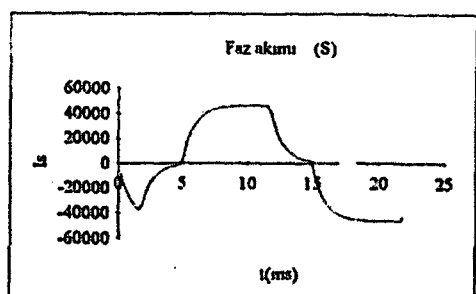
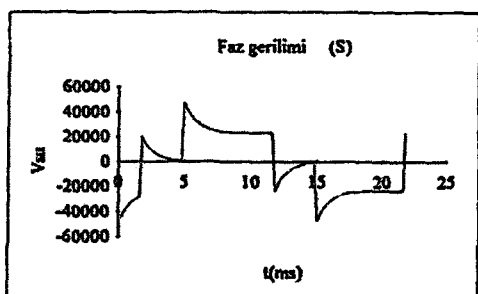
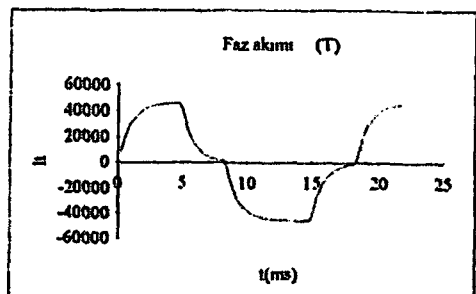
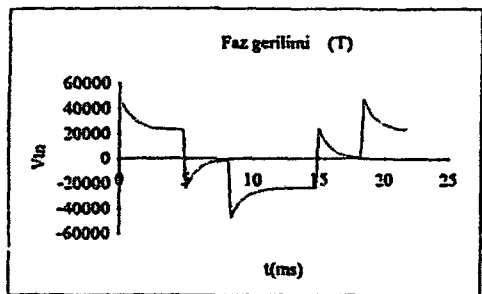


Şekil 3.23 6 vuruşlu DA/AA eviricinin modeli



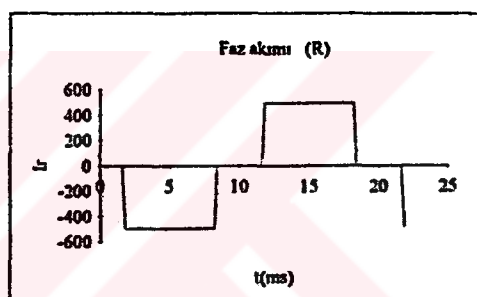
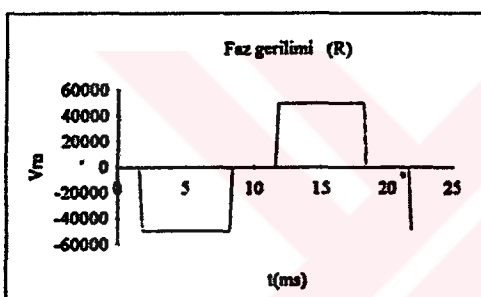
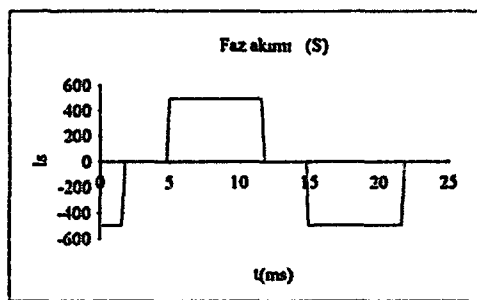
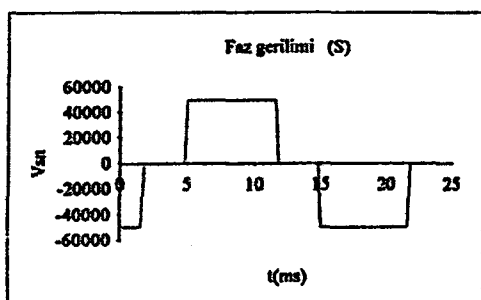
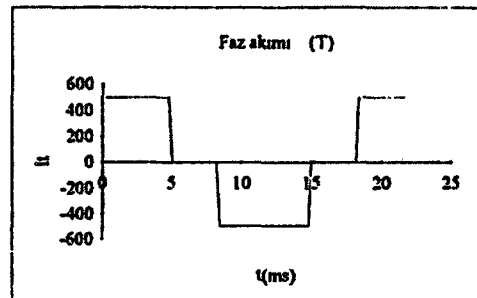
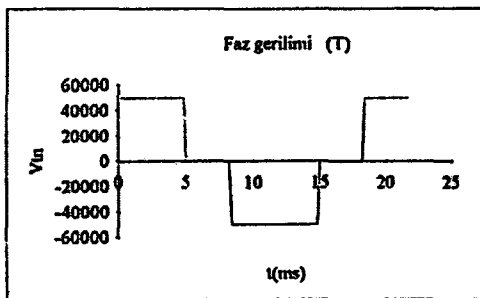
$$Lc = 1H \quad \text{ve} \quad Rc = 0.5 \text{ Ohm}, \alpha/\alpha = 0$$

Şekil 3.24.a) 6 vuruşlu DA/AA evirici modelinin benzetişim sonuçları  $Lc=20 \text{ mH}$ ,  $Rc=0.5 \text{ ohm}$ ,  $\alpha/\alpha = 0$



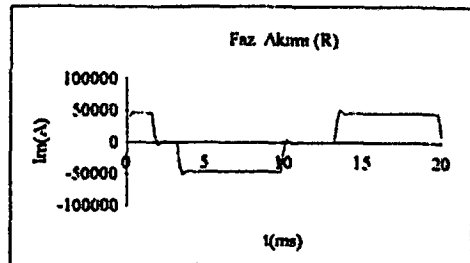
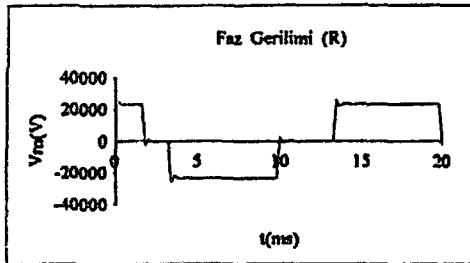
$$Lc = 1 \text{ H} \quad \text{ve} \quad Rc = 0.5 \text{ Ohm}, \alpha = 0$$

Şekil 3.24.b) 6 vuruşlu DA/AA evirici modelinin benzetişim sonuçları  $Lc=1 \text{ H}$ ,  $Rc=0.5 \text{ ohm}$ ,  $\alpha=0$

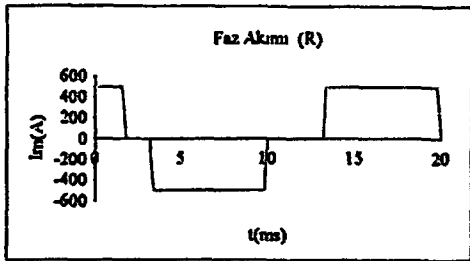
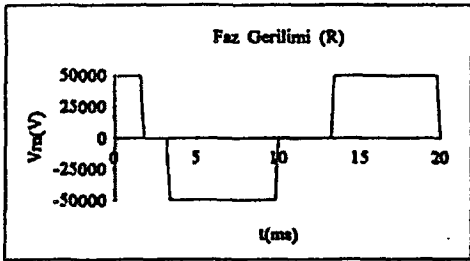


$$Lc = 20\text{mH} \quad \text{ve} \quad Rc = 100 \text{ Ohm}, \alpha=0$$

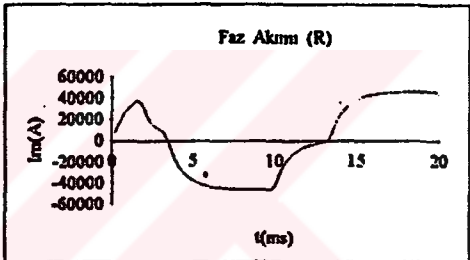
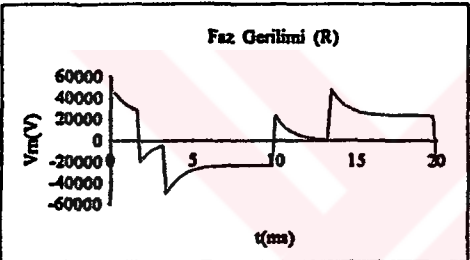
Şekil 3.24.c) 6 vuruşlu DA/AA evirici modelinin benzetişim sonuçları  $Lc=20 \text{ mH}$ ,  $Rc=100 \text{ ohm}$ ,  $\alpha=0$



$Lc=20\text{mH}$  ve  $Rc=0.5 \text{ Ohm}$



$Lc=20 \text{ mH}$  ve  $Rc=100 \text{ Ohm}$

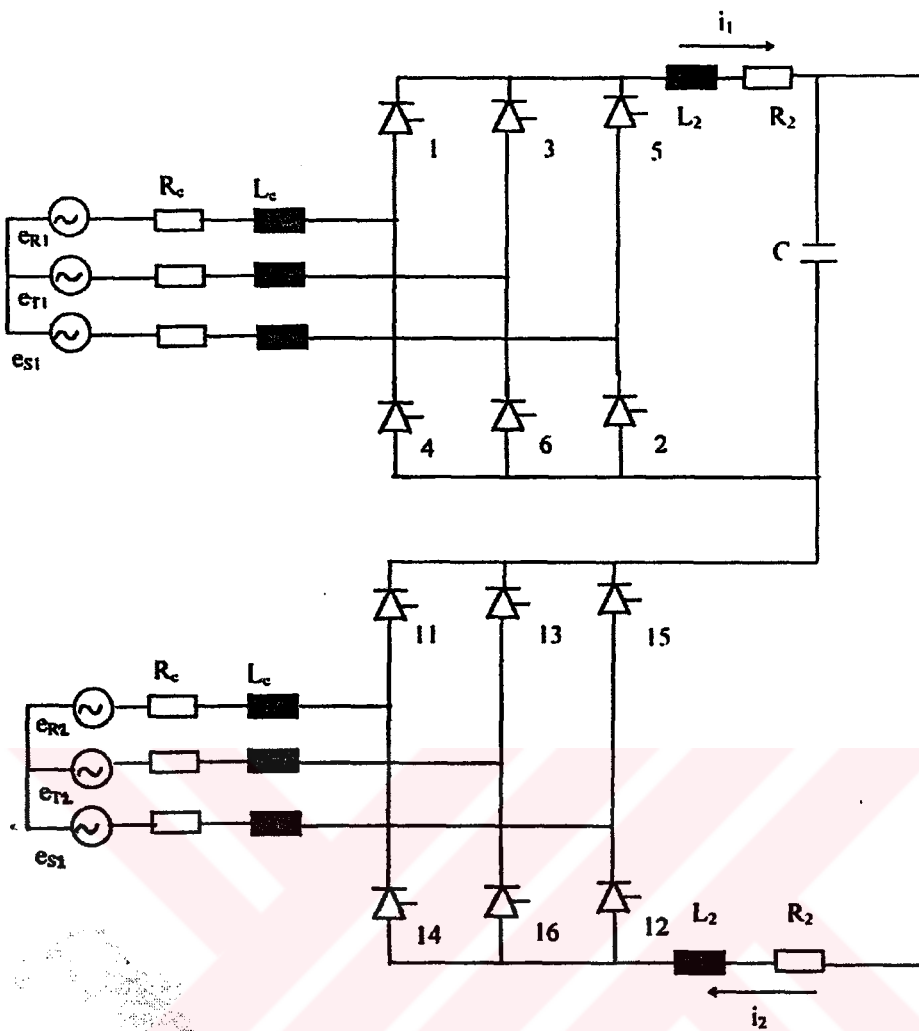


$Lc=1 \text{ H}$  ve  $Rc=0.5 \text{ Ohm}$

Şekil 3.24.d) 6 vuruşlu DA/AA evirici modelinin benzetişim sonuçları  $Lc=1 \text{ H}$ ,  $Rc=0.5 \text{ ohm}$ ,  $\alpha=30$

### 3.8. HVDC Enerji İletim Sisteminin Benzetişimi

Şekil 3.25'te verilen HVDC sisteminin benzetişimi Tablo Yöntemi yardımıyla yapılmıştır. Benzetişim sonuçları ise şekil 3.26'da verilmiştir.



Şekil 3.25. HVDC enerji iletim sisteminin modeli

Şekil 3.25' teki eşdeğer devre parametrelerinin sayısal değerleri aşağıda verilmiştir.

Transformatör parametreleri :

Direnç :  $R_c = 0.5 \text{ ohm}$

Endüktans :  $L_c = 20 \text{ mH}$

Anahtarlama elemanı (anahtarlama elemanı olarak tristör alınmıştır) :

Endüktans :  $L_d = 1 \text{ mH}$

Hat parametreleri :

Eşdeğer seri direnç :

$$R_2=2.16 \text{ ohm}$$

Eşdeğer seri endüktans :

$$L_2=13 \text{ mH}$$

Eşdeğer paralel kapasite :

$$C=21.6 \mu\text{F}$$

AA Kaynaklar :

AA/DA dönüştürücü için :

$$e_{R1}=E_1 \sin wt$$

$$e_{B1}=E_1 \sin(wt+120^\circ)$$

$$e_{T1}=E_1 \sin(wt+240^\circ)$$

$$E_1=42.78 \text{ kV}$$

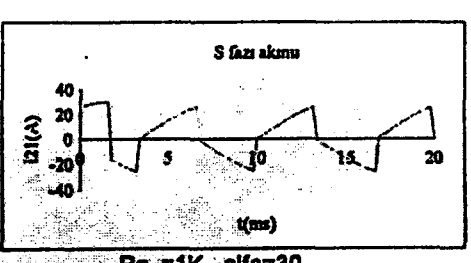
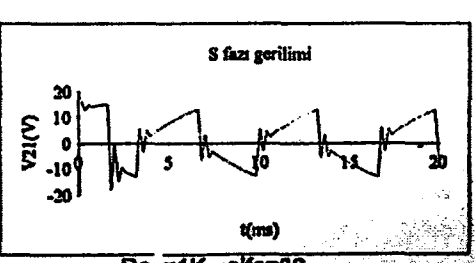
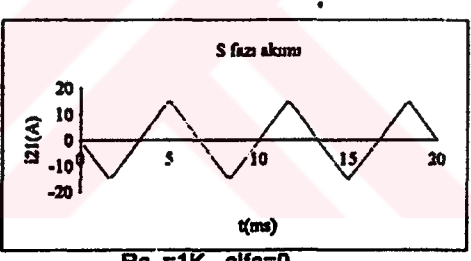
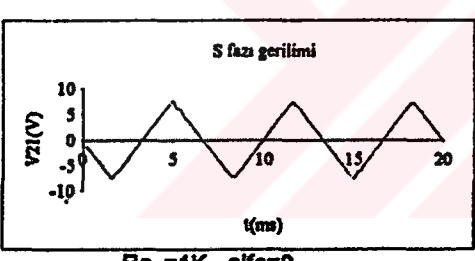
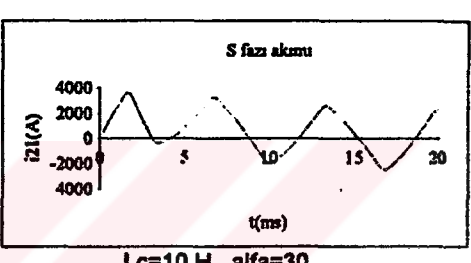
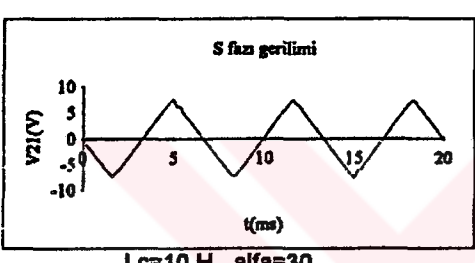
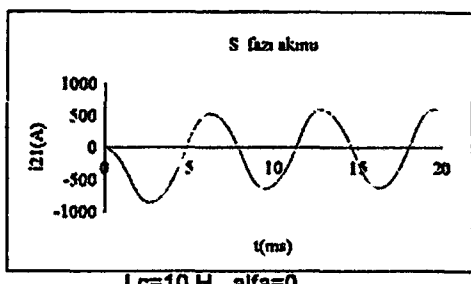
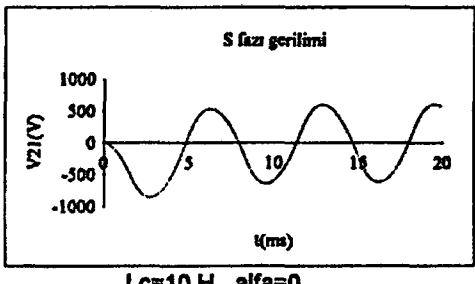
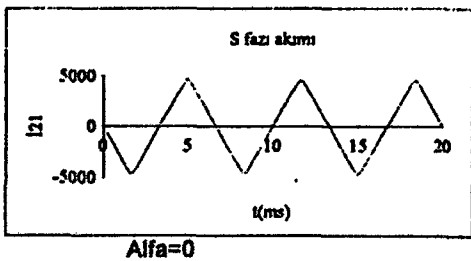
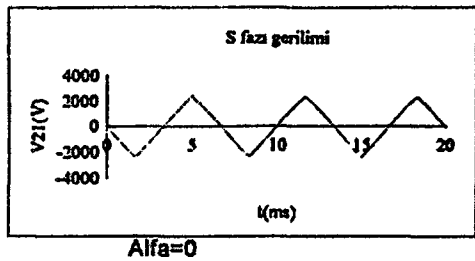
DA/AA dönüştürücü için :

$$e_{R2}=E_2 \sin wt$$

$$e_{S2}=E_2 \sin(wt+120^\circ)$$

$$e_{S2}=E_2 \sin(wt+120^\circ)$$

$$E_2=35.34 \text{ kV}$$



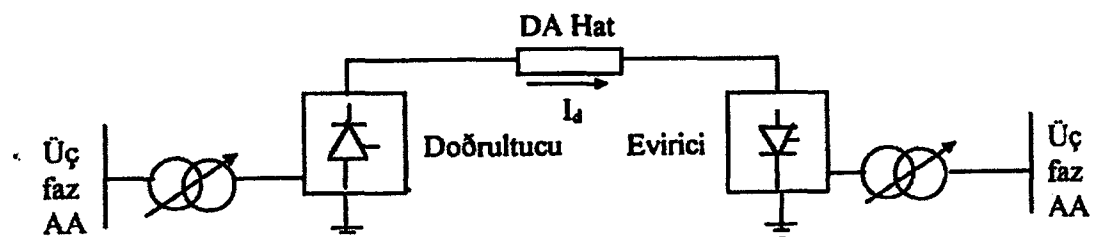
Şekil 3.26 HVDC enerji iletim sistemi modelinin benzetişim sonuçları

## BÖLÜM 4. HVDC SİSTEMİNİN KONTROLÜ

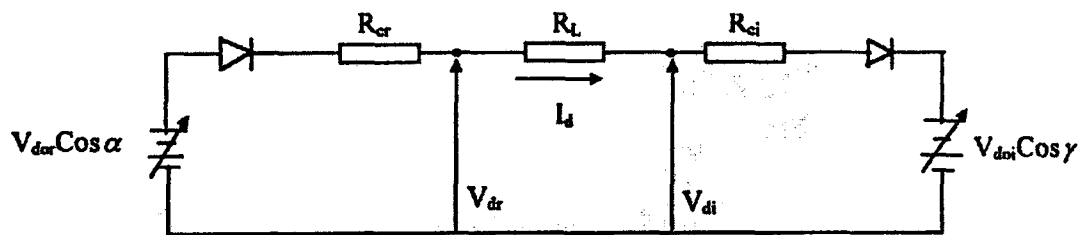
Bir HVDC enerji taşıma sisteminin kontrol edilebilirliği, sistemin güvenli çalışması için oldukça önemlidir. Sistemin efektif kullanımı güç sisteminin istenen başarımı sağlamak açısından, kontrolün uygun kullanımına bağlıdır. Kullanılan elemanların güvenliğini sağlamak, kontrolün değişim aralığını artırmak, verimli ve kararlı bir işletim ortamı hazırlamak amacıyla çeşitli seviyelerde kontrol sistemleri kullanılmaktadır. Bizim kontrol işlemimiz; devreden gelen verilerin bilgisayara yerleştirilen bir ADC ve DAC kartına gönderilmesi ve bu kartın C++ yazılımı ile desteklenmesiyle oluşturulmuştur. Bu yazılım EK-A' da gösterilen akış şemalarına göre EK-B' de verilmiştir. Bu işlemde kullanılan AD 1200 kontrol kartının özellikleri de EK-C' de belirtilmiştir.

### 4.1. Kontrolün Temel Prensipleri

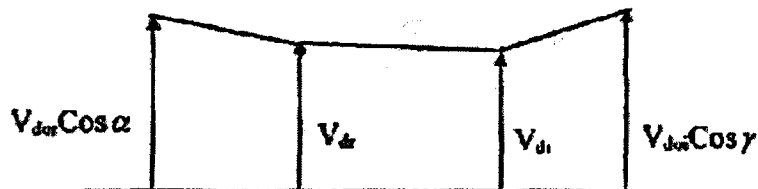
Şekil 4.1 tek kutuplu veya iki kutuplu hattın bir kutbunu temsil etmektedir. Bunlara karşılık gelen eşdeğer devre ve gerilim şekilleri şekil 4.2 ve 4.3'de verilmiştir.



Şekil 4.1. Şematik gösterim



Şekil 4.2 Eşdeğer devre



Şekil 4.3 İletim hattındaki gerilim değişimi

Bu devrede doğrultucudan eviriciye akan doğru akım aşağıdaki gibidir.

$$I_d = \frac{V_{dor} \cdot \text{Cos}\alpha - V_{doi} \cdot \text{Cos}\gamma}{R_{cr} + R_L - R_{ci}} \quad (4.1)$$

Doğrultucu uçlarındaki güç ise

$$P_{dr} = V_{dr} I_d \quad (4.2)$$

Evirici uçlarındaki güç

$$P_{di} = V_{di} I_d = P_{dr} - R_L I_d^2 \quad (4.3)$$

şeklindedir.

Hat üzerindeki herhangi bir noktadaki doğru akım, gerilim veya güç,  $V_{dor} \text{ Cos}\alpha$  ve  $V_{doi} \text{ Cos}\gamma$  dahili gerilimleri ile kontrol edilebilir. Bu olay anahtar elemanı tetikleme

açılarının kontrolü ile veya dönüştürücü trafosu AA gerilimi değiştirilerek gerçekleştirlenebilir.

Anahtarlama elemanın kontrolü oldukça hızlıdır (1-10 ms ), uç değiştirmek ise yavaştır (basamak başına 5-6 saniye). Ayrıca istenen değerlere ulaşmak ve daha hassas kontrol yapmak açısından anahtarlama elemanı kullanmak daha uygundur.

#### 4.2. Kontrol Seçim Kriterleri

Bunları kısaca aşağıdaki şekilde sıralayabiliriz:

1. AA sistemdeki gerilim değişimleri nedeniyle doğru akımdaki büyük değişimlerin önlenmesi,
2. İstenen değerde doğru gerilim üretilmesi,
3. Alıcı ve verici taraflardaki güç faktörünün mümkün olduğunca büyük olması,
4. Eviricideki tristör komütasyon hatalarının önlenmesi.

HVDC hattının güvenli ve tatmin edici işletimi için doğru akımdaki büyük dalgalanmaları önlemek amacıyla dönüştürücülerin hızlı kontrolü oldukça önemli bir gereksinimdir. (4.1) eşitliği, hat ve dönüştürücü direncinin oldukça küçük olması sebebiyle  $V_{dor}$  veya  $V_{doi}$ 'deki küçük bir değişimin,  $I_d$ 'de büyük bir değişime neden olacağını gösterir. Eğer  $\alpha$  ve  $\gamma$  sabit tutulursa, her iki uçtaki alternatif gerilim, genlik değerlerinin küçük bir değişimine karşılık daha da fazla değişecektir. Bu değişimler de yeterli bir güç başarısını sağlamak için genellikle kabul edilemez. Ayrıca bu işlem akımın veya gerilimin tristörlere zarar verebilecek kadar artmasına sebep olabilir. Bu nedenle sistemin uygun işletimi için ve akım dalgalanmalarını önlemek üzere hızlı bir dönüştürücü kontrolü zorunludur. Böyle bir kontrol olmazsa HVDC sisteminin pratikliği kalmaz.(Varnavitsky, 1983)

Güç faktörünün yüksek tutulmaya çalışılmasının da sebepleri vardır:

1. Dönüştürücünün gücünü, trafo ve tristörlere girilen akım ve gerilim değerlerinden mümkün olduğunca yüksek tutmak,
2. Tristörlerdeki aşırı baskıları azaltmak,
3. Dönüştürücünün bağlı olduğu AA sistemindeki elemanların akım değerleri ve kayıplarını azaltmak,
4. Yük arttıkça AA terminalindeki gerilim düşümünü azaltmak,
5. Dönüştürücüyü besleyen reaktif gücün maliyetini düşürmek,

Bu nedenle yüksek güç faktörlerine ulaşmak için, dönüştürücüde  $\alpha$  ve eviricide  $\gamma$  değerlerinin mümkün olduğunca düşük tutulması gereklidir. Dönüştürücüdeki tristörlere, tetiklemeden önce  $\alpha$  minimum  $5^0$  olacak biçimde bir gerilim uygulanır ve tristörlerin uçlarında iletme girebilmeleri için yeterli gerilim sağlanır. Ayrıca doğrultucu yaklaşık  $15-20$  derece aralıklarda bir açı ile işletilmelidir.

Eviricide ise komütasyon hatalarını önlemek için minimum ateşleme açısını sağlamak gereklidir.  $\gamma = 180^0$  veya  $\gamma = 0^0$  de komütasyon gerilimi yön değiştirmeden önce, belirli bir bölgede komütasyon tamamlanmış olmalıdır.

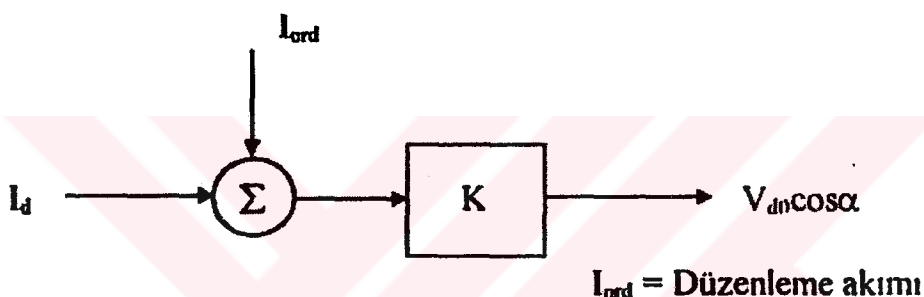
$\gamma$  ateşleme açısı,  $\beta - \mu$  değerine eşittir.  $\mu$  çıkışma açısı ise  $I_d$  ve komütasyon gerilimine bağlıdır. Komütasyon başladıkten sonra, DA akım ve AA akımda mümkün olabilecek değişiklikler nedeniyle, minimum  $\gamma$  değerinin üzerinde gerekli komütasyon aralığı sağlanmalıdır. Genel olarak  $\gamma$  aralığı  $50$  Hz için  $15^0$  ve  $60$  Hz için de  $18^0$  dir.

#### 4.3. Kontrol Karakteristikleri

Kontrol karakteristiklerini ideal ve gerçek karakteristik olarak iki şekilde inceleyebiliriz.

#### 4.3.1. İdeal Karakteristikler

Yukarıda açıklanan temel şartları sağlamak için, öncelikle gerilim ve akımın düzenlenmesi gereklidir. Normal işletimde, doğrultucu sabit akım ve evirici de sabit tetikleme açısı ile çalışmaktadır. Bu kontrol teknigi Şekil 4.4'te ideal gerilim ve akım karakteristiği ile verilmiştir. Burada koordinatları oluşturan  $V_d$  ve  $I_d$  değerleri DA hattı üzerinde ortak bir noktada ölçülebilmektedir. Bu nokta doğrultucu uçlarında seçilmiştir. İdeal gerilim-akım karakteristiği, herhangi bir işletim koşulunda hem doğrultucu ve hem de evirici karakteristiklerini içermek zorunda olduğundan, bu nokta her iki karakteristiğin kesişiminde tanımlanmak zorundadır ( E noktası ).



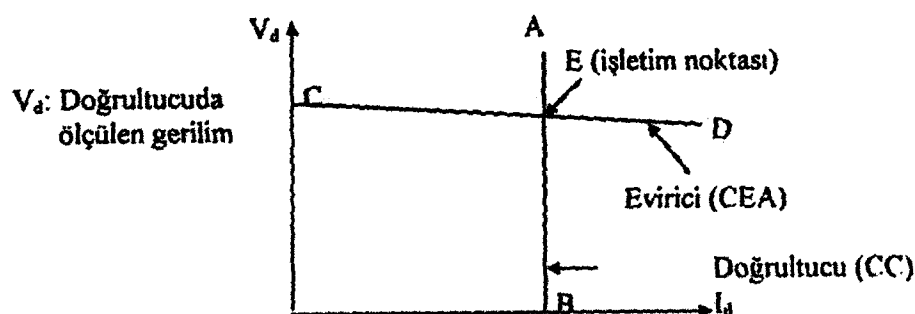
Şekil 4.4 İdeal kararlı durum Akım-Gerilim karakteristiği.

Eviriciyi sabit bir  $\gamma$  ile çalıştmak için, tetikleme açısı gerilim ve akımın anlık değişimlerini algılayan bir bilgisayar yardımıyla kontrol edilmektedir. Bilgisayar,  $\gamma$  tetikleme açısını kontrol ederken tristörün  $t_q$  süresini de dikkate alır ve  $t_q$  süresinden daha büyük olacak şekilde tetikleme açısını kontrol eder.

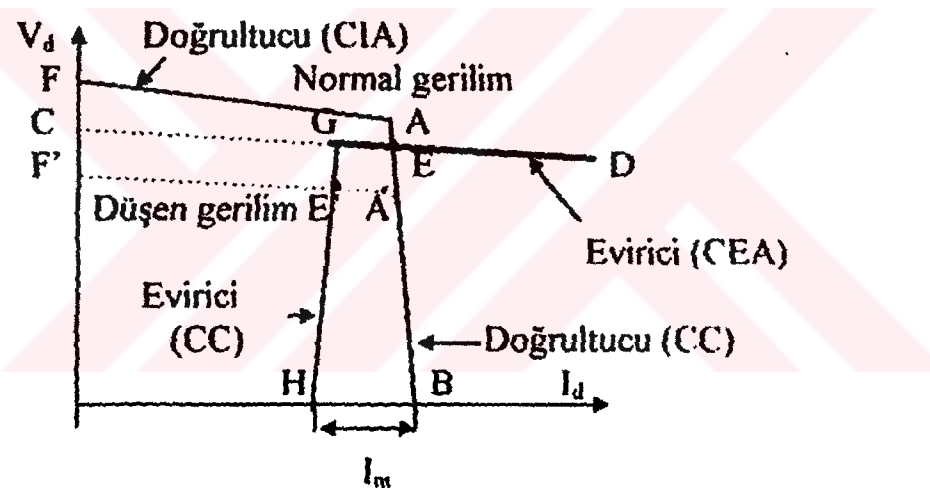
#### 4.3.2. Gerçek Karakteristikler

Doğrultucuda  $\alpha$  değiştirilerek sabit bir akım sağlanmaktadır. Bununla beraber  $\alpha$ ,  $\alpha_{min}$  değerinden küçük olamaz.  $\alpha_{min}$ 'a ulaşıldığında, gerilim artışı mümkün olmaz ve doğrultucu sabit tetikleme açısı ile çalışır. Bu nedenle, doğrultucu karakteristiği Şekil 4.6'da görüldüğü gibi gerçekte AB ve FA gibi iki bölgeden oluşur .FA bölümünden

minimum tetikleme açısına karşılık gelirken, sabit tetikleme açısından kontrol modunu temsil eder ve AB bölümü de, normal sabit akım kontrol modunu gösterir



**Şekil 4.5.** Akım düzenleyicisinin gösterimi



Şekil 4.6 Dönüşürcü kararlı durum karakteristiği.

Şekil 4.5'te K, düzenleyici kazancı olmak üzere;

$$V_{do} \cos\alpha = K (I_{ord} - I_d) = V_d + R_{ct} I_d$$

ve buradan da

$$V_d = K I_{ord} - (K + R_{cr}) I_d \quad (4.4)$$

$$\Delta V_d = - (K + R_{cr}) \Delta I_d$$

veya

$$\Delta V_d / \Delta I_d = -(K + R_{cr}) \quad (4.5)$$

sonucuna varılır.

Pratikte, akım regülatörüne bağlı olarak sabit akım karakteristiği tam dikey değildir. Akım karakteristiği, oransal ( $P$ ) denetleyici ile aşağıdaki şekilde görüldüğü gibi, akım regülatörünün sonlu kazancı nedeniyle çok yüksek bir negatif eğime sahiptir.

Bir oransal entegral ( $PI$ ) regülatör ile sabit akım karakteristiği ( $CC$ ) oldukça dikey olur. Normal gerilimde, tam doğrultucu karakteristiği  $FAB$  ile tanımlanmaktadır. Düşük gerilimde ise bu kayma  $FAB$  ile gösterilir.

Eviricinin sabit tetikleme açısı ( $CEA$ ), normal gerilim için  $E$  noktasında doğrultucu karakteristiği ile çakışmaktadır. Bununla birlikte, eviricinin sabit tetikleme açısı karakteristiği,  $FAB$  ile gösterilen düşük gerilim durumunda doğrultucu karakteristiği ile çakışmaz. Bu nedenle doğrultucu gerilimindeki büyük düşmeler, DA kondansatörüne bağlı olarak kısa bir süre sonra akım ve gücün sıfıra düşmesine sebep olabilir ve sistem bu yüzden kesintiye uğrayabilir. Bu tür problemlerden kurtulmak için, doğrultucunun akım değerinden daha küçük değere ayarlanabilen bir akım düzenleyiciye ihtiyaç vardır. DGH ile verilen evirici karakteristiği de sabit tetikleme açısı ve sabit akım olmak üzere iki bölümden oluşmaktadır.

Doğrultucu akım kademesi ve evirici akım kademesi arasındaki fark güvenli akım aralığı olarak adlandırılmış ve  $I_m$  olarak şekil 4.6'da gösterilmiştir. Bu değer hangi hatadan kaynaklanırsa kaynaklansın, iki sabit akım karakteristiğinin birbirile çakışmaması için normal akımın %10'u veya %15'i düzeyinde tutulmaktadır.

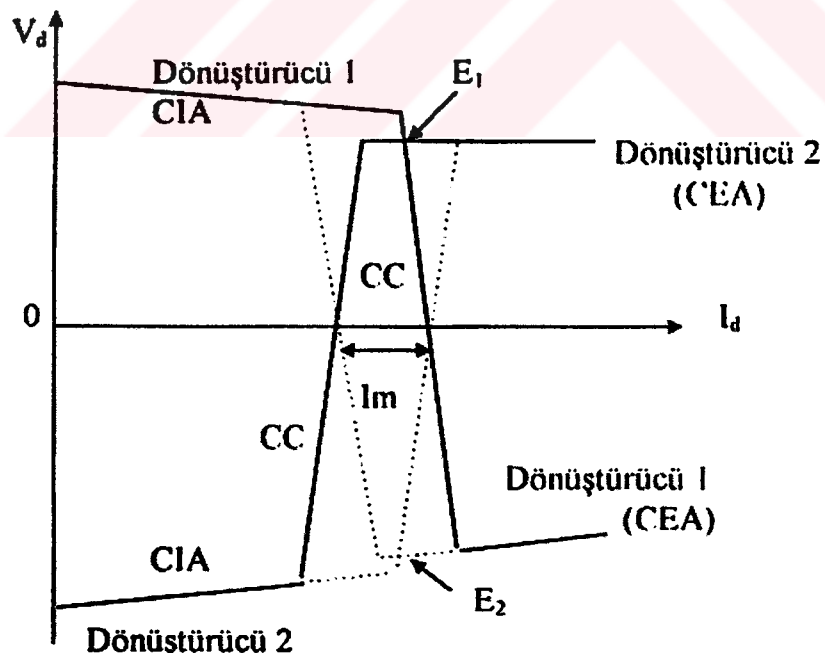
Normal işletim şartlarında ( $E$  noktası) doğrultucu, doğru akımı ( $I_d$ ) ve evirici de doğru gerilimi ( $V_d$ ) kontrol eder. Herhangi bir hata durumunda doğrultucu geriliminde bir düşme olması durumunda, işletim şartı  $E$  noktası ile gösterilir. Bu

durumda evirici aşırı akımları kontrol eder ve doğrultucu da gerilimi sabit tutmaya çalışır. Evirici ile doğrultucu yer değiştirdiği bu olaya aktarma modu adı verilir.

#### 4.4. Tam Doğrultucu ve Evirici Karakteristikleri

Birçok HVDC sisteminde, her bir dönüştürücünün, evirici kadar bir doğrultucu olarak ta çalışması gereklidir. Burada her bir dönüştürücü Şekil 4.7'de gösterilen karakteristikle verilmiştir. Karakteristikler düz çizgi ile gösterildiği gibi olursa, güç aktarımı 1. dönüştürücüden 2. dönüştürücüye doğru olur. Her bir dönüştürücü karakteristiği,  $\alpha_{\min}$  için sabit tetikleme açısı, sabit akım ve sabit söndürme açısı adı verilen üç bölümden oluşur. Bu karakteristikteki işletme noktası  $E_1$  ile gösterilmiştir.

Güç akışı tersine döndüğünde karakteristik kesikli çizgi ile gösterilir. Bu olay güvenli çalışma aralığı tersine çevrilerek yapılır. Örneğin, 2 nolu dönüştürücünün akım ayarı 1. dönüştürücüden büyük yapılmıştır. Bu durumda işletme şartları  $E_2$  ile gösterilmiştir.  $I_d$  akımı önceki ile aynıdır, fakat gerilimin polaritesi değişmiştir.



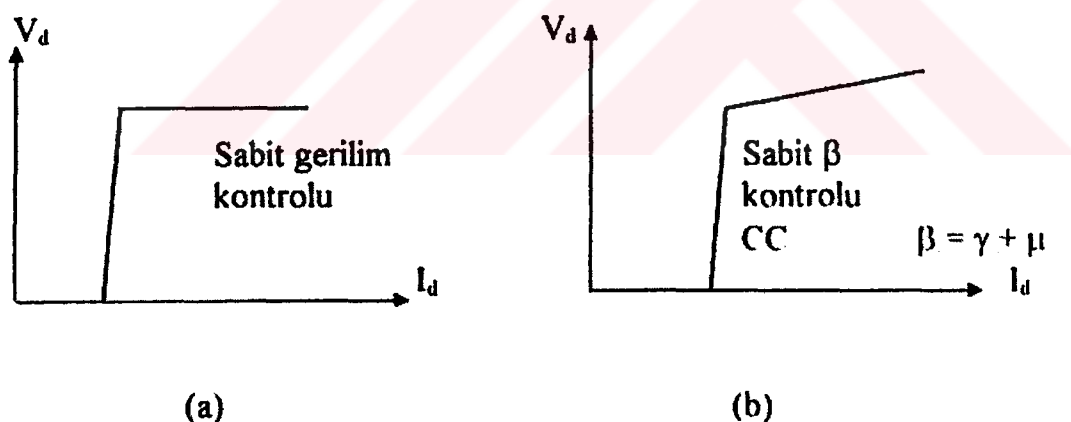
Şekil 4.7. Her bir dönüştürücünün işletme karakteristiği.

#### 4.5. Alternatif Evirici Kontrol Modları

Bu kontrol modları evirici için, sabit söndürme açısının kontrol metotlarını açıklamaktadır. HVDC sisteminin özel durumlarında bu kontrol modları bir takım avantajlar sağlayacaktır.

##### 4.5.1 DA Gerilim Kontrol Modu

Sabit  $\gamma$  değerini (CEA) düzenlemek yerine, kapalı çevrim kontrol yöntemiyle gerilimi sabit tutmak için kullanılır. İstenen DA gerilimini sürdürmek için gerekli evirici gerilimi hat üzerindeki gerilim düşümü de hesaplanarak tahmin edilir. Sabit  $\gamma$  kontrolü ile kıyaslandığında DA'daki gerilim kontrolünün Şekil 4.8 (a)'da görüldüğü gibi düz bir evirici kontrol karakteristiğine sahip olduğu görülür. Ayrıca gerilim kontrol modu yüksek değerde  $\gamma$  değerine sahiptir ve bunun sonucunda da komütasyon hatalarına daha az meyillidir.



Şekil 4.8. a) Evirici sabit gerilim kontrol modu  
b) Evirici sabit  $\beta$  kontrol modu

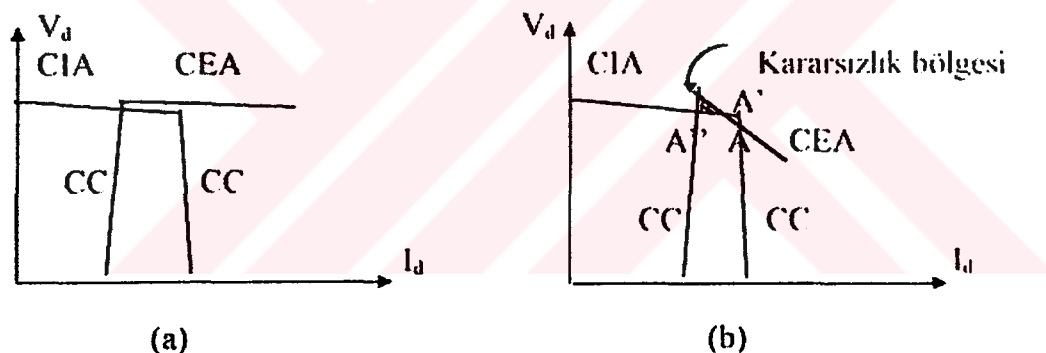
##### 4.5.2 İleri Tetikleme Açısının ( $\beta$ ) Kontrolü

Sabit  $\beta$ 'lı evirici karakteristiğinde şekil 4.8(b)'de görüldüğü gibi pozitif kayma vardır. Bu yüzden düşük yüklerde  $\beta$ 'nın sabit kalması, komütasyon hatalarının

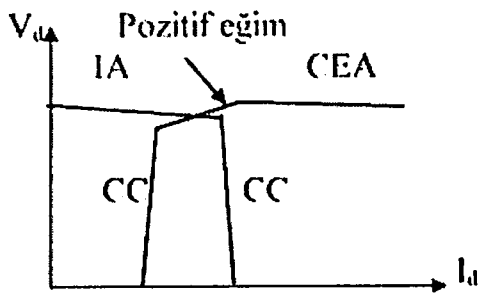
yanında başka güvenlik problemlerine de yol açar. Ancak yüksek akımlarda maksimum  $\gamma$  hesaplanabilir. Sabit  $\beta$  kontrol modu normal uygulamalarda kullanılmaz.

#### 4.5.3 DA Kararlılığı

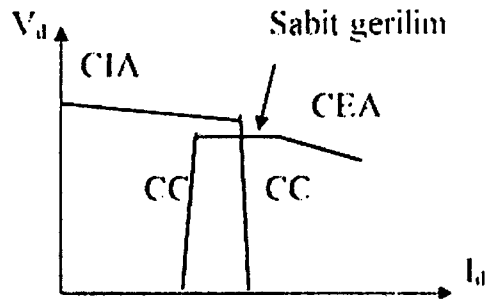
Şekil 4.9'da görüldüğü gibi eviricinin CIA ve CEA karakteristikleri arasında gerilim farkı vardır. Bu bölgede AA gerilimdeki küçük bir değişiklik doğru akımda %10 kadar büyük bir değişikliğe sebep olur. Ayrıca çalışma modları veya kademeye değişimi esnasında atlama etkileri de olacaktır. Bu durumdan sakınmak için CEA ve CC arasındaki geçiş bölgesinde, pozitif kayma ile (sabit  $\beta$ 'lı) eviricinin kontrol karakteristiği Şekil 4.10 (a)'ya yaklaşırılmaya çalışılır. Şekil 4.10 (b)'de de bu işlemin geri beslemeli kontrol karakteristiği görülmektedir.



Şekil 4.9.a) İdeal çalışma  
b) Kararsızlık bölgesinin gösterimi



(a)



(b)

Şekil 4.10.a) Mod kararlılığı için olması gereken gerilim-akım ( $V$ - $I$ ) karakteristiği değişimi.

b) Geri beslemeli kontrol karakteristiği

#### 4.5.4. Kademe Değiştirici Kontrolü

Doğrultucu için  $\alpha$  ve evirici için de  $\gamma$ , belirlenen sınır değerlerini geçerse, kademe değiştirici kontrol sistemi devreye girip, açıları istenen sınır değerlerinde tutmaya çalışır. Normalde evirici sabit söndürme açısında çalıştığından, hat gerilimini sabit tutarak bindirme gerilimleri de kademe değiştirici ile kontrol edilir. Doğrultucu tarafında da sistemin  $\alpha = \alpha_{nominal}$  şartlarında çalışması kontrol edilir. Kademe değiştiricileri minimum ve maksimum kararlı hal geçişlerine izin verecek şekilde tasarlanmış olup, geçiş şartlarındaki gereksiz hareketler zaman gecikmeleri ile önlenmiştir.

#### 4.5.5. Akım Sınırları

Akım sınırlarını da üç temel noktada tanımlamak gereklidir:

- Maksimum akım sınırı :** Bu sınır değeri, tristörleri ısıl zararlardan korumak için çok kısa süreli olarak, normal yük akımının 1,2 veya 1,3 katı ile sınırlanmıştır.
- Minimum akım sınırı :** Düşük akım değerlerinde, akımdaki dalgalanmalar kesilmelere neden olabilir. Bir periyot süresince, 6 vuruşlu da 6 kez, 12 vuruşlu da 12 kez akım kesilebilir. Bu durum, transformator sargılarında yüksek gerilim

indüklenmelerinin ( $Ldi/dt$ ) yanında, DA reaktörde de yüksek oranda akım değişimlerine sebep olacağı için istenmez. Doğru akımın düşük değerlerindeki tristör tetikleme aralıklarından kaynaklanan çakışmalar çok küçüktür. Ancak buna rağmen çakışmalar neticesinde tristörler üzerinden aşırı yük akımları dolaşır ki, bu da köprüde atlama akımlarına sebep olur.

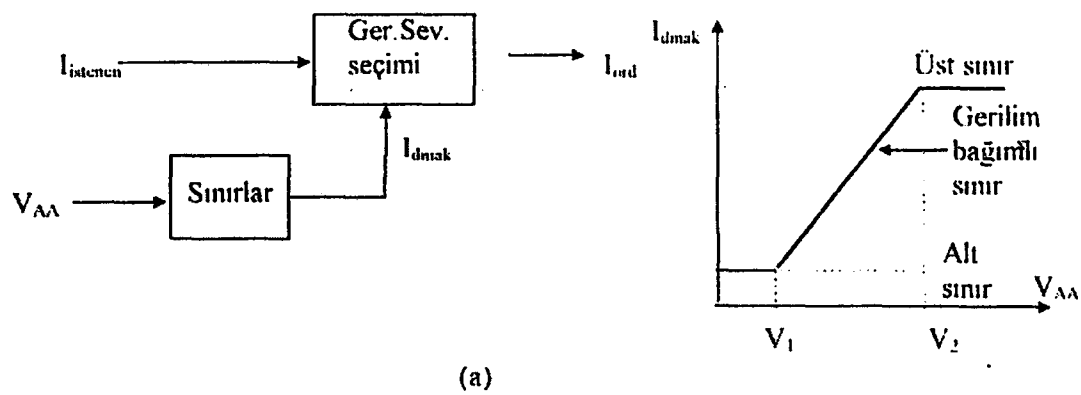
**3. Gerilim bağımlı, akım kontrollü sınır (GBAKS) :** Düşük gerilim şartlarında aşağıdaki nedenlerden dolayı istenen gücü veya akımı sağlamak mümkün olmayabilir.

a) Bir dönüştürücüde gerilim %30'dan daha fazla düşüğü zaman, diğer dönüştürücüdeki reaktif güç artar. AA sisteminde istenmeyen tepki akımları oluşabilir. Daha yüksek  $\alpha$  ve  $\gamma$  değerleri de reaktif güçteki akımın artmasına sebep olur. Eğer reaktif güçte azalma olursa, o zaman da filtreler ve kapasitörler yardımıyla dönüştürücüler için gerekli güç karşılanması çalışılır.

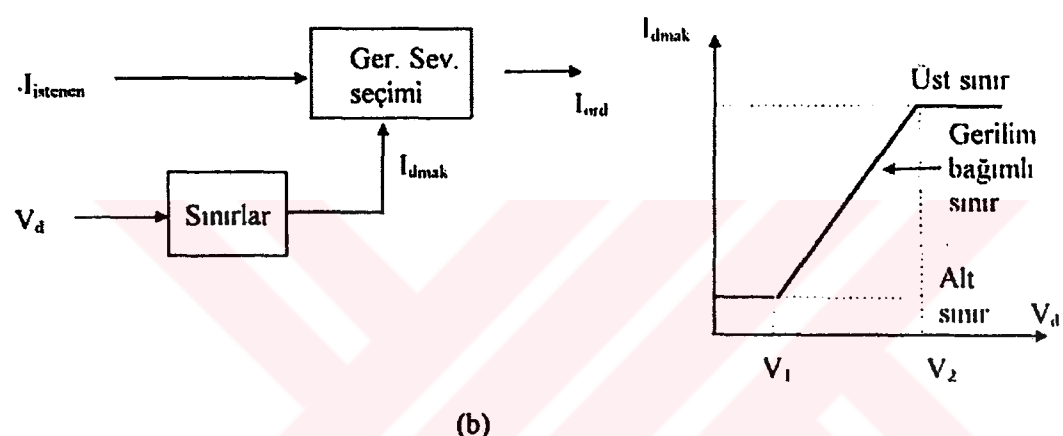
b) Azalan gerilimde komütasyon hataları ve kararsızlıklar ortaya çıkar.

Bu problemler GBAKS kullanılarak önlenebilir. İşlem için daha önceden hesaplanan gerilim değerleri referans olarak alınır ve gerilimin değişmeye başlamasıyla birlikte tetikleme açısı da otomatik olarak sınır değerlerine kadar çekilir. GBAKS karakteristikleri AA ve DA gerilimin fonksiyonu olarak aşağıdaki şekillerde verilmiştir. GBAKS işleminde ölçülen doğru gerilim öncelikle bir zaman gecikme elemanından geçirilir. Bu gecikmenin süresi gerilim şartlarına göre azaltılıp yükseltilibilecek şekilde ayarlanabilir. Örneğin gerilim düşerken gecikme süresi çok küçüktür ve hızlı bir GBAKS hareketi istenir. Ancak aynı zaman gecikmesi normal işletim şartlarındaki dalgalanmaları önlemek için kullanılrsa bu sefer de dalgalanmalara sebep olur.

Şekil 4.11 ve 4.12'de GBAKS'na bağlı dönüştürücü karakteristikleri görülmektedir.

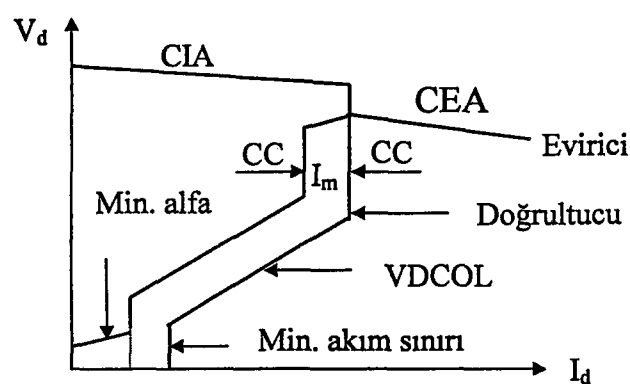


(a)



(b)

Şekil 4.11.a) Alternatif gerilimin bir fonksiyonu olarak GBAKS  
 b) Doğru gerilimin bir fonksiyonu olarak GBAKS



Şekil 4.12. GBAKS'li sürekli hal karakteristiği, minimum akım

Sekil 4.7'de görüldüğü gibi, DA hat üzerinden aktarılan güç akım büyüklüğü ve akım sınırları değiştirilerek kontrol edilebilir. Bu büyülükler dönüştürücü istasyonlarına haberleşme hatlarıyla ilettilir. İletişim anındaki herhangi bir hatadan dolayı veya DA hatta herhangi bir arıza meydana gelmesi durumunda evirici istasyonu doğrultucu moda dönüştürülebilir. Ancak bu sırada güç akışında ters yöne dönme olabilir. Bu tür sorunları meydana gelmeden gidermek için, eviricinin akım-gerilim karakteristiğinin en düşük bölümünü belirten  $\alpha$  minimum değeri ile evirici korunmalıdır. Bu da evirici tetikleme açısının  $90^0$  den daha fazla olmasını engellemektedir.

Tipik olarak 95 ile 110 derece arasındadır. Doğrultucudaki hata durumlarında ise, sisteme yardımcı olmak için evirici bölgesinde çalışmaya izin verilir. Sonuç olarak doğrultucunun tetikleme açısı 90 ile 140 derece arasındadır.

#### 4.7 Güç Kontrolü

Genelde HVDC hatlarının hesaplanan gücü iletmesi beklenir. Böyle bir uygulamada  $P_o$  gücünün, ölçülen doğru gerilime bölümü iletilen güce karşılık gelen akım kademesini verir.

$$I_{ord} = P_o / V_d \quad (4.6)$$

Hesaplanan akım kademesi, akım kontrolünün giriş işaretinin kullanılmaktadır. Ancak bu işlem, yüksek hızlı sabit güç kontrolünün AA sisteminin kararlılığına zarar vermesini engelleyemeye bilir. Bu yüzden sistem kararlılığı gerçekleştirilmeye çalışılırken, yüksek hızlı sabit akım kontrolü ve yavaşlatılmış güç kontrolünün birlikte yapılması tercih edilir. Bu da HVDC iletim sisteminin kararlılığı yönünden sabit akım kontrollü olarak çalışması demektir.

#### **4.7.1 AA Sistem İçin Yedek Kontroller**

AA akım sisteminin başarısını artırabilmek için, AA akım sistem büyülüklüklerinden türetilen işaretler, dönüştürücülerdeki kontrolün daha duyarlı yapılmasında kullanılabilir. Kontrol sistemi hem doğru akım, hem doğru gerilim veya her ikisini de kontrol edebilecek düzeyde olmalıdır. Ayrıca hatalardan sonra sistemi düzeltmek için özel kontrol yöntemleri de kullanılabilir.(Vadivel, 1991)

#### **4.7.2 Temel Kontrol Prensipleri**

HVDC sistemleri aşağıdaki iki önemli nedenden dolayı sabit akımla kontrol edilmelidir.

1. Aşırı akımları sınırlamak ve çeşitli sorunlardan kaynaklanan hataları minimuma indirmek,
2. AA gerilim dalgalarını sebebiyle sistemin gerilim düşümünü önlemek.

Yüksek hızlı sabit akım kontrol karakteristiği nedeniyle HVDC sisteminin işletimi oldukça kararlıdır. Temel kontrol sisteminin önemli özelliklerini de şöyle sıralayabiliriz:

- a) Doğrultucu akım kontrollüdür ve  $\alpha$ 'nın limit değerleri arasında kontrol edilir. Başarılı bir tetikleme ve komütasyon sağlamak için tristör uçlarında yeterli pozitif gerilimin bulunması gereklidir. Bunu gerçekleyebilmek için de tetikleme açısı  $\alpha$ , minimum  $5^0$ ye ayarlanmaktadır. Ayrıca  $\alpha$  değerimiz kapalı çevrim kontrollü geri besleme devremiz sayesinde, değişken yüklerde dahi akımı ve gerilimi kontrol etmek için otomatik olarak değişmektedir.  $\alpha$  değeri belirlenen sınır değerlerini aşacak olursa sistemin güvenliği açısından uyarı işaretini ile birlikte sistem devre dışı kalıp kendini korumaya almaktadır.
- b) Evirici sabit söndürme açısı kontrolüyle birlikte bir de akım kontrolüne sahiptir. Sabit söndürme açısının kontrolünde  $\gamma$ ,  $15^0$ ye set edilmiştir.

- c) Normal şartlarda, doğrultucu akım kontrol modunda ve evirici de sabit söndürme açısı kontrol modundadır. Eğer doğrultucudaki AA geriliminde bir azalma olursa, doğrultucu tetikleme açısı  $\alpha$ , minimum limit değerine kadar azaltılır. Bu noktada doğrultucu limit değeri ile sınırlanır ve evirici de akım kontrol moduna geçer. Eğer girişteki AA gerilimi daha da azalırsa güvenlik önlemleri tekrar devreye girip ya sistemi korumaya alır, ya da beslenebilecek yükten fazlası devre dışı bırakılıp sistem minimum değerinde çalıştırılır.
- d) Sürekli ve kararlı bir işletimle birlikte eleman güvenliğini de sağlamak için birçok limit değerler tanımlanmıştır. Bunlar maksimum akım sınırı, minimum akım sınırı, gerilim bağımlı akım sınırı, maksimum ve minimum akım sınırları, maksimum ve minimum frekans değerleri vb.
- e) Yukarıda açıklanan temel kontrol prensiplerinin yanında sistem performansını artırmak için yüksek seviyede kontrol teknikleri de kullanılmalıdır.

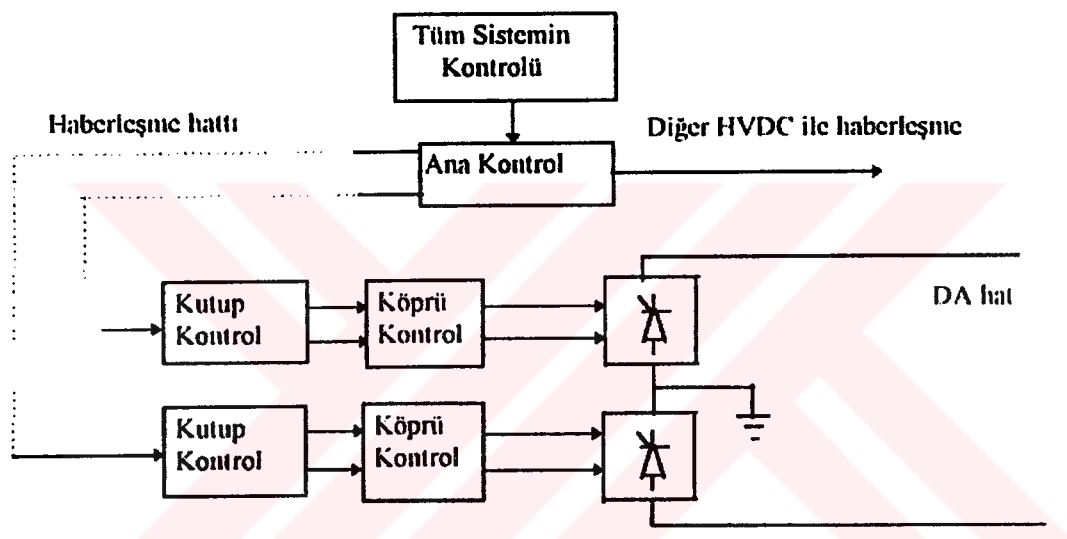
#### 4.7.3 Kontrolün Gerçekleştirilmesi

Uygulamalarda kutup başına 2 veya 4 seri bağlı dönüştürücü köprüsü vardır. Genellikle Yıldız-Yıldız veya Yıldız-Üçgen traflolar ile köprü, 6 veya 12 darbeli bir birim olarak kabul edilir. Kontrol akışı DA sisteminin yapısına göre değişirse de genel yapı ortaktır. Şekil 4.13 tipik bir iki kutuplu HVDC taşıma sisteminin kontrol yapısını göstermektedir. Kontrol sistemi; dönüştürücü birimlerin kontrolü, kutup kontrolü, ana kontrol ve tüm sistemin kontrolü olmak üzere dört bölüme ayrılmıştır.

Köprü veya dönüştürücü birim kontrolü,  $\alpha_{\min}$  ve  $\gamma_{\min}$  limitlerini tanımlar ve köprüdeki tristörlerin tetikleme aralıklarını belirler. Bu kontrol, tüm sistemde en hızlı cevap verme süresine sahiptir. Kutup kontrolü, bir kutup üzerindeki köprünün kontrolünü düzenler. Ana kontrol, akımı belirler ve tüm kutuplara eşgüdümü akım işaretini gönderir.

Temel kontrol fonksiyonları birçok uygulamalarda benzerdir. Ancak yüksek seviyeli kontrol fonksiyonları her bir sistemin başarısına ve amacına göre belirlenmelidir. Güvenlik açısından da her bir sistem birbirinden bağımsız olmalıdır.

HVDC sisteminin kontrolü, uygun bir işletim için terminaller arasında iyi bir haberleşme gerektirmektedir. Güç seviyesindeki hızlı değişimler neticesinde, her iki uçta da sabit akımı sağlamak için bu haberleşmenin en az değişim kadar hızlı olması zorunludur. İletişim bilgisi, işletimci tarafından istenen sistemin genel bilgilerini ve terminaller arasındaki bazı hataların denetlenmesi için gerekli koruma bilgilerini içerir. Bu iletişim çeşitli yöntemlerle yapılabilir. Bunlar; özel hatlar veya telefon hatları yoluyla direk kablo çekilmesi, fiber optik kablolar veya mikrodalga sistemleri olabilir. İletilecek bilginin miktarına, gerekli cevap hızına, güvenlik derecesine ve gürültü yoğunluğuna göre bunlardan biri seçilebilir.



Şekil .4.13. HVDC sisteminin temel kontrolü

#### **4.8. Dönüştürücü Tetikleme Kontrol Sistemleri :**

Dönüştürücü kontrol sistemi, dönüşürücünün istenen kontrol modunda çalıştırılması için (sabit akım, sabit tetikleme açısı, sabit söndürme açısı vb.) istenen anlık tetikleme işaretlerini belirler. Dönüştürücü tetikleme darbelerinin üretimi için iki temel kontrol tipi mevcuttur:

- Bireysel faz kontrolü

- Eşit aralıklı darbe kontrolü

#### 4.8.1 Bireysel faz kontrol sistemi (IPC):

İlk HVDC uygulamalarında bu sistem oldukça yaygın olarak kullanılmıştır. Tetikleme darbeleri her bir fazın sıfır geçiş noktaları tarafından belirlenir ve her bir tristör için ayrı üretilir. Faz gerilimi ,

$$V_{BA} = V_B - V_A = \sqrt{3} V_m \sin \omega t = 2L_c \frac{dI_3}{dt} \quad (4.7)$$

şeklinde ifade edilirse,

Şekil 4.14'te görüldüğü gibi iletim,  $\omega t$  ateşleme açısı,  $\alpha$  'ya eşit olduğunda başlar ve  $\omega t$  normal söndürme açısına ( $\pi - \gamma$ ) eşit olduğunda biter. Eğer iletim başlangıcında  $t=t_1$  ise, iletim sonunda  $t=t_2$ 'dir.

$$\int_{t_1}^{t_2} \sqrt{3} V_m \sin \omega t d\omega t = 2L_c \int_0^{I_d} dI_3$$

veya

$$-\sqrt{3} \frac{V_m}{\omega} (\cos \omega t_2 - \cos \omega t_1) = 2L_c I_d$$

buradan

$$-\sqrt{3} V_m [\cos(\pi - \gamma) - \cos \omega t_1] = 2\omega L_c I_d \quad (4.8)$$

bulunur.

Bu da kontrolün,  $\omega t = \omega t_1 = \alpha$  ve  $\omega t = \omega t_2 = \pi - \gamma$  aralığında mümkün olduğu sonucunu verir. Böylece,

$$-\sqrt{3} V_m \cos \omega t_1 - \sqrt{3} V_m \cos \gamma + 2X_c I_d = 0 \quad (4-9)$$

olduğu da görülür

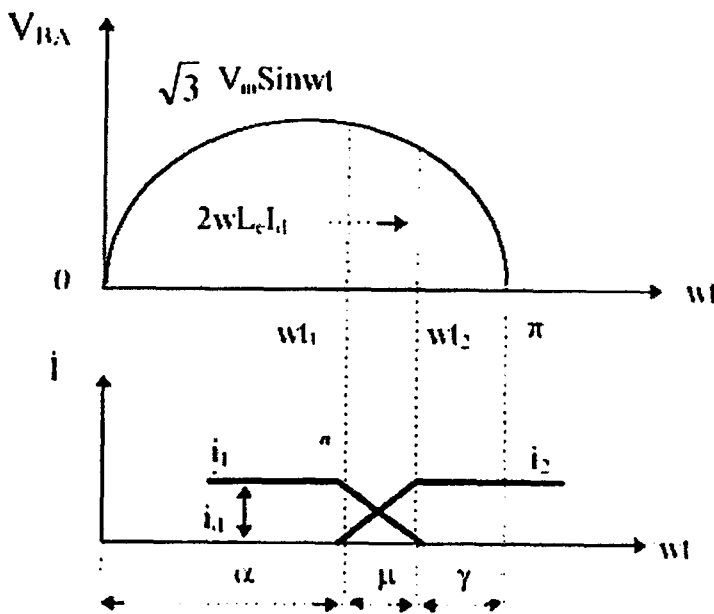
#### 4.8.2 Bireysel Faz Kontrol Sistemi (IPC) İle Sabit Söndürme Açısı (CEA) Kontrolü

Son eşitlikten görüldüğü gibi doğru akım ( $I_d$ ) ve iletim gerilimi ( $V_d$ ) işletim şartlarına göre değişir. Yukarıdaki son eşitlikten  $t = t_1$  anında,  $I_d$  ve  $V_d$  büyüklükleri tespit edilir.  $\gamma_c$  belirlenen söndürme açısına eşit olduğunda  $X_c = wL_c$ 'dır ve buradan aşağıdaki eşitlik elde edilir.

$$-\sqrt{3} V_m \cos \omega t_1 - \sqrt{3} V_m \cos \gamma_c + 2X_c I_d = 0 \quad (4.10)$$

İstenen  $t_1$  ateşleme zamanı yukarıdaki eşitlikten bulunabilir. Bu işlem daha önceki dönüştürücü kontrol uygulamalarında kullanılan analog devrelerle gerçekleştirilir. Kontrol sistemi,  $I_d$  doğru akımıyla orantılı bir DA çıkış veren birinci birim,  $V_m \cos \gamma_c$  ile orantılı çıkış veren ikinci birim ve iletim gerilimi ile orantılı, fakat faz gecikmesi  $90^\circ$  olan (örneğin  $V_m \cos \omega t$ ) alternatif gerilim üreten bir üçüncü birimden meydana gelir.

Üç çıkış toplanır ve toplam sıfırı geçtiğinde tetikleme darbesi üretilir. Kararlı durumlarda, böyle bir sistem, dengesiz yük'lere ve gerilim dalgalanmalarına bakmaksızın her bir tristörü sabit iletim aralığında kontrol eder.



Şekil 4.14 İletim gerilimleri ve tristör akımları

#### 4.8.3 Bireysel Faz Kontrol Sistemi (IPC) İle Sabit Akım Kontrolü

Bu durumda kontrol sisteme hata akımı ile orantılı bir gerilim terimi ( $V_{sa}$ ) eklenir.

Böylece,

$$-\sqrt{3} V_m \cos \omega t_1 - \sqrt{3} V_m \cos \gamma_c + 2X_c I_d + V_{sa} = 0 \quad (4.11)$$

olur.

$$V_{sa} = K (I_{ord} - I_d)$$

$I_{ord}$  = Düzenleme akımı

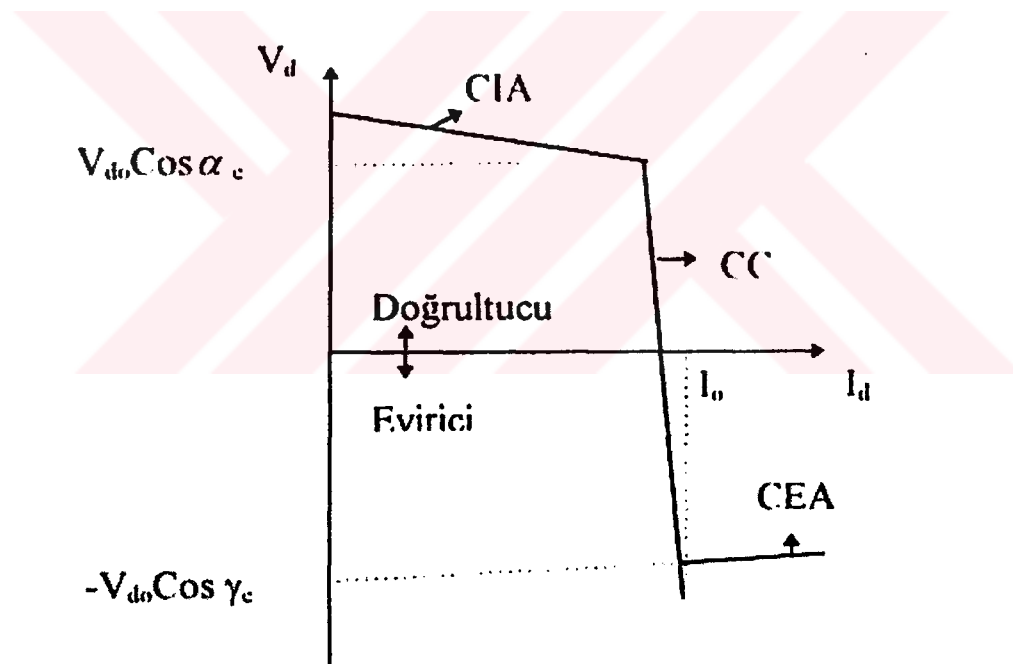
$I_d$  = Gerçek hat akımı

$K$  = Akım kontrol kazancı

Bireysel faz kontrol sistemi, her tristör için tetikleme aralığı birbirinden bağımsız olarak belirlendiği için, simetrik olmayan kaynak, dalga şeklinde mümkün olan en

büyük doğru gerilime ulaşabilme avantajına sahiptir. Buna rağmen, bireysel faz kontrol sistemi, kontrol işaretinin AA hat geriliminden üretildiği için geri beslemeli kontrol etkisine sahiptir. İdeal gerilim dalga şeviden herhangi bir sapma, akım dalga şevidin simetrisini bozar. Bu da ek bir bozulmaya sebep olur ve harmonikler ortaya çıkar. Eğer dönüştürücünün bağlılığı AA şebekesi zayıf ise (örneğin yüksek impedans), geri besleme etkisi, harmonik kararsızlığına neden olan AA geriliminin daha da bozulmasına yol açar.

Harmonik kararsızlığı problemi, AA şebekesinin harmonik karakteristğini değiştirerek veya kontrol devresine ek filtreler ekleyerek azaltılabilir. Alternatif olarak da, AA sisteminin büyüklüğünden bağımsız bir tetikleme kontrol sistemi de kullanılabilir. Bu gibi nedenler de aşağıdaki eşit aralıklı darbe kontrol sistemini kullanmayı gerektirir.



Şekil 4.15 IPC'li dönüştürücü karakteristikleri

IPC'li dönüştürücü karakteristikleri şekil 4.15'tE görüldüğü gibidir. Burada CIA eğrisinin değeri;

$$V_d = V_{do} \cos \alpha_c - 3/\pi X_c I_d \quad (4.12)$$

CC eğrisinin değeri;

$$V_d = -V_{do} \cos \gamma_c + 3/\pi X_c I_d + K(I_o - I_d) \quad (4.13)$$

ve CEA eğrisinin değeri de;

$$V_d = -V_{do} \cos \gamma_c + 3/\pi X_c I_d \quad (4.14)$$

eşitlikleriyle bulunabilir.

#### 4.8.4 Eşit Aralıklı Darbe Kontrol Sistemi

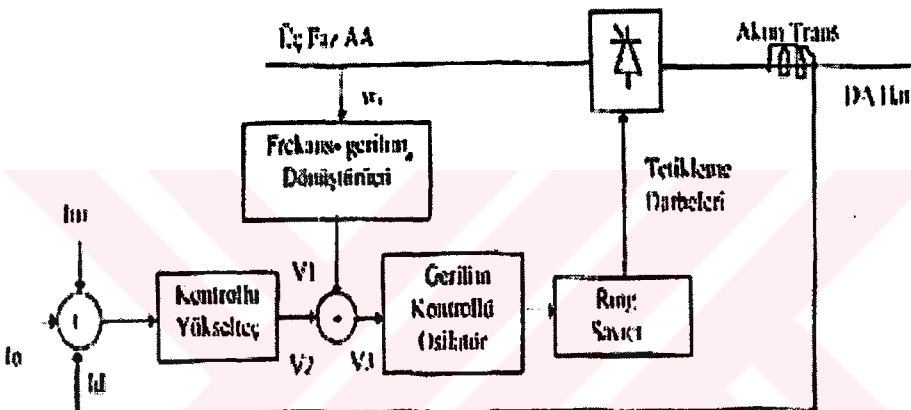
Bu sisteme tristörler eşit zaman aralıklarında tetiklenmektedir ve istenen kontrol modunu sağlamak için bütün tristör tetikleme açıları eşittir. Yalnızca AA sisteminin geriliminde dolaylı bir senkronizasyon vardır.

Bu sistem, tetikleme darbelerini üretmek için faz kontrollü bir osilatör kullanmaktadır. 1960'lardan beri bütün HVDC sistemi üreticileri dönüştürücülerin tetikleme kontrolünde bu yöntemi kullanmaktadır. Şekil 4.16'da eşit aralıklı darbe kontrol tabanlı bir sabit akım kontrol sistemi görülmektedir. Sistemin temel bileşenleri gerilim kontrollü osilatör ve ring sayıcıdır. Gerilim kontrollü osilatör, giriş kontrol gerilimi ile doğrudan orantılı frekansta darbeler üretmektedir. Darbe dizisi 6 veya 12 basamaklı bir ring sayısını beslemektedir.

Kararlı hal durumunda  $V_2$  sıfırdır ve  $V_1$  gerilimi AA hat frekansı  $w$  ile orantılıdır. Bu olay hat frekansında darbelerin üretimini gerçeklerken sabit tetiklemede gecikme açısını ( $\alpha$ ) sağlamaktadır. Bu kontrol sistemi darbe frekans kontrol sistemine

dayalıdır. Alternatif bir eşit aralıklı darbe kontrol tetikleme yöntemi de darbe faz kontrolüne dayanır. Bu durumda kontrol işaretindeki bir değişiklik fazın kaymasına sebep olur. Sabit akım kontrolü için çizilen şekil 4.16'daki temel devreye sabit

söndürme açısı kontrolü için ek devreler gereklidir. Söndürme açısı ( $\gamma = \pi - \alpha - \mu$ ) direkt olarak kontrol edilemediğinden tahmini veya geri beslemeli kontrol kullanılmalıdır. Bu yöntemle bir tahmini metot başarılı bir komütasyon için gerekli tetikleme aralığını sağlamak ve yeterli dv/dt alanını elde etmek amacıyla kullanılır. Tetikleme açısı, akım ve gerilimin ölçülen değerleriyle, üst üste gelme (çakışma) açısının ( $\mu$ ) hesabına dayanır. Bu yöntemler kararlı halde eşit darbe boşlukları sağlar. Eşit aralıklı tetikleme kontrolü zayıf AA sistemlerde harmonikleri azaltır ve kararlı bir işletim kontrolü sağlar. Buna rağmen AA şebekesinde simetri bozulması büyük ise, bu sistem bireysel faz kontrolünden daha düşük doğru gerilim gücü vermektedir.



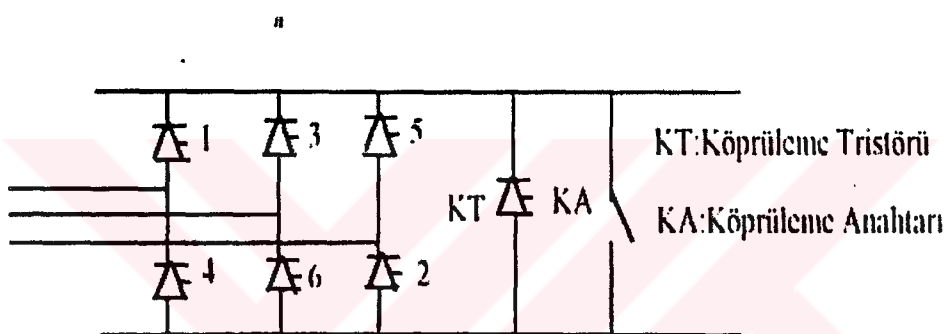
Şekil 4.16. Eşit aralıklı darbe kontrol sisteminde akım kontrolü

#### 4.8.5 Tetikleme Sistemi :

Dönüştürücülerde, tristör tetikleme devreleri ve tristörlerin izlenmesi için yapılan devreler ana şebekeden optik yalıticılarla ayrılmıştır. Her bir tristör, birbirinden bağımsız, gelen elektrik darbelerini optik yalıtmıla iletten ayrı birimlere bağlanmıştır. Yine tristör durumlarının izlenmesi için alınan işaretler ayrı optik yalıtım devrelerinden geçirilip ana kontrol devresine bağlanmıştır. HVDC'nin yeni uygulamalarında ise artık fiber optik ile direk tetiklenebilen tristörler kullanılmaktadır.

#### 4.9 Tristörlerin Söndürülmesi

Tristörlerin söndürülmesi, köprü üzerindeki tristörlerin tetikleme işaretlerinin kesilmesi ile sağlanmaktadır. Ancak akım sönümü nedeniyle köprüde aşırı gerilimler oluşabilir. Bazı durumlarda evricideki tristörler tam kesime gitmeyip sürekli iletimde kalabilirler. Bu nedenle, tristörleri kesime sokma esnasında köprüleme elemanları kullanılmıştır. Bu işlem şekil 4.17'de görüldüğü gibi bir tristör ve anahtarlar kullanılarak yapılmıştır. Tristör akımı köprüleme tristörü ile kesime götürülür ve sonra sürekli akım taşıyan köprüleme tristörünün yükünü almak için anahtar kapatılır (Ang,1995).



Şekil .4.17 Köprüleme tristörü ve anahtarı

#### 4.10 Çalıştırma , Durdurma ve Güç Akış Yönüünü Değiştirme

Bu işlemler, sistemde kullanılan elemanların kabiliyetine, akım, gerilim ve gücün yükselme hızına göre değişim gösterebilir. Yapılan çalışma düzenini aşağıdaki şekilde sıralayabiliriz:

1. Doğrultucu ya da eviriciden herhangi biri ilk olarak çalışmaya başlatılabilir. Çalıştırlan dönüştürücü, kendi tetikleme gerilimi ile birlikte, iletimin gerçekleşmesi için gerekli gerilimi de sağlar. Tetikleme 60-70 derece civarında yapılp, gerilim düşük tutulur.
2. Belirli bir haberleşme gecikmesi sonrasında diğer dönüştürücünün tetiklemesi verilir. Tetikleme yine 60-70 derece civarında tutulur ve düşük bir akım akıtilır.

3. Başarılı bir çalışma sonunda, tetikleme açısının ( $\alpha$  veya  $\beta$ ) oranına bağlı olarak gerilim arttırılır. Başlangıçta düşük miktarda verilen akım, ayarlanan noktanın %80'nine ulaşılınca kadar bekletilir. Daha sonra akımın istenen değerine yükseltilir.
4. Akım doğrultucu tarafından yükseltilirken, gerilim de evirici tarafından yükseltilir.

Bütün bu işlemler, AA sisteminin tanımlanan değerlerine ve güç oranına bağlı olarak, bir saniyeden birkaç dakikaya kadar değiştirilebilen sürelerde yapılabilir. Yukarı artışı bu işlemler esnasında ya üstel ya da küçük sabit basamaklar şeklinde yapılabilir.

Durdurma işlemi için, AA sistemindeki gibi hattı bir kesiciyle ayıranın tam tersine, DA hattı yavaş yavaş, kontrollü bir şekilde akımın azaltılmasıyla kapatılır.

Durdurma işlemlerinin sıralaması da aşağıdaki şekilde özetlenebilir:

1. Akım veya gerilim 100 ile 200 ms arasında rampa biçiminde azaltılır. Doğrultucu evirici bölgesi civarında çalıştırılır. Bu işlem DA hat üzerindeki enerjiyi boşaltır.
2. Gerekliyorsa köprüleme anahtarları kapatılır.

Ters yöne güç akışı, HVDC sisteminin yapısı gereği en üstün özelliklerinden biridir. Bunun gerçekleşmesi de aşağıdaki işlemleri içerir:

1. Akımın değeri %10 ile %50 arasında bir değere basamak veya rampa şeklinde indirilir.
2. Akımın değerinin istenen değere getirilmesinin ardından, gerilim de istenen değere rampa veya üstel fonksiyon şeklinde çekilir.

Yapılacak temel işlem, AA akım sistemini dış etkilerden koruma kabiliyeti ve istenen zamanda güç akış yönünün değişmesi esnasında oluşabilecek ihtiyaçlara göre belirlenir. Tipik olarak, hızlı güç ters dönüşüm zamanı 20-30 ms civarındadır. Fakat bu süre daha çok AA sistem limitleri ve DA kablo tasarım parametrelerine bağlıdır. HVDC sistemi bütün bu gereklilikleri sağlamalıdır.

#### **4.11 Kararlılık Çalışmaları**

Bir karalılık programında, AA şebekesinin eşitlikleri, pozitif sıralı büyüklüklerle ifade edilir. Bu da DA sistemlerinin modellenmesinde en önemli sınırlamadır. Özellikle komütasyon hataları, evricide dengesizliklere veya dinamik aşırı gerilim durumlarında dönüştürücü trafosunun doyuma girmesine neden olur.

Yukarıdaki sınırlamalara bakmadan birçok sistem modeli, DA sistemini temsil etmek üzere kullanılmaktadır. DA sisteminin karakteristiğinin belirlenmesinde, sistemden beklenen özel ihtiyaçlarda etkilidir. Bu nedenle sabit yapıların standart modelleri, DA sisteminin kararlılık analizi gösterimi için geliştirilmemiştir. Bunun yerine modeller üç kısımda toplanmıştır:

- a) Basit modeller
- b) Başarım modeli
- c) Esnek modelleme kabiliyetine sahip detaylı model

##### **4.11.1 Basit Modeller**

Kararlılık analizindeki sonuçlarda pek fazla önemi olmayan uzun mesafe DA hatları için basit modeller genellikle yeterlidir. DA hatları dönüştürücülerin AA uçlarında sabit, aktif ve reaktif güç enjeksiyonu olarak temsil edilebilir.

#### 4.11.2 Başarım Modelleri

DA hat dinamiklerinin genel kararlılık analizi için kutup kontrolü ihmali edilmiştir. Kutup kontrol hareketi anlık olarak kabul edilmiş ve hatlar dirençleri ile temsil edilmiştir. Kontrol fonksiyonlarının birçoğu, fiziksel karakteristiklerinden çok, gerçek etkileri ile temsil edilmiştir. Tipik bir başarım modelinin özelliklerini söyle sıralayabiliriz:

1. Sabit akımda doğrultucu ve sabit söndürme açısından evirici kontrolü,
2. Sabit tetikleme açısından doğrultucu ve sabit akımda evirici kontrolü,
3. Sabit tetikleme açısından doğrultucu ve sabit  $\beta$  açısından evirici kontrolü.

AA hatlarındaki kontrol hareketlerinin de, kararlılık çalışmalarında göze alınması gereklidir. AA sistemindeki kontrol mantığını söyle açıklayabiliriz:

Eğer, her iki uçtaki AA gerilim belirli bir sürenin dışında, belirlenen değerin altına düşerse, DA sıfır çekilir. Akım belirtilen minimum değerin altına düşerse hat kapatılır. Doğru gerilim hat akımı, AA gerilim kabul edilebilir seviyeye ulaştıktan sonra tekrar verilir. Eğer gerilim, DA hat akımı minimum değerine ulaşmadan önce yükselirse, istenen akım gerçek değerine hemen yükseltilir. Hat akımı maksimum değerine arttırılır. Eğer, hat kapatıldıktan sonra gerilim yükselmesi olursa, bu yükselme belli bir süre geciktirilir. Sonra hat akımı tekrar gerçek değerine yükseltilir. Bu işlemler için iki değişik örnek verebiliriz.

1. Evirici tetikleme açısı  $90^\circ$  de tutularak, doğrultucuda  $\alpha$  değeri ile akım kontrolü yapılarak akım artırılır. Akım istenen değere ulaştığında, evirici söndürme açısı, belirtilen değere istenen rampa fonksiyonu şeklinde azaltılır.
2. Akım, mümkün olan maksimum DA gerilimine çıkılınca kadar artırılır ( $\gamma=\gamma_0$  veya  $\alpha=\alpha_{\min}$ ).

Ayrıca DA modele, komütasyon hatalarına karşı, DA hat kapatma mantığı da ilave edilmiştir.

#### 4.11.3 Detaylı Esnek Model

Bir DA hattını detaylı şekilde gösteren her bir ayrı model veya basitleştirilmiş tek bir detaylı model bu esnekliği sağlamalıdır. DA hatları ile ilgili kontrollerin çeşitliliği nedeniyle, “kullanıcı kontrollü” kontrol modelleri, temel AA / DA kontrol modellerini de eklemeyi gerektirirler. Ancak yüksek seviyedeki modellerde aşağıdaki özellikler sağlanmalıdır.

1. DA hat : DA hattının direncini, endüktansını, ve kapasitif etkisini gösteren bir dinamik modelin gerçeklenmesi. Özellikle kablolar için kapasitif etki önemlidir.
2. Uygun dinamik modellerle gösterilen dönüştürücü kontrolleri:
  - Ana kontroller
  - GBAKS dinamikleri
  - Akım / güç kontrolü
  - Hızlı güç değişim mantığı
  - Sabit akım, sabit söndürme açısı, sabit AA ve DA gerilimi gibi farklı kontrol konumlarında kutup kontrolleri
  - Komütasyon hatası benzetim mantığı
  - HVDC sisteminin hatalardan korunması ve komütasyon hatalarının önlenmesi için kullanılan özel kontroller.
3. AA / DA ara birim : Bu modellerde, dönüştürücü açı sınırları DA kontrolörlere yerleştirilir. Dönüştürücü karakteristikleri; AA ana dalga bileşeninin etkin değeri ve DA büyülüklerin ortalama değerleri ile ilgili ifadelerle temsil edilirler.

Bu model “yarı kararlı hal modeli” olarak da isimlendirilir. Ayrıca bu model dengeli durumlarda kararlılık çalışmaları için HVDC sisteminin başarısını tam olarak temsil eder.

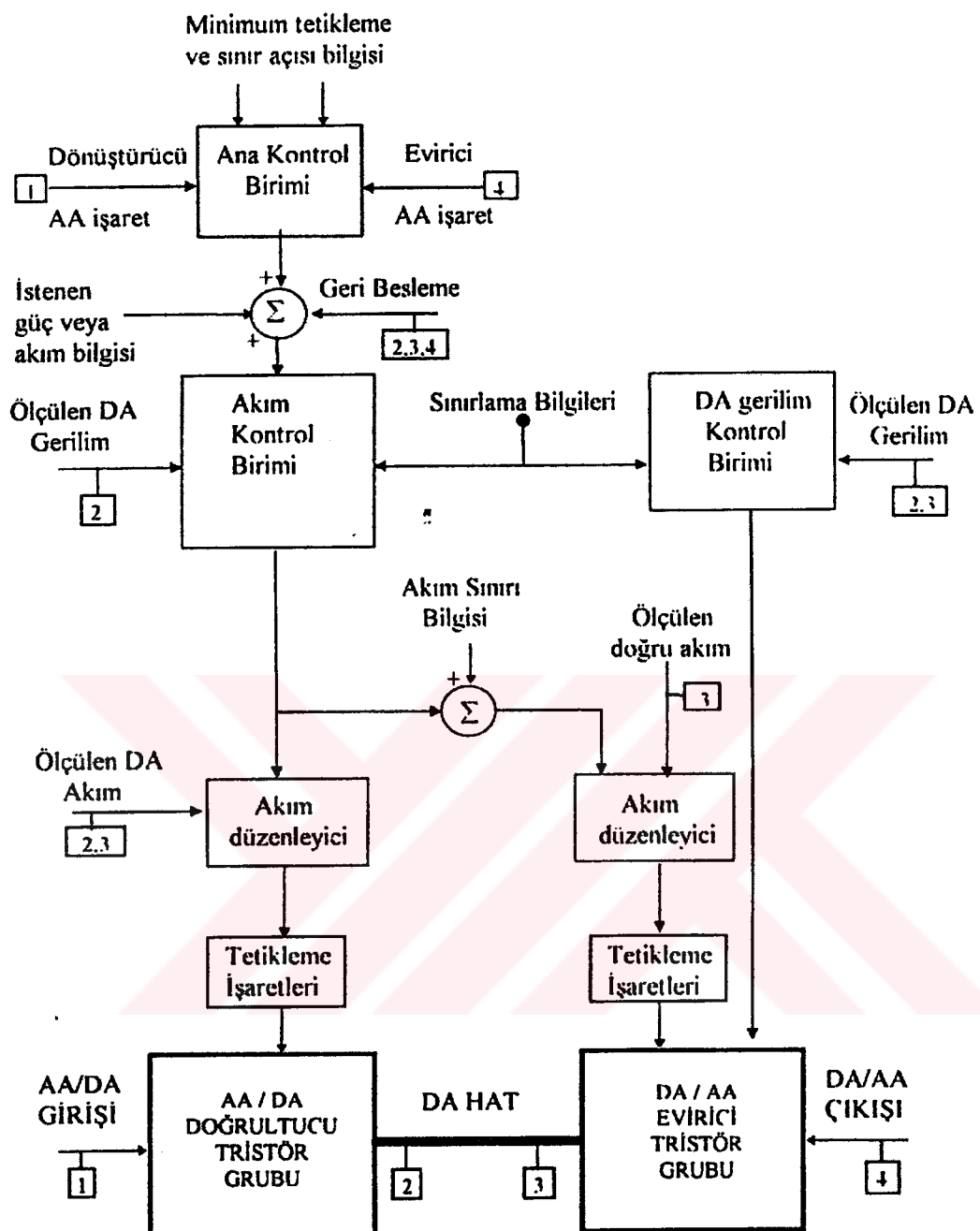
Akim ve gerilimin dalga şekli model içinde gösterilmemişinden, komütasyon hatası ile ilgili yalnızca bazı tahminler yapılabilir. Bu da komütasyon geriliminin büyüklüğüne veya evirici söndürme açısına bağlıdır.

Detaylı HVDC sistem modelleri, AA sistem modellerinden daha hızlı dinamikler içerirler. Kararlılık çalışmalarında da DA eşitliklerini çözmek için, çok küçük entegrasyon basamakları gerektirirler.

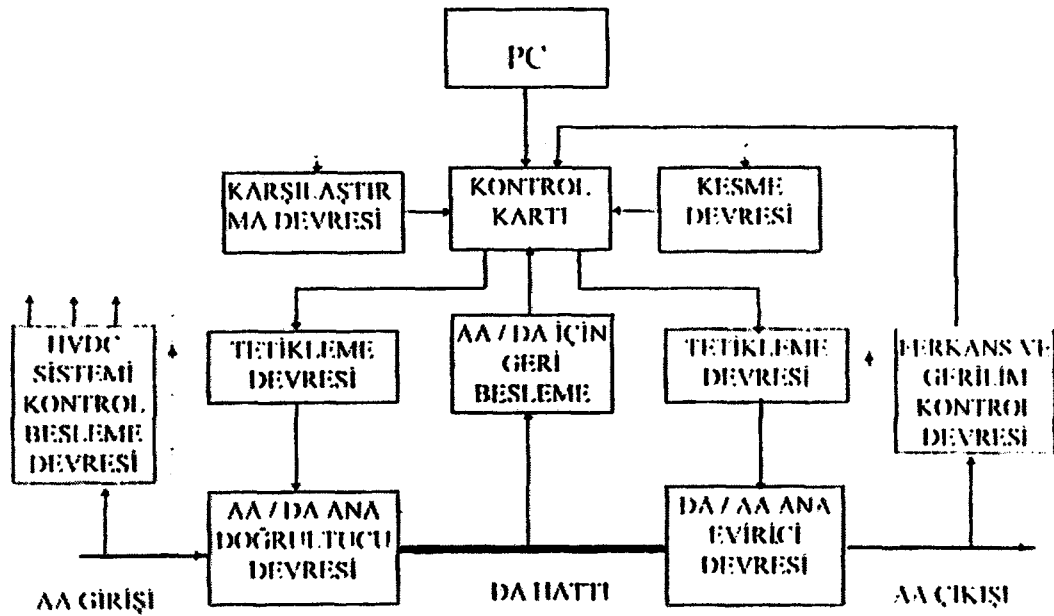
Bütün bu özellikler dikkate alındığında, HVDC sisteminin genel yapısı ve kontrol işaretleri, şekil 4.18'de görüldüğü gibi olacaktır.

Buradaki temel amaç, hem dönüştürücü hem de evricideki gücü olabildiğince sabit değerlerde tutmak ve iki birim arasındaki frekans uyumunu da sağlamaktır. Bu işlemlerin güvenli çalışma sınırları içinde olması için tetikleme açısı ve akımın sınır değerleri önceden girilmiştir. İstenen çıkış değerleri, geri besleme işaretleri ve yazılım yardımıyla sürekli kontrol edilerek sabit tutulmuştur. Bu işlemler esnasında bilgisayar D/A ve A/D kontrol kartının kullanılması da, istenen değerlere çok daha hassas yaklaşılmasını sağlamıştır. Sistemin girişindeki ve çıkışındaki frekansın uyumu da, evirici çıkışından alınan işaret ve doğrultucuya gelen işaretlerin karşılaştırılmasıyla kontrol edilmiştir. Bu işlemler için yapılan kontrolün genelleştirilmiş akış şemaları da ekte verilmiştir.

Dönüştürücüye gelen üç fazlı şebeke geriliminin her fazı veri eldesi kartı aracılığı ile ayrı ayrı örneklenerek bilgisayara gönderilmektedir. Bu örnekleme esnasında devreden gelen kesme işaretleri bulanık mantık alt programında değerlendirilerek kontrol işlemi gerçekleştirilmektedir. Yarı-iletken güç elemanlarının kontrolünde ise şebekenin sıfır geçişlerini yakalamak yerine fazların kesşim noktaları yakalanmaktadır. Bu kesimler yine bilgisayar programında değerlendirilmekte ve tristörler için gerekli tetikleme açıları üretilmektedir. Böylece şebekedeki genlik düşmesi, frekans değişimi gibi olaylarda tristörlerin iletme ve kesime girme noktalarının kaçırılması önlenmektedir.



Şekil 4.18. HVDC enerji taşıma sisteminin kontrol blok diyagramı.



Şekil 4.19. Ek E'de verilen gerçekleştirilmiş HVDC sisteminin blok şeması

Şekil 4.19'da blok şeması verilen devrenin girişine, laboratuar şartları sebebiyle 380 V gerilim verilmiştir. Devreden alınan bütün bilgiler bilgisayar ortamında C++ yazılımı ile kontrol edilen AD/DA kontrol kartına gelmektedir. Programa klavye yardımıyla daha önceden güvenlik sınır değerleri girilmiştir. İstenen güç, akım ve gerilim değerleri de yine klavye yardımıyla programa girilebilir. Bütün bu değerlere göre tetikleme ve söndürme açıları kontrolün temel işlemleri de dikkate alınarak belirlenir ve tristör gruplarına gönderilir. Alınan geri besleme işaretleri yardımıyla sistemin güvenli çalışıp çalışmadığı ve istenen değerlere ulaşılıp ulaşılmadığı da kontrol edilir. Sistem güvenli bir şekilde çalışmaya başladığında da bilgisayar bütün sistemi sürekli denetleyerek iletim hattının çalışmasını kontrol eder.

4. Bu devreden sayısal osiloskop yardımıyla alınan çıktılar ise Ek-D' de verilmiştir

## **BÖLÜM 5. BULANIK MANTIK VE SİSTEMİN BULANIK MANTIKLA KONTROLÜ**

### **5.1. Bulanık Mantık**

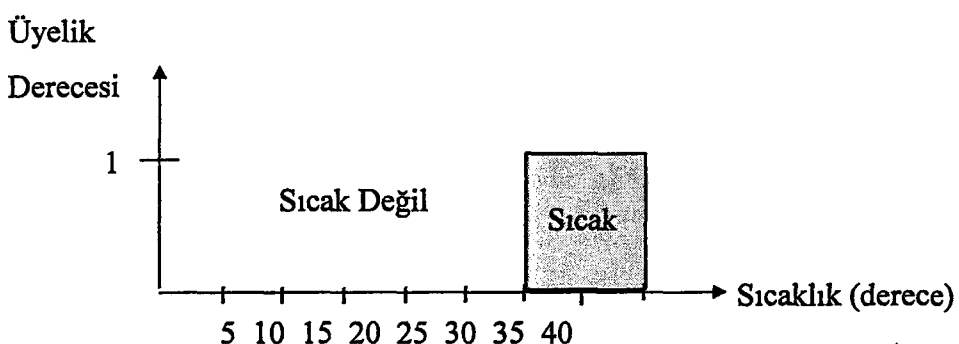
İnsan beyni sayısal bir işlemi birkaç dakikada yapmasına rağmen, idrak etmeye ait olayları birkaç saniyede çözebilecek kadar hızlıdır. Örneğin yolda giden şoför tehlike karşısında aniden fren yapar. Şoför o an hızının, yolun kayganlık derecesinin, önündeki tehlikeden uzaklaştığının vb. sayısal olarak kesin değerlerini bilmediği halde, geçmişte kazandığı deneyimlerden ve tehlikeyi idrak ettiğinden dolayı yanında tehlikeye karşı koyar. Bilgisayarlar ise çok karmaşık sayısal işlemleri birkaç saniyede yapabilmelerine rağmen, idrak etmeye ve deneyimlerle kazanılmış bilmeye ait konularda yetersiz ve yavaşırlar. İnsan beyni, hesaplamalar yapan bilgisayarlardan farklı olarak, sinirsel algılayıcılar vasıtasyyla kazanılmış görelî olarak sınıflandırılmış bilgileri kullanma temeline dayanır. İşte ilk defa 1965 yılında Lotfi A. Zadeh (California Üniversitesi'nden Azerbaycanlı bir profesör) tarafından ortaya atılan bulanık mantık teorisi, düşünsel ve kavramsal işlev ve görelî sınıflandırılmış üyelik fonksiyonları temeline dayandığından, bilgisayarlara ve bilgisayar destekli tasarımlara uygulanabilme açısından günümüzde oldukça değer kazanmıştır (Yager and Filev ,1994).

Bulanık mantık için, matematiğin gerçek dünyaya uyarlanması diyebiliriz. Çünkü gerçek dünyada her an değişen durumlardan değişik sonuçlar çıkabilir ve deneyimlerden yararlanmak gereklidir. Bulanık mantık, bir kişinin diğer ile konuşması veya diğerine açıklama yapmasına benzer olarak “soğuk”, “sıcak”, “yüksek”, “alçak” gibi dilsel değişkenleri kullanır. İkili durumları kullanan (sıcak-soğuk gibi) ikili mantıktan farklı olarak bulanık mantık, değişkenleri için ara durumları da (az sıcak, az soğuk gibi) kullanır. Bulanık mantığın özelliklerini şöyle sıralayabiliriz.

1. Bulanık küme dilsel değişkenleri göstermek için kullanılır.
2. Üyelik fonksiyonları bir bulanık kümede (sıcak, yüksek, hızlı) bir fiziksel değişkenin (ısı derecesi, basınç hız gibi) üyelik derecesini tanımlamak için kullanılır.
3. Bulanık operatörler bulanık ifadeler arasında mantıksal ilişkilere hız verir. Bunlarla EĞER-O HALDE (IF-THEN) türünden üretim kuralları, uzman sistemlerde kullanılan metoda benzer olarak, sembolik yoldan (yani dilsel olarak) formüle edilebilir.
4. Bulanık çıkarım, mevcut olan bilgiden, kurallara dayanarak yeni bilgiler elde etme yoludur (Smith, 1994).

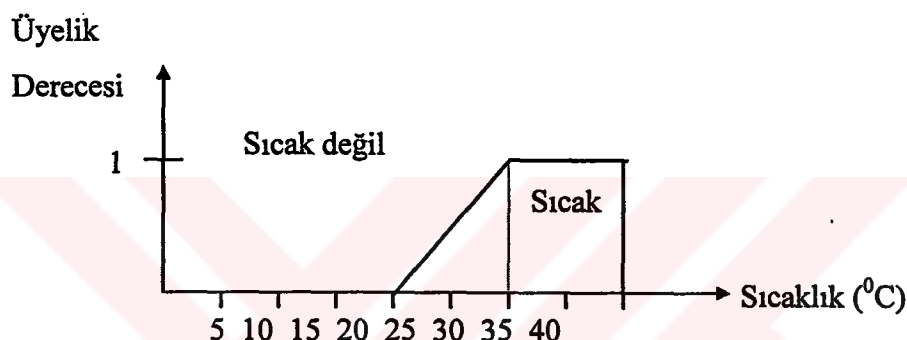
### 5.1.1. Bulanık Küme Teorisi

Klasik küme teorisinde bir eleman o kümenin ya elemanıdır ya da değildir. Kısmi üyelik olamaz. Şekil 5.1'de bu durum görülmektedir. Eğer sıcaklık 30 derecenin altına düşerse sıcak değildir. Yani klasik mantık teorisine göre 29.5 derece sıcak değildir. Doğal olarak bu mantığın hiçbir esnekliği yoktur. Gerçek dünyada ise sınırlar bu kadar keskin değildir. Tam tersine, olayların belli bir esneklikte olması istenir.



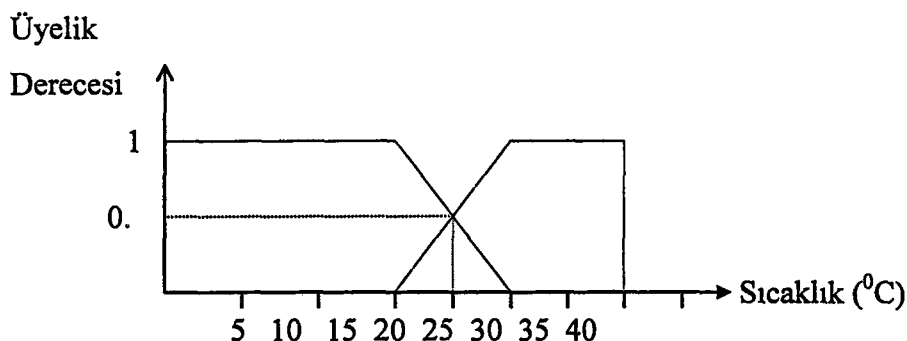
Şekil 5.1. Klasik küme teorisi

Bulanık mantık soğuk-sıcak, hızlı-yavaş, yüksek-alçak gibi ikili değişkenlerden oluşan dünyayı, az soğuk-az sıcak, az hızlı-az yavaş, az yüksek-az alçak gibi esnek niteleyicilerle yumuşatarak gerçek dünyaya benzetir. Şekil 5.2'de, sıcaklık gibi değişkenleri, gerçekte gözlenen değerine daha yakın veren bulanık küme teorisi görülmektedir. Buna göre 20 derece ile 40 derece arasındaki değerlerin, sıcak bulanık küme üyelik derecesi çıkışmış olur. Burada sıcak bulanık küme üyelik derecesinde 30 derecede 1 olan maksimumdan, 20 derecede 0 olan minimuma doğru kademelendirilmiş bir azalma vardır.



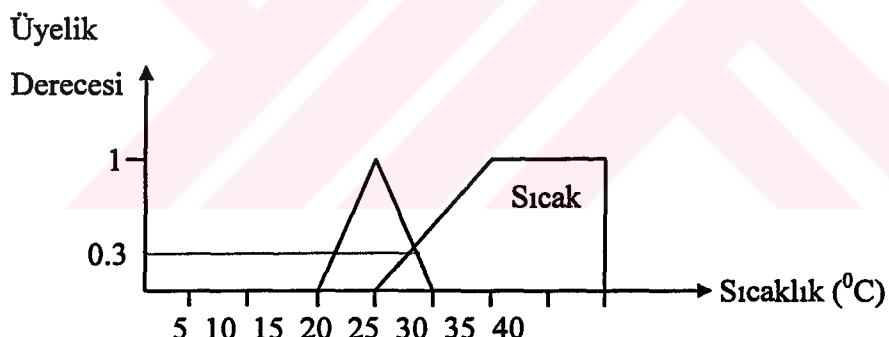
Şekil 5.2. Bulanık küme teorisi

Şekil 5.3'de ise bulanık mantık teorisinin bir adım daha ileri safhası görülmektedir. Sıcak bulanık küme üyelik derecesi, 0,5'de soğuk bulanık küme üyeliği kimliğini kazanır. Soğuk bulanık küme üyeliğinin derecesi, sıcaklık azaldığında artar. Buna göre 0'dan 15 dereceye kadar olan sıcaklık oldukça soğuk sayılır ve bu bölge soğuk bulanık küme tam üyeliğine sahiptir. 15 derece ile 25 derece arasında ise soğuk bulanık küme üyeliği vardır. 15 derece ile 25 derece arasında ise bulanık kümelerin birbirini kestiği durum olan örtüşüm ortaya çıkmaktadır. Örtüşüm bölgesindeki elemanlar hem sıcak hem soğuk kümelenin elemanıdır.



Şekil 5.3. Bulanık kümede örtüşüm

Yukarıda verilen örnekler bulanık olmayan girişler için geçerli olmasına rağmen, bulanık mantık teorisinde bazen girişler de bulanık olabilir. Bu durumda bulanık küme üyelik derecesi, bulanık küme ve bulanık giriş değeri arasındaki kesişim bölgесinden belirlenir. Bu durum Şekil 5.4'de gösterilmiştir ve üyelik derecesi yaklaşık 0.3'dür.

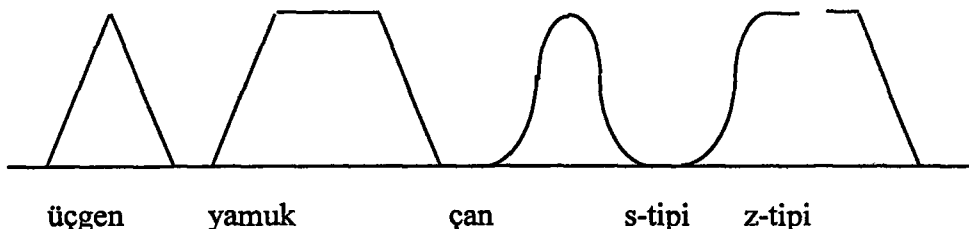


Şekil 5.4. Bulanık giriş değişkeninin üyelik derecesi

### 5.1.2. Bulanık Fonksiyonlar

Bir bulanık küme, izin verilen belli üyelik özelliğine sahiptir. Gerçekte, bir elemanın kümenin bir parçası olup olmadığı keskin veya konvansiyonel kümenin aksine, verilen bir eleman bulanık kümenin 0'dan bire kadar değişen bir üyelik derecesi

vardır (Sousa and Bose,1995). Bu üyelik fonksiyonu Şekil 5.5'de gösterildiği gibi üçgen (triangular), yamuk (trapezoidal), çan (singular), s tipi, z tipi olabilir.



Şekil 5.5. Çeşitli tiplerde üyelik fonksiyonları

### 5.1.3. Bulanık Kurallar

Bulanık kümeler sistem girişleri ve çıkışları için kullanılır, fakat bu giriş ve çıkışlar üzerine kurulu olan bulanık sistemi kurmak ve tanımak için bazı kuralları vermek zorunludur. Bulanık kuralların biçimini bazı açılarından geleneksel mantığa çok benzer biçimde aşağıdaki gibi verilebilir.

IF (EĞER)  $\Rightarrow$  1. giriş değeri

AND (VE)  $\Rightarrow$  2. giriş değeri

THEN (O HALDE)  $\Rightarrow$  çıkış değeri

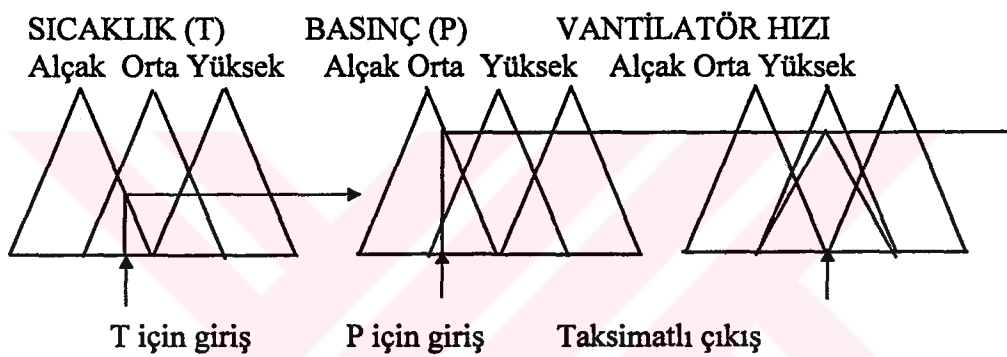
Geleneksel mantıktan farklı olarak bulanık mantıktaki kurallar kesinlikten uzak ve esnektir. Herhangi bir bulanık sisteme her biri "daha büyük veya daha küçük" veya "doğru veya yanlış" ifadeleri üzerine kurulu önermeleri içeren bulanık kurallar vardır. Bir sonraki safha ise, okunan girişler üzerine kurulu olan her bir kural için bir çıkış değeri ifade etmeyi içerir. Kısaca girişlere kural uygulaması yapılır.

Bulanık mantığın, bulanık kümeleri ve kuralları bir araya toplamasıyla bir denetim yüzeyi oluşturmasından dolayı, bir sistemin matematiksel davranışını tam olarak belli olmadan da denetleyiciler rahatlıkla tasarlanabilir (Teixeira, and et al.,1994)..

#### 5.1.4. Bulanık Çıkarım

Klasik mantıkta, verilen önermelerden bir sonuca varmaya "Çıkarım" denmektedir. Klasik mantıkta önermeler kesin ve açıkta, çıkış ise önermelerin birbirleriyle tam olarak uyusduğu zaman yapılabilir.

Bulanık sistemlerde girişler orta, soğuk, yüksek gibi dilsel değişkenlerden oluştuğundan dolayı; bu girişler hakkında sonuca varma ve karar verme ancak EĞER - O HALDE (IF - THEN) türünden kuralların kullanılması ile mümkündür. Şekil 5.6'da bulanık çıkışının nasıl yapıldığı görülmektedir.



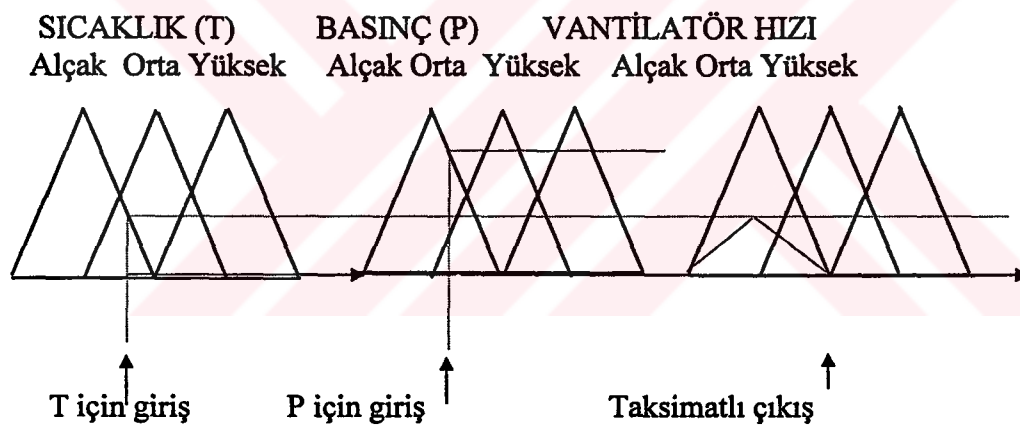
Şekil 5.6. Bulanık çıkışım

Gösterilen sistem sıcaklık ve basınç olmak üzere iki giriş değişkenine ve vantilatör hızı denilen çıkış değişkenine sahiptir. Her giriş değişkeni ise alçak, orta, yüksek olmak üzere üç bulanık kümeye sahiptir. Daha önce belirtildiği gibi herhangi bir sistem için çok sayıda kural olmasına rağmen burada sadece bir kural gösterilmiştir.

- Bulanık sisteme gelen iki giriş (sıcaklık ve basınç) okunur. Kural girişlere uygulandıktan sonra bir çıkış değeri elde edilir. Kuralda uygulanan test eğer OR (VEYA) ise o zaman çıkış, girişin maksimum üyelik derecesine göre taksimatlanır.

Bu örnekte çıkış fonksiyonu sıcaklık için alçak bulanık kümede T giriş değerinin üyelik derecesine göre ve basınç için alçak bulanık kümede P'nin üyelik derecesine göre taksimatlandırılmıştır. Çünkü vantilatör hızı orta bulanık kümesine OR testinin uygulanan kuralın giriş üyeliğinin maksimum derecesine göre taksimatlandırılmıştır.

Şekil 5.7'de görüldüğü gibi ikinci kural bir VE (AND) testidir. Eğer bir VE testi uygulanırsa o zaman çıkış değeri, giriş üyelik derecesinin minimumuna göre derecelendirilir. Giriş değişkenlerinin üyelik derecesine göre, alçak bulanık kümenin çıkış değişkenleri taksimatlandırılmıştır. Bulanık mantık temeline dayanan bu çıkarımın net sonucu, harekete geçen her bir kural için, çok sayıda taksimatlandırılmış çıkış fonksiyonunun mevcudiyetine bağlıdır. Bu örnekte vantilatör hızının belirli bir değerde çalışması istenildiğinden; bu bulanık değerden kesin bir değere geçmek gerekir. Bu da bulanık değerden kesin değere geçme denilen "Durulaştırma" ile mümkündür (Schaefer,1993)..



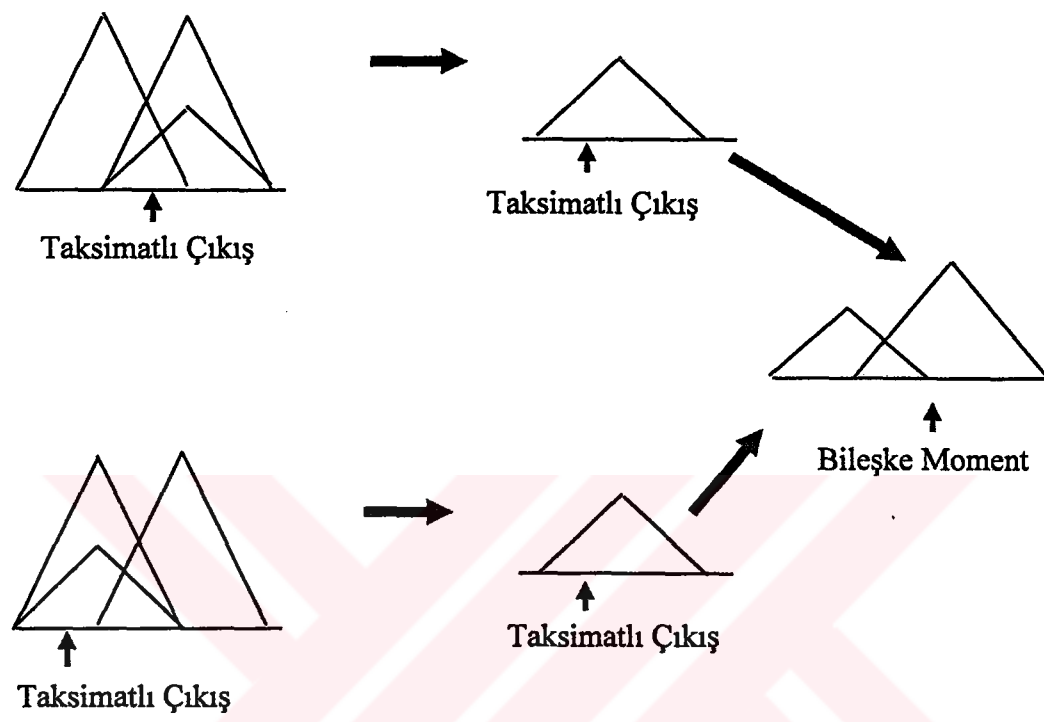
*EĞER (Sıcaklık alçaksa) VE (basınç alçaksa) O Halde vantilatör hızı ortadır.*

Şekil 5.7. İki bulanık kuralla bulanık çıkarım

#### 5.1.5. Durulaştırma Metodu

Durulaştırmaya ilişkin birkaç metot olmasına rağmen, bunlardan en çok bileşke maksimum ve moment, yani orta alma metodu yaygındır. Durulaştırma işlemi bu örnekte orta alma metodu kullanılarak yapılmıştır. Orta alma metodunu kullanan

durulaştırma işlemi, uygulanan bulanık kuralların bir sonucu olarak elde edilen taksimatlandırılmış çıkışların birleşimi ve elde edilen bileşke alanın ağırlık merkezinin hesaplanması olarak düşünülür. Şekil 5.8'de orta alarak durulaştırma metodunu görmektedir.



**Şekil 5.8. Orta alma durulaştırma metodu**

#### **5.1.6. Bulanık Mantığın Uygulama Alanları**

Bulanık mantığın ilk uygulama alanları çimento sanayii ve su arıtma sistemleri olmuştur. Daha sonra buhar turbini, nükleer reaktör, asansör, ve vinç denetimi gibi değişik alanlarda da bulanık mantıktan yararlanılmıştır. Özellikle Japonya'da çok geniş uygulama alanı bulmuştur. Bir metro sisteminde kullanılan bulanık mantık çok başarılı olmuş ve bu olaydan sonra Japonya'da bulanık mantık çok rağbet görmüştür. 1990'da bulanık mantık fotoğraf makinelerinden ev aletlerine ve hatta borsaya kadar çok değişik alanlarda kullanılmıştır (Raviraj and Sen,1995)..

Günümüzde, bulanık mantık uygulamalarına yönelik yazılım ve donanımlar piyasada hazır şekilde kullanıcılar sunulmuştur. Hatta bulanık mikroişlemciler de

pazarlanmaktadır (Jamshidi et al., 1993). Panasonic firmasının tasarımını yaptığı video kayıt cihazının, elle tutulması durumunda çekim sırasındaki sarsıntıları ortadan kaldırması, Subaru ve Nissan firmalarının birlikte gerçekleştirdikleri otomobil vites sisteminde, araba kullanış sitilinin ve motor yükünün sezilerek uygun dişli oranının seçimi, yine Nissan tarafından gerçekleştirilen ABS fren sistemleri, Fujitsu, Toshiba, Hitachi ve Mitsubishi'nin gerçekleştirdikleri büyük asansör denetim sistemleri, Matsushita firmasının tasarımını yaptığı çamaşır makinesinde çamaşırın kirliliğine, ağırlığına ve kumaşın cinsine göre yıkama programı seçen sistemler bulanık mantığın kullanıldığı ilginç örneklerdendir.

NASA'da bir grup araştırmacı, bulanık mantıktan yararlanarak, uzay mekiğinin yakıt tüketimini üç kat azaltmayı ve sistem güvenilirliğinin artmasını sağlamışlardır. Bugün ABD, Japonya, Çin ve Batı Avrupa ülkeleri başta olmak üzere otuza yakın ülke bulanık mantık üzerine araştırmalar yapmaktadır. Uygulama açısından Japonya'nın daha önde olduğunu görüyoruz.

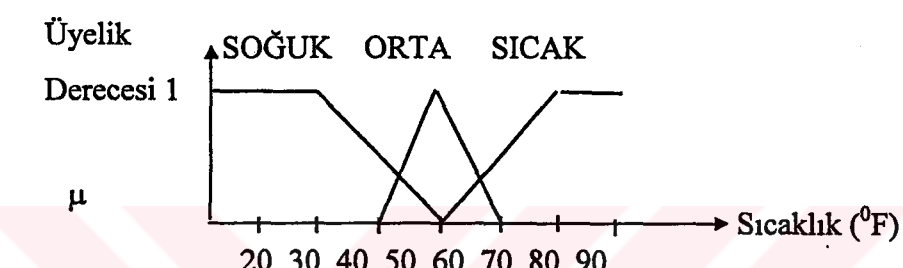
Kontrol edilecek sistem, klasik veya modern kontrol teknikleri ile iyi kontrol edilemediğinde, sürecin bulanık kontrolü bir alternatif oluşturmaktadır. Bu tip geleneksel teknikler, oldukça zor matematiksel modellere ve genellikle süreç şartlarındaki değişimleri gösterebilen ölçümlere bağlıdır.

Birçok süreçte, bu tip modeller çıkartmak ve doğru ölçümler yapmak oldukça zordur. Kontrolün zor olduğu bu tip karmaşık süreç örnekleri, çimento fırınları, çelik fırınları, atık su temizleme istasyonları, DNA üretimi, çok aşamalı çöp imha tesisleri, metal kesme makineleri ve üretim tesisleridir. Buna benzer durumlarda, kontrol kurallarının seçimi farklı olmak üzere, bulanık kontrol gerçekleştirilebilir.

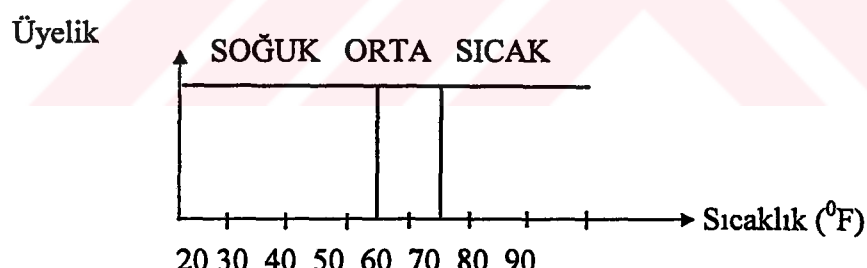
### **5.1.7. Bulanık İşlemler**

Bir bulanık kümenin en belirgin özelliği kısmi üyeliğe izin vermesidir. Aslında klasik küme teorisinin tersine, bulanık küme teorisinde, verilen bir eleman 0 (üye değil) ile 1 (tam üye) arasında değişen bir üyelik derecesi ile bir bulanık kümenin elemanı

olabilir (Bose, 1994a). Şekil 5.9'da faraziye bir sıcaklık kontrol sisteminde bu fark gösterilmektedir. Şekil 5.9a'da geleneksel sınıflama şöyle verilmektedir. Örneğin,  $T=67^{\circ}\text{F}$  sıcaklık değeri yalnızca SICAK kümenin bir elemanıdır. Tersine, Şekil 5.9b'de ise sıcaklık bir bulanık değişken olarak tanımlanmış ve  $T=67^{\circ}\text{F}$  her iki kümenin (ORTA ve SICAK) kısmi üyesi kabul edilmektedir. Dil bilginin aktarımında en temel yol olduğundan, bulanık değişkenler dilsel (linguistic) değişkenler olarak alınmaktadır (Örneğin, Şekil 5.9'de SOĞUK, İLİK ve SICAK gibi). Bir bulanık değişkenin tanımlandığı sayısal aralık genellikle "Tanım Uzayı" olarak isimlendirilir (Şekil 5.9'de [20,90]).



(a)



(b)

Şekil 5.9.a) Geleneksel küme kullanarak sıcaklık gösterimi  
b) Bulanık küme kullanarak sıcaklık gösterimi

Bulanık kontrol teorisi oldukça yeni olduğundan bulanık mantık ve bulanık kontrol ile ilgili temel kavram ve işlemlerin açıklanması yararlı olacaktır.

*Birleşim:* X uzayında tanımlı A ve B iki bulanık küme verilmiş olsun, birleşim ( $A \cup B$ ) de üyelik fonksiyonu aşağıda verildiği gibi X'in bir bulanık alt kümesidir (Mendel,1995).

$$\mu_{A \cup B}(x) = \text{Max} [\mu_A(x), \mu_B(x)] \quad (5.1)$$

Burada x, X uzayının herhangi bir elemanıdır.

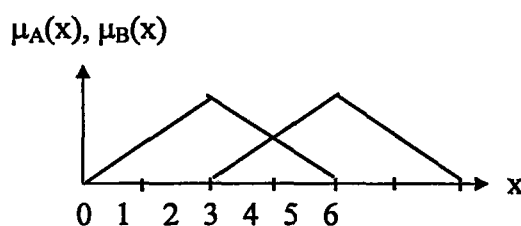
*Kesişim:* X uzayındaki A ve B iki bulanık kümeyi kesişimi,  $A \cap B$  ile gösterilir ve aşağıdaki üyelik fonksiyonu ile temsil edilir.

$$\mu_{A \cap B}(x) = \text{Min} [\mu_A(x), \mu_B(x)] \quad (5.2)$$

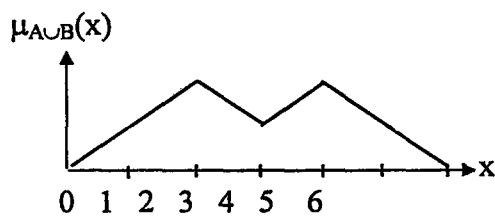
*Tümleyen (evrik, değil):* X uzayındaki bir A bulanık alt kümeyi tümleyeni  $\neg A$  ile gösterilir ve aşağıda verilen üyelik fonksiyonu ile temsil edilir.

$$\mu_{\neg A} = 1 - \mu_A(x) \quad (5.3)$$

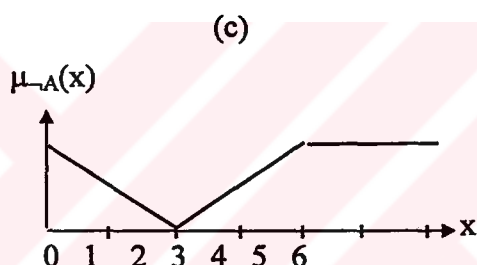
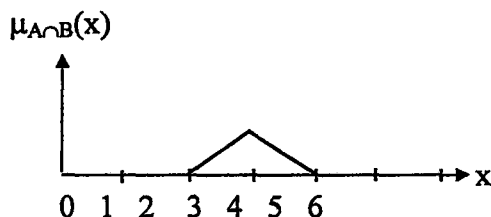
Şekil 5.10'da bu üç temel işlem gösterilmektedir.



(a)



(b)



(d)

- Şekil 5.10. a) İki bulanık kümelerin,  
 b) birleşimi  
 c) kesişimi  
 d) tümleyeni

Bulanık kontrolde bulanık kurallar ve bulanık düzenlemeler önemlidir. Tipik bir EĞER - O HALDE (IF - THEN) kural düzeni aşağıdaki gibi olmaktadır.

IF ( $x = A$  AND  $y = B$ ) THEN ( $z = C$ )

Burada  $x$ ,  $y$  ve  $z$  bulanık değişkenler;  $A$ ,  $B$  ve  $C$  ise  $X$ ,  $Y$  ve  $Z$  uzayına karşılık gelen bulanık alt kümelerdir. Şart önce gelen IF kısmında verilirse, hareket veya sonuç ise

sonra gelen THEN kısmında ifade edilmektedir. Bir bulanık kontrol düzeneği tasarlamak için, birçok kuraldan meydana gelen bir bulanık kural tabanı oluşturulmalıdır. Örneğin; kontrol sinyali (DU) değişimini belirlemek için, hız hatası (E) ve hata değişiminin (CE) kullanıldığı bir hız kontrol sistemi düşünülebilir. Kural tabanı bir bölümü de aşağıdaki gibi olmaktadır (S=Sıfır, NK=Negatif Küçük, PK=Pozitif Küçük).

Kural 1: IF E = S AND CE = S THEN DU = S;

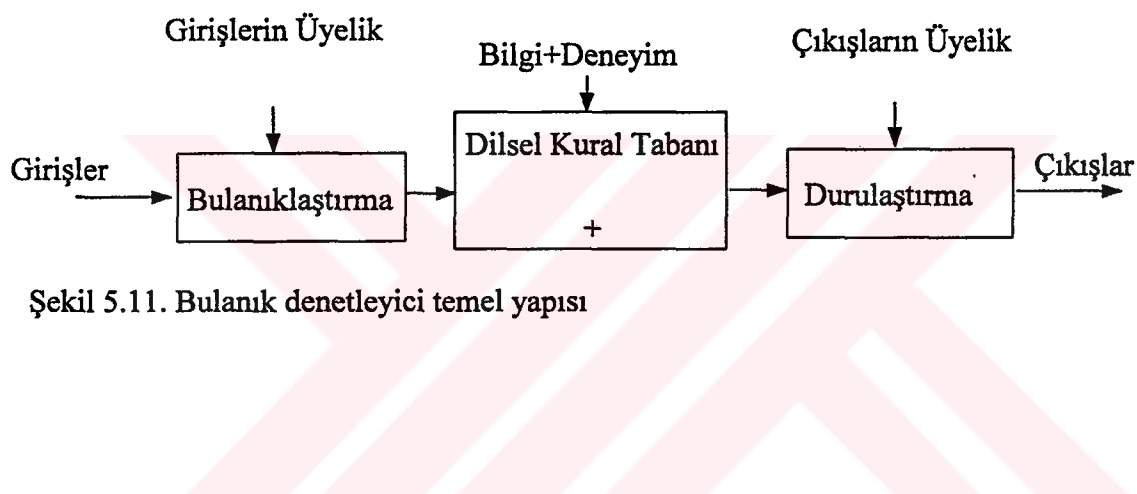
Kural 2: IF E = S AND CE = NK THEN DU = NK;

Kural 3: IF E = PK AND CE = NK THEN DU = S;

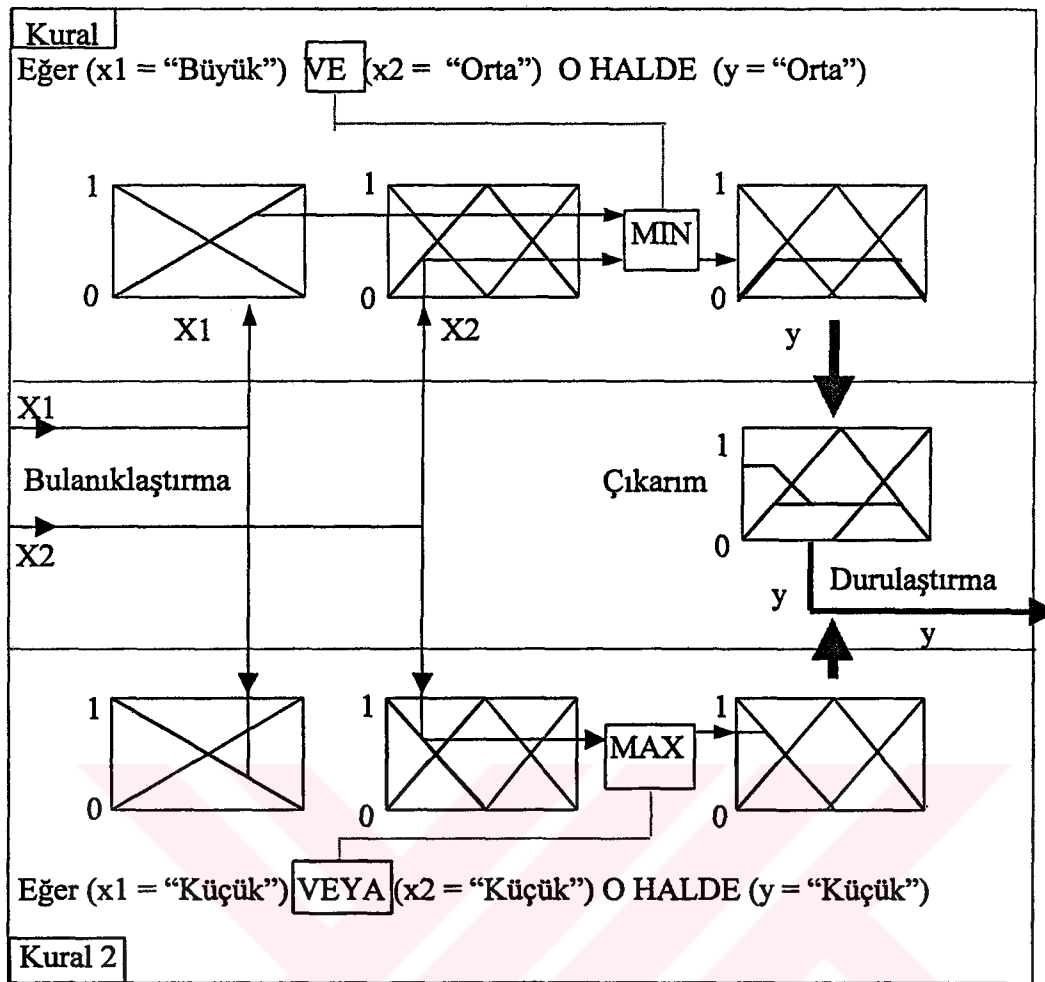
Bulanık kontrol; büyük, küçük, çok zayıf, çok sıcak, biraz soğuk, pozitif orta, negatif küçük gibi dilsel etiketler ile tanımlanan bulanık kümelere dayalı olarak gerçekleştirilir. Bu tür dilsel etiketlerin kullanımı, sistemin durumunu ifade etmeyi kolaylaştırdığı gibi istenen kontrol hareketini, günlük dille ifade etmeyi mümkün kılmaktadır. Sistemi tanımlamak için, her bir değişkenin tanım uzayı, daha önceden belirlenen referans bulanık kümeler ailesi ile kapsanır. Gerçek bir değerin belirsizliği, bir bulanık kümede üyelik derecesi ile ifade edilir. Değişkenin tanım uzayında belirlenen bir bulanık kümelenin büyülüklüğü ile ilgili fonksiyonda “üyelik fonksiyonu” olarak isimlendirilir (Schwartz et al.,1994).

gerçekleştirilmektedir. Durulaştırma bloğu, sonuçlandırılmış kontrol hareketini sürekli bir sinyale çevirmektedir (Qin,1994).

Sistem belirsizliği bulanıklaştırma ile kontrole girer ve üyelik fonksiyonları ile ifade edilir. Sistem davranış bilgisi, sistemin giriş/çıkış davranışını temsil eden ve bir bulanık ilişki ile temsil edilebilen dilsel kurallar yardımıyla sisteme aktarılır daha sonra bulanık çıkarımla da geliştirilir. Bulanık kontrol sisteminin giriş ve çıkışları keskin değerlerdir ve ilişkisi ise tamamıyla deterministik (karar tabanlı). Şekil 5.12de ise iki kurallı,  $x_1$  ve  $x_2$  adlı iki girişli, ve y çıkışlı bulanık kontrolcü çıkarım mekanizması görülmektedir.

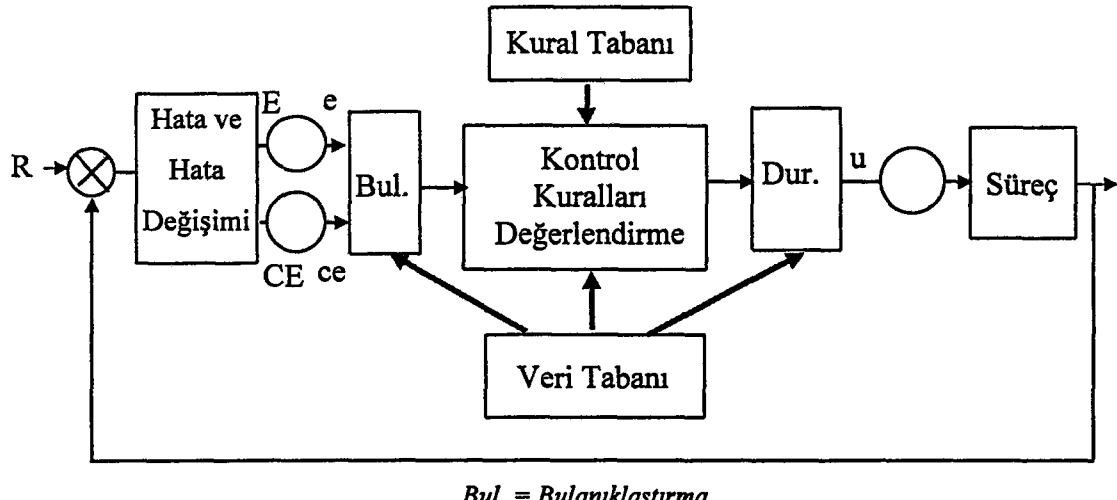


Şekil 5.11. Bulanık denetleyici temel yapısı



Şekil 5.12. Bulanık kontrolcü çıkışım mekanizması

Bulanık kontrol sisteminin daha genel yapısı Şekil 5.13'de verilmektedir. U kontrol sinyali, hata ( $e$ ) ve hata değişimi ( $ce$ ) ( $de/dt$  örneklemme aralığı) olarak iki değişkenden elde edilmektedir.  $e$  ve  $ce$  değerleri, gerçek E ve CE sinyallerinin kazanç faktörlerine bölünmesi ile türetilen per ünit ( $pu$ ) sinyallerdir. Bütün klasik giriş işaretleri bulanık denetleyicide işlenmeden önce bulanık kümelere dönüştürülmemektedir. Bu işleme "Bulanıklaştırma" adı verilir. Aynı şekilde, bulanık denetleyici çıkışının da sistem tarafından istenen klasik (analog veya dijital) değere dönüştürülmesi gereklidir. Bu işlem de "Durulaştırma" adını almaktadır. Durulaştırma işlemi "Ağırlık Merkezi" veya "Yükseklik" gibi yöntemler ile gerçekleştirilebilir. Şekildeki veri tabanı bloğu, kontrol kurallarında bulanıklaşdırma ve durulaştırma işlemlerinde kullanılacak bulanık alt kümelerin işlemsel tanımlamalarını vermektedir (Bose, 1994b)



Şekil 5.13. Bulanık kontrol sisteminin genel yapısı

Bulanık kontrolün en önemli iki özelliği, insan deneyiminin sisteme kolayca eklenebilmesi ve bulanık mantık, üyelik fonksiyonları, kurallar ve durulaştırma sayesinde doğrusal olmayan bir ilişki sağlamasıdır. İnsan kullanıcı deneyimlerinin geçerli olduğu ve geleneksel kontrol teknolojilerinin yeterli olmadığı süreç kontrolleri için bulanık kontrol yukarıda açıklanan nedenlerle en ümit verici teknoloji olarak görülmektedir (Lin and Hwang, 1995).

Bulanık kontrolün insan düşünüş tarzına yakın olması, matematiksel modele ihtiyaç duymaması uygulamalarının hızlı ve ucuz mal olması gibi bazı avantajlarına rağmen en önemli sınırlaması kontrol sisteminin analizi ve tasarımu için sistematik bir yöntem bulunmamasıdır. Genellikle oldukça zaman alıcı bir yöntem olan deneme yanılma iteratif yöntemi kullanılır. Bulanık kontrol ile ilgili diğer bazı güçlükler aşağıdaki gibi sıralanabilmektedir.

1. Tam bir kural tabanının olmaması. Denetleyici, sürecin her durumu için anlamlı bir kontrol işaretini vermelidir. Kurallar deneyime bağlıdır.
2. Alt kümelerin üst üste çakışması (overlap), veri miktarı ve üyelik fonksiyonlarının biçiminin seçimi gibi konularda kesin bir ölçü veya kriter yoktur. Deneme en uygun yoldur.

3. Bulanıklığın tanımlanması, kontrol kurallarının açıklanması zordur.
4. Veri tabanı oluşturma ve durulaştırma işlemi zordur.
5. Kontrol edilen sistemin kararlılık analizi bilinen yöntemlerle yapılamaz.

Yapılacak tek şey benzetim çalışmasıdır. Bu yönde bazı çalışmalar yapılmaktadır. Güç elektronikinde bulanık kontrol teorisi uygulaması çok yendir. Bir güç elektroniği sistemi genelde, parametreleri değişen doğrusal olmayan karmaşık bir modele sahiptir ve kontrolün hızlı olması istenir (Calderon et al.,1994).

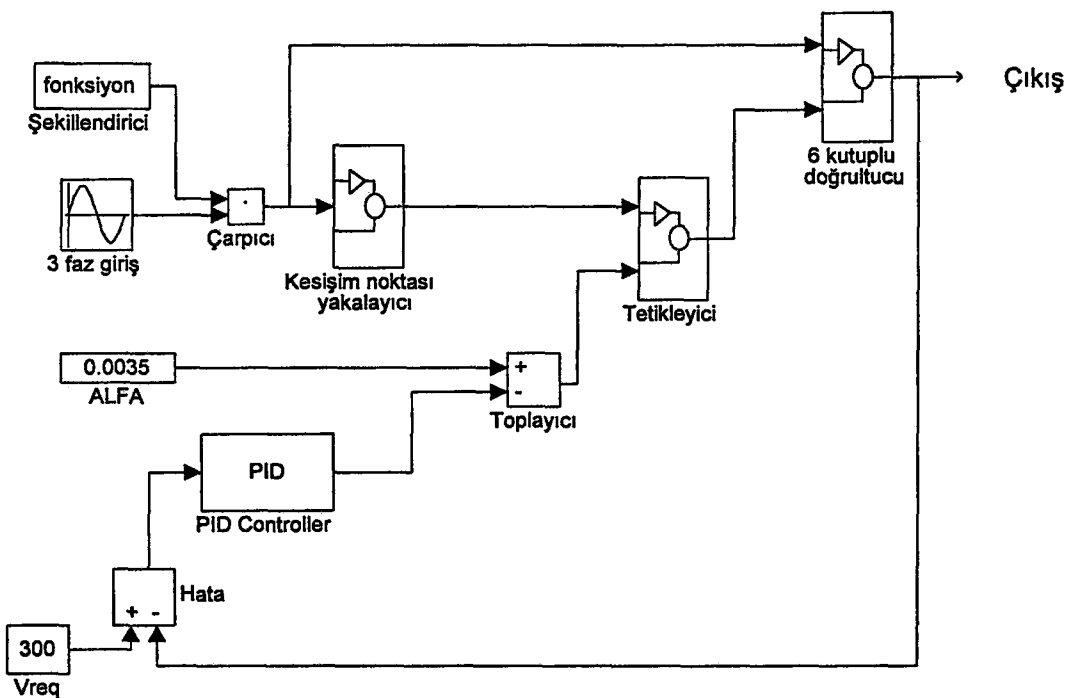
### **5.3. Sistemin Bulanık Mantıkla Denetimi**

Daha önceki bölümde sistemin geleneksel kontrol sistemleri kullanılarak denetimi PC aracılığıyla fiziksel gerçeklemesi yapılmıştı. Bu bölümde sistem MATLAB programı kullanılarak SIMULINK ve FUZZY TOOL arabirim programları kullanılarak benzetimi gerçeklenecektir (Matlab Works Inc.,1995). Ayrıca aynı sistem PID kontrolü kullanılarak ta denetlenmiş ve bulanık denetimle karşılaştırma imkanı vermiştir.

HVDC sistemi iki ayrı kısımda düşünüldüğünde dönüştürücü ve evirci olarak ayırt edilebilir. Dönüştürücü kısmında çıkıştan örneklenen ortalama gerilim değeri kontrol girişi ile toplanarak hata değeri elde edilmiş ve bu hatanın azaltılması için PID ve bulanık kontrol denetleyicileri kullanılmıştır (Ölcer ve diğ., 1997c).

#### **5.3.1 Dönüştürücünün Benzetimi**

Dönüştürücünün benzetimi için tasarlanan sistem (EK-F)'de gösterildiği gibidir. Çıkış geriliminin ortalama değeri üzerinden alınan örnekler ile dönüştürücü çıkışında istenen değer arasındaki fark kapalı çevrimdeki hatanın bulunmasına neden olur. Hatanın azaltılması için sistemin doğrusal olmayan yapısını doğrusallaştırmak için PID kontrolör veya bulanık mantık denetleyici kullanılmaktadır.



Şekil 5.14. Dönüştürücünün PID kontrolü için düzenlenmiş basit kontrol diyagramı

1

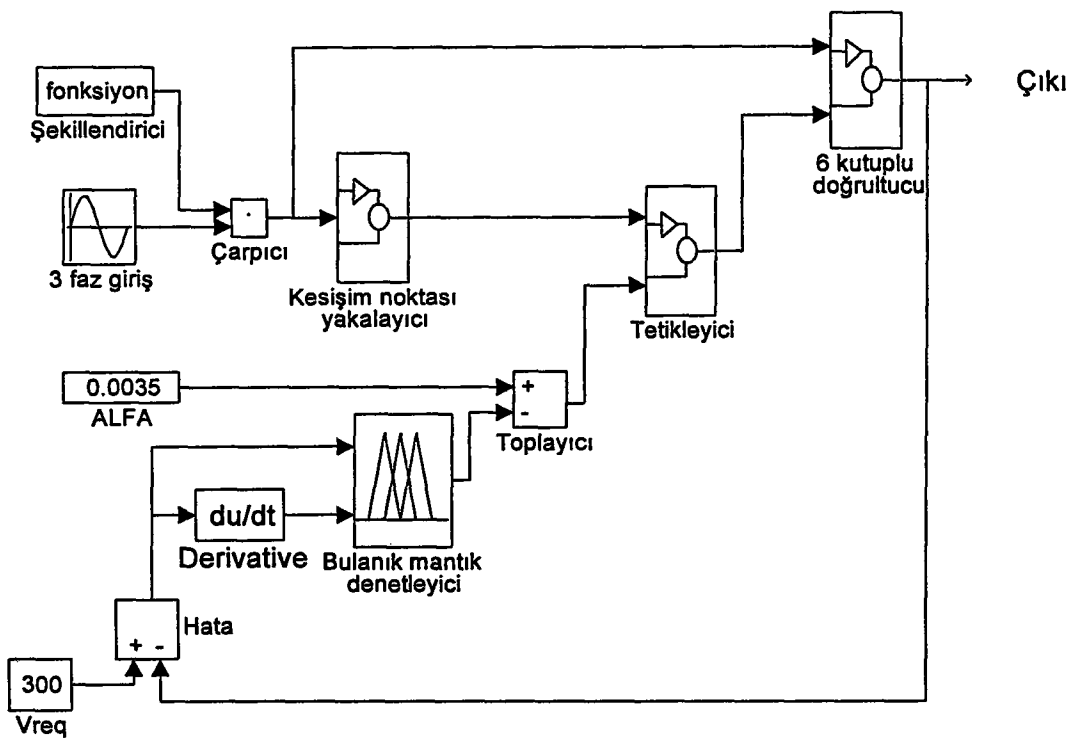
PID kontrolü kullanılarak düzenlenmiş basit diyagramda 3 fazlı gerilim girişi bir şekillendirici fonksiyonla çarpılarak kesişim noktasına gönderilmektedir. Şekillendirici 3 fazlı sinüzoidal giriş gerilimi üzerinde istenen genlik değişimlerini sağlamak amacıyla şekil bozucu veya düzenleyici olarak kullanılmıştır. Bu sayede faz genlikleri istenen şekilde fonksiyonel olarak değiştirilebilmektedir. Buradaki amaç kontrol yöntemlerinin giriş faz genliklerinde olacak değişimleri çıkışa yansıtıp yansımadığını kontrol edebilmektir. Ayrıca kesişim noktası yakalayıcı için faz kesişim noktalarının genliğinin istediği şekilde değişimlerini sağlayarak faz kesişimlerinin yakalanıp yakalanmadığı gözlemlenmektedir.

Kesişim noktası yakalayıcı her fazın kesiştiği noktaları yakalayarak dönüştürücüdeki tristör grupları için tetikleme başlangıç noktalarını tespit eder. Bu ünite sayesinde fazlardaki kaymalar nedeniyle doğrultucudaki yanlış tetiklenmeler ortadan kaldırılmıştır. Herhangi bir fazdaki ani yükselme ve düşmeler fazlar arası kesişim noktalarını değiştireceğinden bu noktaların değişmesi ile doğrultucu çıkışında

olacak hatalar giderilmektedir. Bu aynı zamanda tristörlerin yanlış açılarda tetiklenmelerini de önleyeceğinden tristörlerin sağlıklı çalışmasına neden olur. Altı kutuplu doğrultucu bloğunda 6 adet tristör benzetimi yer almaktadır. Tristörlerin kapı girişlerine gelen uygun tetikleme darbeleri bir önceki kesişim noktası yakalayıcıdan gelmektedir. Bu tetikleme darbeleri ALFA tetikleme gecikme açısı için bir başlangıç noktası oluşturmaktadır. Tetikleme açısının büyük değerlere gitmemesi için EK-F'de gösterildiği şekilde bir sınırlandırılmıştır. Bu sayede büyük tetikleme açıları üretilmeyeceği için sistem çıkışında düzensizlikler olmaz.

Altı kutuplu doğrultucu çıkışında elde edilen çıkış genlik değeri örneklenderek istenen çıkış Vreq toplanmıştır. İstenen çıkış ile güncel çıkış arasındaki hata değeri PID denetleyici için girişi oluşturmaktadır. PID denetleyici hatayı en aza indirecek yeni tetikleme açısını üretir. Bu çevrim sayesinde Hata belli bir süre istenen hata aralığına kadar düşer.

Aynı sistem bulanık mantık denetleyici için aşağıdaki şekilde düzenlenir;

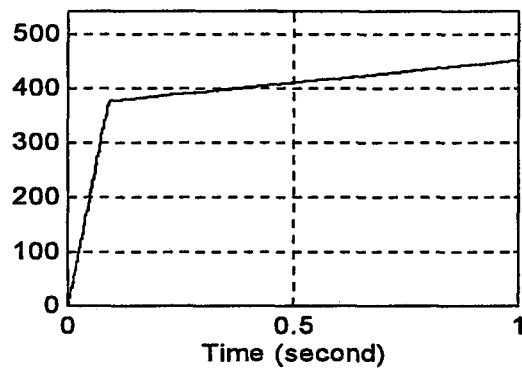


Şekil 5.15. Dönüştürücünün bulanık mantık denetleyici için düzenlenmiş basit kontrol diyagramı

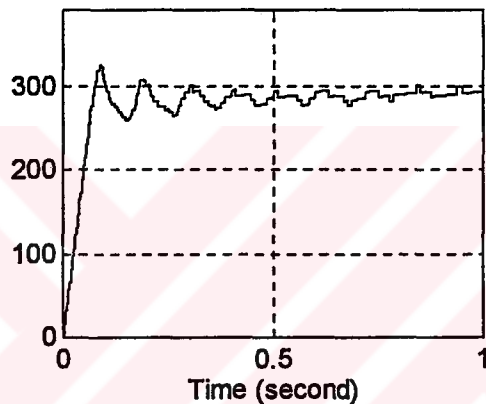
Bulanık mantık denetleyici PID kontrolü için tasarlanmış sistem gibi aynı ünitelerle tasarlanmıştır. Ancak bulanık kontrol için hatanın dışında hatanın değişimi de gerekeceğinden hatanın türevi alınmıştır. Yine, amaç, çıkış genlik hatasının en aza indirilmesidir.

### 5.3.1.1. Dönüştürücünün PID kontrolü

İstenen çıkış değeri ile o anki çıkış değeri arasındaki farkın en aza indirilmesi için hatanın oranı, türevi ve entegrali alınarak PID çıkışında bir değer üretilir. Bu değer tristörlerin tetiklenmesi için gerekli ateşleme açısını değiştirir. Böylece çıkışta hatanın azalması yönünde bir değişme gözlenir.  $V_{req} = 300$  v için elde edilen ortalama çıkış eğrisi aşağıdaki gibidir.

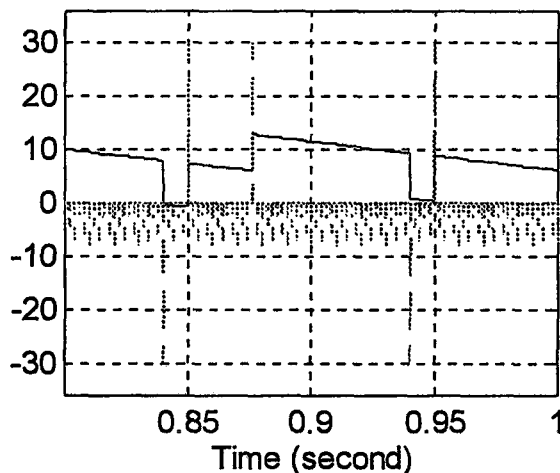


Şekil 5.16 Kontrolsüz dönüştürücünün açık çevrim ortalama çıkış eğrisi  
gerilim(Volt)/zaman(sn)



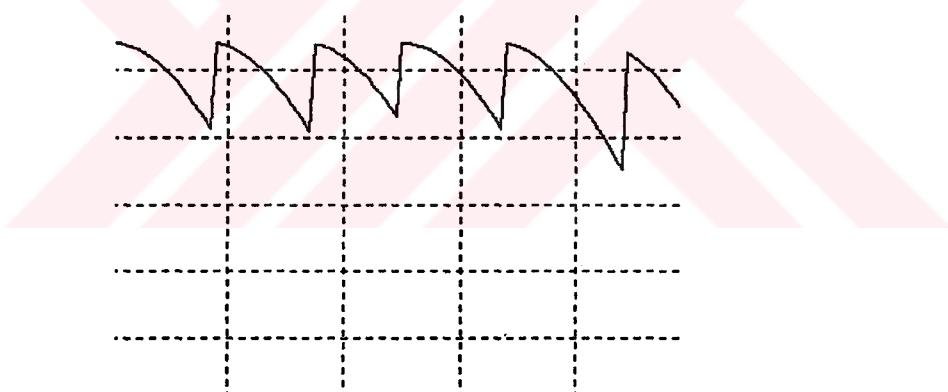
Şekil 5.17  $V_{req}=300$  volt için PID kontrollü dönüştürücünün ortalama çıkış eğrisi  
gerilim(Volt/sn)

İstenen değer 300 volta ortalama çıkış değerine oturması için istenen en fazla hata gerilimi aralığına oturması için  $[(-10;10) \text{ volt}]$  1 sn'lik bir süre geçmektedir.



Şekil 5.18  $V_{req}=300$  volt için PID kontrollü dönüştürücünün hata ve hata değişimi (keskin çizgili) gerilim (Volt/sn)

$V_{req}=300$  volt değerine oturması için geçen sürenin son 20 ms'lik kısmının hata ve hata değişiminin çıkış eğrisi yukarıdaki gibidir. Hatanın son periyotta daha azaldığı görülmektedir. Hata değerinin +10 volt değerinin altına inmesi istenen durumdur.

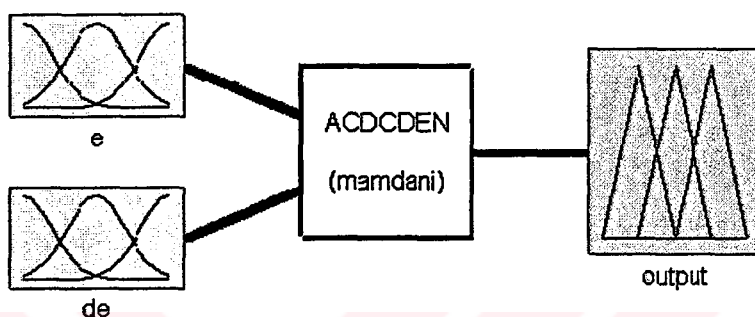


Şekil 5.19 PID kontrolü esnasında doğrultulmuş çıkışın değişiminden bir periyot (volt/sn)

Son periyot esnasında çıkış geriliminin küçük değişimleriyle ortalama hata değeri azaltılır. Tetikleme açısının değişimi grafikte gözüken çıkış değerinin azaltılmasında görülmektedir.

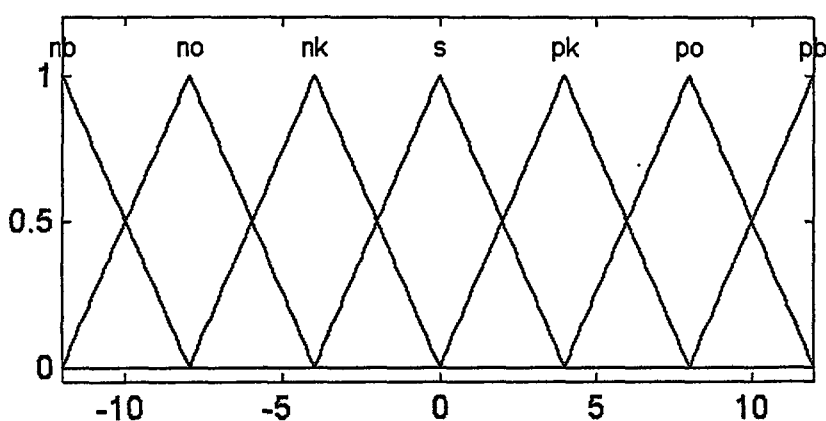
### 5.3.1.2. Dönüştürücünün bulanık mantıkla kontrolü

Sistemin PID denetleyicisi yerine bulanık mantık denetleyicisi yerleştirilirse girişinde hata ve hata değişimi için, denetleyici uygun alfa tetikleme açıları üretir. Ancak hata değeri ve hata değerinin değişiminin alfa tetikleme açısını nasıl değiştireceği ile ilgili denetleyicinin kurallarının tanımlanması gereklidir. Sistemin genel yapısı ve kurallar aşağıdaki diyagamlarda gösterilmiştir.

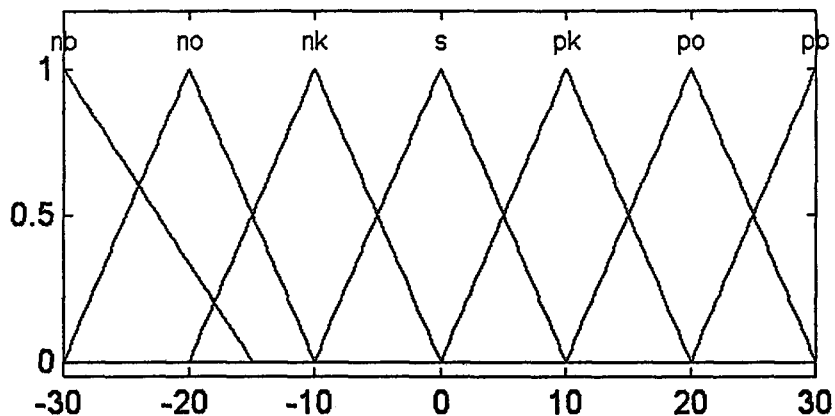


Şekil 5.20. Bulanık denetleyicinin blok diyagramı

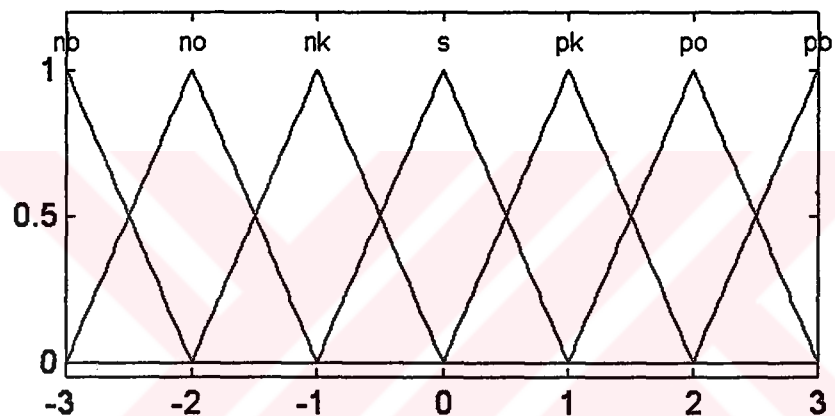
Bulanık mantık denetleyicisinin blok diyagramında e hatayı, de hata değişimini, output denetleyici çıkışını ifade etmektedir. ACDCDEN bulanık mantık kurallarını tutan matrisi tanımlar.



Şekil 5.21. Bulanık mantık denetleyicisinin 'e' hata girişi için üyelik fonksiyonu(üyelik derecesi/volt)



Şekil 5.22. Bulanık mantık denetleyicisinin de 'hata' değişimi girişi için üyelik fonksiyonu(üyelik derecesi/volt)



Şekil 5.23. Bulanık mantık denetleyicisinin de çıkış üyelik fonksiyonu (üyelik derecesi/ms)

Sistemin giriş ve çıkış için üyelik fonksiyonlarının yanı sıra bulanık mantık kurallarında tanımlanması gereklidir. Bu kuralları da tanımlarsak:

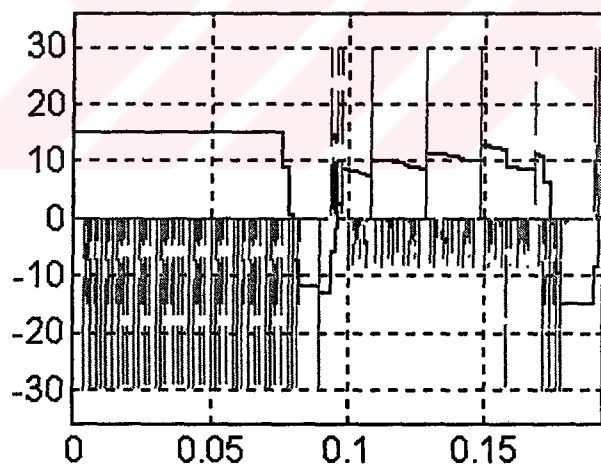
1. If  $(e \text{ is } pb)$  and  $(de \text{ is } nb)$  then  $(g \text{ is } pb)$  (1)
2. If  $(e \text{ is } pb)$  and  $(de \text{ is } no)$  then  $(g \text{ is } pb)$  (1)
3. If  $(e \text{ is } pb)$  and  $(de \text{ is } nk)$  then  $(g \text{ is } pb)$  (1)
4. If  $(e \text{ is } pb)$  and  $(de \text{ is } s)$  then  $(g \text{ is } pb)$  (1)
5. If  $(e \text{ is } pb)$  and  $(de \text{ is } pk)$  then  $(g \text{ is } pb)$  (1)
6. If  $(e \text{ is } pb)$  and  $(de \text{ is } po)$  then  $(g \text{ is } po)$  (1)
7. If  $(e \text{ is } pb)$  and  $(de \text{ is } pb)$  then  $(g \text{ is } po)$  (1)

8. If (e is po) and (de is nb) then (g is pb) (1)
9. If (e is po) and (de is no) then (g is po) (1)
10. If (e is po) and (de is nk) then (g is po) (1)
11. If (e is po) and (de is s) then (g is po) (1)
12. If (e is po) and (de is pk) then (g is pk) (1)
13. If (e is po) and (de is po) then (g is pk) (1)
14. If (e is po) and (de is pb) then (g is pk) (1)
15. If (e is pk) and (de is nb) then (g is pk) (1)
16. If (e is pk) and (de is no) then (g is pk) (1)
17. If (e is pk) and (de is nk) then (g is pk) (1)
18. If (e is pk) and (de is s) then (g is pk) (1)
19. If (e is pk) and (de is pk) then (g is pk) (1)
20. If (e is pk) and (de is po) then (g is s) (1)
21. If (e is pk) and (de is pb) then (g is s) (1)
22. If (e is s) and (de is nb) then (g is no) (1)
23. If (e is s) and (de is no) then (g is no) (1)
24. If (e is s) and (de is nk) then (g is nk) (1)
25. If (e is s) and (de is s) then (g is s) (1)
26. If (e is s) and (de is pk) then (g is nk) (1)
27. If (e is s) and (de is po) then (g is nk) (1)
28. If (e is nk) and (de is pb) then (g is no) (1)
29. If (e is nk) and (de is nb) then (g is nb) (1)
30. If (e is nk) and (de is no) then (g is nb) (1)
31. If (e is nk) and (de is nk) then (g is no) (1)
32. If (e is nk) and (de is s) then (g is nk) (1)
33. If (e is nk) and (de is pk) then (g is nk) (1)
34. If (e is nk) and (de is po) then (g is s) (1)
35. If (e is nk) and (de is pb) then (g is s) (1)
36. If (e is no) and (de is nb) then (g is nb) (1)
37. If (e is no) and (de is no) then (g is nb) (1)
38. If (e is no) and (de is nk) then (g is no) (1)
39. If (e is no) and (de is s) then (g is nk) (1)

40. If (e is no) and (de is pk) then (g is nk) (1)
41. If (e is no) and (de is po) then (g is nk) (1)
42. If (e is no) and (de is pb) then (g is s) (1)
43. If (e is nb) and (de is nb) then (g is nb) (1)
44. If (e is nb) and (de is no) then (g is nb) (1)
45. If (e is nb) and (de is nk) then (g is nb) (1)
46. If (e is nb) and (de is s) then (g is nb) (1)
47. If (e is nb) and (de is pk) then (g is no) (1)
48. If (e is nb) and (de is po) then (g is no) (1)
49. If (e is nb) and (de is pb) then (g is nk) (1)

e ve de için yedi üyelik fonksiyonundan 49 adet kural yazılabilir. Bu kurallarda n : negatif, p : pozitif, s : sıfır, k : küçük, o : orta , b: büyük olarak tanımlanmaktadır.

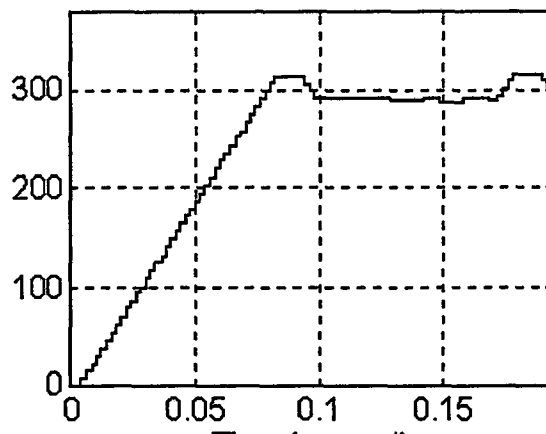
Bulanık kurallara göre kontrol yapıldığında PID için istenen  $V_{req}=300\text{volt}$  için aşağıdaki grafikler elde edilmiştir.



Şekil 5.24. Bulanık mantık kontrollü sistemin 20 ms sürede hata değişimi(volt/s)

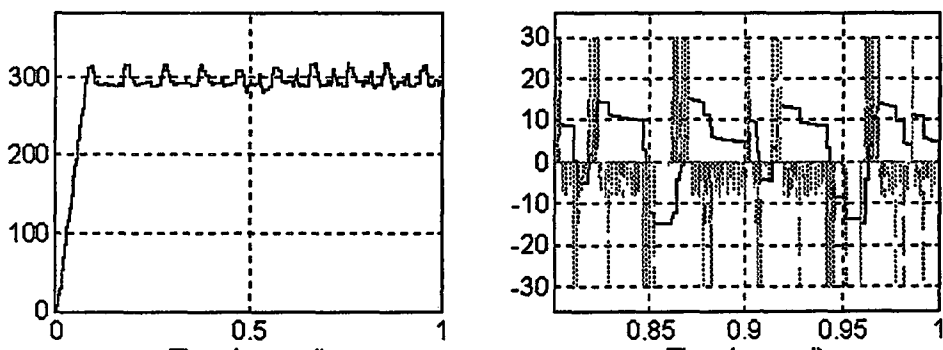
Hata ve hata değişimi dikkat edilirse istenen (+10,-10) volt arasına çok kısa bir sürede girmektedir. Dolayısı ile bulanık kontrollü sistemin PID kontrollü sisteme

göre daha iyi kontrol yapabildiği görülmektedir PID kontrolde maksimum hata aralığına girebilmek için çok daha uzun zaman gerekmektedir.



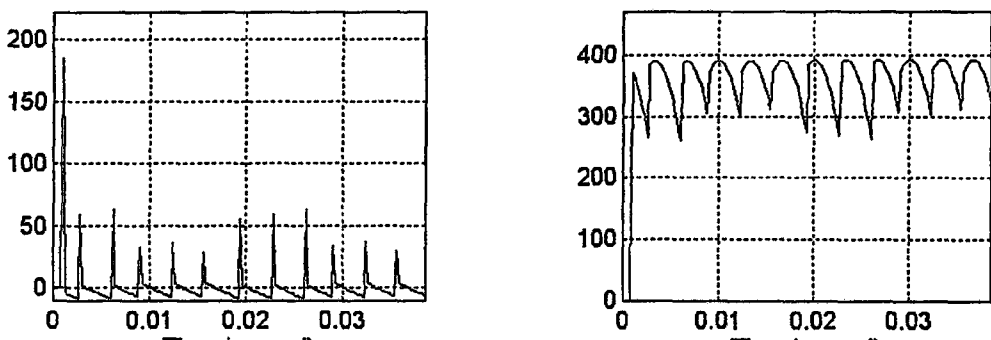
Şekil 5.25. Bulanık mantık kontrollü sistemin 20 ms sürede çıkış gerilimi (volt/s)

İlk 20 ms aralığında istenen çıkış gerilimi  $V_{req}=300$  volt değerine ( $10,-10$ ) volt hata payı ile oturmaktadır. Burada dikkat edilecek diğer konu, üç fazlı giriş geriliminin faz genliklerinin her biri 1 sn boyunca 0.90 katsayılarından 1.10 katsayısına doğru artan bir şekilde çarpılmasıdır. Buna rağmen bulanık denetleyici bu durumdan etkilenmemektedir.

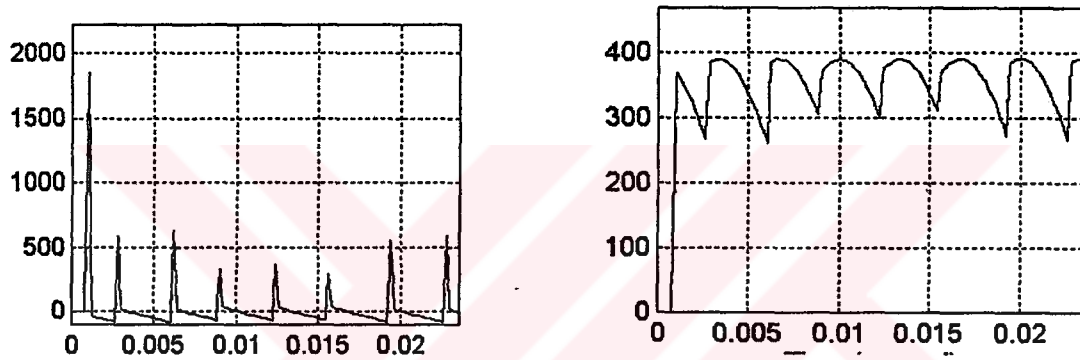


Şekil 5.26. Bulanık mantık kontrollü sistemin 1 s sürede çıkış gerilimi ve hata değişimleri (volt/sn)

Şekil 5.26'te ise bulanık denetleyici kontrollü dönüştürücünün çıkış ve hata/hata değişimleri gözlenmektedir. Dikkat edilirse çıkış genliği istenen aralikta değişmekte ve iyi bir kontrol gerçekleşmektedir.



Şekil 5.27.  $C=100\mu F$  için  $I_c$  akımı ve  $V_c$  gerilimi



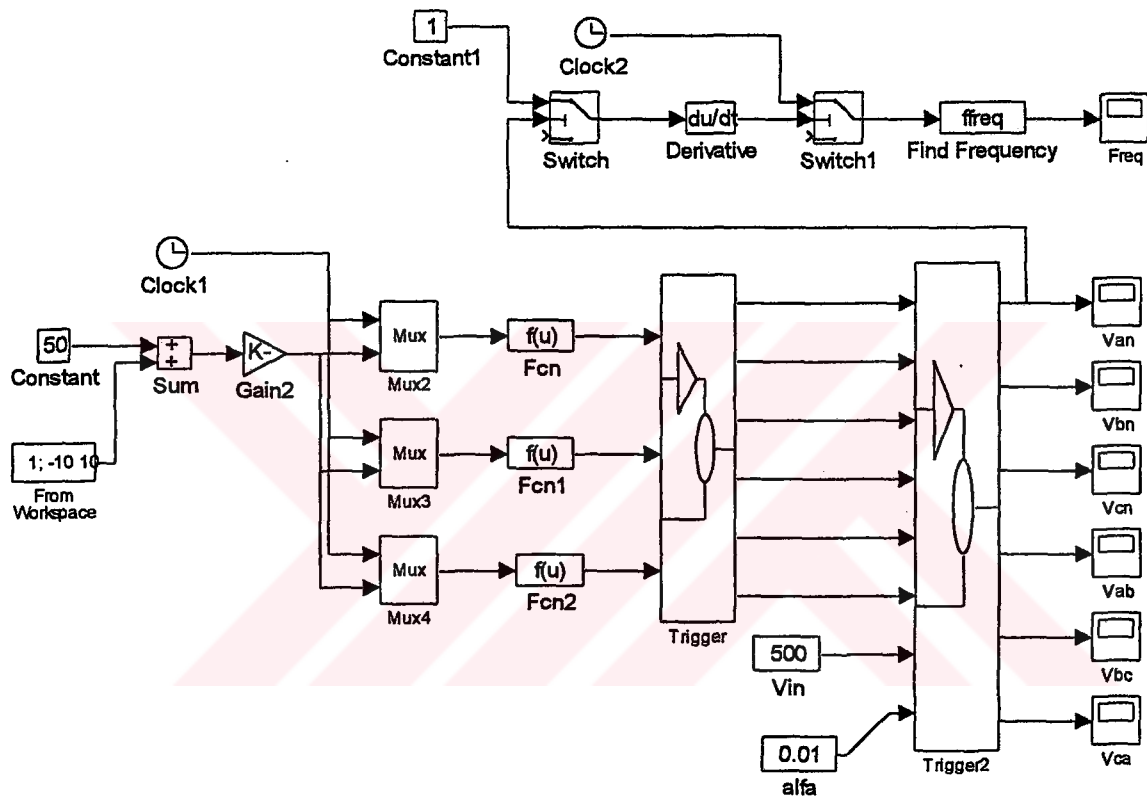
Şekil 5.28.  $C=1000\mu F$  için  $I_c$  akımı ve  $V_c$  gerilimi

Şekil 5.27 ve 5.28'de kapasitif bir yükte sistemin akım ve gerilim çıkış eğrileri görülmektedir.

Daha düşük oranda hata aralığı için bulanık denetleyici girişlerindeki üyelik fonksiyon sayısı artırılmalı ve fonksiyonların aralıkları uygun şekilde değiştirilmelidir. Bunun için yapay sinir ağları kullanılarak üyelik fonksiyon sınırları düzenlenebilir (Ullah et al., 1995).

### 5.3.2. EVİRİCİNİN BENZETİMİ

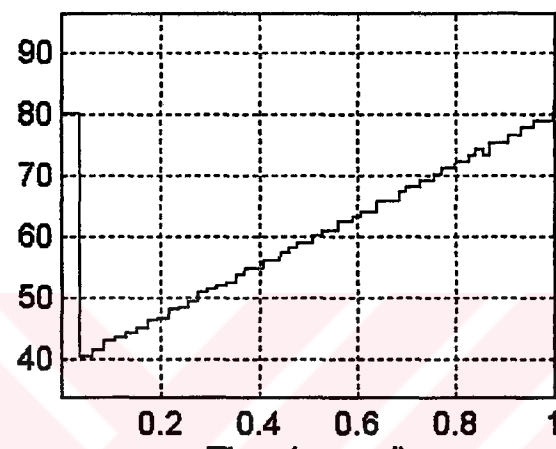
Sistemin evirici kısmının modellenmesi daha kolay gerçekleşmiştir. Doğru akım olarak sisteme gelen giriş, darbe uzunlukları ayarlanabilen 6 çıkışlı bir tetikleyici ile 6 kutuplu tristör anahtarlarının istenilen hızda ve istenilen açıda tetiklenebilmesi sağlanabilmiştir. Dolayısı ile eviricinin modeli aşağıdaki şekilde dir.



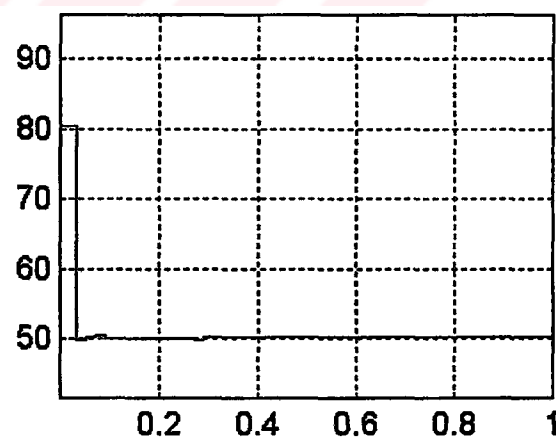
Şekil 5.29. Evirici Modeli

Geleneksel yöntemlerdeki gibi eviricinin kontrolü için darbe genişliği modülasyonuna tristör tetiklemeleri yapılmamaktadır (Holtz, 1994).. Dikkat edilirse sistem girişine 50 Hz periyodik bir üç fazlı sinüzoidal dalga verilmektedir ve bir başka giriş değeriyle toplama yapılarak frekansla değiştirilmektedir. Bu yapı dönüştürücünde kullanılan kesişim noktaları yakalama işini görerek tristör gruplarına tetikleme darbeleri üreten

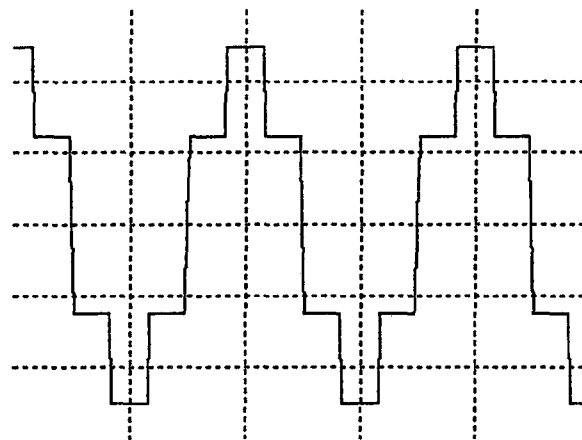
tetikleme (trigger) ünitesine gelmektedir. Buradan üretilen tetikleme darbeleri giriş genliği değiştirilebilen ve söndürme açısı alfa değeri ayarlanabilen tristör devre bloğuna gelmektedir. Elde edilen a,b,c fazlarının 'nötr' ucuna göre ve  $V_{ab}$ ,  $V_{bc}$ ,  $V_{ca}$  fazlararası gerilimler olarak osiloskoplardan görülmektedir. Üç fazlı çıkış  $V_{an}$ ,  $V_{bn}$ ,  $V_{cn}$  gerilimleri frekans kontrolü için sıfır geçişlerini yakalayarak "findfrequency" adlı bloğa gelerek frekansı bulunmaktadır. Bunun amacı sistemde oluşabilecek hataların en aza indirebilmek için çıkış frekanslarının gözlenmesidir.



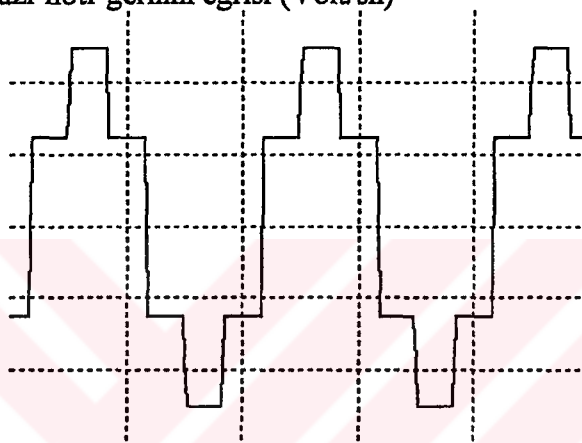
Şekil 5.30. Eviricinin giriş frekansının değişmesiyle çıkış frekans değişimi gösteren çıkış grafiği.(frekans(Hz)/s)



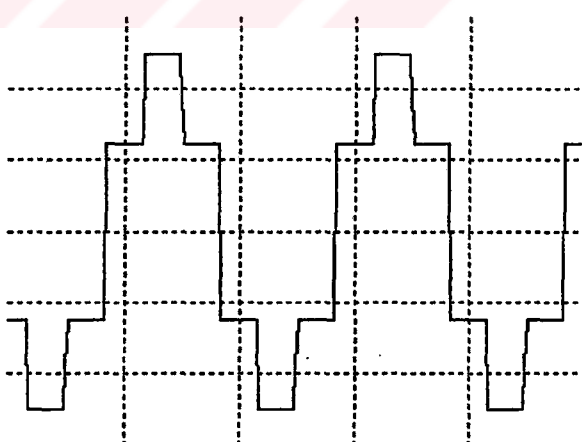
Şekil 5.31. Sabit frekans girişi için çıkış frekans değişimi .(frekans(Hz)/s)



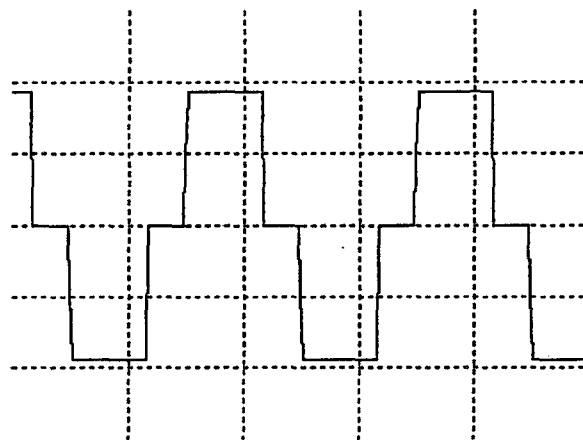
Şekil 5.32. Van A fazi-nötr gerilim eğrisi (Volt/sn)



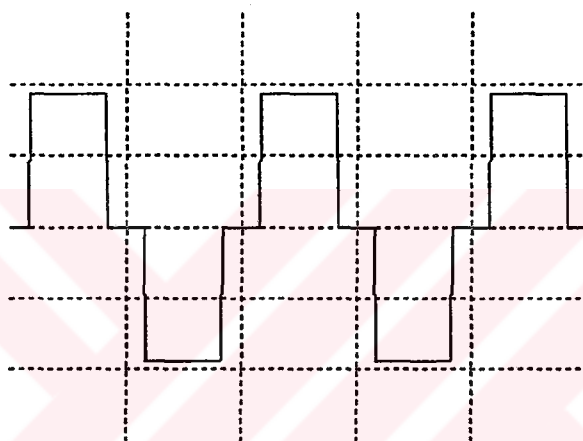
Şekil 5.33. Van B fazi-nötr gerilim eğrisi (Volt/sn)



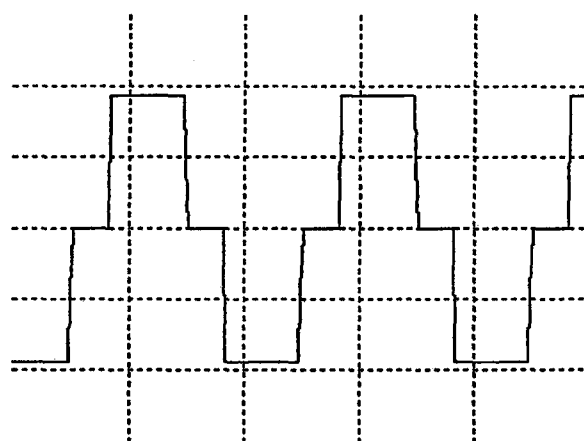
Şekil 5.34. Van C fazi-nötr gerilim eğrisi (Volt/sn)



Şekil 5.35.  $V_{ab}$  Afazı-Bfazı gerilim eğrisi (Volt/sn)



Şekil 5.36.  $V_{bc}$  Bfazı-Cfazı gerilim eğrisi (Volt/sn)



Şekil 5.37.  $V_{ca}$  Cfazı-Afazı gerilim eğrisi (Volt/sn)

Yukarıda görülen faz-nötr ve faz faz gerilim eğrileri tipik bir evirici çıkışını göstermektedir. Sistemin kontrolünün kolaylığı nedeniyle kontrol yöntemlerinin uygulanmasına gerek duyulmamış sadece sistemin modellenmesi gerçekleşmiştir. Ancak giriş genliğinde oluşabilecek dalgalanmalar nedeniyle çıkışta istenmeyen durumların oluşmaması için genlik sınırlandırıcı bir eleman faz çıkışlarına eklenebilir.

Üst ve alt gerilim sınırlayıcı elemanı tepe genliklerini kıparak çıkışta oluşabilecek aşırı genlikleri kaldıracaktır. Bunun haricinde frekans değişimiyle orantılı olarak söndürme açılarının da sabitlenmesi için frekans ile açı arasında oranlama yapılarak periyoda uygun alfa söndürme açısı hesaplanabilir. Ancak bunlar görüldüğü gibi oldukça kolay yapılabilen işlemlerdir.

## BÖLÜM 6. AA VE DA SİSTEM HATALARI

HVDC enerji iletim hattının işletimi, AA hat, dönüştürücüler ve AA sistemde meydana gelen hatalardan etkilenir. Bu hataların etkileri dönüştürücülerin kontrollerine kadar etkir. AA sistemlerde hataları önlemek ve denetlemek için röleler ve devre kesiciler kullanılır. DA sistemdeki arızalar ise kendi kendine veya dönüştürücü kontrolleriyle giderilir. Dönüştürücü kontrolleri AA sistemde olduğu kadar DA sistemde de meydana gelebilecek hataları gidermede önemli bir rol oynar. Ancak bazı durumlarda tüm sistemi devre dışı bırakmak gerekebilir.

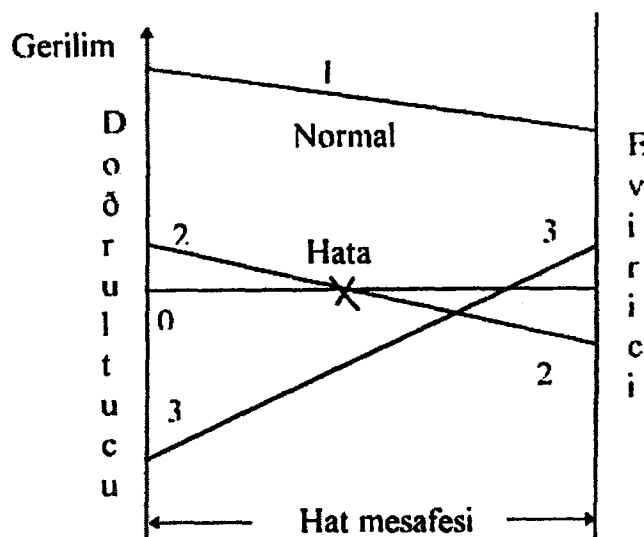
### 6.1 DA HATTı HATALARI

DA hattında görülen hataların birçoğu kutup-toprak hatalarıdır. Kutup arızası iki kutubun fiziksel olarak birbirine dokunmasını gerektirdiğinden pek sık görülmez. Yıldırım düşmesi hiçbir zaman hataya neden olmaz. Bir kutup-toprak arızası, arızanın meydana geldiği kutuptaki güç tristörleri ile bloke edilir. Böylece diğer kutuplar bundan etkilenmez. Aşağıda anlatılacağı gibi AA sisteme bağlı olarak DA hatta meydana gelen arızalar, AA sistem hataları kadar bozucu değildir.

### 6.2 Normal Kontrol İşleminin Davranışı

Herhangi bir kısa devre, doğrultucu akımının artmasına ve evirici akımının da azalmasına neden olur. Doğrultucunun akım kontrolü, doğru gerilimi azaltmak ister ve akımı normalde ayarlanan değerine ( $I_{ord}$ ) geri çeker. Eviricide ise akım, akım kontrollü referans değerinin altına düşer ( $I_{ord} - I_m$ ). Sonuçta eviricinin işletim modu CEA' dan CC kontrolüne döner. Bu olay evirici geriliminin sıfır düşmesine ve böylece şekil 5.1'de görüldüğü gibi ters polariteye neden olur. Gerilimler, her bir dönüştürücüden arızalı hatta kadar olan hat üzerinde  $I.R$  gerilim değerine eşittir.

Doğrultucu akımı  $I_{ord}$  ve evirici akımı da  $I_{ord} - I_m$  değerine eşittir. Kararlı hal arıza akımı böylece normal akımın %15'i kadar olan  $I_m$  akım sınırına eşittir.



Şekil 6.1. DA hattı gerilim profili (1) Normal işletim (2). DA hat arızası ve normal kontrol (3). Hızlı hat korumalı

### 6.3 Hızlı Değişim Etkilerinden Hattın Korunması

Dönüştürücülerdeki normal kontrol işlemi, hata akımını  $I_m$  ile sınırlarken arıza esnasında ark olmasını engelleyemez. Bu nedenle arıza akımını azaltmak ve gerilimi sıfıra indirmek için ek kontroller yapılır.

Arıza genelde doğrultucudaki DA gerilimin düşmesi ve eviricideki akımının azalması ile tespit edilir. Bu tespit esnasında gerilimin genliği ile birlikte, gerilimde meydana gelen frekans değişimleri, açı farklılıklar gibi değişimlerde kullanılabilir. Ancak DA hattın uzağında AA sistemde meydana gelen arızalar, gerilim üzerinde çok hızlı değişimler oluşturmazlar. Dolayısıyla bu tür arızalar hatanın geç fark edilmesi ve sistemin arızaya anında cevap veremeyip zarar görmesi gibi durumlar ortaya çıkarabilir.

Arızayı gidermek için evirici aynı moda, doğrultucu da evirici modunda çalıştırılır. Terminal gerilimlerini doğru polaritede tutmak için eviricinin  $\beta$  açısı yaklaşık  $80^0$

civarında maksimum limite ve doğrultucunun tetikleme açısı  $\alpha$ 'da  $90^0$  ileriye kaydırılır (yaklaşık  $140^0$  olur). Kutuptaki akım ters yöne dönmek ister. Ancak tristörlerin tek yönlü akım karakteristiğinden dolayı ters yöne dönemez. Bu nedenle akım hızla sıfıra düşer ( $10ms$ ). Gerilim profili şekil 6.1'deki 3. eğri ile verilmektedir.

DA hatlar ark etrafındaki havanın dağılmasından sonra tekrar çalıştırılır( $60-200$  ms içinde). Eğer arıza geçici ise ve yeniden çalışma başarılı ise gerilim ve akım rampa şeklinde arttırılır. Tipik olarak arızanın giderilmesi ve nominal güç transferine ulaşmak için  $200-300$  ms arasında bir süre gereklidir. Bu süre zayıf AA sistemlere bağlı DA sistemlerde daha fazladır.

#### **6.4. Dönüştürücü Hataları**

Dönüştürücü istasyonlarındaki birçok arıza tristör gruplarının ya da kutbun kapatılmasını gerektirir ki bu da sistemin devre dışı kalmasıdır (Bausiere et al.,1993).

Bir tristör grubu arızası, küçük bir hata değilse tüm kutbu etkiler. Böyle bir durumda akımın hızla sıfıra inmesi istenir. Doğrultucunun tetikleme açısı en az  $90^0$  kaydırılır ve evirici bölgese geçirilir. Kutup akımı da  $30$  ms içinde sıfıra iner. Ardından tristör grubunda izolatör arızası meydana gelmişse giderilir ve sistem devreye alınır.

#### **6.5 AA Sistem Arızaları**

AA sistemdeki geçici dış etkilere karşı DA sisteminin cevap süresi genelde AA sistemine göre daha hızlıdır. Komütasyon hataları ve AA sistem hatalarının giderilmesi ise DA sisteminin en önemli özelliklerinden biridir.

### **6.5.1 Doğrultucu Tarafı AA Sistem Arızaları**

Doğrultucudan uzakta meydana gelen üç fazlı sistem arızalarında, doğrultucu komütasyon gerilimi biraz düşer. Bu da doğru gerilimin ve akımın düşmesi demektir. Akım regülatörü, gerilimi artırarak akımı düzeltmek için  $\alpha$ 'yı azaltır. Eğer  $\alpha$ ,  $\alpha_{\min}$  değerine kadar düşerse, doğrultucu CIA kontrol moduna geçirilir. Teoride, DA güç oldukça düşük doğru geriliminde iletilebilir. Ancak bu olay eviricinin  $\beta$ 'yı arttırap gerilimi düşürmesiyle akım kontrolünü gerektirecektir.

Uzak tek faz ve faz-faz arızaları genelde DA hattın kapatılmasına neden olmazlar. Çünkü AA gerilimin ortalaması üç faz arızası durumundaki değerinden daha fazladır.

Dengesiz arızalar için, DA gerilimdeki harmonik dalgalanması normalden daha fazla olabilir. Bu DA üzerinde oldukça büyük ikinci Harmonik bileşenli dalgalanmalara neden olur. Harmoniklerin normal karakteristiklerini düzeltmek için tasarlanan hat reaktörleri ve filtreler, ikinci harmonik bileşenleri için etkili değildir. Yüksek akım dalgalanması ise akımın sönmesine sebep olur. Kullanılan tristör tetikleme sistemi tipine bağlı olarak, bu işlem hattın kapatılmasını gerektirebilir.

### **6.5.2 Evirici Tarafı AA Sistem Arızaları**

Eviricide küçük gerilim çökmeleriyle sonuçlanan uzak üç faz hataları, doğru akımda artmaya neden olur. Ancak doğrultucu akım kontrolü ve evirici sabit söndürme açısı kontrolleri devreye girerek değişimlere cevap verir. Eğer gerilim düşmesi oldukça yüksek ise, komütasyon geriliminde azalma ve eviricide de geçici bir komütasyon hatasına neden olur.  $18^0$ 'lık  $\gamma$  evirici işletimi ile, komütasyon hatasına neden olacak %10-15'lik bir gerilim düşmesi olacaktır. Komütasyon hatasının düzeltilmesi 1 veya 2 periyot alır. Reaktif güçte artma sonucu doğru akımda da azalma görülür.

Hata giderildiğinde müsaade edilen değişim oranları AA sisteminin gücüne bağlı olarak tekrar belirlenir. Kontroller istenen güç oranını sağlamak için yeniden

ayarlanır. Bozulma sonrası tüm güç sisteminin başarımı aşağıda da açıklanacağı gibi AA/DA sisteminin başarımına bağlıdır.

### 6.5.3 AA Sistem Arızalarının Giderilmesi

AA sistem hataları için hata sonrası sistem performansı, DA sistem hatalarına göre sistem parametrelerine bağlı olarak daha hassastır. AA hatası sonrası DA hattaki düzelleme, AA sisteme göre daha kolay ve hızlıdır. Zayıf AA sistemler, DA hattaki arızanın hızlı düzeltmesi için yeterli gücü sağlamada zorluk çıkartırlar. Bu tür sistemler geçici yüksek aşırı gerilimler ve gerilim distorsiyonu oluştururlar.

DA sisteminin hata öncesi durumunun %90'ına kadar düzeltmesi için geçen süre, kullanılan kontrol sistemi ve AA/DA sistem karakteristiğine bağlı olarak yaklaşık 100-500 ms arasındadır. Bu süreyi etkileyen faktörler; hat endüktansı ve kapasitesi, DA reaktör ölçütleri, hattın rezonans harmonik frekansı, dönüştürücü trafo ve filtresi karakteristikleridir.

DA sisteminin tatmin edici bir şekilde çalışması için, kontrol işlemi rampa fonksiyonları şeklinde veya azaltılmış akım kademeleri şeklinde yapılır.

GBAKS fonksiyonu arızadan sonra sistemin düzeltmesi için önemli bir rol oynar. Bu fonksiyon akımı ya DA gerilim ya da AA gerilim cinsinden sınırlar. Sonuçta bastırılmış gerilimde reaktif güç ihtiyacı azaltılır. Bu da AA sistem geriliminin azalmasını önler. AA sistem kararlılığı ve DA güç kesintisinin azaltılması bakımından, çok yavaş bir iyileşme istenmeyen bir durumdur. Kontrol sistemi, DA sistemin güvenli bir şekilde iyileşmesini engellemeden, iyileşme oranını yükseltmek için uygulamanın özel ihtiyaçlarını giderecek biçimde tasarlmalıdır.

#### **6.5.4 İyileşmeye Yardım Eden Özel Ölçümler**

HVDC sisteminin dış bozulmalardan sonra iyileşmesine yardım etmek ve tristörleri korumak için özel ölçümler yapılabilir. Bu ölçümler ya direk tetikleme açısını ya da akım kademesini etkiler. Bunlar özel uygulama gereksinimlerine bağlıdır. Bunlardan bazıları:

1. AA gerilim düşümü sırasında,  $\alpha_{min}$  değerini  $5^0$ 'den  $30^0$ 'ye kadar çıkarılan devreler.
2. Eviricide  $\gamma$  değerini  $\gamma_{min}$  sınırının altına geçici olarak düşüren devreler.
3. Komütasyon hatalarını önlemek için, kutuptaki ikinci tristör grubunun ilk çalıştırılması sırasında tetikleme açısı sınırını  $10^0$  kadar değiştiren devreler.
4. İyileşmeye yardımcı olmak ve komütasyon hatalarını azaltmak için ikinci tristör daha erken ateşlenmesin diye, komütasyon hatası sonrasında  $\beta$ 'nın hemen artırılmasını sağlayan devrelerdir. Tipik olarak  $\beta$ ,  $40^0 - 60^0$  arasında değiştirilip maksimum  $70^0$ ye çıkarılabilir.

#### **6.6 AA/DA Sisteminin AA Sistem Üzerindeki Etkileri**

Bu etkiler daha çok DA sisteminin kapasitesine ve AA sisteminin dayanıklılığına bağlıdır. Bir AA sistem iki nedenden dolayı dayaniksız ya da zayıf olarak adlandırılabilir:

1. Yüksek empedans
2. AA sistemdeki mekanik aksamın uzunluğu

AA sisteminin dayanıklılığı kısa devre oranı (KDO) ile adlandırılır. KDO değeri;

AA sisteminin kısa devre gücü, MVA

KDO = -----

DA dönüştürücünün çalışma gücü, MW (6.1)

şeklinde ifade edilir. Kısa devre anındaki güç KDMVA ise,

$$KDMVA = \frac{E_{ac}^2}{Z_{th}} \quad (6.2)$$

şeklinde yazılır.

Burada,  $E_{ac}^2$  DA güçteki komütasyon hat gerilimi ve  $Z_{th}$  AA sisteminin Thevenin eşdeğeridir. KDO değerini değiştiren elemanlar arasında, tristörleri,filtreleri, şönt kapasitörleri ve senkron kondansatörleri sayabiliriz. Kontrol sisteminin bütünü de AA/DA etkileşiminde önemli bir rol oynar.

AA sistem dayanıklılığı genel olarak;

Eğer KDO, 5'ten büyükse yüksek,

Eğer KDO, 3-5 arasında ise orta,

Eğer KDO, 3'ten küçük ise düşük olarak ifade edilebilir.

### 6.6.1 Reaktif Güç ve AA Sistem Dayanıklılığı

Doğru gerilimin değeri ( $V_d$ ),

$$V_d = V_{do} \cos\alpha - R_c I_d$$

olarak verilmiştir.  $R_c$  değeri ise ,  $R_c = 3/\pi \cdot X_c$  şeklinde ifade edilirse,

$$\cos\phi = \cos\alpha - \frac{I_d}{V_{do}} \frac{3}{\pi} X_c \quad (6.3)$$

yazılabilir.

Buradan her bir dönüştürücüden alınan güç arttıkça reaktif gücünde artacağı görülebilir. Yüksek reaktif güç akışını önlemek için  $\gamma$  15 ve  $18^0$  de ve de komütasyon reaktansı da %15 fazlalıkla çalıştırılmalıdır.

Reaktif güç sağlamaının en kolay yollarından biri de şönt kapasitörler kullanmaktadır. İletilen DA güçle birlikte reaktif güçte değiştiğinden, anahtarlanarak devreye sokulan filtre kapasitörleri de uygun büyülüklerde seçilmelidir. Böylece kararlı durumdaki AA gerilimi her yükte kabul edilebilir bir aralıkta tutulabilir. AA geriliminin değişme oranı yaklaşık  $\pm 5\%$ 'tir.

Generatörler DA terminaline yakın olurlarsa reaktif güç ihtiyacının karşılanmasıında ve istenen gerilimin ayarlanması yardımcı olabilirler. Zayıf AA şebekelerde statik VAR kompansatörler ve senkron kondansatörlere de ihtiyaç duyulabilir.

### **6.6.2 Düşük KDO Sistemleri İle İlgili Sorunlar**

Zayıf AA sisteme bağlı DA sistemlerde oluşabilecek problemleri genelde dört grupta toplayabiliriz.

1. Yüksek dinamikteki aşırı gerilimler
2. Kararlı olmayan gerilimler
3. Harmonik problemleri
4. Gerilim dalgalanması

#### **6.6.2.1 Yüksek Dinamikteki Aşırı Gerilimler**

Eğer DA güç iletiminde süreklilik yoksa, HVDC dönüştürücülerinin uçlarındaki gerilim sıfıra düşebilir. Zayıf KDO oranına sahip sistemlerde şönt kapasitörler ve harmonik filtreler nedeniyle AA'daki gerilim artışı çok yüksek olabilir. Bu terminaller de yüksek izolasyon direncini gerektirir.

#### **5.6.2.2 Kararlı Olmayan Gerilimler**

DA sistem zayıf AA sisteme bağlandığında, özellikle evirici tarafında, AA ve DA gerilimi yük değişimlerine çok duyarlı olur. DA'daki bir artış, AA gerilimde düşmeye sebep olur. Sonuçta güçteki artış çok küçük veya önemsizdir. Gerilimin kontrolü zorlaşır.

Bu gibi istemlerde DA sistemin kontrolü, gerilimin kararlılığına aşağıdaki gibi etki eder:

1. Gücün kontrolü, güç düzenlenmesi için DA kontrolünü gerektirir.
2. Evirici  $\gamma$  açısı gerilim-zaman komütasyon sınırını korumak için artar.
3. Evirici, düşen gerilim ve şönt kapasitörlerle bağlı olarak daha fazla VARs çeker, verimi de azalır.
4. AA gerilimi azalır.

#### **6.6.2.3 Harmonik Rezonansı**

Harmonik rezonansı ile ilgili problemlerin çoğu AA kapasitörler, filtreler ve düşük harmonikteki AA sistem arasındaki paralel rezonanstan kaynaklanır. Ancak devreye çok fazla kapasitör sokulursa 2., 3. Ve 4. harmoniklerde oluşabilir.

#### **6.6.2.4 Gerilim Dalgalanması**

Zayıf AA sistemlerin başka bir özelliği de, şönt kapasitör ve reaktörlerdeki anahtarlamanın beklenmedik çok yüksek gerilim değişimlerine sebep olmasıdır. Geçici gerilim dalgalanmaları, reaktif elemanlar arasındaki anahtarlamalardan oluştugundan yüksek güç iletiminde artar.

### **6.6.3 Zayıf Sistemlere İlişkin Sorunların Çözümleri**

Genelde bu sorunlar senkron kondansatör veya SVC'ler ile çözülür. Ayrıca HVDC kontrolleri de bu sorunların çözümlerinde kullanılır (Örneğin GBAKS).

Senkron kondansatörlerin kullanılması efektif sistemin empedansını azaltır ve rezonans frekansını yükseltir. Çünkü sistemin kontrolü, yüksek frekanslarda daha az sorun çıkarır. 12 vuruşlu köprü doğrultucu kullanılırsa 11. harmonikten aşağıda filtre olması olasılığı azalacaktır.

Başka bir çözümde, DA dönüştürücülerini kontrol etmektir. Şönt kapasitörler ve filtreler reaktif gücü karşılarlar. Dönüştürücü tetikleme açısının kontrolü de AA gerilimini düzenler.

## **BÖLÜM 7. DÜNYADA VE TÜRKİYE'DE HVDC ENERJİ İLETİM SİSTEMİNİN UYGULANMASI**

Bu bölümde HVDC sisteminin dünya üzerindeki uygulamalarına kısaca göz atılmış ve halen kullanılmakta olan HVDC sistemlerinin yerleri ve önemli özellikleri, niçin tercih edildikleri gibi bilgiler tablo halinde verilmiştir. Durum Türkiye açısından da kısaca incelenmiş ve bu güne kadar niçin uygulanmadığı konusunda kısa bir araştırma yapılmış ve bundan sonra nelerin yapılabileceği üzerinde de durulmuştur.

### **7.1 HVDC Enerji İletim Sisteminin Dünyadaki Uygulamaları**

HVDC sisteminin şu anda dünyada otuz beş uygulaması bulunuyor. Proje aşamasındaki iki uygulamanın da 1997 yılında devreye girmesi bekleniyor. Dünya üzerindeki ilk uygulaması 1954 yılında Gotland'ta yapılmıştır. 20 MW gücündeki bu sistemin DA hat gerilimi 100 kV'tur. Her bir dönüştürücü istasyonu iki kutuplu yapılmıştır ve bunların her biri de 50'şer kV'tur. DA hat akımı 200 A olup, 96 km'lik hat tek kutuplu ve toprak dönüşlü yapılmıştır. Sabit frekansla işletilen bu hattın yapımı ABD'dir.

Daha sonraki yıllarda taşınan güç artışındaki miktarlar gittikçe büyümüş ve 1990 - 1992 yılları arasında Quebec - New England ( ABD ) arasında yapılan HVDC hattında 2000 MW'a ulaşmıştır. İki kutuplu olarak yapılan bu hat  $\pm 450$  kV'tur. Her istasyonda iki dönüştürücüsü bulunan bu sistemde dönüştürücü başına gerilim 450 kV'tur ve iletilen DA akım 2200 A'dır. Reaktif güç kaynağı olarak kapasitörlerin kullanıldığı sistemin AA gerilimi 315 kV'tur. 1480 km'lik DA hatta güç ve frekans kontrolü otomatik yapılmaktadır.

1997 yılında yine ABB tarafından yapılması planlanan biri Chandrapur - Padghe (Hindistan) arasında 1500 MW,  $\pm 500$  kV, 1500 A'lık, diğeri de Leyte - Luzon (Yeni

Zelanda) arasında 440 MW'lık 350 kV'luk ve 1260 A'lik ve 433 km'lik iki hat daha vardır.



Tablo 7.1. Dünya üzerindeki HVDC Sistemlerinin dağılımı

DÜNYA ÇEVRİNDEKİ HVDC SİSTEMLERİNİN DAĞILIMI

BÜLUNDÜĞÜ YER	GÖTTLAND İ	İNGİLİZ KANALI	YENİ ZELANDA	KONTİ-SKANDİ	ŞAKİMA	SARDİNLIA	VANCOUVER ADASI
Yapım Yılı	1954	1961	1963	1963	1965	1967	1968-1969
İnşâet Gıls. MW	20	160	600	250	300	200	312
Doğru Ger. KV	100	$\pm 100$	$\pm 250$	250	2x12,5	200	260
İsl. Deniz Sayısı	2	2	4	2	2+2	2	1
Dönüşümücük	50	100	125	125	125	100	130
Başvuru D.G. KV							
DA <sub>2</sub> , A	200	600	1200	1000	1200	1000	1200
Resistif Gıç Kapasiteleri		Kapasiteler	Kapasiteler	Kapasiteler	Kapasiteler	Kapasiteler	Kapasiteler
Kayıtlı Senkron Kontrol		Senkron Kontrol	Senkron Kontrol	A.A. Sistemi	Senkron Kontrol	Senkron Kontrol	Senkron Kontrol
İsasyonlu Yeni. Vakuumlu Vakumlu	130 KV	275 KV	Beniure, 16 KV	Grünenburg, 130 KV	Sakuma, 273 KV	Codronginnes 230 KV San	Armat, 230 KV V.L.T. - 230 KV
AA Genelihem	10 KV	225 KV	Haywards, 110 KV	Alalborg, 130 KV		Dalmazio, 120 KV	
Harici DA Hat Uzunluğu, km	-	-	373 km	36 km	-	250 km	41 km
Kablolu Sayısı	1. Toprak Geri Dönüş	Her katupla 1 Yedek 1	1. Toprak Geri Dönüş	-	-	2. Paralel Toprak G. Dön.	1-1. Toprak Geri Dönüşü
Kablo Uzunluğu	96 km	64 km	42 km	87 km	-	116 km	28 km
DA Devrenin Topraklanması	Tüm deniz elektronik İstasyonu	Bir istasyonda orta mukteşesi	Eri Toprak ve bir deniz elektronik İstasyonu	İki deniz elektronik İstasyonu	İki deniz elektronik İstasyonu	İki deniz elektronik İstasyonu	İki deniz elektronik İstasyonu
AC Şebekelerini Bağlantıları	Asenkron	Aşenkron	Aşenkron	Aşenkron	50 - 60 Hz	Aşenkron	a) Şarkıları b) Aşenkron
Kontrol	Sabit Frekans	Her yıldızda sabit güç	Her yıldızda sabit güç	Her yıldızda sabit güç	Sabit 50-60 Hz sabit frekans	Mümkün 50-60 Hz sabit frekans	a) A. hat girebilen konular b) Frekans konular c) Sabit akım konular d) Sabit akım konular e) Üzgün deniz geçişleri
Göz. Akışma Açıları	-	Maksimum 1 ve 1 dijitalistik	-	Maksimum 1 ve 1 olumsuz	Maksimum 1 ve 1 olomsuz	Maksimum 1 ve 1 olomsuz	Maksimum 1 ve 1 olomsuz
Değişimi	HVDC Sistemini Tercih Nedeni	Üzün mesafeli deniz alıcı geçişleri	Deniz geçişleri	İlk kontrollör, asenkron bağlantılı düşük katıplılar	Üzün deniz geçişleri	Üzün deniz geçişleri	Deniz geçişleri
Tanımlatıcılar	ABB	ABB	ABB	ABB	ABB	ABB	ABB
Ekipman Uyeleri							

Tablo 7.1. (Devamı) Dünya üzerindeki HVDC Sistemlerinin dağılımı

BULUNDUĞU YER	ITAPU	GOTLAND 2	DÜRNROHR	PASIFIK INTERTIE 2	CHATEAUGUAY	INTER-MOUNTAIN	HIGHGATE
Yapın Yılı	1984-1985/1987	1983	1983	1985	1984	1986	1985
İletilen Güç, MW	3150+3150	130	550	(1600)+400	2x500	1920	200
Doğru Ger. kV	± 600	150	145	± 500	2x140,6	±500	57
İst. Dön. Sayısı	4+4	1	2	(6)+2	4	2	2
Dönüşürcü Başına D.C. kV	300	150	145	100	140,6	500	57
DA, A	2610	914	3790	2000	2x3600	1920	3600
Reaktif Güç Kapasiteleri	Kapasiteler	Kapasiteler	Kapasiteler	Kapasiteler ve SVC	Kapasiteler	Kapasiteler	Kapasiteler
Kaynak	Senkron Kondan.	Senkron Kondan.	Senkron Kondan.	Celilo, 230kV Şimar, 230 kV	Santral, 315 kV U.S. 120 kV	Intermountain, 345 Adelanto 300	Highgate North 120 kV South, 115 kV
İstasyonları Yeri, AA Gerilimleri	Foz do Igacu, 500 kV Sao Roque, 345 kV	Västervik, 130 kV Vishy, 70 kV	Dünnrohr, +20 kV CSSR, 420 kV				
Haval DA Hat Uzunluğu, km	785 ve 805 km	7 km	—	1360 km	—	785 km	—
Kablo Sayısı	—	1. Toprak Gen Dönüştürücü	—	—	—	—	—
Kablo Uzunluğu	—	96 km	—	—	—	—	—
DA Devrenin Topraklaması	Her kuruş için iki toprak elektronik istasyonu	İki deniz elektronik istasyonu	Bir nokta topraklaması	Bir deniz ve bir toprak elektronik istasyonu	İki nokta topraklaması	Bir nokta elektronik istasyonu	Bir nokta topraklaması
AC Şebeke Bağlamları	Faz do Igacu 50Hz Sao Roque 60 Hz	A senkron	A senkron	Asenkron	Asenkron	Asenkron	Asenkron
Kontrol	Sabit güç ve şöbülük kontrollü	Sabit Frekans	Her yönde sabit güç ve kilitlik sinyal modülasyonu	Her yönde sabit güç ve kilitlik sinyal modülasyonu	Sabit güç	Sabit güç ve şöbülük kontrolü	Her yönde sabit güç
Güç Akışının Acil Değişimi	—	—	—	Manuel veya otomatik	—	—	AA işaretin tetiklenmesiyle otomatik güç
HVDC Sisteminin Tercih Nedeni	Uzun mesafe 50/60 Hz çevirmi	Uzun deniz geçisi	A senkron bağlantı	Uzun mesafe Hızlı kontrol	A senkron bağlantı	Uzun mesafe	A senkron bağlantı
Dönüşürcü Ekipmanlarının Üreticisi	ABB	ABB	ABB-Siemens-AEG	ABB	ABB - Siemens	ABB	ABB

Tablo 7.1. (Devami) Dünya üzerindeki HVDC Sistemlerinin dağılımı

BULUNDUĞU YER	PASİFİK İNTERTİE	GOTLAND	SKAGERRAK 1,2	CAHORA-BASSA	INGA-SHABA	CU-PROJESİ	NELSON RIVER 2
Yapın Yılı	1970	1970	1976-1977	1977-1979	1982	1978	1978/1985
İletilen Güç, MW	1440	(20)+10	500	1930	560	1000	2000
Doğu Ger. kV	±400	(100)+50	±250	±533	±500	±400	±500
Ist. Dön. Sayısı	6	(2)+1	2	8	2	2	4
Dönüşümlü DA, D.G. kV	133	50	250	133	500	400	250
DA, A	1800	200	1000	1800	560	1250	2000
Reaktif Güç	Kapasiteler	Kapasiteler	Kapasiteler	Kapasiteler	Kapasiteler	Kapasiteler	Kapasiteler
Kaynağ		Senkron Kondan.	Senkron Kondan.	Senkron Kondan.	Senkron Kondan.	Senkron Kondan.	Senkron Kondan.
İstasyonlar Yeri, AA Genelimleri	Celilo, 230 kV Sülmara, 230 kV	Västerrik, 130 kV Vistyo, 70 kV	Kristiansand, 275 kV KV Tiele, 150 kV	Songo, 220 kV Apollo, 275 kV	Inga, 220 kV Kolvizi, 220 kV	Coal Creek, 235 kV Dickinson, 350 kV	Hedday, 230 kV Dorsay, 230 kV
Kanal DA Hat Uzunluğu, km	1360 km	-	113 km	1420 km	1700 km	687 km	940 km
Kablo Sayısı	-	1, Toprak Geri Dönüşlü	Her katında 1	-	-	-	-
Kablo Uzunluğu		96 km	127 km				
DA Devrenin Topraklaması	Ebir Toprak ve bir deniz elektrot istasyonu	Iki Toprak deniz elektrot istasyonu	Iki Toprak elektrot istasyonu	Iki Toprak elektrot istasyonu	Iki Toprak elektrot istasyonu	Iki Toprak elektrot istasyonu	Iki elektrot istasyonu
AC Schéde Bağlantıları	Senkron	Aşenkron	Aşenkron	Aşenkron	Aşenkron	Senkron	Aşenkron
Kontrol	Her yönde sabit güç ve kırçık sinyal modülasyonu	Sabit Frekans	Her yönde sabit güç	Sabit güç ve sabit frekans	Sabit güç ve sabit frekans	Sabit güç ve sabit frekans	Sabit güç
Çıç Aksının Acil Değişimi	Manuel veya otomatik	-	Manuel veya otomatik	-	-	-	-
HVDC Sisteminin Tercih Nedeni	Uzun mesafe Hızlı kontrollü	Uzun deniz geçisi frekans kontrolü	Deniz geçisi	Uzun mesafe	Uzun mesafe	Mesafe, çevre ve kanallık etiketi	Uzun mesafe
Dönüşümlü Ekipmanlarının Öreticisi	ABB ve General Elektrik	ABB	ABB - Siemens - AEG	ABB - GE	ABB - Siemens - AEG	ABB	ABB - Siemens - AEG

Tablo 7.1. (Devamı) Dünya üzerindeki HVDC Sistemlerinin dağılımı

BULUNDUĞU YER	BLACKWATER	VINDHYACHAL	BROKEN HILL	GOTLAND 3	RHEN-D-DELHI	KONTI-SKAN	QUEBEC-NEW ENGLAND
Yapım Yılı	1985	1989	1986	1987	1990	1988	1990-1992
İletilen Güç, MW	200	2x250	40	130	1568	300	2000(Multiterm.)
Doğru Ger. kV	56,8	70	8,3	150	$\leq 500$	285	$\pm 450$
Ist. Dön. Sayısı	2	2+2	2	1	2	1	2
Dönüşürdü	56,8	70	8,3	150	500	285	450
Başına D.G., kV							
DA, A	3600	3600	2400	914	1568	1050	2200
Reaktif Güç Kaynağı	Kapasiteler	Kapasiteler	Kapasiteler	Kapasiteler	Kapasiteler	Kapasiteler	Kapasiteler
Istasyonlan Yeri, AA Gerilimleri	New Mexico, 345 Texas 230 kV	Northern: 400 kV Western: 400 kV	22 kV 6,9 kV	Vasrevik, 130kV Visb.: 70 kV	Rihland, 400 kV Dadri, 400 kV	Lindome, 130 kV Vester Hassing, 500 kV	Radisson, 315 Sandy Pond, 345 Nicolet, 230 kV
Haval DA Hat Uzunluğu, km	-	-	-	7 km	814 km	61 km	1480 km
Kablo Sayısı				1		1	
Kablo Uzunluğu DA Devrenin Topraklaması	Bir noktası topraklaması	Orta noktası topraklaması	Iki deniz elektrot istasyonu	Iki toprak elektrrot istasyonu	Iki deniz elektrrot istasyonu	Bütün istasyonlar üç elektron ist. ile topraklı	
AC Şebeke Bağlantıları	Asenkon	Asenkon	Asenkon	Şenkon	Şenkon	Asenkon	HQ Senkon NEH Asenkon
Kontrol	Sabit güç ve Reaktif güç kontrolü	Sabit güç ve hızlı kontrol	40 Hz sabit frekans	Gotland'a sabit ferkans	Sabit hız: hızlı ferkans	Her yönde sabit güç	Sabit güç, frekans kontrollü ve çoklu terminal
Güç Alışının Acil Değişimi	-	AA işaretin tetiklenmesiyle otomatik güç	-	-	Manuel veya otomatik	Manuel veya otomatik	Siddetli AA sistem parazitlerinden Radisson'un yahut Asenkon bağlantısı
HVDC Sisteminin Tercih Nedeni	Asenkon bağlantı	Asenkon bağlantı	Frekans kontrolü	Uzun deniz geçisi	Uzun mesafe, hizarsızlık	Deniz geçisi Asenkon bağlantısı	
Dönüşürdü Ekipmanlarının Üreticisi	ABB	ABB	ABB	ABB	ABB	ABB	ABB

Tablo 7.1. (Devamı) Dünya üzerindeki HVDC Sistemlerinin dağılımı

BULUNDUĞU YER	FENNO-SKAN	PASİFİK INTERTIE 3	GÉZAUBA-SHANGHAI	Y. ZELANDA DA HIBRİT HAT	SKAGERRAK 3	BALTİK KABLOSU	KONTEK
Yapım Yılı	1989	1989	1989	1991-1992	1993	1994	1995
İletilen Güç, MW	500	1100	1200	560	440	600	600
Doğu Ger. kV	400	±500	±500	-350	350	450	400
İst. Dön. Sayısı	1	2	2	1	1	1	1
Dönüşümlü Basınsa D.G., kV	400	500	500	350	350	450	400
DA, A	1250	1100	1200	1600	1260	1364	1500
Reaktif Güç	Kapasiteler	Kapasiteler	Kapasiteler	Kapasiteler	Kapasiteler	Kapasiteler	Kapasiteler
Kaynağı							
İstasyonların Yeri, AA Genilimleri	Dannebo, 400 kV Rauma, 400 kV	Celio, 500 kV Şymar, 230 kV	Gezhauba, 500 kV Nan Qiao, 230 kV	Bennmore, 220 kV Haywards, 220 kV	Kristiansand 300kV Tjelle, 400 kV	Kruusberg, 400kV Herremykk,380kV	Bjaeverskov,400 Benirsch,400kV
Havai DA Hat Uzunluğu, km	33 km	1360 km	1000 km	575 km	113 km	12 km	-
Kablo Sayısı	1	-	-	2, 1 veya 2	1	1	1
Kablo Uzunluğu	200 km	-	-	42 km	127 km	250 km	170 km
DA Devrenin Topraklaması	İki deniz elektrik istasyonu	Bir toprak ve bir deniz elektrik istasyonu	Bir toprak ve bir deniz elektrik istasyonu	İki toprak elektrik istasyonu	İki deniz elektrik istasyonu	İki deniz elektrik istasyonu	İki deniz elektrik istasyonu
AC Şebeke Bağlantları	Senkron	Senkron	Asenkron	Asenkron	Asenkron	Asenkron	Asenkron
Kontrol	Sabit güç, şantiye kontrolü	Sabit güç ve her yönde küçük sinyal modülasyonu	Sabit güç ve reaktif güç kontrolü	Sabit güç, şeritkans ve şönlüm kontrolü	Her yönde sabit güç	Sabit güç, şeritkans ve şönlüm kontrolü	Sabit güç, şeritkans ve şönlüm kontrolü
Güç Akışının Acil Değişimi	Manuel veya otomatik	Manuel veya otomatik	-	Wellington bölgesinde frekans kontrollü	Manuel veya otomatik	Manuel veya otomatik	Manuel veya otomatik
HVDC Sisteminin Tercih Nedeni	Deniz geçisi	Uzun mesafe, hızlı kontrol	Uzun mesafe, kararlılık	Uzun deniz geçisi	Deniz geçisi	Deniz geçisi	Asenkron bağlantı deniz geçisi
Dönüşümlü Ekipmanlarının Döreticisi	ABB	ABB	ABB-Siemens	ABB	ABB	ABB	ABB

Tablo 7.1. (Devamı) Dünya üzerindeki HVDC Sistemlerinin dağılımı

BULUNDUĞU YER	CHANDRAPUR-PADGHE	LEYTE - LUZON
Yapım Yılı	1997	1997
İletilen Güç, MW	1500	440
Dogruluk Ger., kV	±500	350
İst. Den. Sayısı	2	1
Dönüşürlük	500	350
Başına D.G., kV		
DA, A	1500	1260
Reaktif Güç	Kapasiteler	Kapasiteler
Kaynakları		
İspasyonları Yeri, AA Genelimleri	Chandrapur, +100 kV Padghe, +400 kV	Ormoc, 230 kV Naga, 230 kV
Havai DA Hat Uzunluğu, km	736 km	433 km
Kablo Sayısı		1, 1 yedek
Kablo Uzunluğu		19 km
DA Devrenin Topraklaması	İki elektrot istasyonu	İki deniz elektrot istasyonu
AC Şebekeleri		
Bağlantıları	Senkron	Aseksyon
Kontrol	Sabit güç, frekans ve şədum kontrolü	Sabit güç ve frekans kontrolü
Güç Akışının Acil Değişimi	Manuel veya otomatik	Manuel veya otomatik
HVDC Sisteminin Tercih Nedeni	Uzun mesafe ve kararlılık	Uzun mesafe deniz geçisi
Dönüşürlük Ekipmanlarının Üreticisi	ABB-BHEL	ABB

## 7.2 HVDC Enerji İletim Sisteminin Türkiye'deki Uygulama İmkanları

Ülkemizde ilk defa elektrik enerjisi 1902'de Tarsus'ta kullanılmış, ilk büyük santral 1914'te İstanbul Silahtarağa'da servise alınmıştır. Osmanlıların son dönemi ile Cumhuriyetin ilk yıllarda yabancıların yaptığı, pahalı yakıta dayalı, geliştirmeye ve genişlemeye müsait olmayan küçük gruplardan kurulu tesislerin 1923'te, Cumhuriyetin ilanındaki kurulu güçleri 33MW, yıllık tüketimleri ise yaklaşık yılda 40-50 milyon kWh'tır.

Bilinen durumun mahsurlarını gidermek üzere 1935 yılında MTA, Etibank ve EIEI ile daha sonraki yıllarda İller Bankası ve DSI kurularak yabancı tesisler millileştirilip, işlerin merkezi bir otoriteden yürütülmesi sağlanmıştır.

1948 yılında Çatalağzı santrali yapılarak 154 kV'luk enerji taşınmaya başlanmıştır

TEK enterkonnekte Yüksek Gerilim(YG) ve Çok Yüksek Gerilim (ÇYG) sistemleri sırasıyla 154 kV ve 380 kV standart işletme gerilimine sahip olup bugün ülkenin tümünü kapsayan bir bütün teşkil eder. Anılan standart işletme gerilimlerine tekabül eden maksimum işletme gerilimleri 170 kV ve 420 kV'tur.

Zamanla daha büyük kapasiteli ve ana tüketim merkezlerinden çok daha uzakta olan üretim tesislerinin yapımının ele alınmasıyla, uzun mesafeler ve yüksek taşıma güçleri için 154 kV'luk YG iletim sisteminin yetersiz kalacağı düşünülmüş ve 1960'lı yılların başlarında projelendirme çalışmalarına geçen Keban Baraj ve HES'nin (1330MV) Ankara, İstanbul ve İzmir gibi büyük tüketim bölgelerini 500-800 km'lik mesafeler üzerinden besleyeceği de göz önüne alınarak, gerilim seviyesinin, Avrupa standardına uygun olarak 380 kV'a çıkarılmasına karar verilmiştir.

Karakaya HES ( $6 \times 300 = 1800$  MW) ile İstanbul arasında büyük kapasiteye sahip HVDC hattı ilk olarak 1973-74 yıllarında, 420 kV ve 800 kV AA hatları ile birlikte teknik ve ekonomik yönden incelenmişti. Bu etüt 1979-80 yıllarında güncellendi. 1984-85 yıllarda 420 ve 800 kV AA alternatifleri yeniden gözden geçirildi.

#### **7.2.1 $\pm 500$ kV HVDC Sistemi Yerine 420 kV AA Sistemi Kullandı ?**

Atatürk HES sistemiyle karşılaştırmaya alınan eşdeğer HVDC sisteminin ana parametreleri aşağıdaki gibi tespit edilmiştir:

Nominal iletim kapasitesi : 2x900 MW

Nominal gerilim :  $\pm 500$  kV

Nominal akım : 1800 A

Dönüştürücü istasyonlarının yeri :

Gönderici uç : Atatürk HES

Alicı uç : Paşaköy (İstanbul)

Halen inşasına başlanacak olan 3'lü demet Pheasant (1272 MCM) iletkenli iki 420 kV maksimum işletme gerilimli iki hattan oluşan AA sistemiyle  $\pm 500$  kV HVDC sisteminin karşılaştırılmasından genelde şu sonuçlar elde edilmiştir :

1. Dönüştürücü istasyonları çok pahalıdır (200 \$/kW).
2. TEK'in amacı noktadan noktaya iletim değil, güzergah boyunca gerekli yerleşim yerlerinin ihtiyacını da karşılayabilecek ve yeni yapılan hatlara da bağlantı kurabilecek şekilde enterkonnekte bir sistem kurmaktır.
3. Dönüştürücü istasyonlarının aşırı yüklenme kabiliyeti AA hatlarına göre daha azdır.
4. HVDC sistemlerinin güvenilirliği, AA sistemlere göre halen yeterli bulunmamıştır.
5. HVDC sistemindeki bozukluklar, işletme sorunları ve teçhizat hasarları oluşturabilmektedir. AA sistemde hasarlar ve arıza çözümü daha kolaydır.
6. GAP gibi büyük projeler uzun mesafe iletimini ortadan kaldırıp daha çok bölgesel iletimi ön plana çıkarabilir.
7. TEK bünyesinde AA hatlar konusunda uzmanlaşmış bir kadro mevcuttur. HVDC üzerinde uzman yetiştirmek uzun zaman alacaktır.
8. 420 kV teçhizatın hemen tamamı ülkemizde yapılmaktadır. HVDC dışa bağımlılığı getirecektir.
9. TEK 420 kV AA sisteminin başlangıçtan beri özenli dizaynı nedeniyle kararlılık ve yük akışının kontrolünde büyük sorunlar çıkarmayacağı düşünülmektedir.
10. 2 kutuplu 3 ve 4 demet pheasant iletkenli ve 1 kutuplu 3 ve 4 demet pheasant iletkenli seçeneklerine bağlı olarak, 940 km'lik  $\pm 500$  kV HVDC sisteminin maliyeti 552 ile 616 milyon \$ arasında değişmektedir. 3 demet pheasant iletkenli 2 iletim hatlı, şalt, trafo ve seri kapasitör merkezleri de dahil 940 km'lik 420 kV'luk AA sisteminin maliyeti ise 353 milyon \$'dır.

11. 420 kV AA sisteminin yıllık bakım maliyeti 174.7 milyon \$ ve ±500 kV HVDC sisteminin yıllık bakım maliyeti de 235.4 milyon \$'dır.

12. TEK tarafından yapılan incelemelerde, toplam kayıpların bugüne indirgenmiş değeri aradaki farkı kapatacak değerde bulunmamıştır. Tam yükte kayıplar, AA sisteminde 112 MW ve DA sisteminde 92 MW civarındadır.

Bütün bu sonuçlar neticesinde TEK, ±500 kV HVDC sistemi yerine 420 kV AA sistemini tercih etmiştir. (TEK, 1996)

### **7.2.2 HVDC Enerji İletim Sisteminin Türkiye'de Uygulama İmkanları**

Türkiye Elektrik Kurumu (TEK) yapmış olduğu uzun vadeli geliştirme planlarında, yeni yapılacak her Yüksek Gerilim Alternatif Akım (HVAC) enerji nakil hatlarının yanında, Yüksek Gerilim Doğru Akım (HVDC) enerji nakil hatlarını da maliyet ve güvenilirliğin yanında işletim şartları açısından da incelemiştir. Bu incelemelerin sonucunda TEK'in verdiği genel görüş, iyi tasarılanmış Türkiye entrekonnekte şebekesine bu sistemin uygun olmadığını savunduğudır. Hat uzunluğu bakımından incelemelerde Atatürk Barajı ve İstanbul arasında böyle bir hattın kurulabileceği düşünülse de, hat boyunca dağıtım yapılması gerekliliği bu işlemi zorlaştırmaktır ve çok daha pahalı yatırımları gerektirmektedir. Ayrıca Türkiye'nin AA şebekelerde kullanılan malzemelerde dışarıya bağımlılığı her geçen gün azalırken, ilk yıllarda DA hatlarda dışarıya tamamen bağımlı kalması da uygun değildir. Yetişmiş eleman açısından bakıldığından da Türkiye'nin HVAC konusunda yeterli elemana sahip olduğu görülmüyor. HVDC konusunda uzman kişilerin yetişmesi de yine zaman alacaktır.

Bütün bunlara rağmen enerji kaynaklarının gittikçe azalması, enerji maliyetinin artması ve bunun yanında yarıiletken teknolojisindeki hızlı gelişmelerle daha yüksek güçleri kontrol edebilme imkanları, gelecekte HVDC sistemlerinin çok daha fazla kullanılmasını kaçınılmaz hale getirecektir.

Gelişen dünya şartlarında Türkiye'nin komşu ülkelerle elektrik enerjisi alış-verisi ve doğu ya da batı komşularıyla enternette şebekeye bağlanması gündeme gelecektir. Bu durumda ülkelerin elektrik şebekelerindeki kararsızlıklar ve frekans uyumsuzlukları büyük sorun olacaktır. Bunları gidermek için en iyi çözümün, sistemin üstünlükleri göz önüne alındığında HVDC olacağı görülmektedir. Böyle bir uygulamadan, mevcut enerji kaynaklarının da iyi kullanılmasıyla Türkiye'nin karlı çıkışının da söylenebilir.

Diğer bir uygulamada Türkiye ile KKTC arasında yapılabilir. Şu an için belki de en öncelikli uygulama yeri burasıdır. KKTC'nin elektrik ihtiyacını Kıbrıs Rum kesiminden sağlama, KKTC için oldukça büyük bir sorun ve bağımlılıktır. Türkiye ile KKTC arasında yaklaşık 75 km'lik bir denizaltı kablosu ile HVDC iletimi yapılabilir. 30 km'nin üstündeki denizaltı iletiminde HVDC'nin, HVAC sistemlerine göre maliyet açısından da daha uygun olduğu göz önüne alınırsa, böyle bir projenin gerçekleştirilmesinin uygun olacağı sonucuna varılır. Bu hat, güvenilirlik ve ilerideki güç ihtiyaçlarını da karşılayabilmesi açısından iki iletkenli (iki kutuplu) olarak kurulmalıdır.

## **SONUÇLAR VE ÖNERİLER**

HVDC Enerji iletim sistemi, özellikle uzun vadede ekonomik olması ve güç akışının kontrol edilebilmesi bakımından AA sistemlerine göre üstünlük göstermektedir. Ancak HVDC sisteminin geleceği şu koşulların sağlanması ile sıkı sıkıya bağlıdır:

- Dönüştürücü istasyonlarının maliyetlerinin hava hatlarının maliyetlerine göre düşürülmesi,
- Dönüştürücü istasyonlarında aktif kayıpların azaltılması,
- İki veya daha fazla terminal kapsayan ÇTDA bağlantılarında güç akış kontrolünün, daha kolaylıkla ve yüksek derecede güvenilirlikle sağlanması.

HVDC Enerji iletim sisteminin incelenmesinde bilgisayar benzetiminin kullanılması problemlerin çözümünü daha da kolaylaştırmaktır ve kontrolün de daha güvenli olmasını sağlamaktadır. HVDC sisteminin bilgisayar benzetimi tablo yönteminden de faydalananarak yapılmış ve C++ yazılımı ile desteklenmiştir. Bu çalışmada geliştirilen bilgisayar yazılımı genel olarak her devreye (6 vuruşlu ve 12 vuruşlu sisteme) uygulanabilir.

Yapılan kontrol, sisteminin en önemli özelliği frekans, genlik, akım ve güç kontrollerinin geleneksel kontrol sistemlerine göre daha hassas ve daha hızlı gerçekleşmiş olmasıdır. Özellikle tristör tetiklemelerinin, diğer sistemlerdeki gibi herhangi bir fazın sıfır geçişinin yakalanarak yapılması yerine, fazların kesim noktaları yakalanarak yapılmasıyla, şebekede her bir fazın genlik ve frekans değişimleri yanı sıra, şebekedeki üç faz arasındaki açıların da sürekli olarak izlenmesi gerçekleştirilmiş ve kontrol değişkenlerinin bilgisayar programı yardımıyla otomatik olarak elde edilmesi sağlanmıştır. Yine kontrol esnasında girişte oluşacak beklenmedik aşırı düşük veya yüksek genlik frekans ve faz değerlerine karşı koruma

önlemleri alınmıştır. Bunun yanısıra, sistemin giriş ve çıkış değişkenleri monitörden izlenebilmekte ve değiştirilebilmektedir. Bu sayede çıkışta istenen akım, gerilim ve bunun sonucunda hesaplanan güç değerleri kolaylıkla elde edilebilmektedir.

PID Kontrolü ile deneysel olarak gerçekleştirilen devrenin kontrolünün daha iyi geliştirilmesi için bulanık mantık denetleyicisi kullanılmıştır. Bu sistemin kontrolünü ciddi oranda arttırmıştır.

İleriye dönük araştırmalarda tristörlü modelin güç ve gerilim sınırı artırılarak, sistemler yeniden gerçeklenmeli ve sistem bir enerji nakil hattında denenmelidir. Sistemin kontrolünde bulanık mantık (Fuzzy Logic) kullanılması daha geniş incelenmelidir. Yapay sinir ağları yöntemleri kullanılarak bulanık denetleyicilerin( Neural-Fuzzy Kontrol) sisteme otomatik adaptasyonu değişen şartlara öğrenerek yaklaşımı sağlanabilecektir. Bunun yanında harmonik kontrolleri ve kararlılık problemleri de İrdelenmelidir.

## KAYNAKLAR

1. ALVES, J.E.R, 1993. An Adaptive Digital Controller Applied to HVDC Transmission, IEEE Trans.on Power Delivery, Vol.8, No.4, pp 1851-1861
2. AMINZADEH, F., and JAMSHIDI, M., 1994. Soft Computing Fuzzy Logic, Neural Networks, and Distributed Artificial Intelligence, Printece Hall Inc.
3. ANG, S.S, 1995. Power Switching Converters, Marcel Dekker Inc., New York.
4. ARGITIS, L.M., ZACHARIAS, T., 1988. Transient Simulation of Integrated AC/DC Systems PartI : Converter Modelling and Simulation, IEEE Trans. on Power Systems Vol.3, No.1, pp 166-172
5. AZEVEDO, H.R. and et al., 1993. A Fuzzy Logic Controller for DC Motor Position Control, IEEE 2nd Int. Workshop on Emerging Tech. and Factory Automation, USA.
6. B.E., and JACKSON, R.D., Computer-Aided Design of Thyristor Circuits: the Sparse-Network Tableau Approach
7. BALIGA, B.J., 1994. Power Semiconductor Devices for Variable-Frequency Drives, Proceedings of IEEE, Vol.82, No.8. pp. 1112-1121.
8. BAŞBUĞ, A., 1994. Bulanık Teknoloji. Byte Dergisi.
9. BATUR, C., and et al., 1994. A Self-Tuning Fuzzy Controller with Switching Control Modes. Trans. of the ASME, Journal of Dynamic Systems, Measurement and Control. Vol.116, No.4. pp. 795-800.
10. BAUSIERE, R., et al., 1993. Power Electronic Converters. Springer-Verlag, Berlin.
11. BEZDEK, J., 1993. Editorial Fuzzy Models-What are They, and Why? IEEE Trans. on Fuzzy Systems, Vol.1, No.1.
12. BODSON, M., 1996. Trends in Electronics for Electric Motor Control. IEEE Control System Magazine. pp. 88-96.
13. BOKHOVEN, W.M.G.V., 1975. Linear Implicit Differentiation Formulas of Variable Step and Order, IEEE Transaction On Circuit and System Theory, Vol.CAS-22, No.2, pp 109-115
14. BOLOGNANI, S., 1992. The Application of Fuzzy Controllers to Motor Drives. SPEEDAM, Italy.

15. BONISSONE, P.P., and et al., 1995. Industrial Applications of Fuzzy Logic at General Electric. Proceedings of IEEE, Vol. 83, No.3. pp. 450-463.
16. BOSE, B. K., 1978. A DC Motor Control System for Electric Vehicle Drive. IEEE Trans. on Ind. Application, Vol.14, No.6, pp. 565-567.
17. BOSE, B. K., 1994a. A Fuzzy Set Theory Based Control of A Phase-Controlled Converter DC Machine Drive, IEEE Trans. on Industry Applications, Vol.30, No.1.
18. BOSE, B.K., 1994b. Expert Systems, Fuzzy Logic, and Neural Network Applications in Power Electronics and Motion Control. Proceedings of IEEE, Vol. 82, No.8. pp. 1303-1316.
19. BRANCO, C., and et al., 1994. Automatic Modeling of an Electrical Drive System Using Fuzzy Logic. The Industrial Fuzzy Control and Intelligent Systems Conference. USA.
20. BRAYTON, R.K., GUSTOVSON, F.G., and HACHTEL, G.D., 1972. A New Efficient Algorithm for Solving Differential-Algebraic Systems Using Implicit Backward-Differentiation Formulas, Proc. IEEE, Vol.60, No.1, pp 98-108
21. BUJA, G.S., TODESCO, F., 1994. Neural Network Implementation of a Fuzzy Logic Controller. IEEE Trans. on Ind. Electronics, Vol.41, No.6. pp 663-665.
22. CALDERON, G.R., AVILA, M.C., MORFIN, F.J., 1994. Stable Adaptive Fuzzy Control of a DC Motor. NAFIPS'94 1. Int. Industrial Fuzzy Control and Intelligent Systems Conference. USA.
23. CAPONETTO, R., PRESTI, L.M., VINCI, C., 1995. Genetic Optimization for the Design of an n-step Fuzzy Controller. IEEE Int. Conference on Systems Man and Cybernetics. Vol.1.
24. DANAHUE, J.A., FISHER, D.A., 1993. Performance Testing of the Sundy Pond HVDC Converter Terminal IEEE Trans. on Power Delivery , Vol.8, No.1, pp 422-428
25. DANIEL, J.Lorden, 1992. A Digitally Based HVDC Firing-Pulse Synchronization Control-Description and Model Development, IEEE Trans.on Power Delivery, Vol.7, No.3, pp 1405-1416
26. DASH, P.K., 1993. High-Performance Controllers for HVDC Transmission Links, IEEE Trans.Proc.Gener. Trans.Distrib., Vol.141, No.5, pp 422-433
27. DOĞUERİ, A.K., 1996. Bulanık Mantık ve Bulanık İşlemciler. Otomasyon Dergisi, Şubat sayısı.
28. ELASSER, A., et al., 1996. Soft Switching Active Snubbers for DC/DC Converters. IEEE Trans. on Power Electronics, Vol.11, No.5, pp. 710-721.

29. ELECTRİC POWER DEVELOPMENT CO., 1991. Technology on HVDC Converter Station, Tokyo, Japan
30. EL-SERAFİ, A.M, SHEDATA, S.A., 1976. Digital Simulation of An AC/DC System, IEEE Trans. Vol. Pas-95, No.2, pp 731-741
31. EPDC, 1990,Hokaido-Honshu HVDC link, Tokyo Japan.
32. FRANK, P.M., 1996. More Robustness and Economy in Control Engineering Through Fuzzy Techniques, Kocaeli Üniversitesi Fuzzy Control Semineri (Yayınlanmamış).
33. GILES, M. and RAHMAN, S., 1994. Using Neural-Fuzzy in Control Applications. WESCON/94 Conference, New York.
34. GÖNEN, T.,1998. Electric Power Transmission System Engineering, John Wiley NY
35. GUILLEMIN, P., 1996. Fuzzy Logic Applied to Motor Control. IEEE Trans. on Industry Appl. Vol.32, No.1. pp. 51-56.
36. GULLEY, N. and JANG, J.S., 1995. Fuzzy Logic Toolbox for Use with Matlab. The Math Works Inc. München.
37. HALL, L.O., and HATHAWAY, R.J., 1996. Software Review, Fuzzy System Toolbox. IEEE Trans. on Fuzzy Systems, Vol.4, No.1, pp. 82-85.
38. HAMMAND, A., MİNGHETTİ, R, 1993. Controls Modeling and Verification for The Pacific Intertic HVDC 4 terminal Scheme, IEEE Trans. on Power Delivery, Vol. 8, No.1, pp 367-375
39. HANCTEL, G.D., BRAYTON, R.K., and GUSTAVSON F.G., 1971. The Sparse Tableau Approach to Network Analysis and Design, Transaction on Circuit and System Theory, vol. CT-18, No.1 , pp 101-113
40. HARASHIMA, F., 1994. Power Electronics and Motion Control-Future Perspective. Proceedings of IEEE, Vol. 82, No.8. pp. 1107-1110.
41. HASSAN, M.M., STANEK, E.K.,1983. Analysis Techniques in AC/DC Power Systems, IEEE Trans. on Industry App. ,Vol.1A-17, No.5, pp 473-480
42. HINGORANI, N.G.,1996. High-Voltage DC Transmission A Power Electronics Workhorse, IEEE Spectrum, pp 63-72
43. HİNGORANI, N.G., HAY, S.L., KİTCHEN, R.H. and HAY, J.L., 1968. Dynamic Simulation of HVDC Power Transmission Systems on Digital Computer, IEEE Trans. Vol. PAS-87, No. 4, pp 989-996
44. HOLTZ, J., 1994. Pulse Width Modulation for Electronic Power Conversion. Proceedings of IEEE, Vol. 82, No.8. pp. 1194-1212.

45. JAMSHIDI, M., et al., 1993. Fuzzy Logic and Control, Software and Hardware Applications. PTR Prentice Hall Inc. New Jersey.
46. KANDEL, A., LANGHOLZ, G., 1994. Fuzzy Control Systems. CRC Press. London.
47. KASAKIAN, J.G., SCHLECHT, M.F., VERGHOSE,G.C.,1991. Principles of Power Electronics, Addison Wesley
48. KHAN, E., RAHMAN, S., 1995. Fuzz Logic Gets a Boost From Neural Nets. Electronic Design. Vol.43, No.13. pp. 128-132.
49. KIM, J. H., et. al., 1994. A Two Layered Fuzzy Logic Controller for System with Dead zones, IEEE Transactions on Industrial Electronics. Vol.41, No.2.
50. KIM, S.W., KIM, E.T., PARK, M., 1993. A New Fuzzy Adaptive Controller Using A Robust Property of Fuzzy Controller. IEEE Int. Conference on Intelligent Robots and Systems. Vol.2. pp. 891-897.
51. KİMBARK, E.W., 1971. Direct Current Transmission, Vol. I , Wiley-Interscience
52. LEE, C.K., CHAN, W.T., 1995. Utilisation of the Saturation Effect on a DC Motor Drive with a Fuzzy Controller. IEEE Int. Conference on Industrial Automation and Control. pp 342-349.
53. L-HAWARY, E.E., 1986. Principles of Electric Machines with Power Electronic Applications, Prentice-Hall Inc.
54. LI, C.K., LEE, W.L., CHOU, Y.W., 1995. Fuzzy Control of Power Converters Based on Quasilinear Modelling. Electronics Letters, Vol.31, No.7. pp 594-595.
55. LIN, P.H., ELLSWORTH, C., 1995. Design and Implementation of PC-Based Universal Fuzzy Logic Controller System. IEEE Int. Conference on Industrial Automation and Control.
56. LIN, P.H., HWANG, C.J., 1994. Comparison on Fuzzy Logic and PID Controls for a DC Motor Position Controller. IAS'94 Industry Applications Conference.
57. MAHARSİ,Y.,DO,V.Q.,SOOD,V.K.,CASARİO,BELANGER S., J.,1995.HVDC Control System Based on Parallel Digital signal Processors, IEEE Transection on Power Systems, Vol.10 No.2
58. MATLAB WORKS INC., 1996. SIMULINK, Toolbox User's Guide.
59. MATLAB WORKS INC.,1995. MATLAB, User's Guide.
60. MATTAVELLI, P., ROSETTO, L., TENTI, P., 1997a. Small-Signal Analysis of Dc-Dc Converters with Sliding Mode Control. IEEE Tran. on Power Electronics, Vol.12, No.1, pp.96-102.

61. MATTAVELLI, P., SPIAZZI, G., 1997b. General-Purpose Fuzzy Controller for Dc-Dc Converters. IEEE Tran. on Power Electronics, Vol.12, No.1, pp.79-86.
62. MENDEL, J.M., 1995. Fuzzy Logic Systems for Engineering: A Tutorial. Proceedings of IEEE, Vol. 83, No.3. pp. 345-375.
63. MOAHN, N., UNDELAND, T.R., ROBBINS, W.P., 1989. Power Electronics, Converter Application and Design, NY, John Wiley & Sons
64. MUNAKATA, T., and JANİ, Y., 1994. Fuzzy Systems: An Overview. Communication of the ACM. Vol.37, No.3. pp. 69-76.
65. NAKAJIMA, F., 1993. Design and type test of a light triggered thyristor valve for back-to-back system, IEEE trans. on power delivery, Vol.8, No1., pp 31-36.
66. NASAR, S.A., 1995. Electric Machines and Power Systems. McGraw-Hill Inc.New York, 1971
67. New achievements in high voltage direct current power transmission, CGEE Alsthom uygulama ve tanıtım notu.
68. NEWTON, D.A., 1995. Advanced Traction and Braking Systems. GEC Review. Vol. 10, No. 2. pp. 72-80.
69. NYATİ, S., GUETH, G., 1990. Investigation of HVDC Inverter with Series Compensation of Analogue Simulator, IEEE Trans. on Power Delivery, Vol.5, No.2, pp. 668-674
70. ÖLÇER, E. ve diğ., 1997c. Yüksek Gerilimle DC Enerji (HVDC) iletiminde kayıpların Azaltılması, Türkiye 7. Enerji Kongresi, Ankara, 9. World Energy Council ,Türk Milli Kongresi
71. ÖLÇER, E., et al., 1996b. Fuzzy Control of Traction Motor in Light metro Vehicle. 1st Int. Conference on Computer Aided Design, Manufacture and Operation in the Railway and Mass Transit Systems COMPRAIL 96. Berlin, Germany
72. ÖLÇER, E., et al., 1997a. Fuzzy Logic Control of Converter in High Voltage DC Transmission System, IEEE ICIPS'9 IEEE International Conference on Intelligent Processing Systems, Beijing-China
73. ÖLÇER, E., et al., 1997b. Design and Application of Fuzzy Controller for Traction Motor in Metro Vehicle. 8. IFAC Symposium on Transportation Systems. Chania, Greece
74. ÖLÇER, E., et al., 1997d. Modelling and Controlling of Chopper Driven DC Traction Motor with Fuzzy Logic. IASTED International Conference Modelling, Identification and Control. Innsbruck, Austria.

75. ÖLÇER, E., ve dig, 1996c. HVDC Sisteminin Bulanık Mantık Kullanarak Bilgisayar Tabanlı Kontrolü, 4.Bilgisayar Haberleşme Sempozyumu, Bursa,1996, 11.TMMOB
76. ÖLÇER, E., ve dig., 1996a. Hafif Metro Tahrik Sistemlerinin Bulanık Mantık Kullanılarak Kontrolü. 1. Ulusal Ulaşım Sempozyumu, Ayazağa, İstanbul. ss 415-421.
77. ÖLÇER., E., ve dig., 1997e. Fuzzy Logic Control of High Voltage DC Transmission System,5<sup>th</sup> Fuzzy Days in Dortmund, Dortmund,Germany
78. PADİYAR, K.R.,1990. HVDC Power Transmission Systems, Technology and Systems Interactions,John Walley & Sons N.Y.
79. PAYİDAR, K.H., SACHCİDANAND,1983. Digital Simulation of Multiterminal HVDC System Using A Novel Converter Model, IEEE Trans. Vol. PAS-102 No 6., pp 1624-1632
80. PAYİDAR, K.R., SACHCHİDANAND KOTHARI, A.G., 1989. Study of HVDC Controls Through Efficient Dynamic Digital Simulation of Converters, IEEE Trans. on Power Delivery, No.4, pp 2171-2178
81. QIN, J. S., 1994. A Multiregion Fuzzy Logic Controller for Nonlinear Process Control”, IEEE Trans. on Fuzzy Systems, Vol.2, No.1.
82. RAMSHAW, R.S., 1993. Power Electronics Semiconductor Switches. Chapman & Hall Inc. London. pp. 296-320.
83. RASHID, M.H., 1988. Power Electronics Circuits. Devices, and Applications. Prentice-Hall Inc.
84. RASHİD, M.H.,1993. Power Electronics Circuits,Devices and Aplication, 2<sup>nd</sup> ed. N.J. Printence Hall
85. RASHİD, M.H.,1994. Spice for Power Electronics and Electric Power, N.S. Printice Hall 1994
86. RAVIRAJ, V.S.C., and SEN, P.C., 1995. Comparative Study of PI, Sliding Mode and Fuzzy Logic Controllers for Power Converters. IEEE IAS Meeting USA, pp. 1651-1655.
87. ROSTAMKOLAI, N., WEGNER, C.A., PIWKO, R.J.,1993. Control Design of Santo Tome Back-to-Back HVDC Link, IEEE Trans., Vol.8, No.3, pp 1250-1256
88. RYFF, P.F., 1996. Electric Machinery. Prentice Hall Inc.
89. SCHAEFER, R., 1993. Design and Project Comparison: Conventional and Fuzzy Control. Fuzzy Logic'93. pp. 844-848.

90. SCHWARTZ, D.G., 1994. Applications of Fuzzy Sets and Approximate Reasoning, Proceedings of the IEEE, Vol.82, No.4.
91. SEN, P.C., 1989. Principles of Electric Machines and Power Electronics, John Wiley & Sons Inc.
92. SHEPHERD, W., HULLEY, L.N., LIANG, D.T.W., 1995. Power Electronics and Motor Control. Cambridge University Press.
93. SLEMON, G.R., 1994. Electrical Machines for Variable-Frequency Drives. Proceedings of IEEE, Vol. 82, No.8. pp. 1123-1139.
94. SMITH, M.L., 1994. Sensors, Appliance Control, and Fuzzy Logic. IEEE Trans. on Industry Applications. Vol.30, No.2, pp. 305-309.
95. SOLIMAN, H.F., SHARAF, A.M., KANDIL, S.A., 1994. A Tunable Fuzzy Logic Controller for Chopper Fed Separately Excited DC Motor Drives. 7. Mediterranean Electrotechnical Conference.
96. SOUSA, G.C.D., and BOSE, B.K., 1995. Fuzzy Logic Applications to Power Electronics and Drives- An Overview. IEEE Int. Conference on Industrial Electronics and Instrumentation. Vol.1. pp. 57-62.
97. TANIGUCHI, K., OGİANA, Y., and IRIE, H., 1988. PWM Technique for Power Mosfet Inverter, IEEE Transaction On Power Electronics, Vol.3, No.3, pp 328-334
98. TEETER, J.T., and et al., 1996. A Novel Fuzzy Friction Compensation Approach to Improve the Performance of a DC Motor Control System. IEEE Tran. on Industrial Electronics. Vol.43, No.1. pp. 113-120.
99. TEETER, J.T., CHOW, M.Y., BRICKLEY, J.J., 1994. Use of A Fuzzy Gain Tuner for Improved Control of A DC Motor System with Nonlinearities. IEEE Int. Conference on Industrial Technology. pp. 258-262.
100. TEIXEIRA, E., and et al., 1994. The Use of Neuro-Fuzzy Networks in the Control of Nonlinear Systems. IECON/94 Conference, USA.
101. TEK, 1996
102. TÜBİTAK, 1996. EEAG-52 Araştırma projesi
103. ULLAH, Z., NEELY, W.S., KHAN, E., 1995. A Microcontroller Implementation of a Neu-Fuz Control Systems. IEEE Int. Conference on Fuzzy Systems. Vol.4. pp. 1785-1792.
104. VADİVEL, S., BHUVANESWARI, G., and RAO, S., 1991. A Uniifed Approach to the Real-Time Implementation of Microprocessor-Based PWM Waveforms, IEEE Transaction On Power Electronics, Vol. 6, No.4, pp 565-567

105. VARNAVITSKY, M., 1983. A Microcomputer-Based Control Signal Generator for a Three-Phase Switching Power Inverter, IEEE Transaction On Industry Applications, Vol.1A-19, No.2, pp 228-234
106. VOVOS, N., GALANOS, G., 1983. A Mathematical Model for Dynamic Simulation of HVDC System, IEEE Trans. Vol. PAS-102, No.6, pp 1755-1763
107. WANG, F.H., and LEE, C.Q., 1994. Comparison of Fuzzy Logic and Current-Mode Control Technique in Buck, Boost and Buck-Boost Converters. IEEE PESC, pp.1079-1085.
108. WYK, J.D.V., 1994. Power Electronic Converters for Motion Control. Proceedings of IEEE, Vol. 82, No.8, pp. 1164-1188.
109. YAGER, R.R., FILEV, D.P., 1994. Essentials of Fuzzy Modeling and Control. John Wiley and Sons Inc. New York.
110. YASUNOBU, S., and et al., 1992. Fuzzy Control for Automatic Train Operation Systems. Fuzzy Sets for Intelligent Systems. pp. 348-352

## **EKLER**

Ek A`da, yapılan kontrol programının genel akış şemaları verilmiştir.

Ek B`de, C++ dilinde yazılmış kontrol programı görülmektedir. Kontrol programı laboratuarda kurulan HVDC modelinin kontrolünde kullanılmıştır.

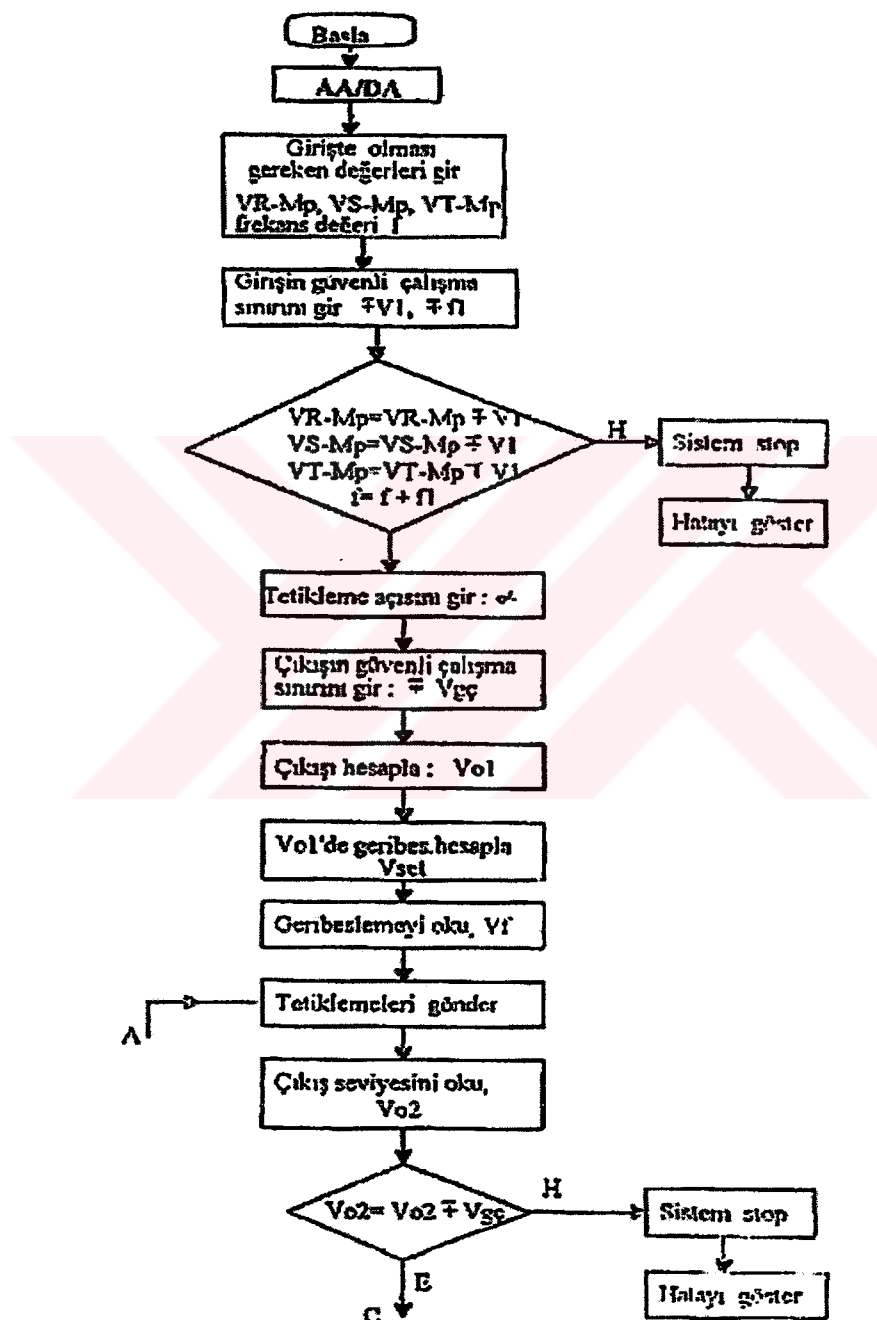
Ek C`de kontrol işleminde bilgisayar ile model devreler arasında iletişimini sağlayan AD1200 kontrol kartının özellikleri verilmiştir.

Ek D`de, laboratuarda kurulan modelden alınan fiziksel devre çıktıları verilmiştir. Bu çıktılar, sayısal osiloskoptan RS-232 yardımıyla bir seri haberleşme programı kullanılarak, bilgisayara aktarılmış ve böylelikle yazıcıdan alınmaları sağlanmıştır.

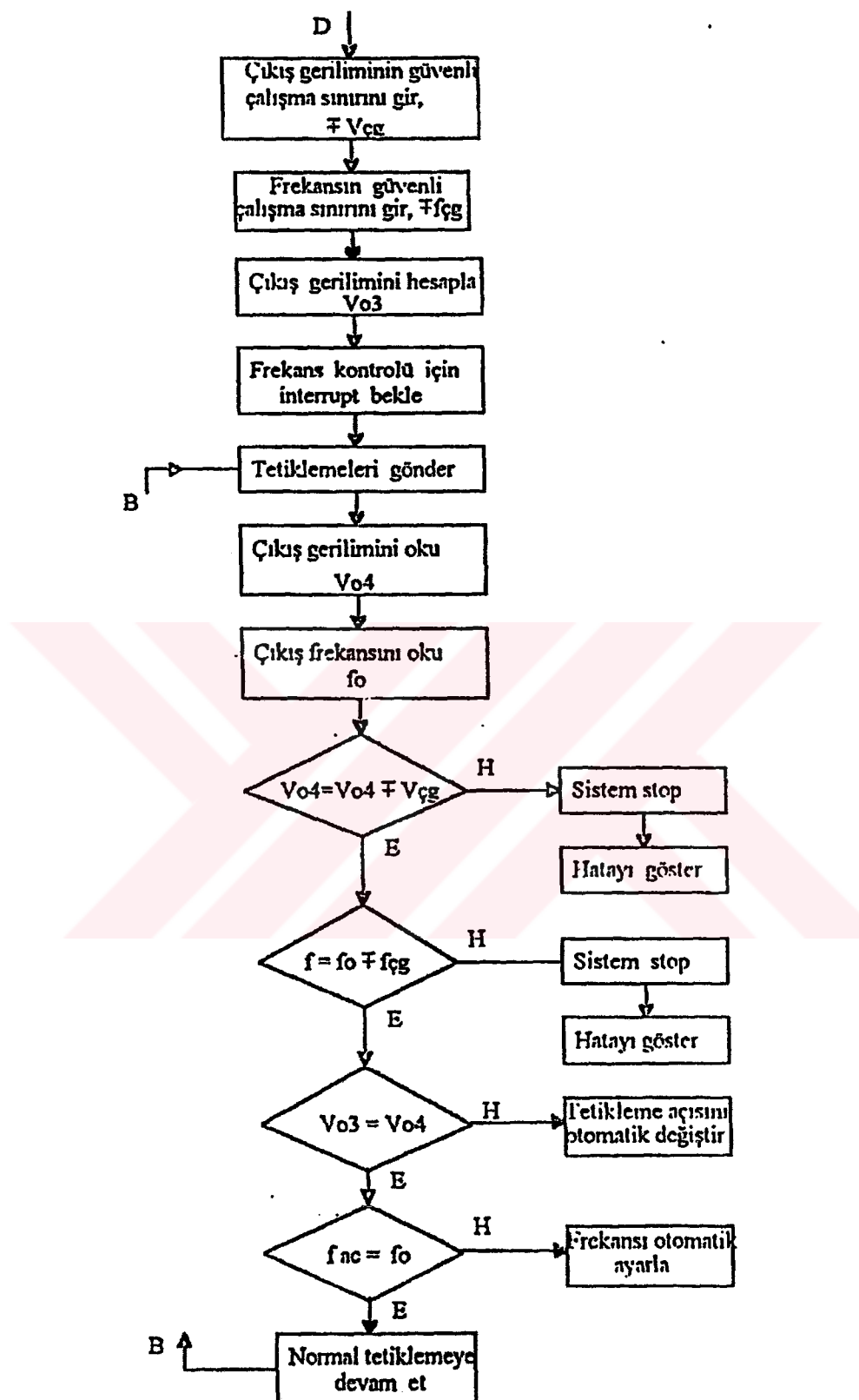
Ek E`de, yapılan pratik çalışmada kullanılan devre şemaları verilmiştir.

Ek F`de Bulanık mantık kullanılarak MATLAB`da hazırlanmış benzetim modeli verilmiştir.

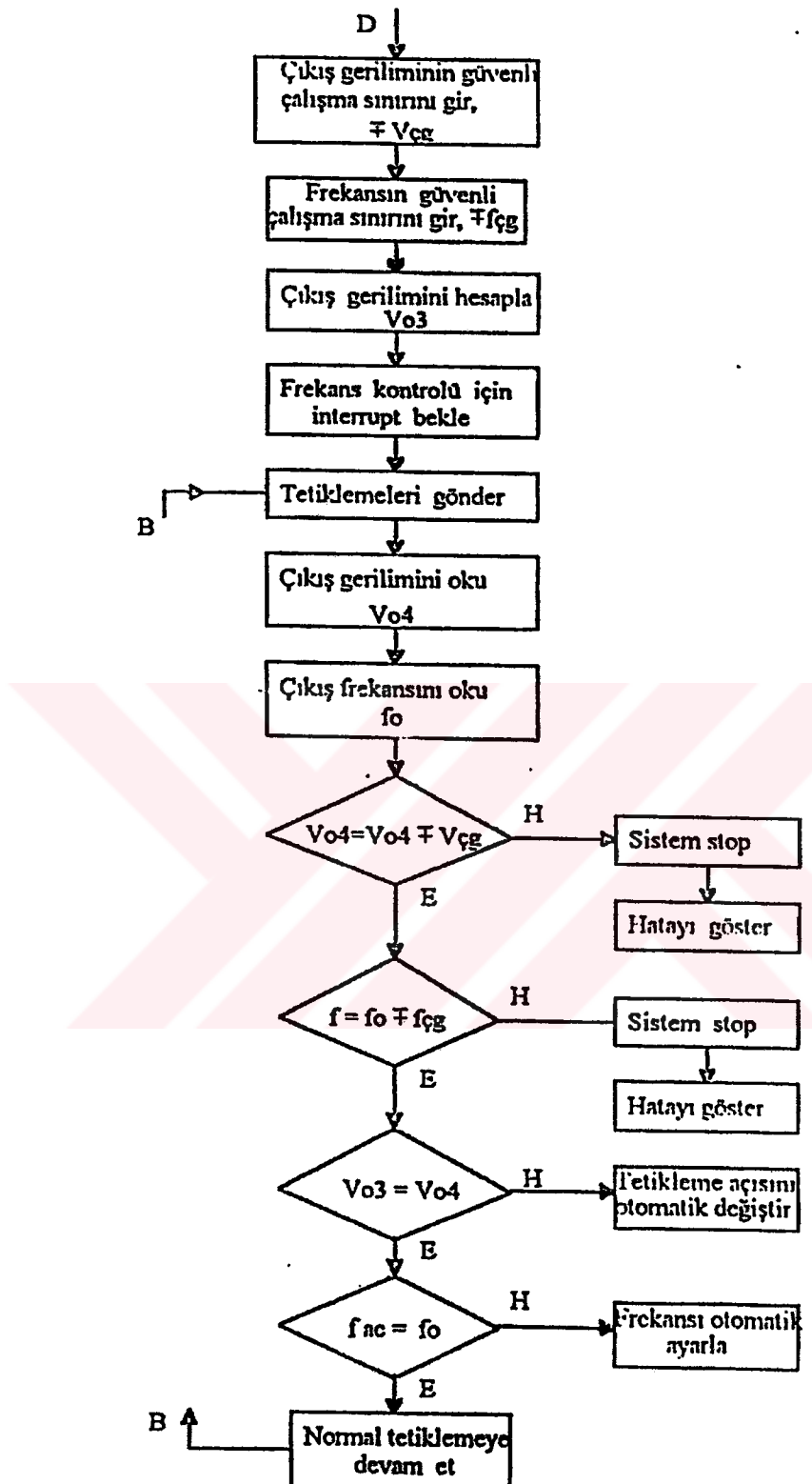
## EK - A



Şekil A.1. Deneysel olarak gerçekleştirilen programın akış diyagramı



Şekil A.2. Deneysel olarak gerçekleştirilen programın akış diyagramı (Devamı)



Şekil A.3. Deneysel olarak gerçekleştirilen programın akış diyagramı (Devamı)

## EK - B

```
#include <dos.h>

#include <conio.h>

#include <stdio.h>

#include <string.h>

#include "AD1200.h"

#include "AD1200.inc"

unsigned char OldIMRMask, /* Interrupt Mask Register storage variable */

IRQ, /* IRQ used to generate interrupts */

tr1,tr2,td,flag;

unsigned int intper,alfa , dbuz; //tetikleme acısı,tetikleme darbe uzunluğu

float feedback;

void interrupt (*OldINT) (void); /* Original interrupt storage */

*****
```

### AToDConversion

The AToDConversion function samples from the specified channel and returns the digitized value.

```
*****/

int AToDConversion(unsigned char Channel)

SetChannel(Channel); /* Set the channel from which to sample */

StartConversion(); /* Start a conversion */

while (ConversionDone() == 0); /* Wait until data is ready */
```

```
    return(ReadData()); /* Return digitized value */
```

```
)
```

```
*****
```

### ClearBitInIMR

This function clears a bit in the 8259 Interrupt controller that will

enable interrupts on the appropriate IRQ line. For example to enable

interrupts from IRQ 3 bit 3 must be cleared. Remember that bits are

numbered 0..7.

```
*****/
```

```
void ClearBitInIMR(unsigned char Bit)
```

```
{
```

```
unsigned char Twos[8] = { 1, 2, 4, 8, 16, 32, 64, 128};
```

```
unsigned char OldIMR, IMR;
```

```
OldIMR = inportb(0x21); /* Read in current IMR */
```

```
IMR = OldIMR & (255 - Twos[Bit]); /* Clear desired bit */
```

```
outportb(0x21, IMR); /* printf out new IMR */
```

```
}
```

```
*****
```

### SetBitInIMR

This function sets a bit in the 8259 Interrupt controller that will

mask out interrupts on the appropriate IRQ line. For example to disable

interrupts from IRQ 3 bit 3 must be set. Remember that bits are

numbered 0..7.

```
*****
void SetBitInIMR(unsigned char Bit)

{
    unsigned char Twos[8] = { 1, 2, 4, 8, 16, 32, 64, 128};

    unsigned char OldIMR, IMR;

    OldIMR = inportb(0x21);      /* Read in current IMR */

    IMR = OldIMR | Twos[Bit];    /* Set desired bit */

    outportb(0x21, IMR);        /* cprintf out new IMR */

}
*****
```

### VectorInterrupt

The VectorInterrupt function is used to assign a new vector for the designated interrupt.

```
*****
void VectorInterrupt(int InterruptNumber, void interrupt (*ISR)())

{
    disable();      /* Don't want int called during revector */

    setvect(InterruptNumber, ISR); /* Set the vector */

    enable();       /* Reenable interrupts */

}

unsigned int ReadTimer(unsigned char Timer)

{
    unsigned char LSB, MSB;
```

```

LSB = inportb(BaseAddress+ Timer);

MSB = inportb(BaseAddress+ Timer);

return( (MSB * 256) + LSB);

}

void SetTimer_B(unsigned char mode, float Rate)

{

ClockMode(TIMER_A-8, 2);

ClockDivisor(TIMER_A-8, 1); //4 MHz all time clock

ClockMode(TIMER_B-8, mode);

ClockDivisor(TIMER_B-8, Rate);

}

void SetTimer_C(unsigned char mode, float Rate)

{

ClockMode(TIMER_C-8, mode);

ClockDivisor(TIMER_C-8, Rate);

}

void tetikle(int iodegeri)

{

unsigned int i, say=2; //

while(say>0)

{

```

```

//WriteDigitalIO(2, 3);

WriteDigitalIO(0, iodegeri);

//WriteDigitalIO(2, iodegeri+3);

i=10*dbuz; while(i>0) i--; //gecikme sağla

WriteDigitalIO(0, 0); //darbeyi kaldır

i=10*dbuz; while(i>0) i--; //gecikme sağla

say--;

}

}

int tristorno(void)

{

float r,s,t;

unsigned char rst=0,trnum;

r=DigitalToReal(AToDConversion(0));if (r>2.5) rst=rst|1;

s=DigitalToReal(AToDConversion(1));if (s>2.5) rst=rst|2;

t=DigitalToReal(AToDConversion(2));if (t>2.5) rst=rst|4;

SetChannel(3); // Set channel 3

SetExternalTrigger(DISABLED); // Use internal/software trigger

StartConversion(); // Start a conversion

while (ConversionDone() == 0); // Wait until data is ready

feedback=DigitalToReal(ReadData()); //geribeslemeyi oku

if (rst==1) trnum=12; //T1,T2 (4+8) =(0000 1100)=12

if (rst==3) trnum=24; //T2,T3 (8+16) =(0001 1000)=24

```

```

if (rst==2) trnum=48; //T3,T4 (16+32) =(0011 0000)=48

if (rst==6) trnum=33; //T4,T5 (32+1) =(0100 0001)=33

if (rst==4) trnum=129; //T5,T6 (1+128)=(1000 0001)=129

if (rst==5) trnum=132; //T6,T1 (128+4) =(1000 0100)=132

return(trnum);

}

void interrupt NewISR(void)

{

disable();                                //kesme izni verme

intper=65535-ReadTimer(TIMER_C);           //o anki zam.C.yi oku

SetTimer_C(4,65535);                      //Zam.C'yi max degere set et

if (tr1>0)

{

    if (ReadTimer(TIMER_B)>alfa) //Zam.B == 0 ? alfa kadar gecikme oldumu?

    {

        SetTimer_C(4,65535); tetikle(tr1); tr1=0;

        if (tr2>0) //tr1 tetiklenme suresi içinde ikinci tetiklenme

        {

            //suresi başlatıldı mı?

            SetTimer_B(4,alfa-(65535-ReadTimer(TIMER_C)));

            SetTimer_C(4,65535);

            tr1=tr2; tr2=0;

            goto a;

        }

    }

}

```

```

        goto a;

    }

else { SetTimer_C(4,65535); tr2=tristorno(); goto a; }

}

else { //kesme geldi!

    SetTimer_B(4,alfa); SetTimer_C(4,65535); //alfa de§eri Zam.B'ye

    tr1=tristorno(); //tristor tetik. nosunu bellekle!

}

a:

outportb(BaseAddress + CLEAR_BOARD, 0); /* Clear Interrupt on AD1200 */

outportb(0x20, 0x20); /* End of interrupt command to controller */

enable(); //kesmelere izin ver!

}

*****

```

The ConfigureIRQ procedure saves the startup Interrupt Mask Register (IMR)

and the startup value of the interrupt vector, then sets the interrupt  
vector to point at the NewISR procedure. Remember to use the  
RestoreStartupIRQ procedure (below) before exiting your program to restore  
things to their original state.

\*\*\*\*\*\*/

```

void ConfigureIRQ(unsigned char IRQ)

{
    SetIRQStatus(ENABLED);

```

```

OldIMRMask = inportb(0x21); /* Save original IMR Mask */

OldINT = getvect(IRQ + 8); /* Save startup vector */

VectorInterrupt(IRQ + 8, NewISR); /* Set New vector */

}

*****

```

The RestoreStartupIRQ procedure restores the startup IMR and interrupt vectors that were saved in the ConfigureIRQ procedure. Do not call this procedure without first calling the ConfigureIRQ procedure.

```

*****/

void RestoreStartupIRQ(void)

{
    disable(); /* Don't want interrupts occurring
                while switching vectors */

    outportb(0x21, OldIMRMask); /* Reset IMR to startup value */

    VectorInterrupt(IRQ + 8, OldINT); /* Reroute original interrupt */

    enable(); /* Reenable interrupts */
}

*****

```

**ProgramTitle**

```

*****/

void ProgramTitle(char St[80])

{
    gotoxy(1,1); clreol();

```

```

cprintf("HVDC Inverter&Converter Program V6");

gotoxy(80 - strlen(St), 1);

cprintf(St);

}

void main(void)

{

float vset;

char c;

unsigned int max=0,min=65535,i;

IRQ = 3;

InitializeBoardSettings(592, 10.0, BIPOLAR); /* Set base address and volt range*/

clrscr();

ProgramTitle("Interrupt driven");

gotoxy(1, 25);

cprintf("Ercan Ölçer");

ResetBoard();      /* Reset the board */

ConfigureIOPorts(OUTPUT,INPUT);

ConfigureIRQ(IRQ);      /* setup the IRQ */

//SetUserClock(100);

SetExternalTrigger(DISABLED); /* Trigger from software */

ClearBitInIMR(IRQ);      /* Enable interrupts on specified IRQ */

tr1=0;

tr2=0;

```

```

td=1;

SetIRQStatus(ENABLED); /* Allow interrupts from AD1200 */

/*

```

The following loop displays the value read from the A-D board during the last interrupt. If you have a signal connected to channel 0 on your board you will see the voltage of that signal displayed. Note that ADValue is never updated inside of this loop yet its value changes with your signal.

This is because ADValue is updated in the interrupt routine.

```
*/
```

```

alfa=20000/2; //default alfa degeri 1000

dbuz=50; //default darbe uzunlugu 50

vset=1.9 ; // set value 20 volt

gotoxy( 20,10);

WriteDigitalIO(2,3);

printf("<q>uit");

gotoxy( 20,11);

printf("-----");

gotoxy( 20,12); printf("current <1>alfa= %6u",alfa*2);

gotoxy( 20,13); printf("current <2>dbuz= %6u",dbuz);

gotoxy( 20,14); printf("current <3>vset= %6.2f",vset);

gotoxy( 20,15); printf("Feedback Value = ");

gotoxy( 20,16); printf("Curr. Int Time = ");

gotoxy( 20,17); printf("Max Int Value = ");

```

```

gotoxy( 20,18); printf("Min Int Value =  ");

gotoxy( 20,19); printf("Max Ovrlw Int =  ");

gotoxy( 20,20); printf("Min Ovrlw Int =  ");

while(c!='q')

{

    if (!kbhit())

    {

        if (feedback>vset)

        {

            alfa=alfa+100;

            if (alfa>12500) alfa=12500;

        }

        else     {

            alfa=alfa-100;

            if (alfa<7500) alfa=7500;

        }

        if (max<intper) max=intper;

        if (min>intper) min=intper;

        if (min<(alfa-alfa*0.15)) { gotoxy(37,20); printf("%6u",min);}

        if (max>(alfa+alfa*0.15)) { gotoxy(37,19); printf("%6u",max);}

        if (i<1000) i++;

    }

    else     {

        gotoxy(37,15); printf("  ");
    }
}

```

```

        gotoxy(37,15); printf("%6.2f",feedback);

        gotoxy(37,17); printf("    ");

        gotoxy(37,17); printf("%6u",max);

        gotoxy(37,18); printf("    ");

        gotoxy(37,18); printf("%6u",min);

        gotoxy(37,16); printf("    ");

        gotoxy(37,16); printf("%6u",intper);

        gotoxy(37,12); printf("    ");

        gotoxy(37,12); printf("%6u",alfa*2);

        max=0; min=65535; i=0;

    }

}

else {
    c=getch();

    if(c=='1')

    {

        gotoxy( 20,12); printf("new  ");

        gotoxy( 38,12); scanf("%u",&alfa); alfa=alfa/2;

        max=0;

        gotoxy( 20,12); printf("current");

        gotoxy(37,12); printf("%6u",alfa*2);

    }

    if ((alfa>0)&&(c=='2'))

```

```

    {

        gotoxy( 20,13); printf("new ");

        gotoxy( 38,13); scanf("%u",&dbuz);

        gotoxy( 20,13); printf("current");

        gotoxy(37,13); printf("%6u",dbuz);

    }

    if ((alfa>0)&&(c=='3'))

    {

        gotoxy( 20,14); printf("new ");

        gotoxy( 38,14); scanf("%f",&vset);

        gotoxy( 20,14); printf("current");

        gotoxy(37,14); printf("%6.2f",vset);

    }

}

}

SetIRQStatus(DISABLED);

RestoreStartupIRQ(); /* Restore interrupt system to startup

configuration */

clrscr();

}

```

## **EK - C**

### **AD 1200 KONTROL KARTININ ÖZELLİKLERİ**

Analog girişler :

16 giriş

Giriş direnci > 10 Mohm

Giriş aralığı  $\pm 5$ ,  $\pm 10$  V veya 0, +10 V

Çevrim hızı 5 $\mu$ sn

A/D Dönüştürücü :

Çözünürlük 12 bit

Çevrim hızı 5 $\mu$ sn

Hız 125 kHz

Sayısal Giriş / Çıkışlar :

16 giriş / çıkış

$V_H = 4.2 \text{ V, min}$

$V_L = 0.45 \text{ V, mak}$

Giriş yük akımı  $\pm 10\mu\text{A}$

Sayısal / Analog Dönüştürücü

Analog çıkış 2 Adet

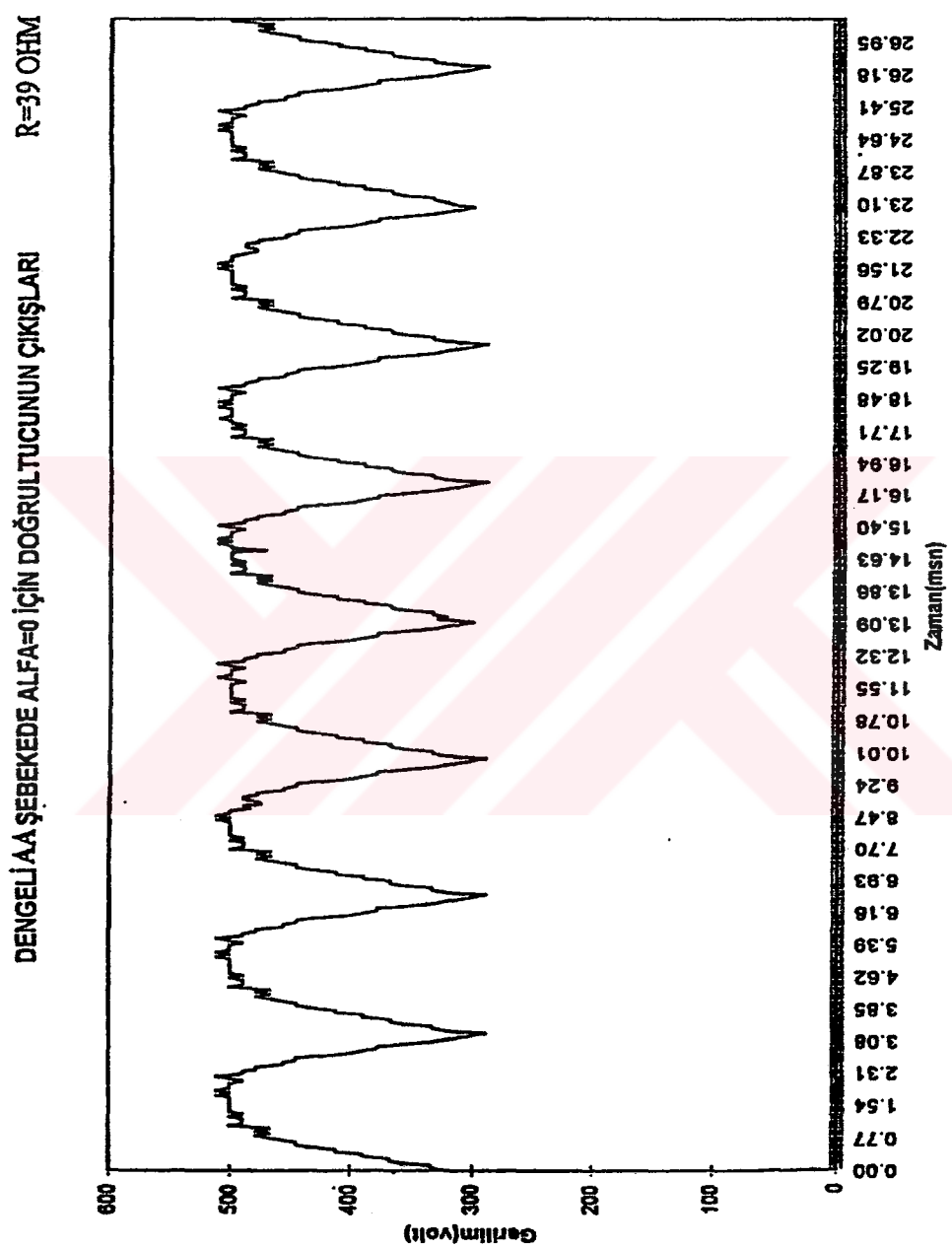
Çözünürlük 12 bit

Cıkış aralığı 0, +5,  $\pm 5 \text{ V}$  veya 0, +10 V

16 bit 3 adet Timer

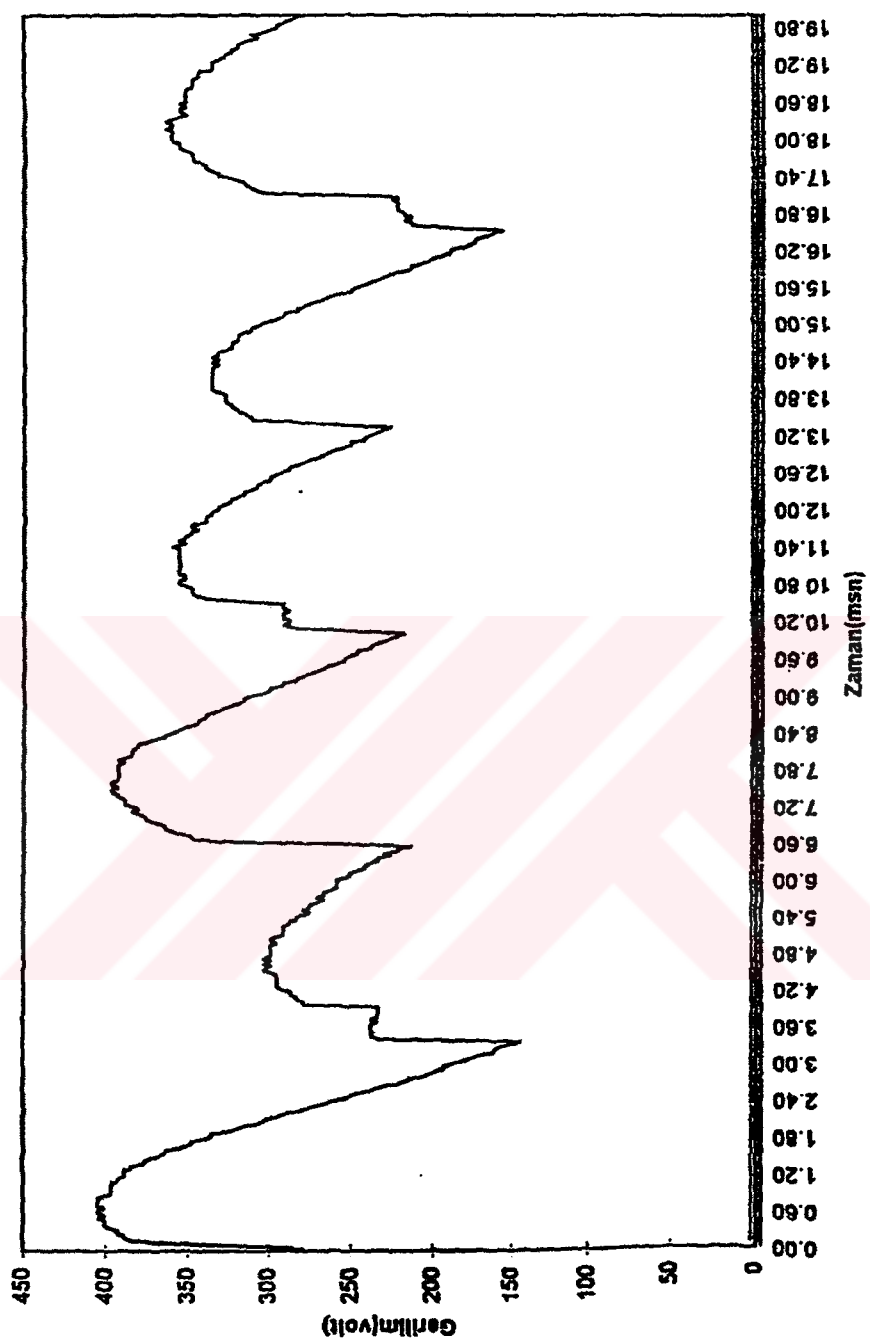
Dışarıdan ya da içерiden çalışabilen 8 Mhz sayıcı girişi

EK - D



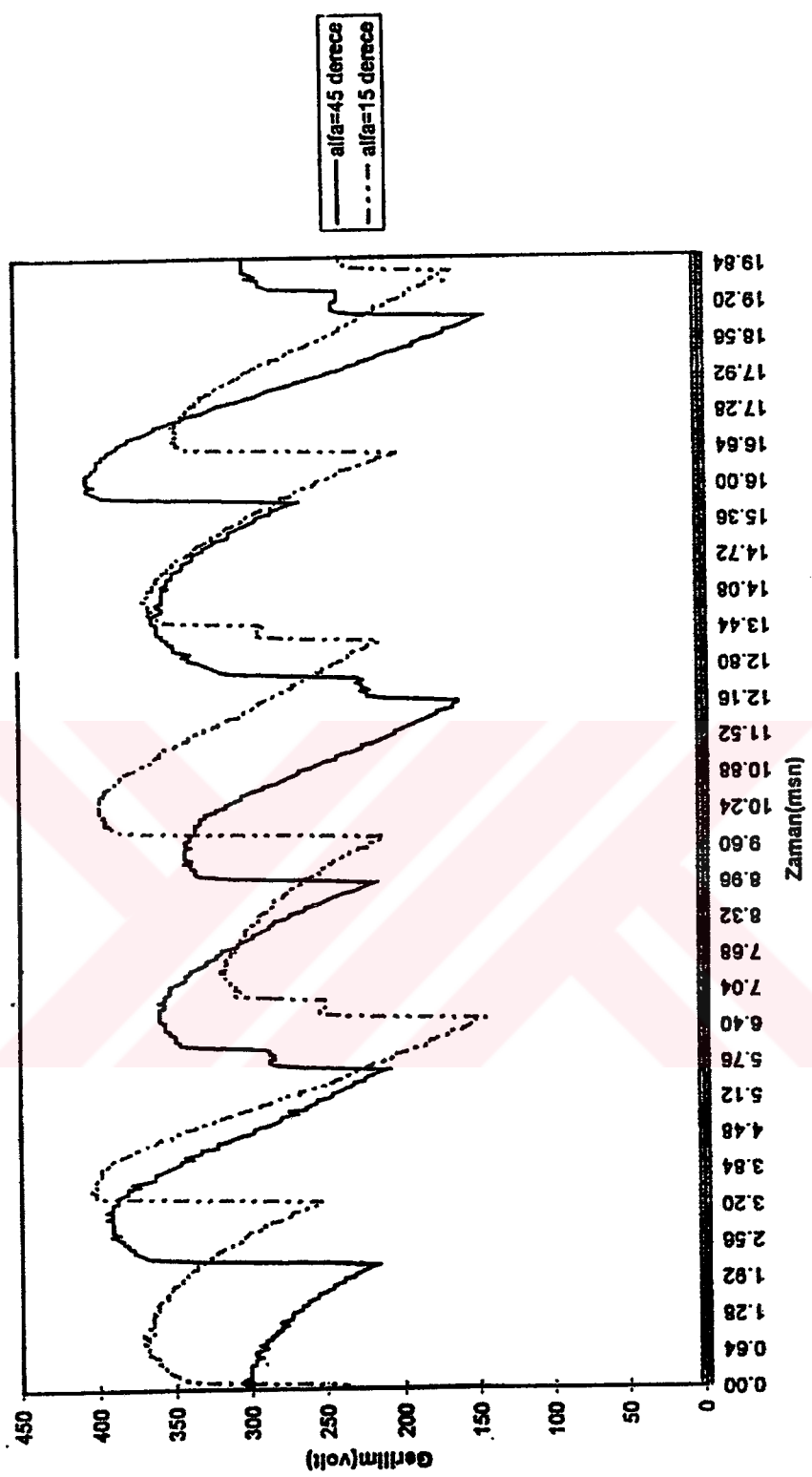
Şekil D.1. Dengeli AA Şebekede alfa=0 için doğrultucunun çıkışları R=39 ohm

DİRENÇ YÜKÜNDE DENGESİZ AA GİRİŞTE ALFA=10 DERECEDE DÖNÜŞTÜRÜCÜ ÇIKIŞLARI R=39 OHM

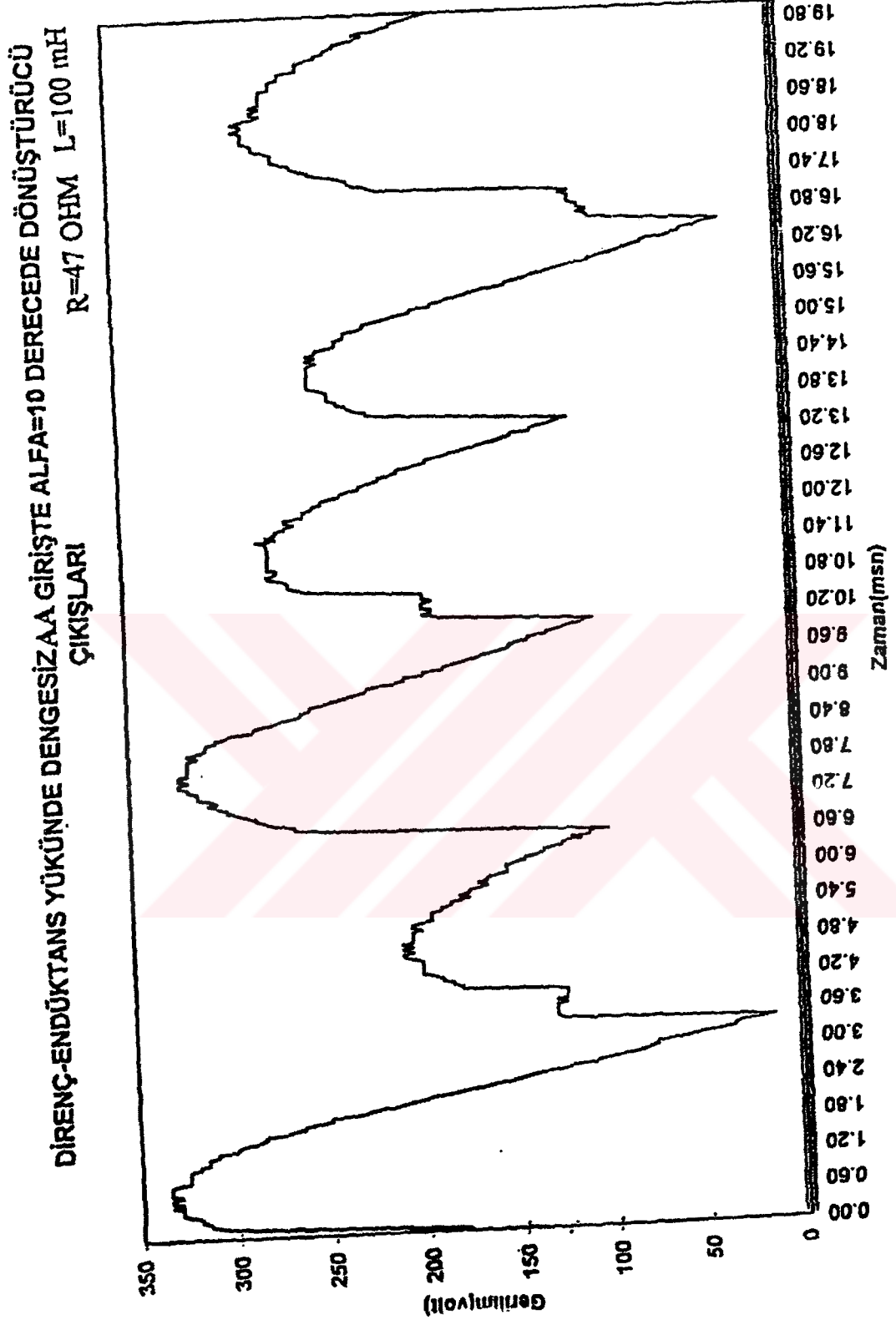


Şekil D.2. Diren yükünde dengesiz AA girişte alfa=10 dereceden dönüştürücü çıkışları R=39 ohm

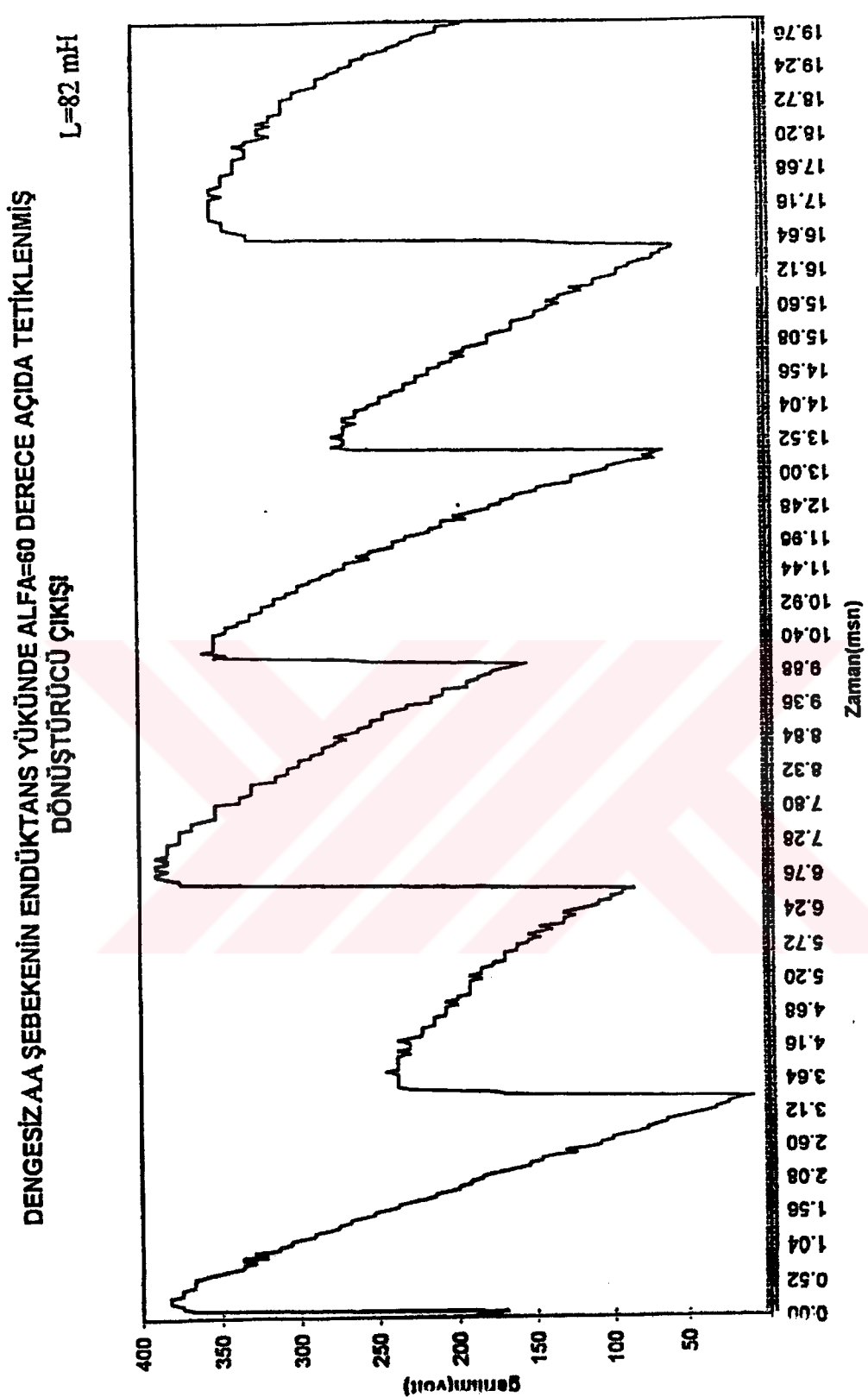
DİRENÇ YÜKÜNDE DENGESİZ AA GİRİŞLİ SİNYALİN ALFA=15 VE ALFA=45 DERECEDE R=39 OHM  
DÖNÜŞTÜRÜCÜ ÇIKIŞLARI



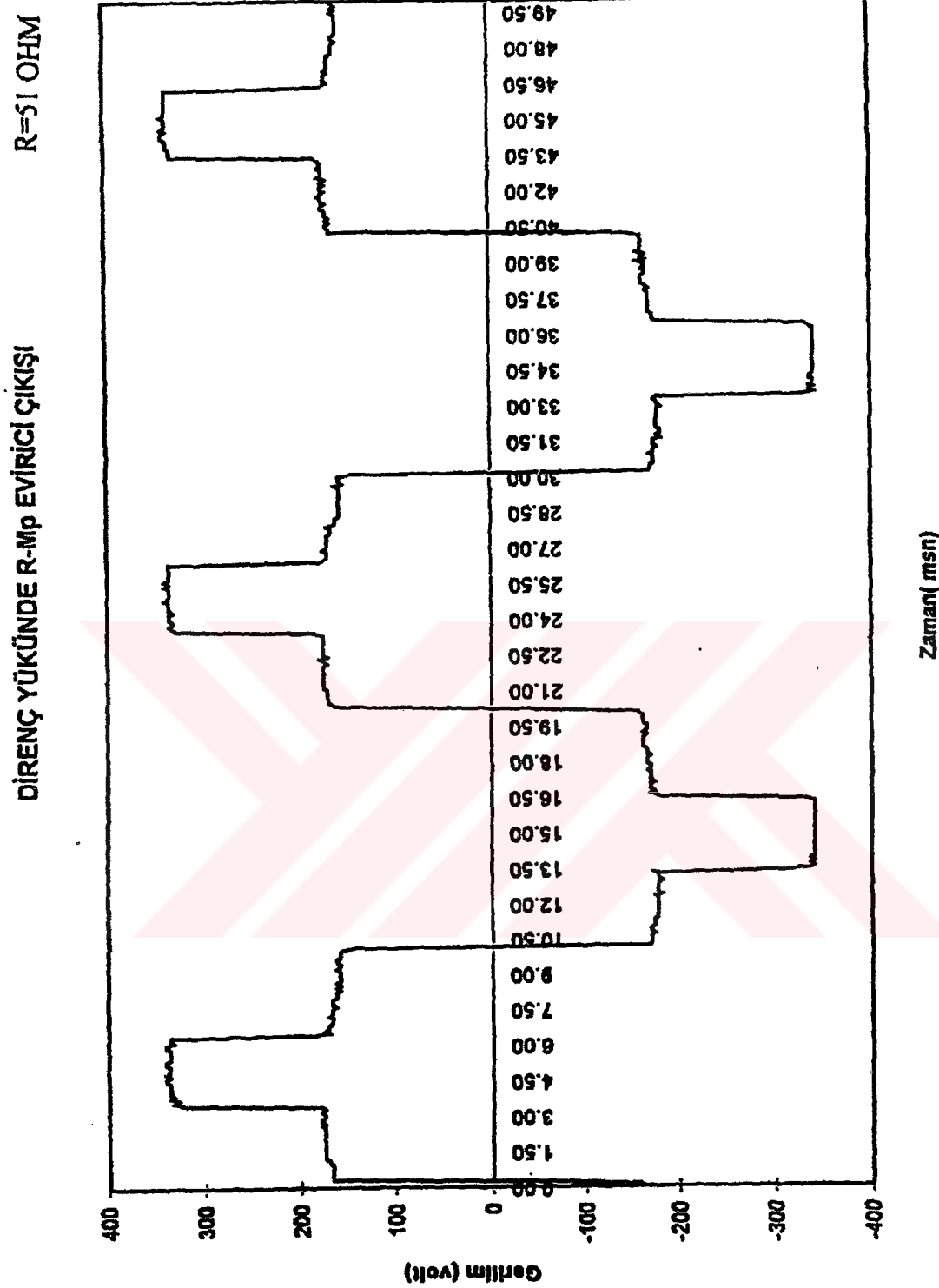
Şekil D.3. Direnç yükünde dengesiz AA girişli sinyalin alfa= 15 ve alfa=45 derecede dönüştürücü çıkışları R=39 ohm



Şekil D.4. Direnç-endüktans yükünde dengesiz AA girişte alfa=10 derecede dönüştürücü çıkışları R=47 ohm



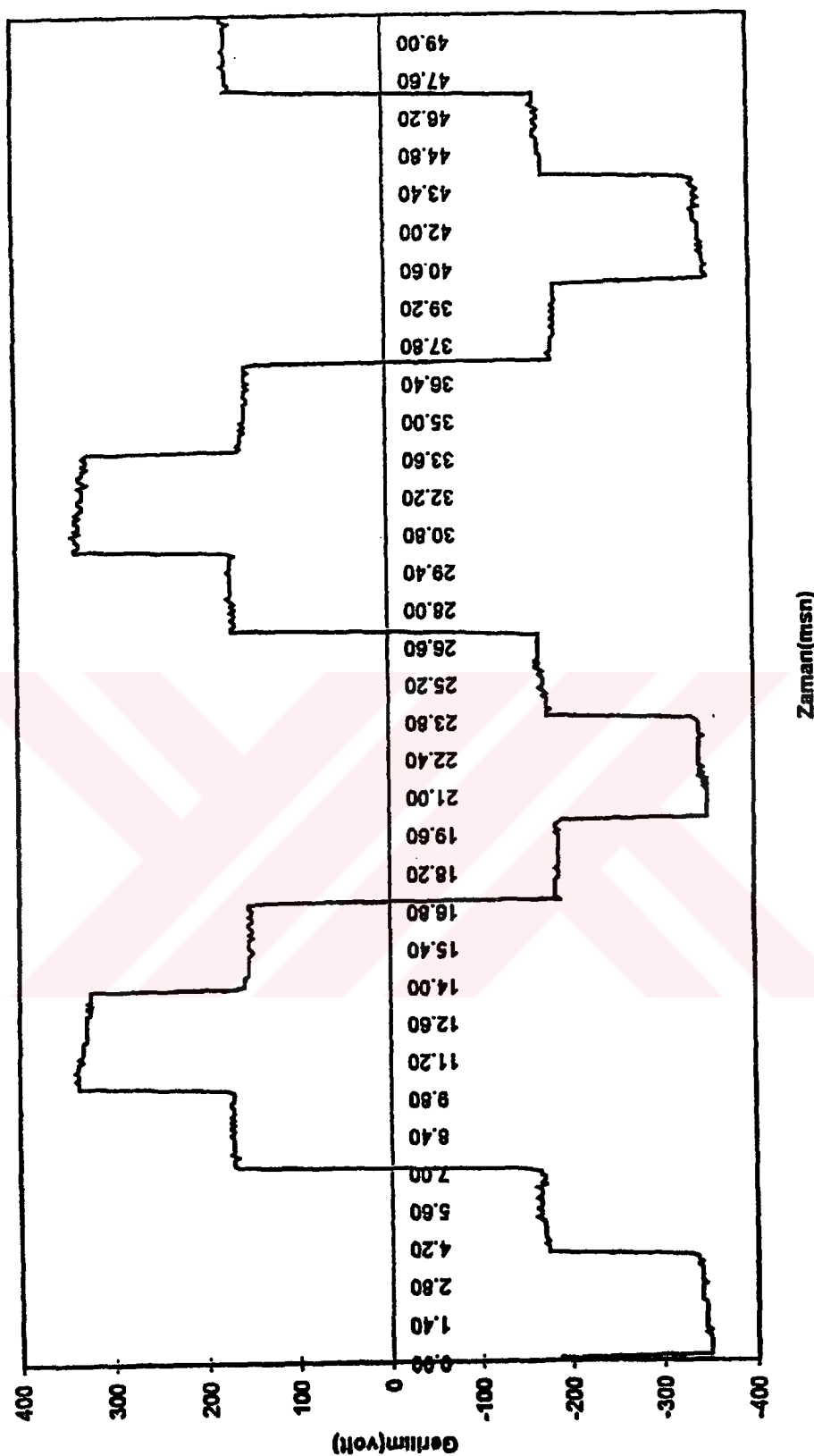
Şekil D.5. Dengesiz AA şebekenin endüktans yükünde alfa=60 derece için doğrultucunun çıkışları  $L=82 \text{ mH}$



Şekil D.6. Direnç yükünde R-Mp evirici çıkışları

R YÜKÜNDE S-Mp EVİRİCİ ÇIKIŞI

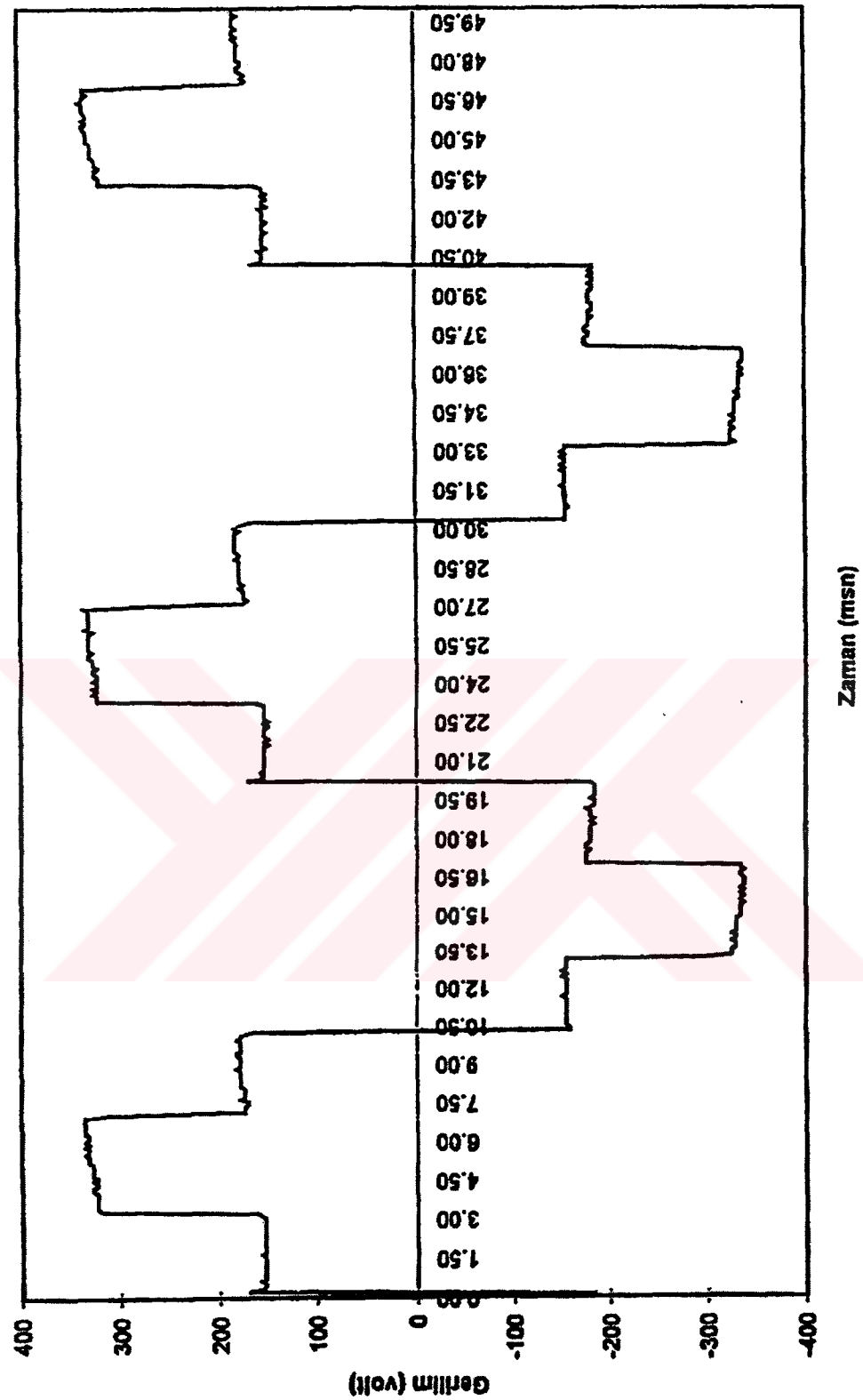
R=51 OHM



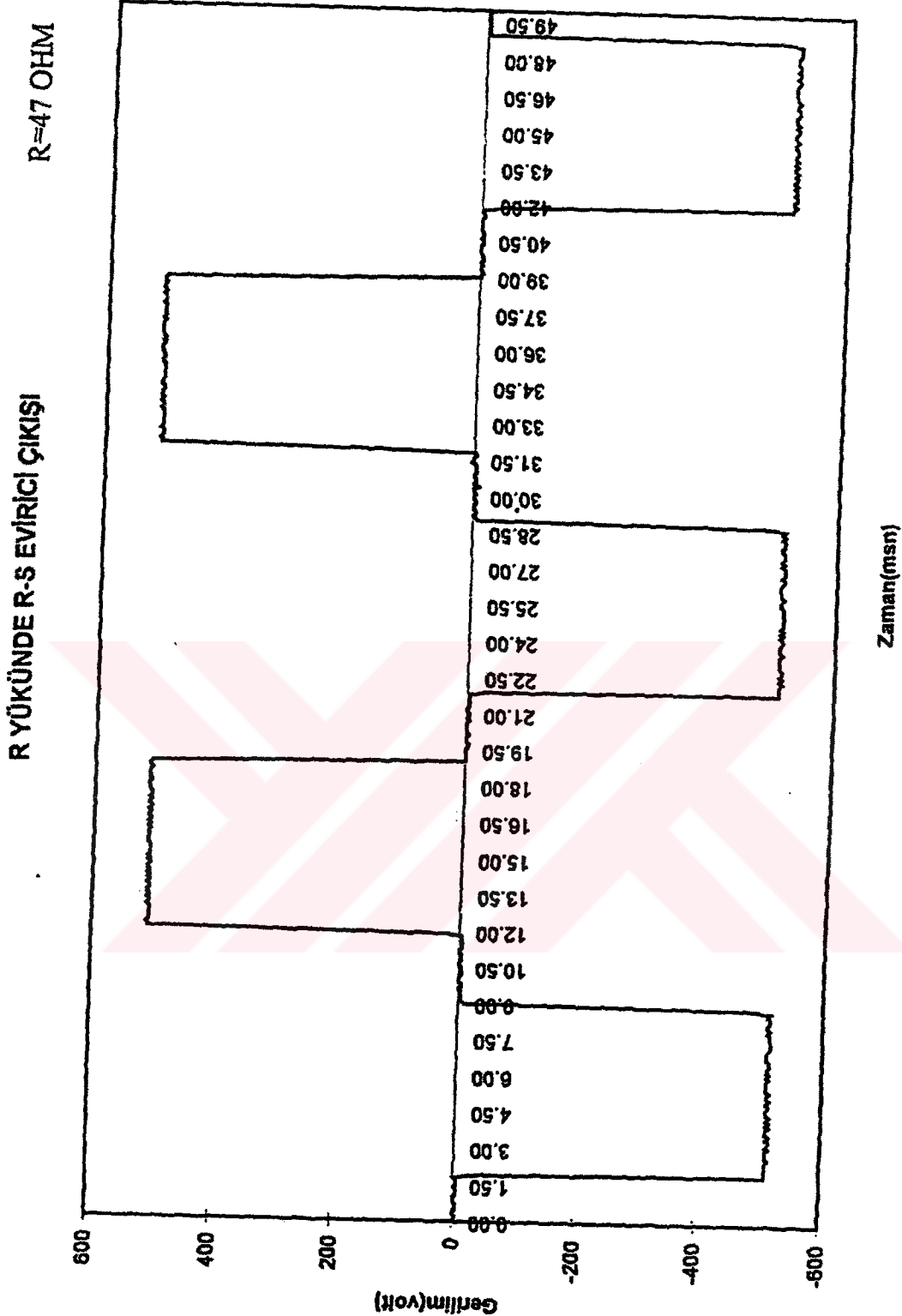
Şekil D.7. R yükünde S-Mp evirici çıkışları R=51 ohm

DİRENÇ YÜKÜNDE T-Mp EVİRİCİ ÇIKIŞI

R=51 OHM



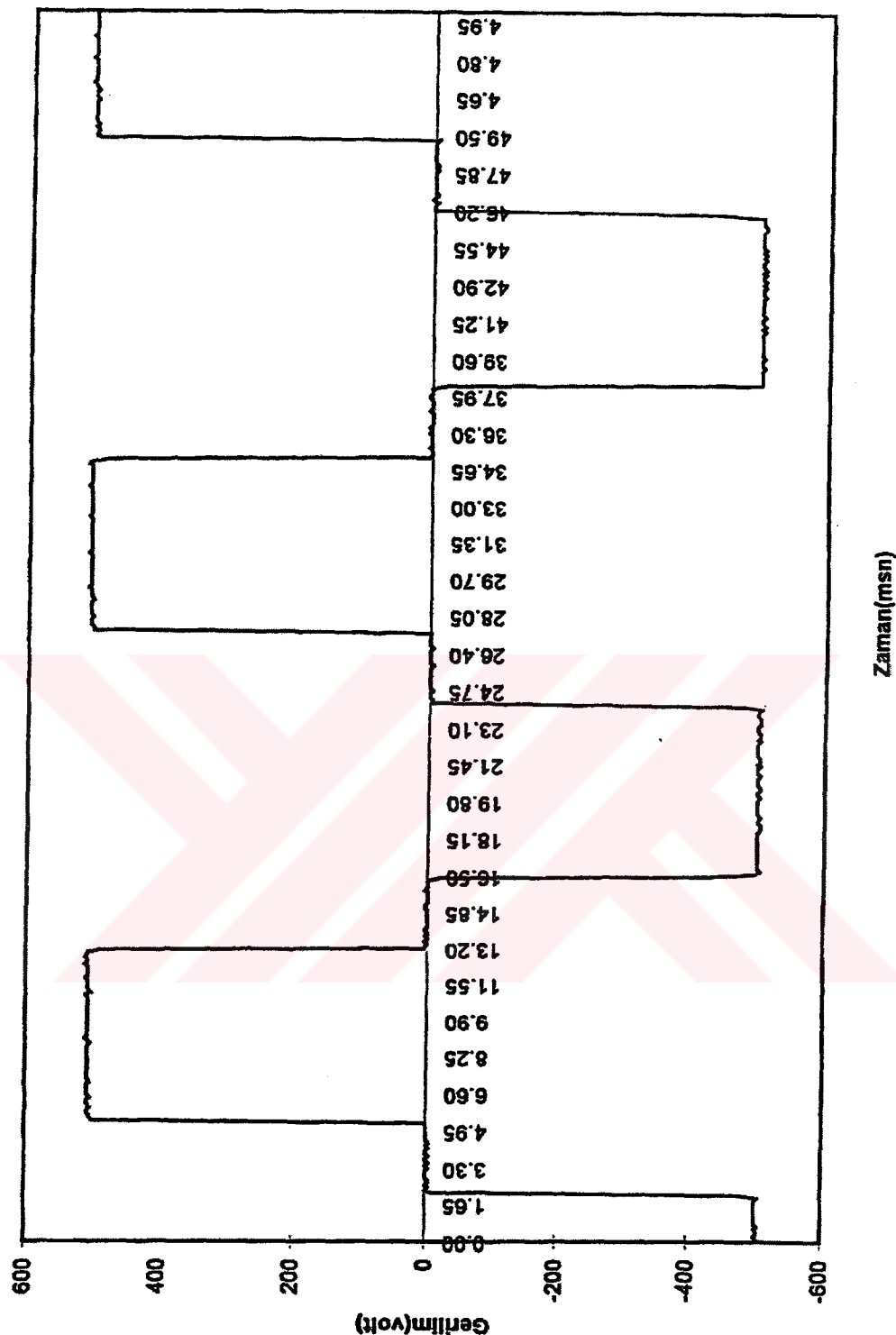
Şekil D.8. Direnç yükünde T-Mp evirici çıkışları R=51 ohm



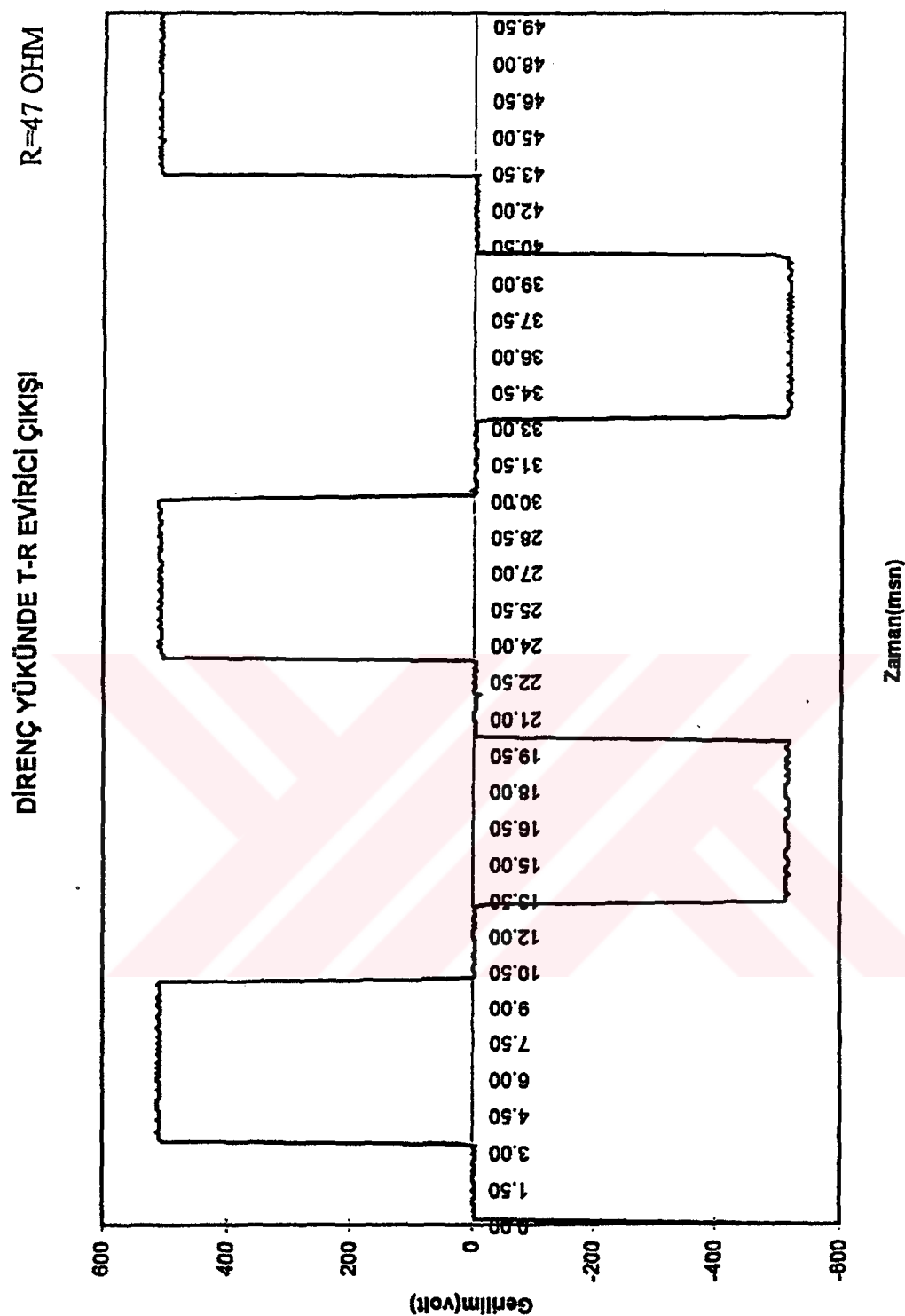
Şekil D.9. R yükünde R-S evirici çıkışları  $R=47$  ohm

R YÜKÜNDE S-T EVİRİCİ ÇIKIŞI

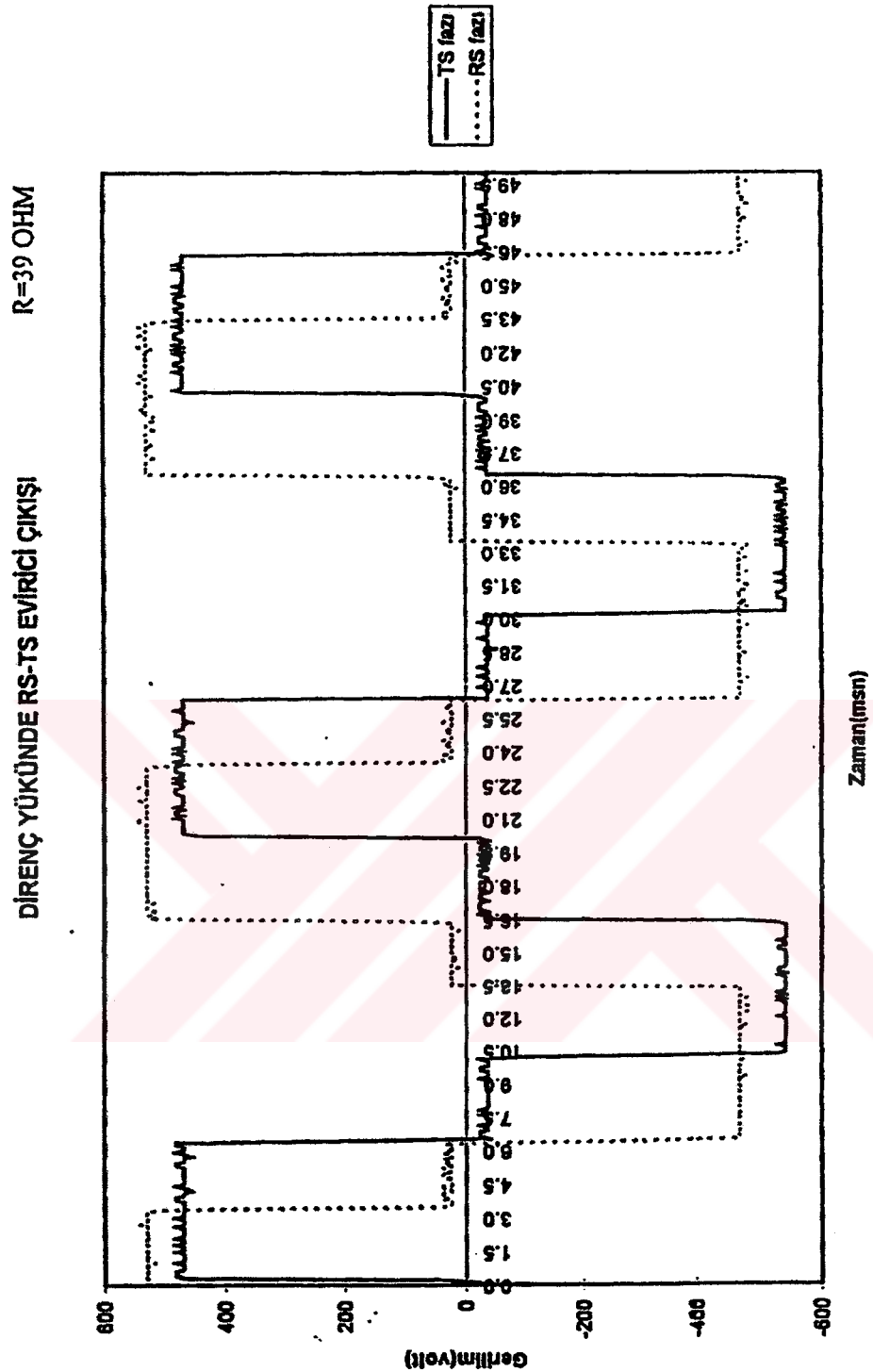
R=47 OHM



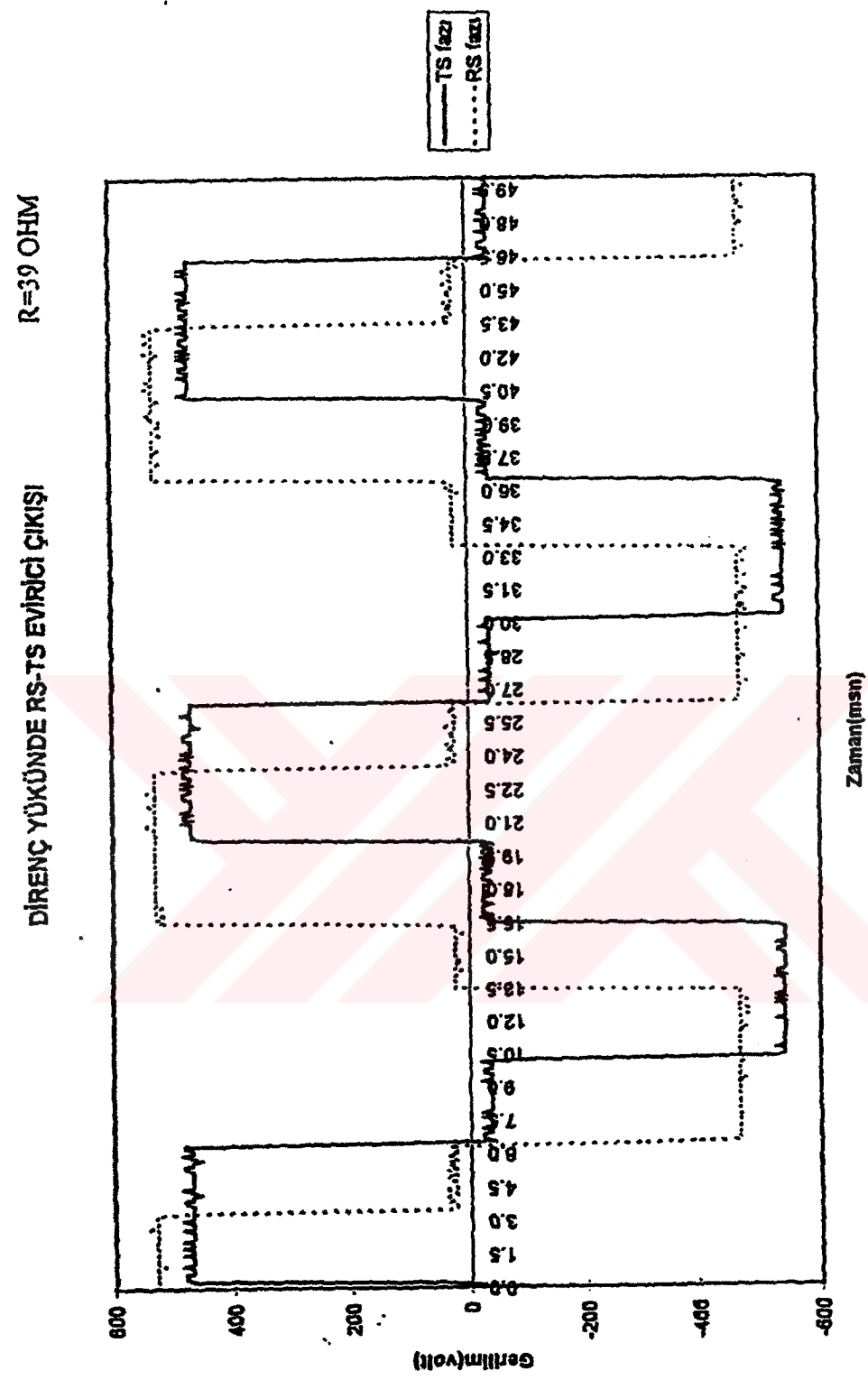
Şekil D.10. R yükünde S-T evirici çıkışı R=47 ohm



Şekil D.11. R yükünde T-R evirici çıkışı  $R=47$  ohm



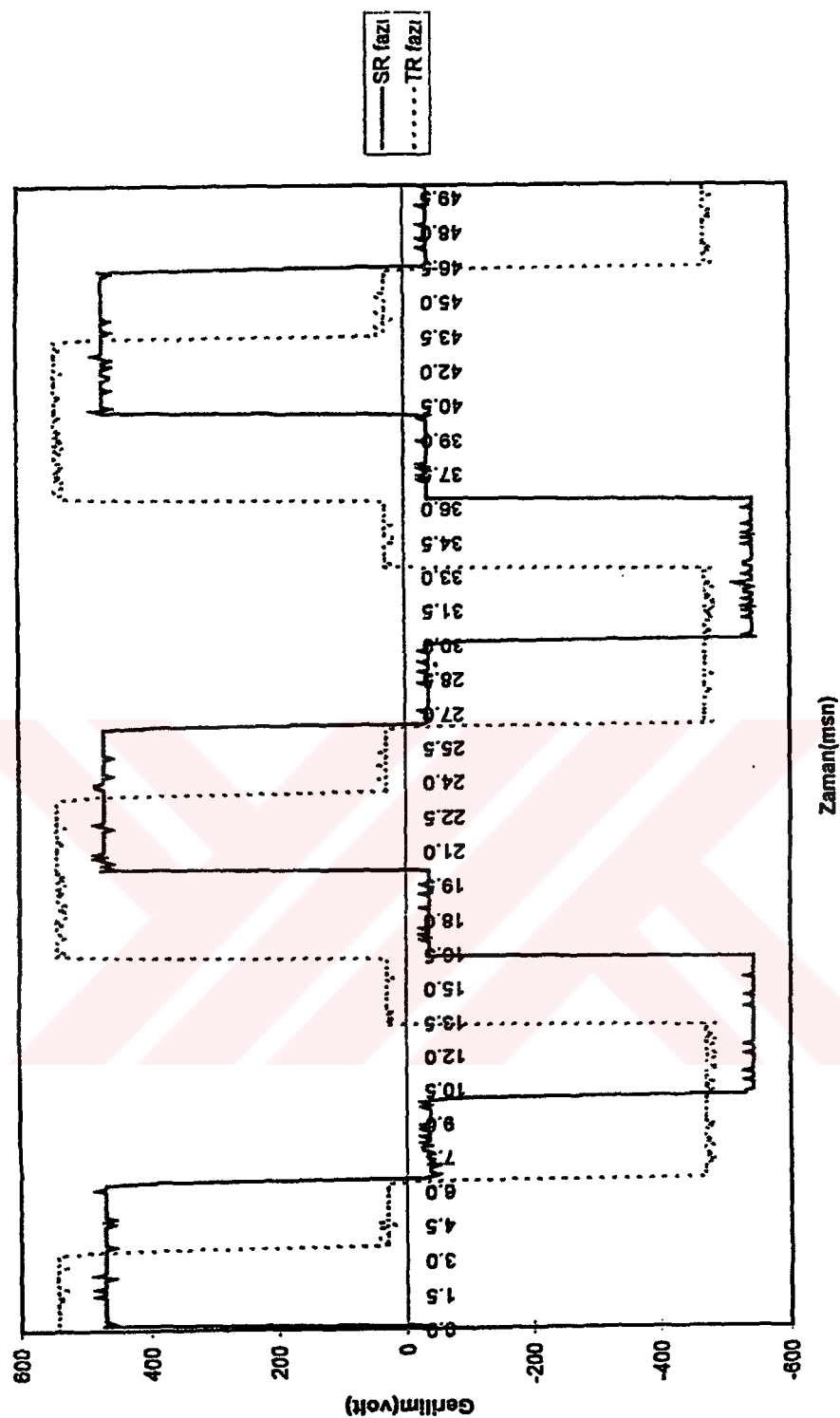
Şekil D.12. R yükünde RS-TS evirici çıkışı R=39 ohm



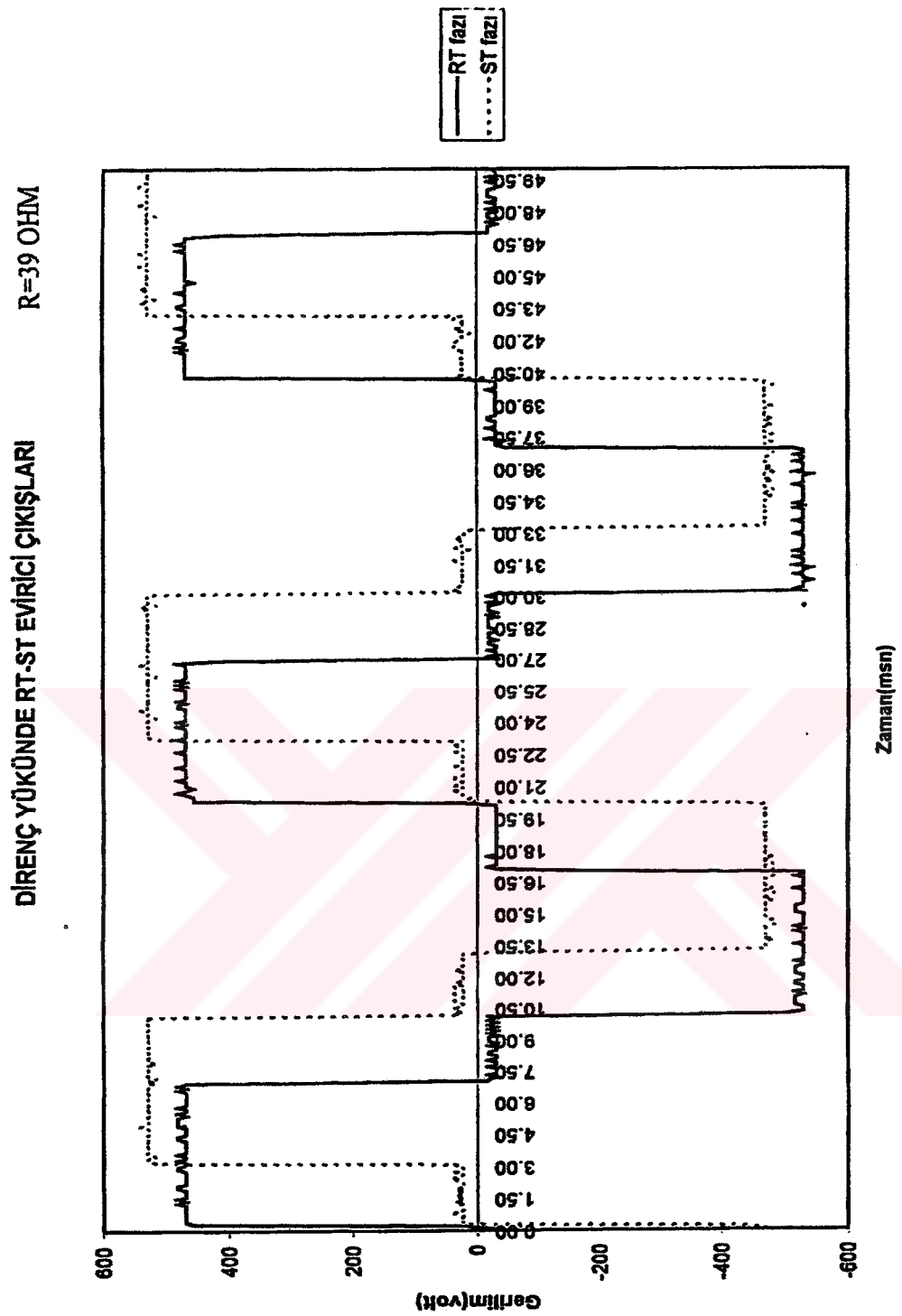
Sekil D.13. R yükünde RS-TS evirici çıkışı  $R=39 \text{ ohm}$

DİRENC YÜKÜNDE TR-SR EVİRİCİ ÇIKIŞLARI

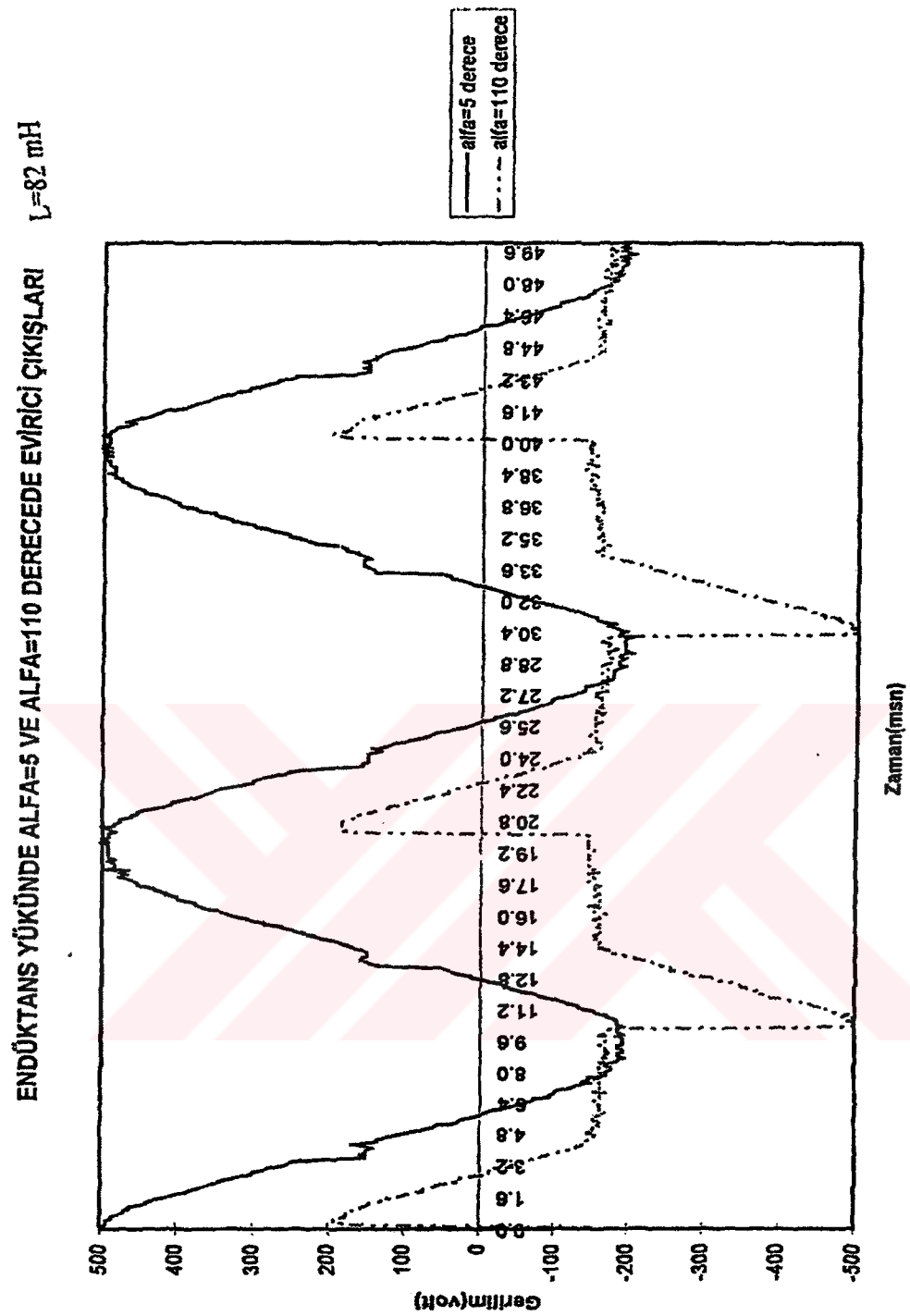
R=39 OHM



Şekil D.14. R yükünde TR-SR evirici çıkışı R=39 ohm

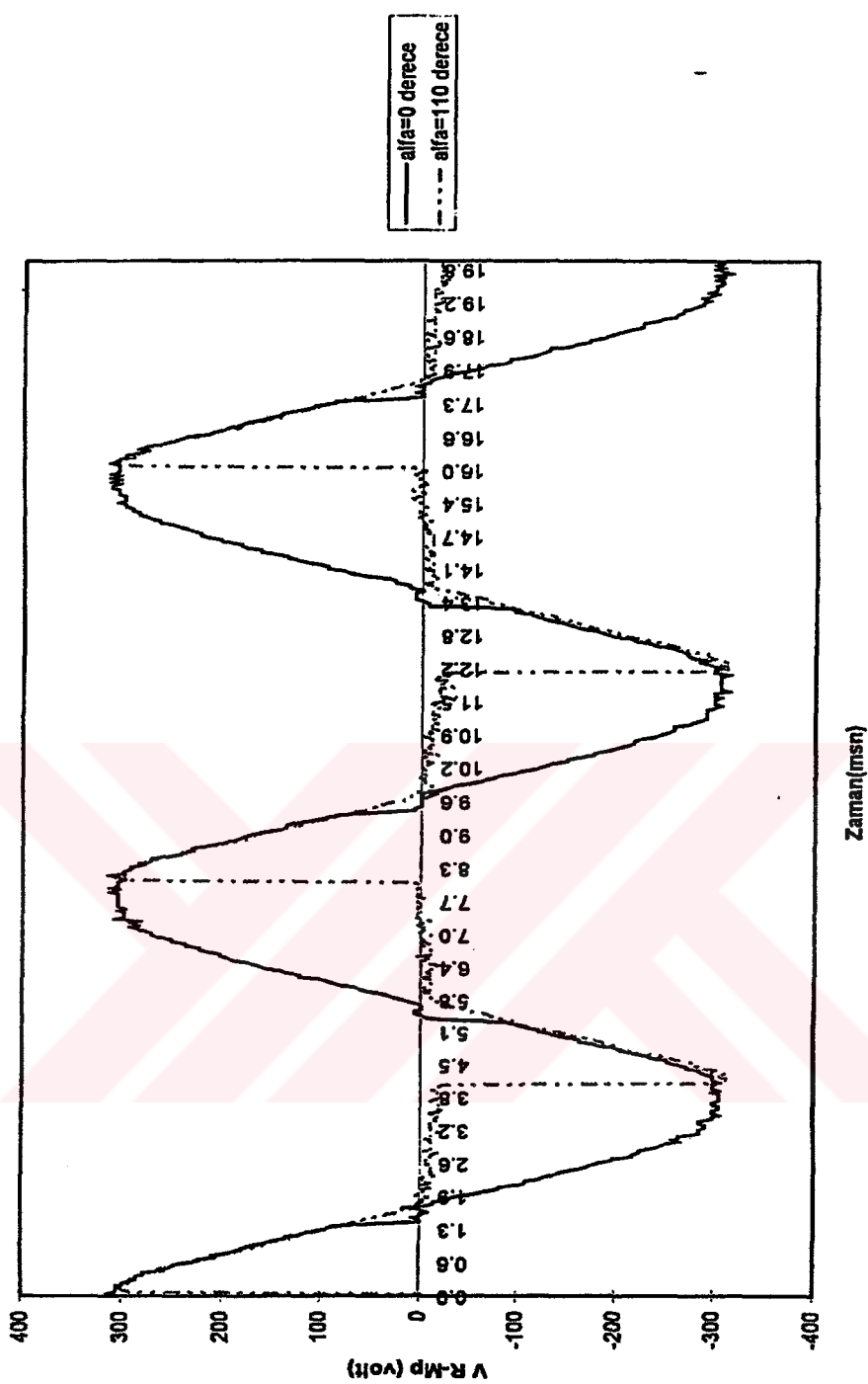


Şekil D.15. R yükünde RT-ST evirici çıkışı  $R=39 \text{ ohm}$



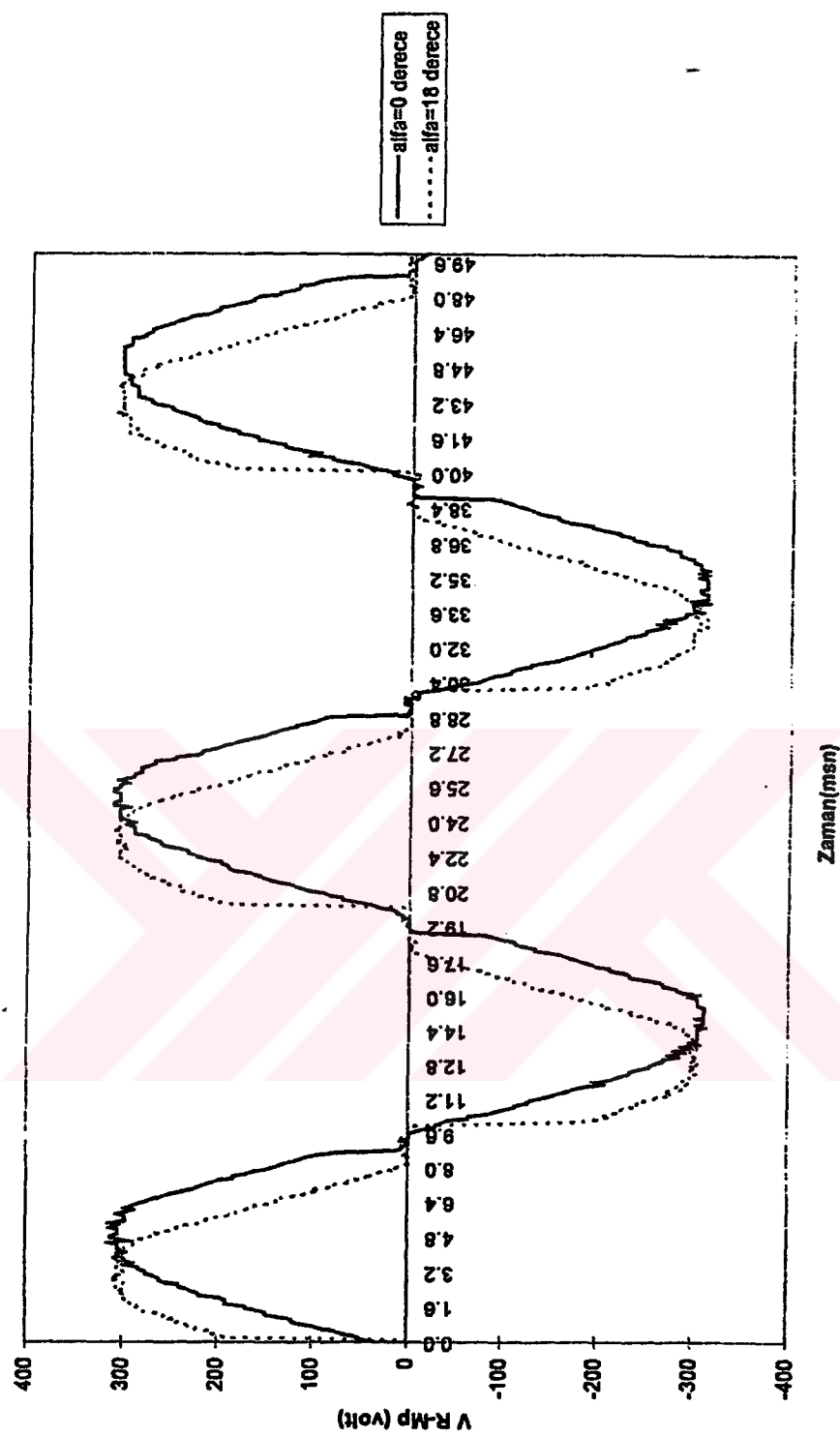
Şekil D.16. Endüktans yükünde  $\alpha=5$  ve  $\alpha=110$  derecede evirici çıkışı  $L=82 \text{ mH}$

ALFA=0 VE ALFA=110 DERECEDE EVIRİCİNİN FILTRELİ ÇIKIŞLARI

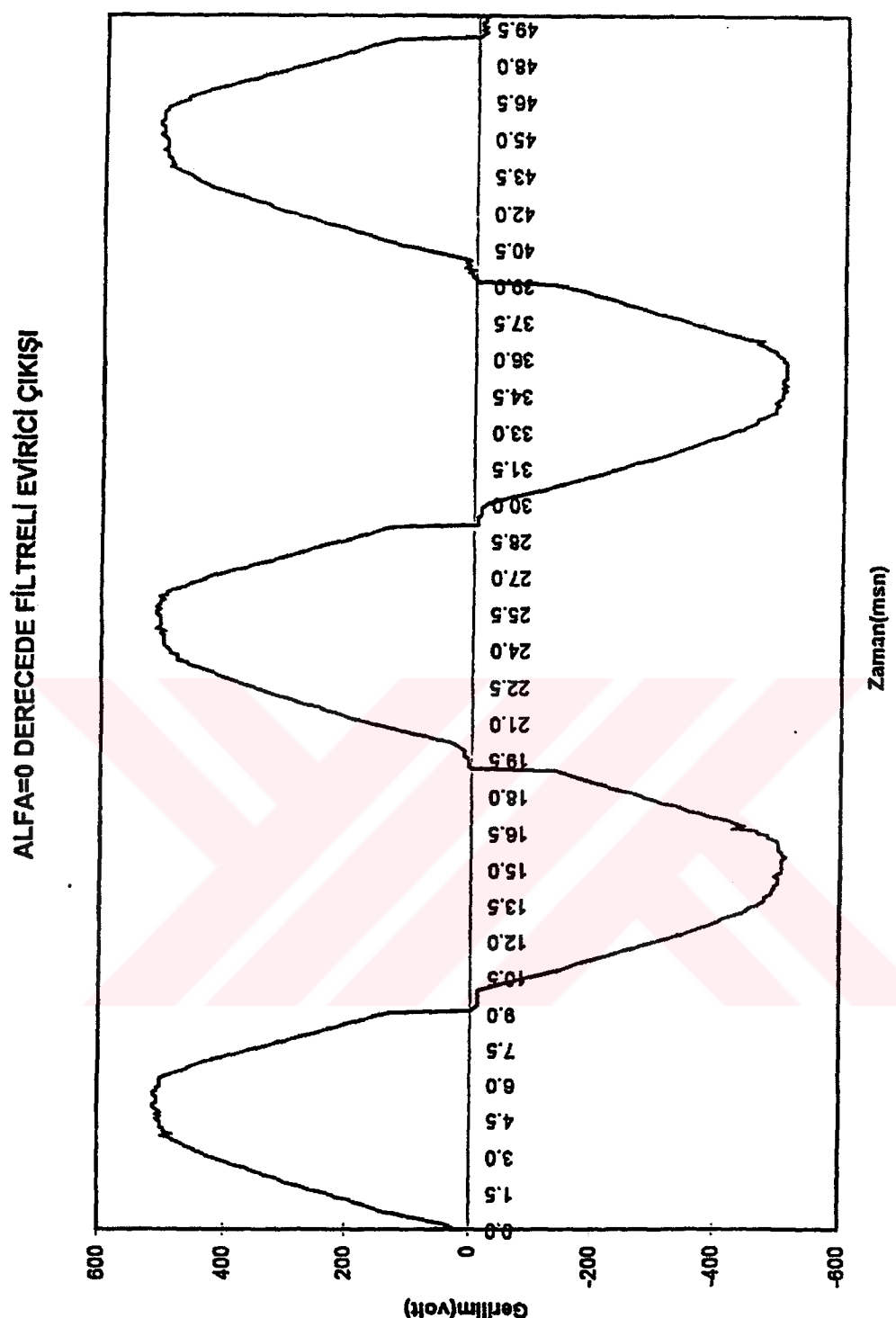


Şekil D.17. Alfa=0 ve alfa=110 derecede eviricinin filtreli çıkışları

ALFA=0 VE ALFA=18 DERECEDE EVİRİCİNİN FİLTRELİ ÇIKIŞLARI

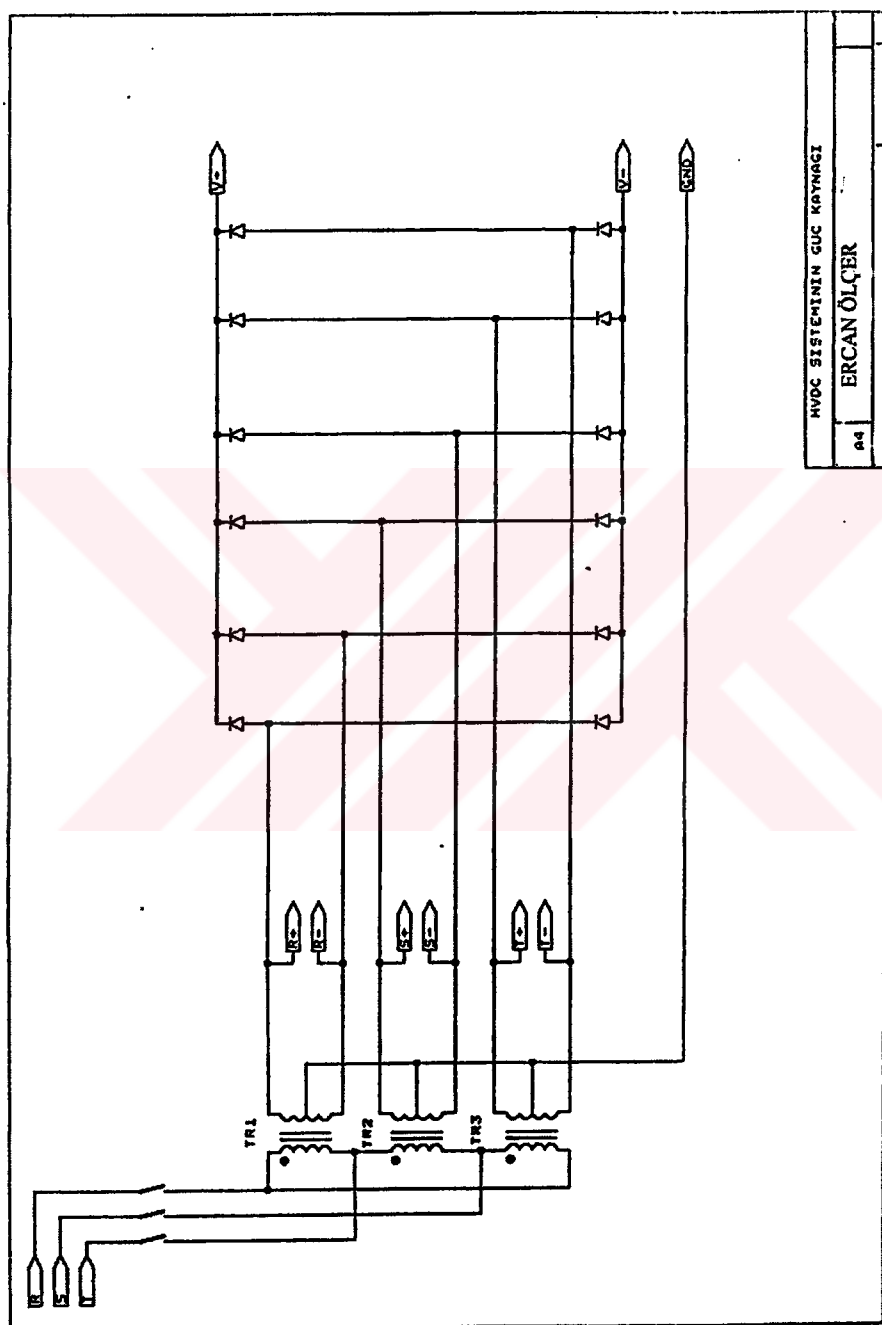


Şekil D.18. Alfa=0 ve Alfa=18 derecede eviricinin filtreli çıkışları

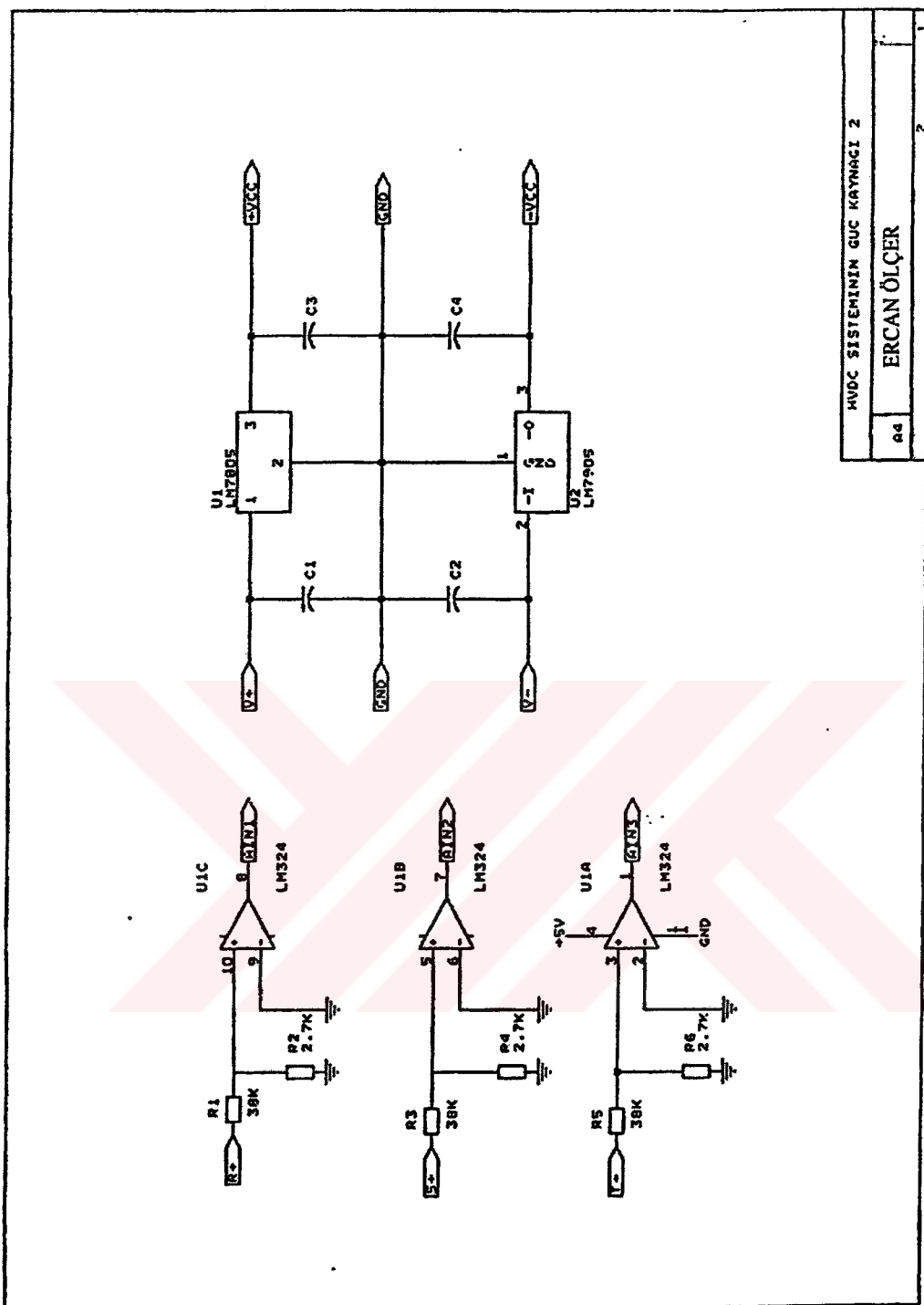


Şekil D.19. Alfa=0 derecede filtreli evirici çıkışları

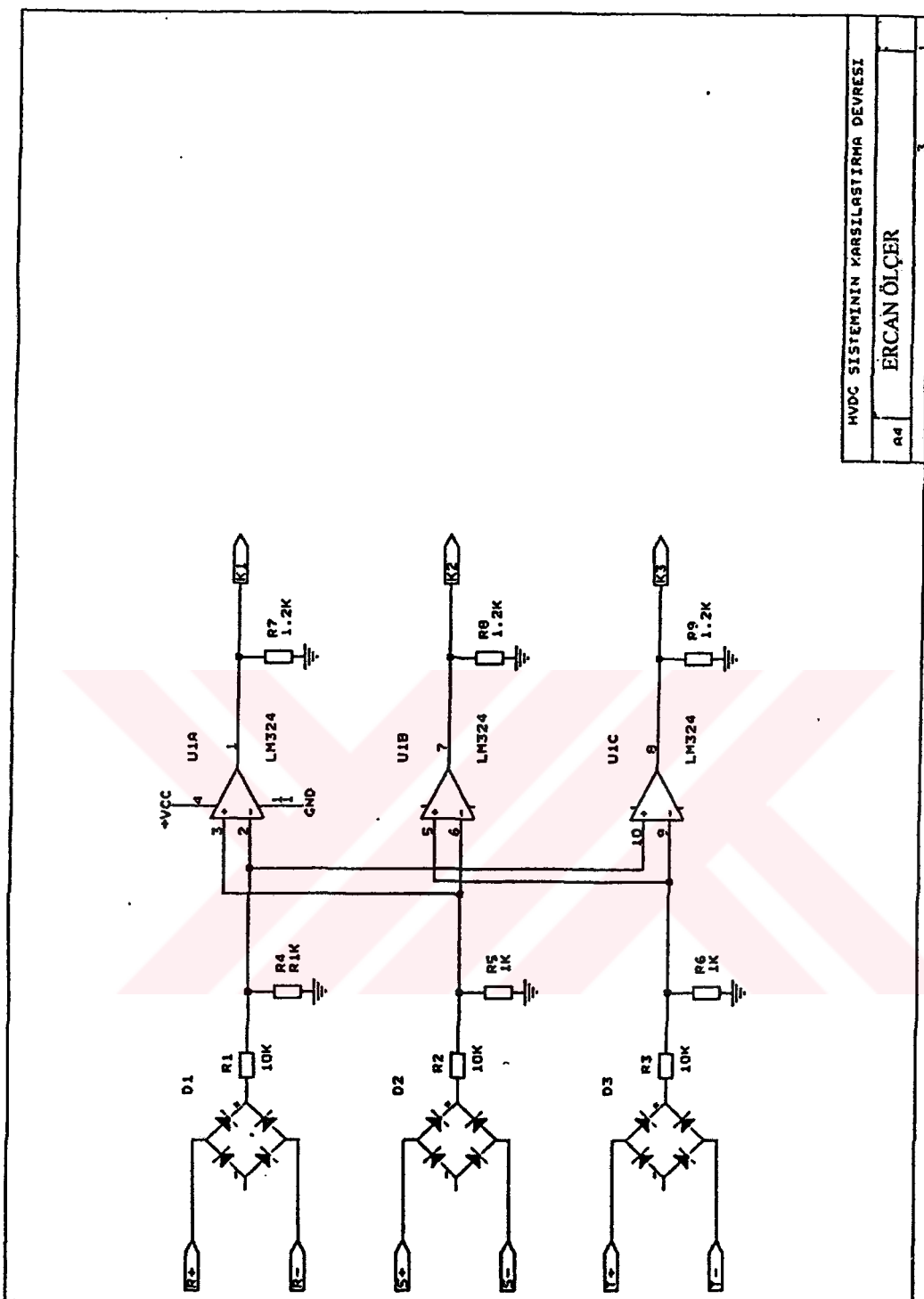
**EK - E**



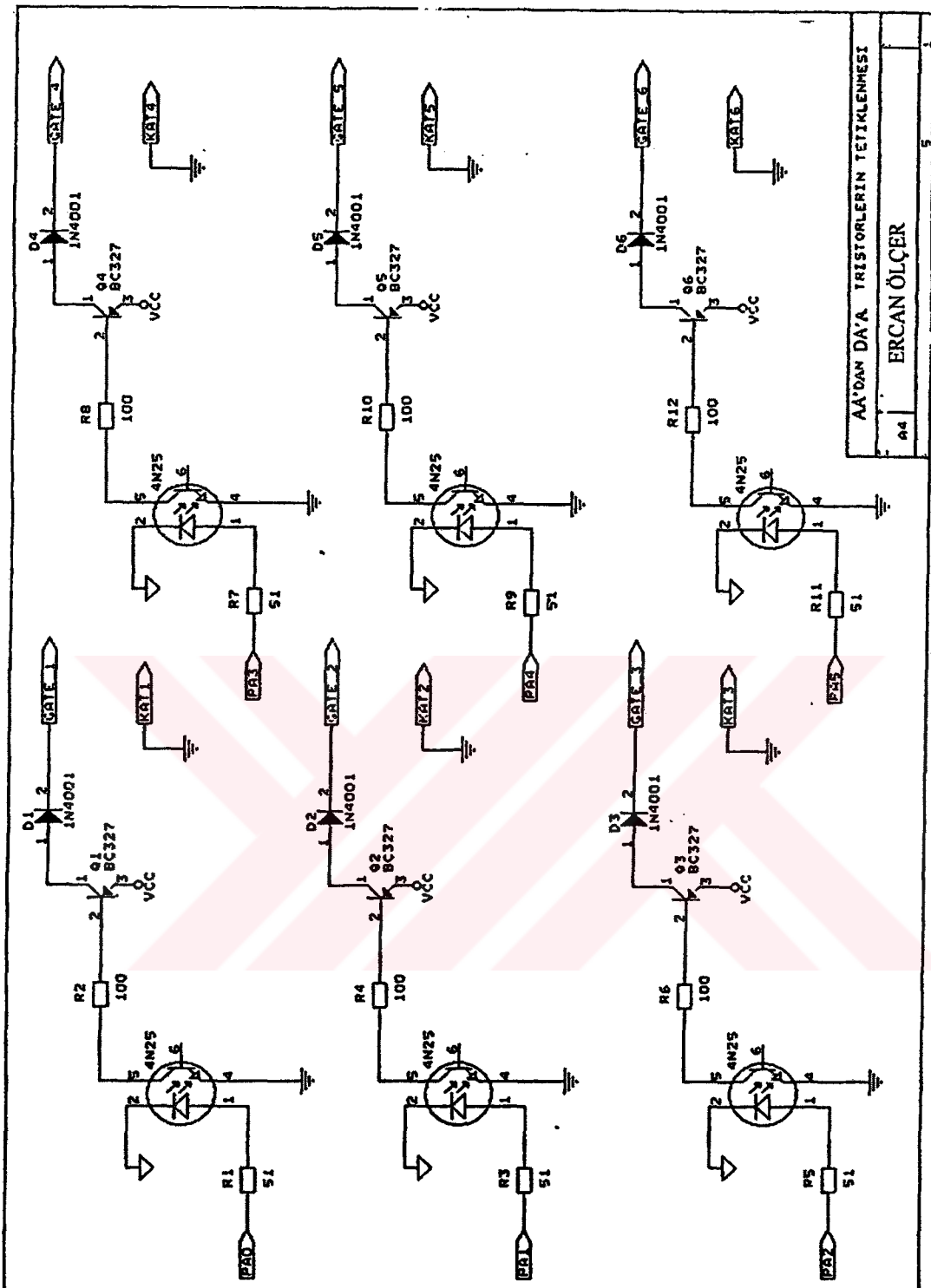
**Şekil E.1. HVDC sisteminin güç kaynağı**



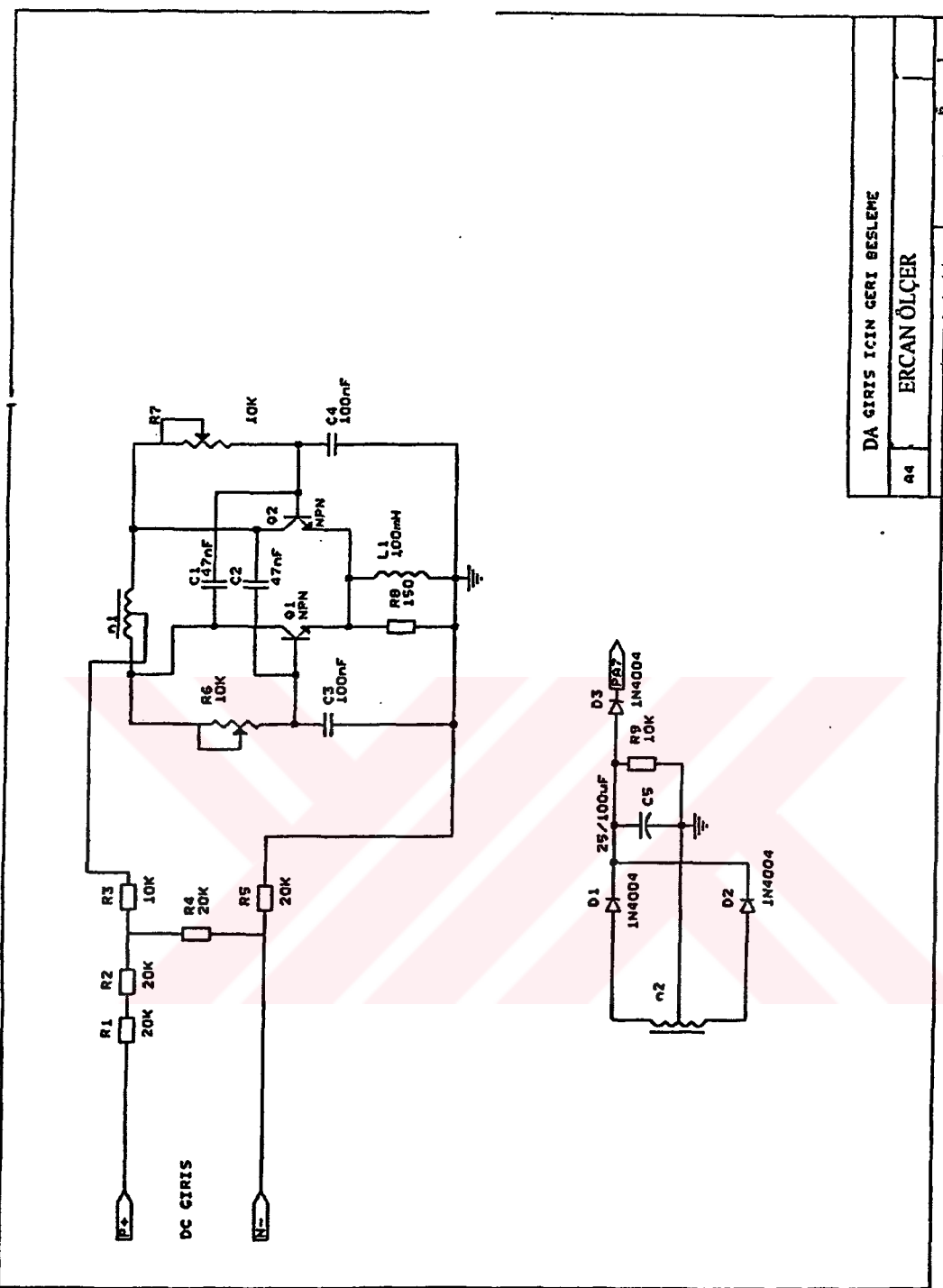
Şekil E.2. HVDC sisteminin güç kaynağı 2



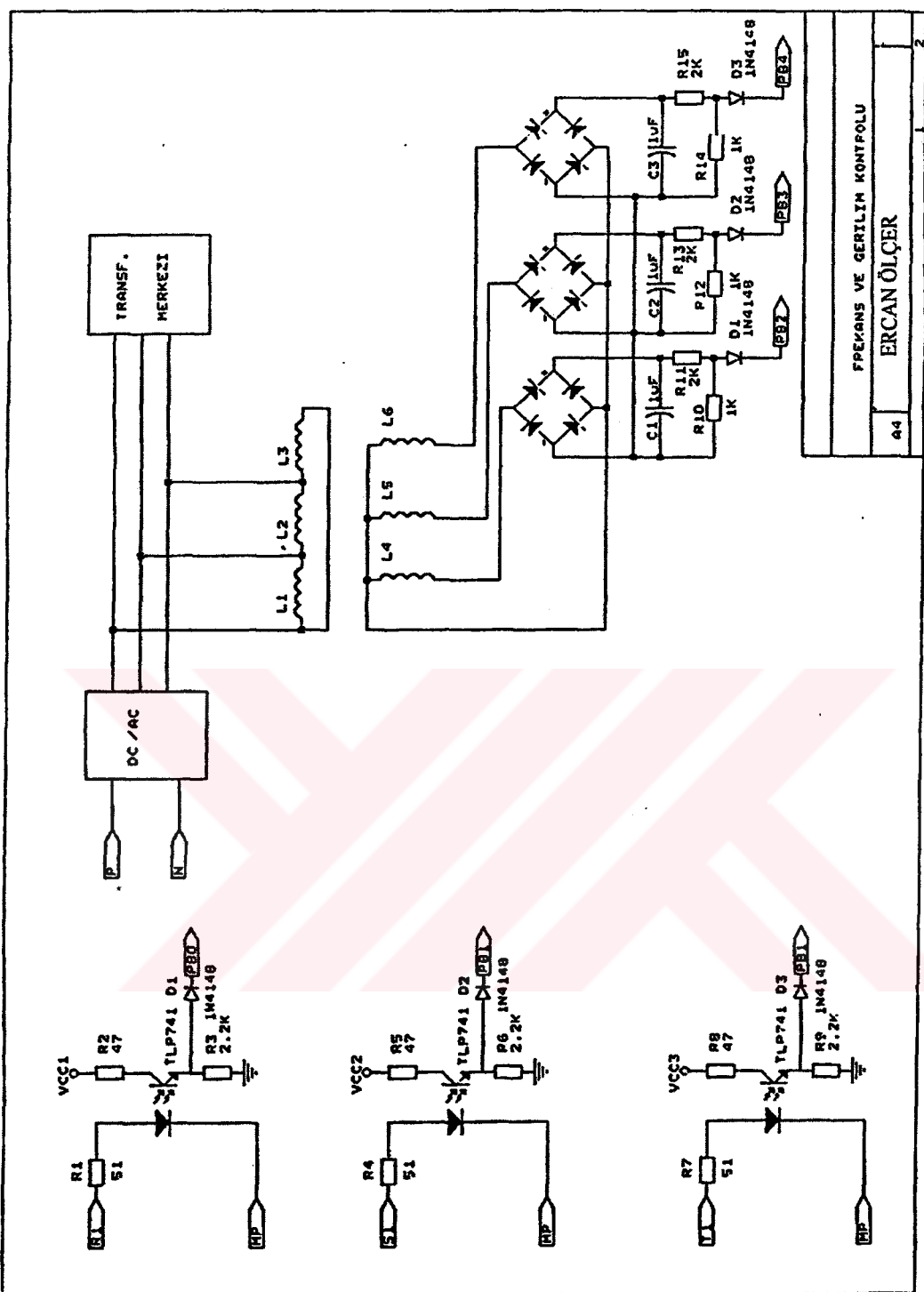
Şekil E.3. HVDC sisteminin karşılaştırma devresi



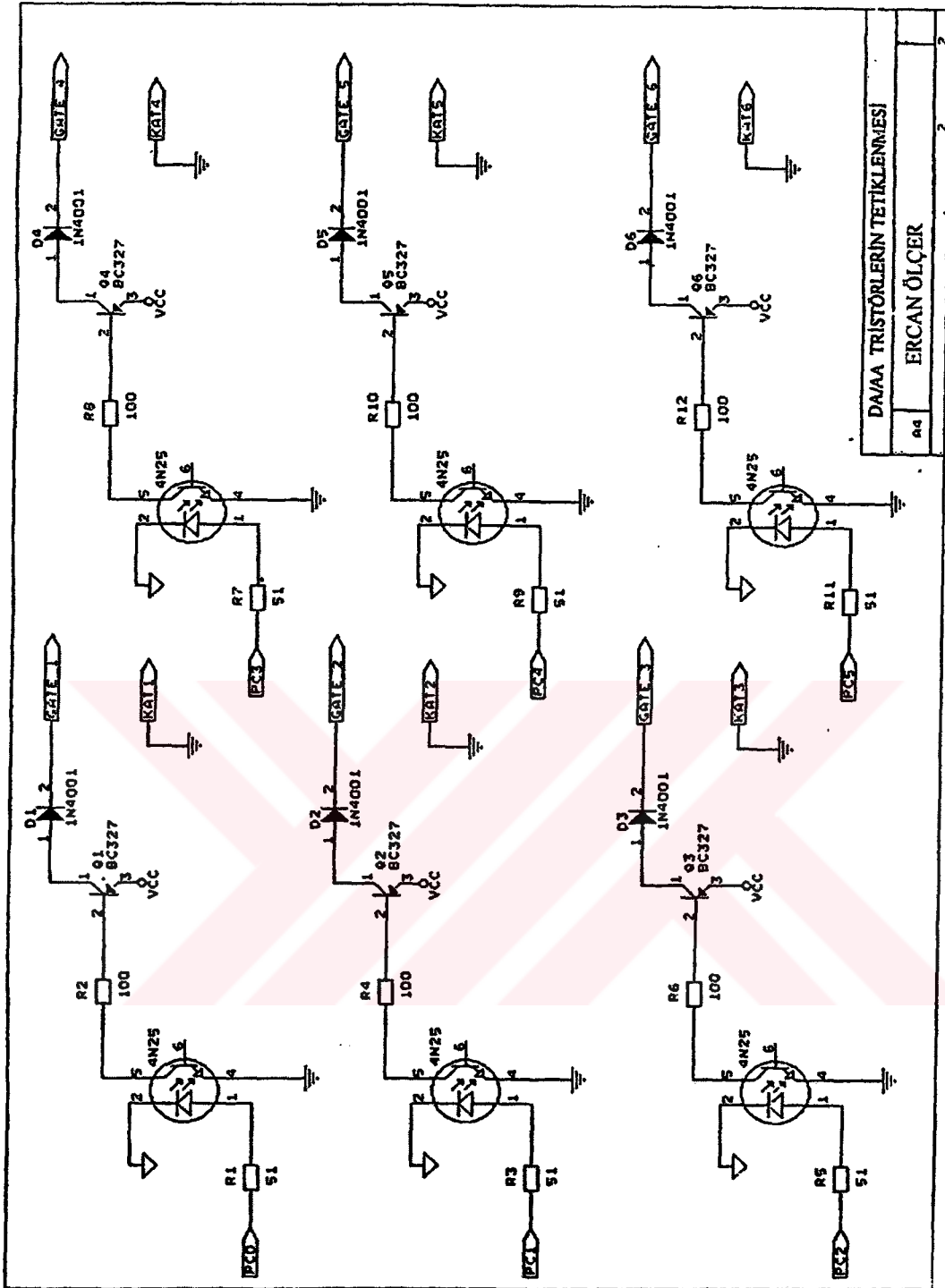
Şekil E.4. AA'dan DA'ya tristörlerin tetiklenmesi



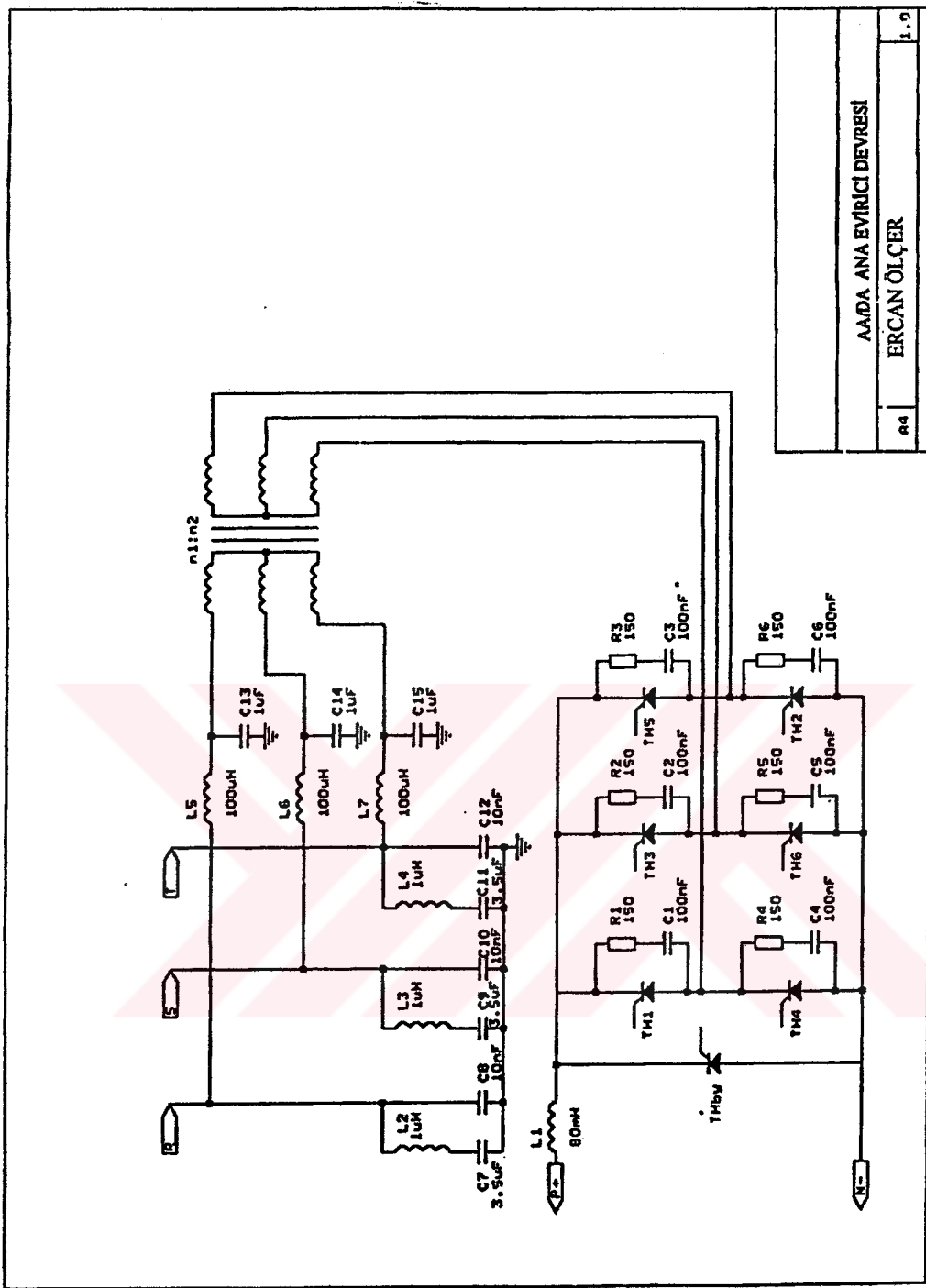
Şekil E.5. DA giriş için geri besleme



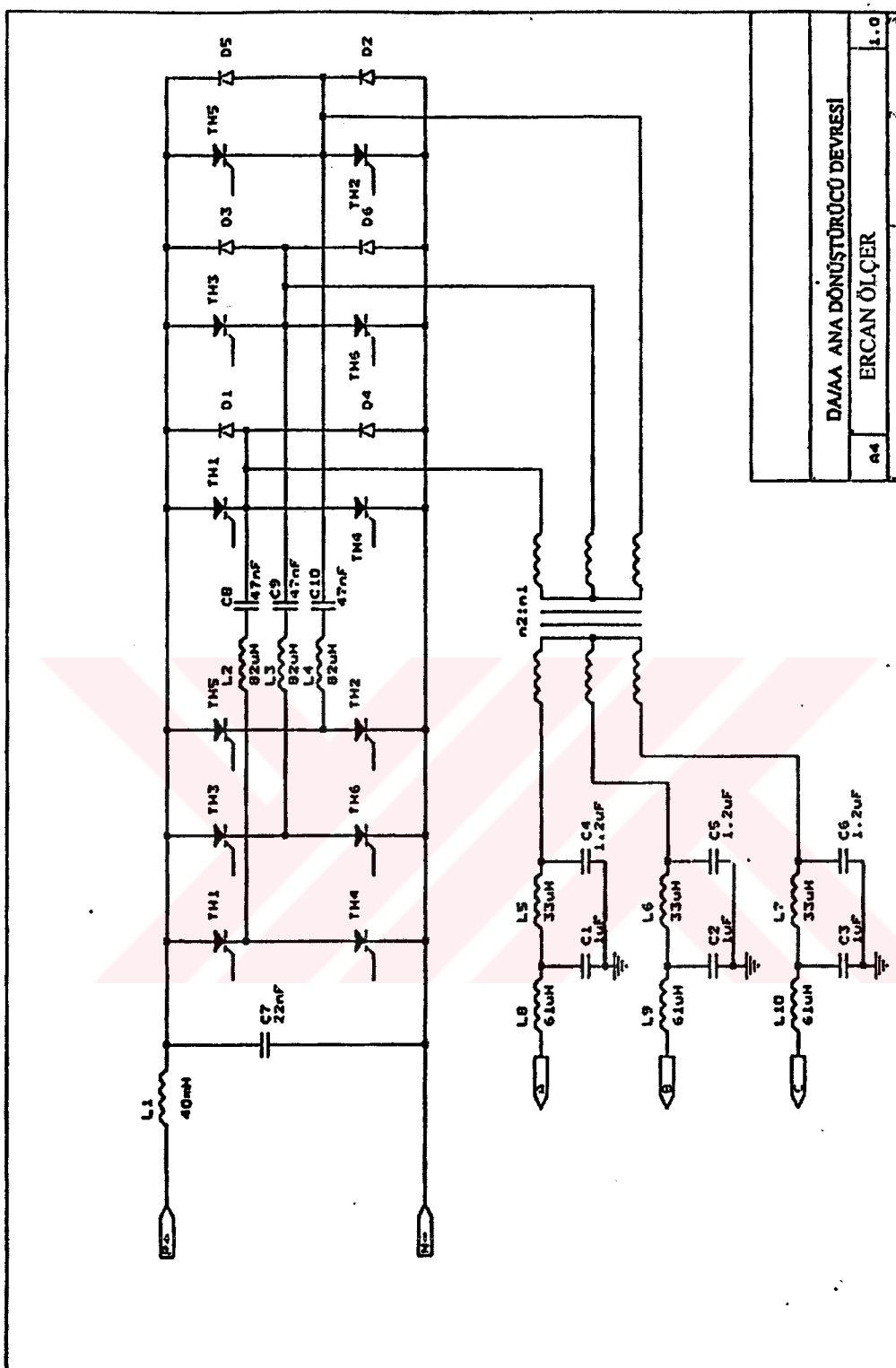
Şekil E.6. Frekans ve gerilim kontrolü



Sekil E.7. DA'dan AA'ya tristörlerin tetiklenmesi

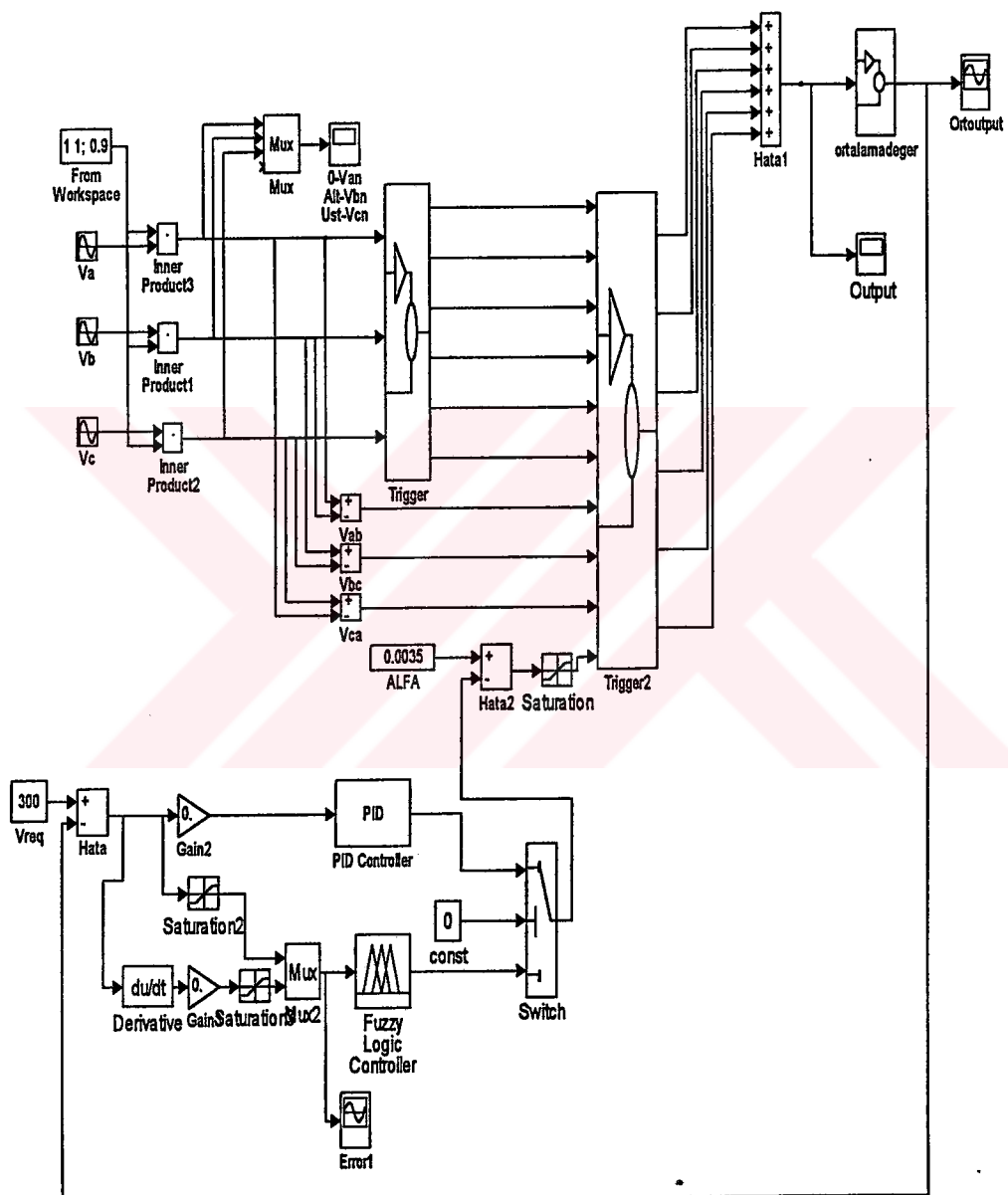


Şekil E.8. Evirici devresi

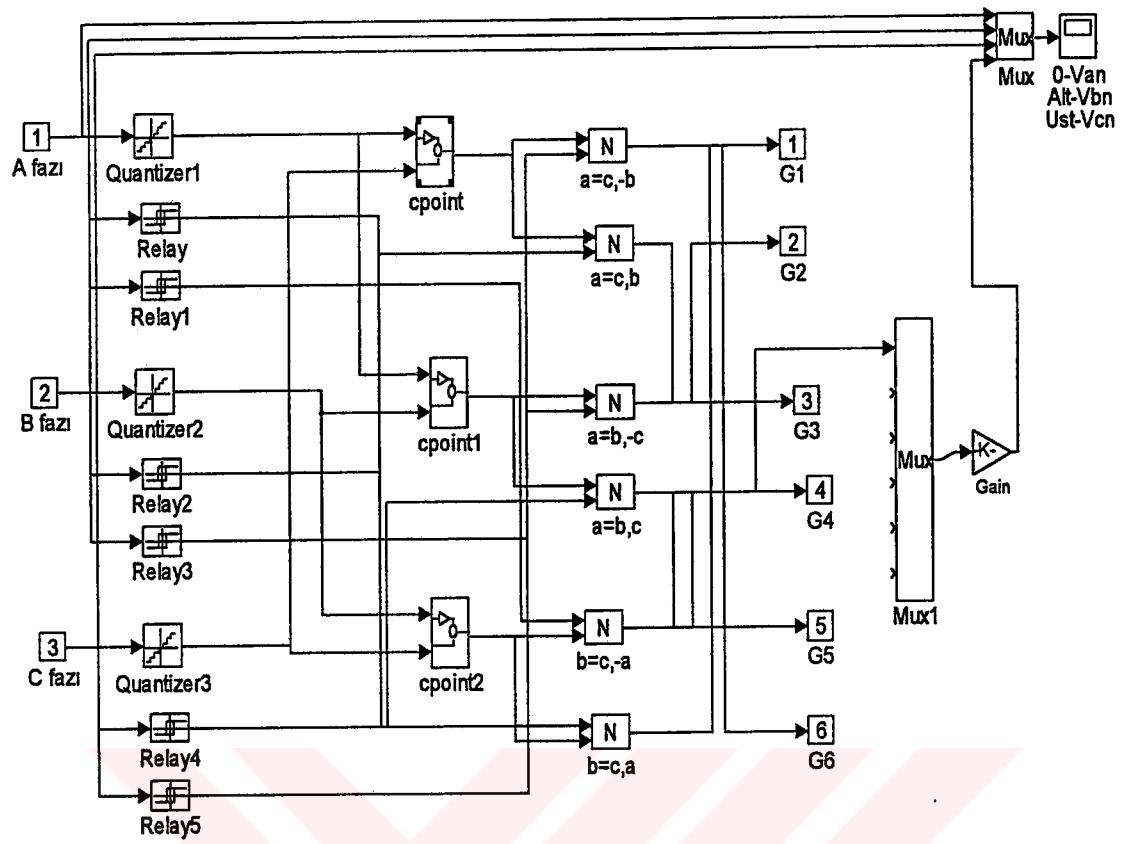


**Şekil E.9. DA/AA ana dönüştürücü devresi**

## EK - F



Şekil F.1.Dönüştürücü Blok diyagramı



Şekil F.2. Kesişim Noktası Yakalayıcısı

## ÖZGEÇMİŞ

**Ercan ÖLÇER:** 1968 İstanbul doğumlu Lisansını Yıldız Üniversitesi Kocaeli Müh.Fak. Elektronik ve Haberleşme Mühendisliğinde tamamladı. Yüksek lisans eğitimini İ.T.Ü Kontrol ve Bilgisayar Mühendisliğinde bitirdi. Şu anda Kocaeli Üniversitesinde öğretim görevlisi olarak doktora çalışmalarına devam etmektedir. Lisans tezi “Analog işaretlerin bilgisayar ortamına geçirilip frekans ve genliklerinin tespit edilmesi”, yüksek lisans tezi “Türkçe’de konuşma tanıma” konusunda olmuştur.